

**INSTITUTUL POLITEHNIC "T R A I A N V U I A" TIMIȘOARA  
Facultatea de Electrotehnica**

**LUCRARE DE DOCTORAT**

**UTILIZAREA CALCULATORULUI IN SPECTROMETRIA DE MASA**

BIBLIOTeca CENTRALĂ  
UNIVERSITATEA "POLITEHNICA"  
TIMIȘOARA

**CONDUCATOR STIINTIFIC  
Prof. dr. ing. A.ROGOJAN**

**DOCTORAND:  
Ing.G.TODEREAN**

- 1 9 8 1

INSTITUTUL POLITEHNIC TIMIȘOARA	
F-8	CA
SERIAL 406799	
Volumul Nr.	13
Dulap	F



## C U P R I N S

---

---

### INTRODUCERE

<b>1. STADIUL ACTUAL AL UTILIZARII CALCULATORULUI IN SPECTROMETRIA DE MASA</b>	<b>... 7</b>
1.1. Considerații generale asupra necesității utili- zării calculatoarelor în spectrometria de masă ...	7
1.1.1. Părțile componente ale unui spectrometru de masă și rolul lor	...
1.1.2. Forma datelor furnizate de un spectrometru de masă și posibilitățile de utilizare a a- cestor date	9
1.1.3. Parametrii principali care descriu și influ- ențează performanțele spectrometrelor de masă ...	13
1.2. Stadiul actual al prelucrării datelor furnizate de spectrometrele de masă cu destinație terestră...	16
1.3. Cerințe și limitări impuse spectrometrelor de masă destinate cercetărilor spațiului cosmic și stadiul actual de rezolvare a lor	...
1.4. Stadiul actual al utilizării calculatoarelor la spectrometrele de masă destinate cercetărilor spațiului cosmic	...
	21
<b>2. CUPLAJ "ON-LINE" SPECTROMETRU DE MASA CUADRU- POLAR-CALCULATOR</b>	<b>... 24</b>
2.1. Spectrometrul de masă cuadrupolar	...
2.1.1. Descrierea aparatului	24
2.1.2. Analizorul de masă cuadrupolar	...
2.1.3. Condițiile de stabilitate necesare pentru realizarea unui analizor de masă cuadrupolar	...
2.1.4. Blooul electronic al spectrometrului	31
	34

...//...

2.2. Caracteristicile convertoarelor analog numerice utilizate la cuplajul "on line" spectrometru de masă-calculator	...	37
2.2.1. Limitări în viteza de baleaj a unui spectrometru de masă	...	37
2.2.2. Metodă de calcul a frecvenței de eșantionare a unui spectru de masă	...	41
2.2.3. Timpul de conversie analog numerică	...	45
2.3. Calculatorul realizat pe baza microprocesorului 8080	...	46
2.3.1. Structura sistemului de calcul	...	46
2.3.1.1. Generatorul de tact	...	48
2.3.1.2. Controlul stărilor transmise pe liniile de date	...	49
2.3.1.3. Unitatea centrală	...	51
2.3.1.4. Memoria sistemului	...	53
2.3.1.5. Comanda pas cu pas sau instrucție cu instrucție	...	54
2.3.2. Dispozitive periferice	...	59
2.3.2.1. Tastatura	...	59
2.3.2.2. Ieșirea analogică programabilă	...	62
2.3.2.3. Intrarea de la convertorul analog numeric	...	63
2.3.2.4. Convertorul analog numeric cu detecție de maxim	...	65
2.3.2.5. Cititorul de bandă perforată	...	69
2.4. Programele sistemului de calcul	...	71
2.4.1. Biblioteca aritmetică în sistemul cu virgulă mobilă	...	71
2.4.1.1. Considerații generale	...	71
2.4.1.2. Reprezentarea numerelor în calculator	...	73
2.4.1.3. Adunarea și scăderea	...	75
2.4.1.4. Înmulțirea	...	78
2.4.1.5. Impărțirea	...	80
2.4.1.6. Negativarea unui număr	...	80
2.4.1.7. Transformarea din sistemul binar în sistemul cu virgulă mobilă	...	80
2.4.1.8. Transformarea din sistemul cu virgulă mobilă în cod BCD	...	82

...//...

<b>2.4.1.9. Transformarea din cod BCD în sistemul cu virgulă mobilă</b>	<b>... 82</b>
<b>2.4.2. Programe pentru achiziția datelor</b>	<b>... 84</b>
<b>3. IMBUNATATIREA PARAMETRILOR DE FUNCTIONARE AI SPECTROMETRELOR DE MASA PRIN REALIZAREA CUPLAJULUI CU CALCULATORUL</b>	<b>... 90</b>
<b>3.1. Creșterea sensibilității spectrometrului</b>	<b>... 90</b>
<b>3.2. Creșterea preciziei de determinare a parametrilor spectrelor de masă prin utilizarea sistemului de achiziție</b>	<b>... 93</b>
<b>3.3. Metodă de calcul pentru creșterea rezoluției în cazul eșantionării spectrului de masă</b>	<b>... 101</b>
<b>3.3.1. Considerații generale</b>	<b>... 101</b>
<b>3.3.2. Particularitățile cazului real cind funcția este dată sub formă tabelată</b>	<b>... 103</b>
<b>4. METODE HEURISTICE UTILIZATE LA PRELUCRAREA DATELOR DIN SPECTROMETRIA DE MASA</b>	<b>... 117</b>
<b>4.1. Formularea problemei</b>	<b>... 117</b>
<b>4.2. Algoritm pentru determinarea formulei chimice brute</b>	<b>... 119</b>
<b>4.2.1. Algoritm care utilizează parametrii auxiliari</b>	<b>... 119</b>
<b>4.2.2. Algoritm care utilizează un tablou auxiliar</b>	<b>... 120</b>
<b>4.2.3. Algoritm care pornește de la o soluție particulară</b>	<b>... 125</b>
<b>4.3. Compararea algoritmilor de calcul prezentate</b>	<b>... 132</b>
<b>5. CONCLUZII</b>	<b>... 135</b>
<b>BIBLIOGRAFIE</b>	<b>... 139</b>
<b>ANEXE</b>	<b>... 146</b>



## INTRODUCERE

In stadiul actual de dezvoltare a aparaturii științifice de cercetare din diverse domenii, utilizarea calculatoarelor devine tot mai necesară atât pentru comandă și control, cît și pentru achiziția lor, prelucrarea lor și îmbunătățirea performanțelor acestei aparaturi.

Pe de altă parte creșterea densității de componente electronice și a puterii de calcul pe unitatea de volum permite introducerea sistemelor de calcul realizate cu circuite integrate pe scară largă în domenii noi, ducind la obținerea unor performanțe deosebite, la o mai mare maleabilitate și funcționalitate a sistemelor realizate astfel. În acest sens există tendința trecerii de la sistemele "on-line", în care unul sau mai multe aparate sunt cuplate la un calculator, la sistemele "in-line", în care calculatorul este integrat în aparat ca parte componentă a acestuia.

Spectrometrele de masă constituie aparate complexe de analiză cu aplicații în multe domenii atât în cercetare cît și în industrie, impunând în stadiul actual de dezvoltare a lor utilizarea calculatoarelor pentru realizarea tuturor funcțiilor enumerate mai sus /1,2,3/. În prezent există cuplaje "on-line" între spectrometre de masă și calculatoare de capacitate medie sau mare, dar nu s-a ajuns la o părere unanimă în ce privește modul de organizare a informației în acest domeniu /4/. Prin dezvoltarea și utilizarea sistemelor multimicroprocesor, considerăm că se vor realiza în viitor sisteme automate de prelucrare a datelor spectrometrice de masă pentru domenii specifice de analiză, conform unor algoritmi de calcul adecvați /5/. În acest fel s-ar mări mult eficiența spectrometrelor de masă, aparate care dau într-un timp scurt o cantitate mare de informație sub forma așa numitelor spectre de masă. Sistemele multimicroprocesor care s-ar utiliza în acest domeniu pot constitui sisteme de

calcul satelit pentru controlul, comanda și selectarea datelor care urmează să se prelucreze pe un calculator central, în cazul unor analize mai complexe, nespecifice.

Spectrometrele de masă fiind aparate de analiză foarte sensibile, s-au impus în majoritatea programelor de cercetări ale spațiului cosmic, atât pentru studiul păturilor superioare ale atmosferei terestre, cît și pentru studiul atmosferei altor planete /6/. Deși stadiul actual al dezvoltării spectrometrelor de masă pentru cercetare în condițiile terestre este avansat, realizarea unor spectrometre de masă destinate cercetărilor spațiale ridică probleme de cercetare deosebite în vederea găsirii unor soluții noi adecvate. La realizarea unui spectrometru de masă destinat cercetărilor spațiale se impun limitări în puterea electrică consumată, în gabarit, în greutate, precum și o funcționare corectă la variații mari de temperatură, rezistență la vibrații, domeniu dinamic ridicat (raportul între semnalul cel mai mare și cel mai mic care mai pot fi măsurate), sensibilitate mare, viteză mare de lucru, flexibilitate mare în efectuarea măsurătorilor, fiabilitate ridicată /7,8,9/.

Unele din aceste cerințe se pot îndeplini prin realizarea părții analogice a aparatelor cu circuite integrate care au performanțe deosebite. Există însă limitări care ar putea fi depășite în stadiul actual de dezvoltare tehnologică doar prin utilizarea unor sisteme de calcul integrate pe scară largă (microprocesoare) cuplate în sistem "in-line" cu astfel de aparate /10/. De asemenea reducerea numărului imens de date furnizate de spectrometrele de masă utilizate în cercetarea spațiului cosmic, în vederea transmiterii spre Pămînt a unor informații cantitativ reduse și calitativ superioare, impune selectarea și prelucrarea primară a datelor prin utilizarea unor sisteme de calcul care să lucreze "in-line" cu spectrometrele lansate în spațiul cosmic. Această reducere de date este necesară pentru a nu încărca mult sistemul de telemetrie și a crește eficiența experimentelor spațiale de acest gen /10/.

Dificultățile tehnice care se ivesc la realizarea

spectrometrelor de masă destinate cercetărilor spațiului cosmic nu au permis decât unor țări avansate din punct de vedere tehnologic să construiască astfel de aparate. De exemplu spectrometre de masă de tip cuadrupolar, tipul studiat și construit de noi, au fost realizate doar de următoarele țări : SUA, URSS, Japonia, RFG (conform informațiilor bibliografice care le avem) /6/.

In ceea ce privește realizarea sistemelor de calcul cuplate cu spectrometre de masă destinate cercetărilor spațiului cosmic, există pe plan mondial sisteme numerice care efectuează diverse funcții de comandă și control fără a realiza o prelucrare primară a datelor /11,12,13,14/.

Obiectul prezentei lucrări se situează pe linia extinderii utilizării microprocesoarelor în aparatura destinată cercetării spațiului cosmic, având aplicații și în aparatura de analiză cu destinație terestră. Lucrarea constituie sinteza cercetărilor întreprinse de autor în acest domeniu începînd din anul 1972, în cadrul Institutului de Tehnologie Izotopică și Moleculară din Cluj-Napoca. Vom prezenta în continuare principalele realizări obținute în cadrul acestei cercetări.

Autorul a conceput și experimentat partea de electronică a unui spectrometru de masă de tip cuadrupolar destinat cercetării spațiului cosmic precum și interfața cu sistemul de telemetrie și telecomandă. Un exemplar al acestui aparat a fost lansat pe racheta sovietică de mare altitudine (1500 km) de tip Intercosmos - Vertical 7 în anul 1978 și o nouă variantă a aparatului s-a utilizat pe racheta Vertical 9 lansată în anul 1980 /15/. Spectrometrul de masă cuadrupolar a fost cuplat "on-line" cu un calculator realizat de autor pe baza micropresorului 8080 /16/. Cuplajul celor două apărate a permis stabilirea, pe baza unei metode de calcul originale, a frecvenței optime de egantionare a unui spectru de masă în vederea transmiterii lui spre Pămînt către stațiile de urmărire /17/. De asemenea pe cuplajul realizat s-au studiat posibilitățile de îmbunătățire a parametrilor de funcționare a spectrometrului de masă și s-au implementat și

testat algoritmi noi de prelucrare a informației din acest domeniu. Prin realizarea unor programe adecvate de achiziție a datelor de la spectrometrul de masă cuadrupolar s-a demonstrat posibilitatea de creștere a sensibilității spectrometrului, de îmbunătățire a raportului semnal/zgomot și de creștere a domeniului dinamic. Îmbunătățirea acestor parametri este importantă în cazul utilizării spectrometrelor de masă pentru măsurători izotopice, măsurători care constituie obiectivul principal al grupului de cercetări spațiale din cadrul institutului.

Datele obținute cu ajutorul programelor de achiziție au fost prelucrate pe un calculator de capacitate medie (Nova 3) conform unor algoritmi de calcul originali demonstrându-se posibilitatea de creștere prin calcul a rezoluției unui spectrometru de masă. Posibilitatea de creștere prin calcul a rezoluției este importantă deoarece limitările impuse spectrometrelor de masă cu destinație spațială nu permit obținerea unei rezoluții ridicate pe alte căi.

Prin implementarea pe sistemul de calcul a unei biblioteci aritmetice care operează cu numerele reprezentate în sistemul cu virgulă mobilă /18/, realizată de autor, a fost posibilă testarea unor algoritmi originali de prelucrare off-line a informației furnizate de la spectrometrele de masă terestre de înaltă rezoluție /19/ (indiferent de tipul spectrometrului). Acest fapt constituie o aplicație posibilă a sistemului de calcul la spectrometrele cu destinație terestră. În viitor vor putea fi realizate sisteme de calcul cu periferice adecvate și cu partea de software specifică, în vederea dotării spectrometrelor de masă care se produc în ITIM Cluj-Napoca în cadrul secției de microproducție.

Pe același sistem de calcul s-au testat de asemenea o serie de algoritmi de prelucrare a datelor rezultate de la un spectrometru de masă cu doi colectori, destinat analizei concentrației de deuteriu din apă. Acești algoritmi vor fi implementați pe un sistem automat de prelucrare a datelor, sistem care este în curs de realizare fiind bazat pe microprocesorul 8080 /20/.

Pentru achiziția datelor de la spectrometrele de masă terestre autorul a realizat în colaborare un convertor analog-numeric cu detector de maxim, convertor care poate lucra independent sau cuplat la sistemul de calcul /21/.

Un sistem de calcul bazat pe microprocesorul 8085 este în curs de realizare fiind propus să se utilizeze pentru comanda și controlul unui complex de apărute formate dintr-un spectrometru de masă cuadrupolar și două dispozitive de etalonare (concepute și realizate de autor în colaborare /22/) într-un experiment tehnologic pe o navă sovietică cu om la bord (odată cu lansarea cosmonautului român).

Lucrarea este organizată în 5 capitele totalizând 455 pagini și cuprinde 9 anexe, 42 figuri, 15 tabele și 94 titluri bibliografice.

Capitolul 1 prezintă problemele ridicate de utilizarea calculatoarelor în spectrometria de masă și o scură trecere în revistă a principalelor rezultate obținute pe plan mondial în acest domeniu.

În capitolul 2 este descris cuplajul "on-line" al spectrometrului de masă cuadrupolar destinat cercetărilor spațiului cosmic cu un calculator realizat pe baza microprocesorului 8080. Pentru înțelegerea modului de realizare a cuplajului este descris sumar spectrometrul de masă cuadrupolar. Sunt deduse de către autor condițiile de stabilitate care trebuie să le îndeplinească partea de electronică a spectrometrului pentru a obține o rezoluție impusă R /23/. Sunt prezentate de asemenea structura calculatorului, sistemul de operare, biblioteca aritmetică în sistemul cu virgulă mobilă, algoritmii și programele de conversie din cod BCD în sistemul cu virgulă mobilă și invers precum și programele de achiziție a datelor.

În capitolul 3 sunt prezentate metodele numerice originale de tratare a informației furnizate de cuplajul spectrometru de masă calculator, metode care duc la creșterea rezoluției și a sensibilității spectrometrului de masă. Sunt arătate rezultatele obținute cu ajutorul cuplajului realizat.

Capitolul 4 prezintă metode heuristice noi cu aplicații în prelucrarea off-line a spectrelor de masă, precum și rezultatele obținute prin implementarea acestora pe sistemul de calcul bazat pe µP 8080.

Capitolul 5 este un capitol de concluzii și perspective. Sunt trecute în revistă rezultatele obținute și perspectivele care se întrevăd prin utilizarea sistemelor multimicroprocesor în aparatura complexă de analiză.

Dorești să mulțumesc tovarășului profesor dr.ing. Rogojan Alexandru, conducătorul prezentei teze de doctorat, pentru îndrumarea atentă și competentă pe care mi-a acordat-o, pentru sugestiile și reflexiile critice primite din partea domniei sale. Discuțiile purtate cu tovarășul profesor Rogojan Alexandru au fost de fiecare dată deosebit de fructuoase pentru mine.

De asemenea dorești să mulțumesc tov.prof.dr.doc. Victor Morcea, membru corespondent al Academiei RSR, directorul Institutului de Tehnologie Izotopică și Moleculară din Cluj-Napoca, pentru discuțiile purtate, pentru receptivitatea domniei sale față de tendințele noi în domeniul calculatoarelor și electronicii, pentru entuziasmul cu care a aderat la ideea introducerii microprocesoarelor în aparatura de analiză din fizică, pentru tot sprijinul și facilitățile acordate în acest sens.

Adresez mulțumiri tovarășului dr.doc.V.Istomin, șeful Laboratorului de spectrometrie de masă pentru cercetări spațiale din cadrul Institutului de Cercetări cosmice din Moscova, pentru sprijinul și interesul incurajator care l-a manifestat față de realizarea ideilor de bază ale lucrării atât în perioada în care am lucrat în laboratorul condus de domnia sa, cât și la toate întîlnirile de lucru pentru testarea în comun a aparaturii destinate lansării.

Mulțumesc matematicianului Ioan Covaci cu care am colaborat la elaborarea unor părți ale lucrării, precum și tuturor colegilor care într-un fel sau altul și-au adus sprijinul la realizarea lucrării.

## Capitolul 1

### STADIUL ACTUAL AL UTILIZARII CALCULATOARELOR IN SPECTROMETRIA DE MASA

#### 1.1. Consideratii generale asupra necesitatii utilizarii calculatoarelor in spectrometria de masă

Este dificil de determinat, nefiind intotdeauna certă, limita la care complexitatea unui sistem impune utilizarea calculatorului sau realizarea unei unități specializate de control. Pentru ilustrarea complexității spectrometrelor de masă din punct de vedere al comenzi, controlului și prelucrării datelor, vom schița în cele ce urmează:

1. părțile componente ale unui spectrometru de masă și rolul lor;
2. forma datelor furnizate de un spectrometru de masă și posibilitățile de utilizare a acestor date, prin prelucrarea lor;
3. parametrii principali care descriu și influențează performanțele spectrometrelor de masă.

#### 1.1.1. Părțile componente ale unui spectrometru de masă și rolul lor

Spectrometrele de masă sunt aparate complexe folosite în scopul studierii substanțelor aflate în stare gazoasă, lichidă sau solidă, scop care se realizează prin transformarea probei într-un fascicul de ioni și analiza acestuia.

Principalele părți componente ale spectrometrelor de masă sunt (fig.1):

1. sistemul de producere a fasciculului de ioni,
2. sistemul de analiză a ionilor (separatorul de ioni),
3. sistemul de detectie a ionilor,

4. sistemul de vidare a primelor două părți și a căilor de acces dintre primele 3 părți,
5. sistemul electronic de comandă și control al tuturor părților componente.

1. Sistemul de producere a fascicoulului de ioni este compus la rîndul său din:

- un sistem de introducere a probelor, cu specificația că probele lichide se introduc după o prealabilă trecere a lor în stare de vapori;
- o cameră de ionizare în care moleculele substanței probă, sunt ionizate, iar în cazul substanțelor solide aici se efectuează trecerea lor în stare de vapori;
- un sistem de accelerare, care extrage ionii din camera de ionizare și îi accelerează formind un fascicul de ioni,

Există o gamă largă de posibilități de realizare a fiecărei părți componente a sistemului de producere a fascicoului de ioni /24/ și de combinare a acestora. De exemplu ionizarea moleculelor substanței care se analizează se poate realiza prin:

- bombardarea cu un fascicul de electroni, descărcarea în arc sau scînteie, evaporarea și ionizarea în vid în prezența unor cîmpuri electrice puternice (constante sau de radiofrecvență), termoionizarea, ionizarea prin bombardare cu ioni, fotoni (inclusiv fascicul laser), atomi metastabili. La spectrometrul de masă realizat de autor în colaborare pentru cercetarea spațiului cosmic, ionizarea se realizează prin bombardarea cu un fascicul de electroni avînd intensitatea stabilizată /25/.

2. Sistemul de analiză a ionilor, separă fasciculul de ioni în fascicule de ioni de aceeași masă specifică  $m_i/q_k e$  unde:  $m_i$  este masa ionului de specie  $i$ ,  $q_k$  este numărul de sarcini elementare purtate de ionul de specie  $i$ , iar  $e$  este sarcina elementară. Dacă  $q_k=1$  se poate deduce direct masa ionilor.

Există o mare varietate de sisteme de analiză a fascicoulului de ioni /26/ (sisteme care dau tipul spectrome-

trului de masă), de exemplu: cu cîmp magnetic transversal (sectorial, toroidal), cu cîmp electric cuadrupolar, cu timp de zbor, cu combinații între cîmp electric și magnetic, ci-clodidal, etc. Dintre acestea, din motive care nu le prezentăm aici, pentru spectrometrul destinat ceroștărilor spațiale realizat de noi, am ales analizorul cuadrupolar. Prinzipiul de separare a ionilor în acest tip de analizor va fi prezentat în subcapitolul 2.1.2.

3. Sistemul de detectie transformă fasciculele de curenți ionici rezultate din analizorul de mase, avînd intensitatea foarte mică ( $10^{-12} - 10^{-19}$  A) în semnale electrice care pot fi înregistrate analogic sau numeric /26/.

4. Sistemul de vidare are rolul de a asigura o presiune de  $10^{-3}$  pînă la  $10^{-4}$  torri în sistemul de producere a fasciculului de ioni și de  $10^{-5} - 10^{-6}$  torri în restul spectrometru-lui.

Pentru comanda, controlul și corelarea funcționării părților componente ale unui spectrometru de masă cu o eficiență ridicată este necesară utilizarea calculatorului /27,28/. În figura 1 sunt notate cu asterisc părțile componente ale unui spectrometru de masă unde este utilă cuplarea calculatorului.

#### 1.1.2. Forma datelor furnizate de un spectrometru de masă și posibilitățile de utilizare a acestor date

Am arătat că în analizorul de mase al unui spectrometru, ionii sunt separați după masa lor specifică.

În cazul analizorului de mase cuadrupolar, de care ne-am ocupat noi, cîmpul electric cuadrupolar acționînd asupra fasciculului de ioni va imprima ionilor de diferite mase specifice, diferite triectorii. Astfel pentru anumiți parametri ai acestui cîmp, doar ionii de o anumită masă specifică vor avea triectorii stabile, ajungînd la fanta de ieșire din analizorul de mase și putînd fi detectați de sistemul de detectie.

Schimbînd parametrii cîmpului cuadrupolar, se

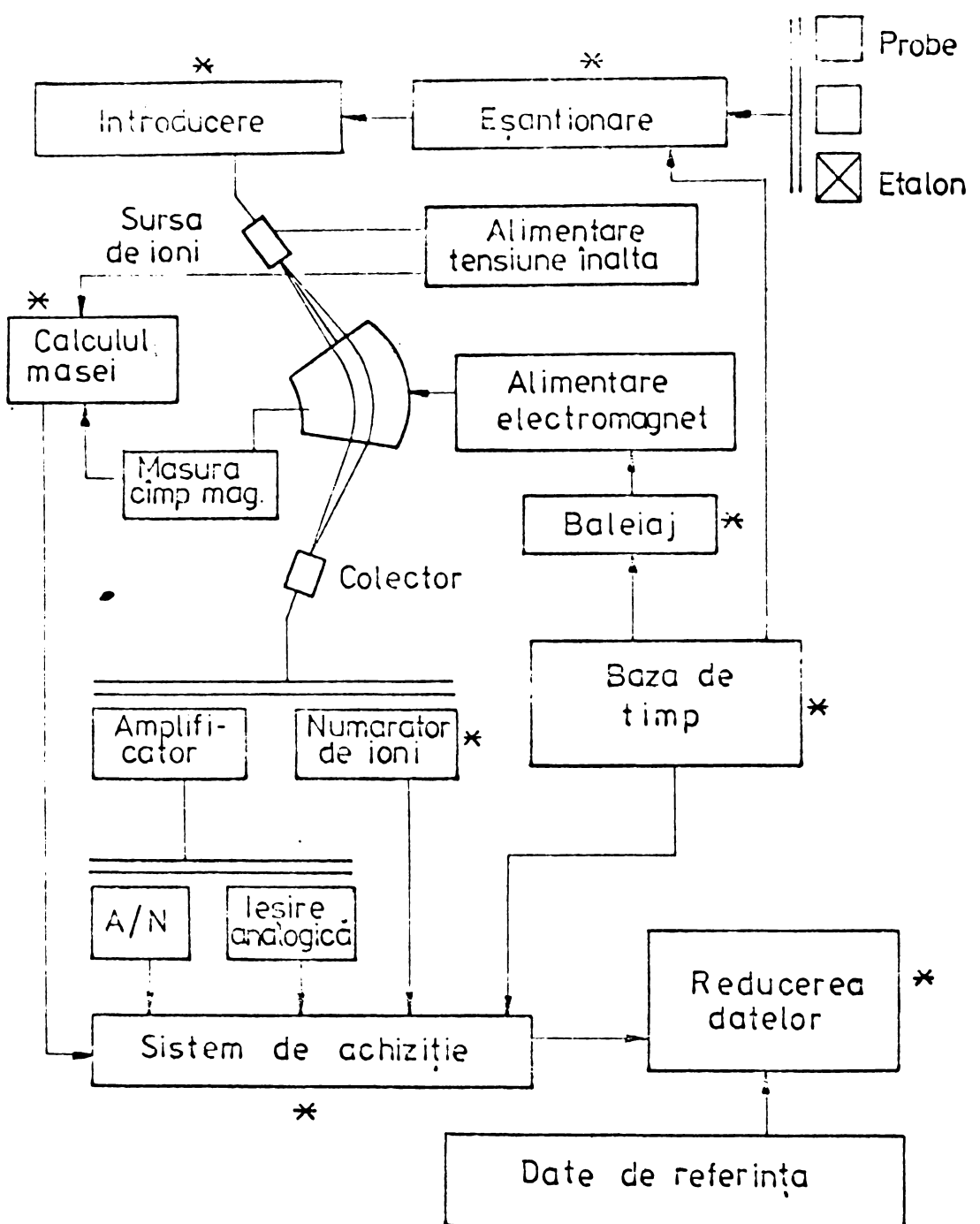


Fig. 1

**Fig.1. Părțile componente ale unui spectrometru de masă.**

\* punctele pentru cuplarea calculatorului.

va schimba masa specifică a ionilor care vor descrie o traiectorie stabilă, străbătind astfel analizorul de mase. Prin realizarea unui baleaj liniar în timp, a parametrilor cimpului cuadrupolar, la sistemul de detectie se va înregistra un spectru de masă. Rezultă că informația dată de un spectrometru de masă este de formă bidimensională:

$$y = f(x) \quad (1)$$

în care  $y$  reprezintă intensitățile curentilor ionici generate de ionii având masa specifică  $x$ .

Din relația (1) se observă că spectrele de masă pot fi memorate sub formă numerică prin perechi de valori  $y_i - x_i$ . Valorile  $y_i$  pot reprezenta curenti, tensiuni, variații în intensitate luminoasă, etc, iar valorile  $x_i$  pot reprezenta timp, cimp magnetic, tensiuni, curenti etc.

In cazul realizării unui baleaj liniar al parametrilor diferitelor tipuri de analizoare de masă, masele specifice apar în spectrul de masă după o anumită funcție de timp /29/, funcție care depinde de tipul analizorului.

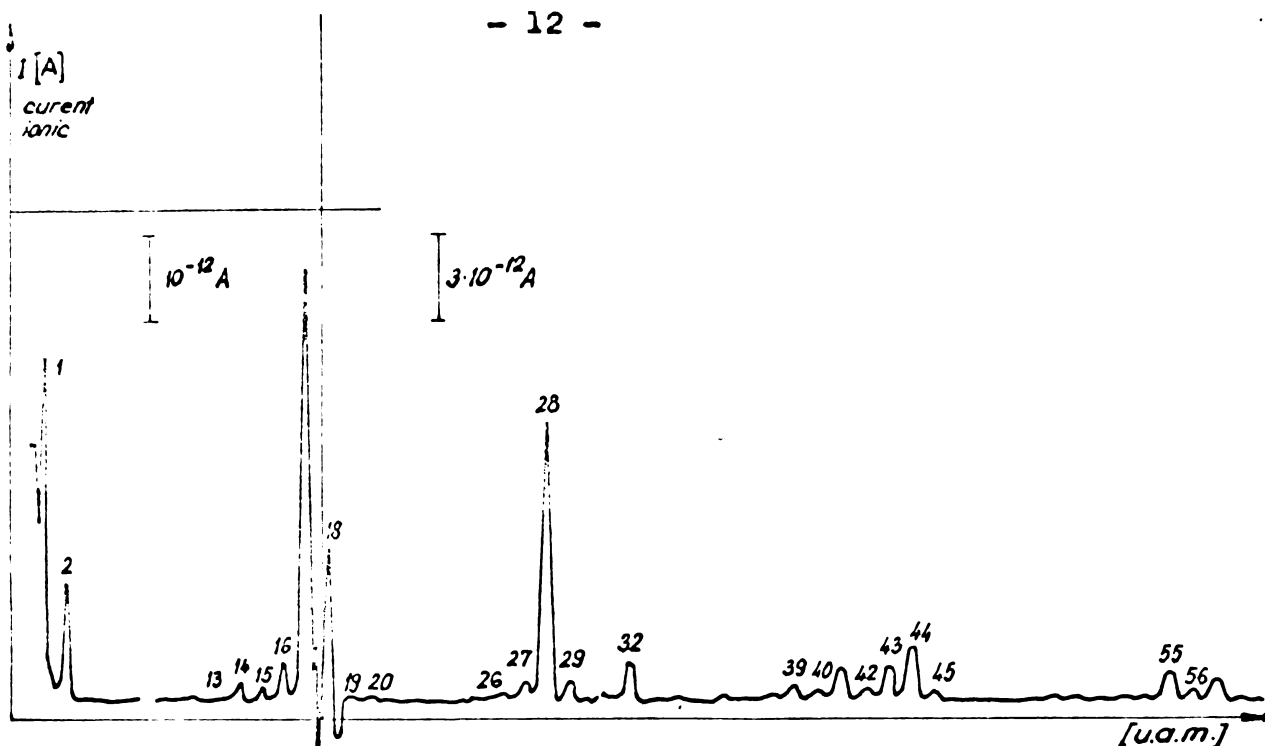
Pentru spectrometrul de masă de tip cuadrupolar, masele apar în funcție de timp după o relație liniară de formă:

$$m = m_0 + k_1 t \quad (2)$$

In figura 2 este arătat spectrul de masă al gazului rezidual obținut la spectrometrul cuadrupolar Varian-AMP-04. Din acest spectru de masă se pot deduce elementele componente ale gazului rezidual și abundențele lor conform tabelului 1.

In cazul substanțelor organice sau în cazul amestecurilor de gaze numărul picurilor (termenul "pic" se utilizează pentru vîrful înregistrat la o anumită masă specifică) înregistrate într-un spectru de masă poate crește pînă la cîteva sute sau chiar mii /30/.

Prin prelucrarea informației primare rezultată de la spectrometrele de masă, se pot rezolva prin algoritmi



**Fig.2. Spectrul de masă al gazului rezidual rezultat de la spectrometrul de masă cuadrupolar Varian-AMP-04.**

Tabelul 1.

Masa specifică	Tipul ionilor	Masa specifică	Tipul ionilor
1	$H^+$	18	$H_2O^+$
2	$H_2^+$	19	$HDO^+$
12	$^{12}C^+$	20	$Ar^{++}$
14	$^{14}N^+$	28	$^{14}N_2^+$
15	$^{13}CH_3^+$ și $^{15}N^+$	29	$^{14}N^{15}N^+$
16	$O^+$	32	$O^+$
17	$OH^+$	40	$Ar^+$

de calcul adecvați, pe lîngă compozită calitativă și cantitativă a probelor studiate și o serie de alte probleme de

analiză și cercetare /24/, printre care amintim:

- determinarea masei exacte a elementelor și a izotopilor elementelor /31/;
- determinări structurale pentru stabilirea compozitiei amestecurilor de hidrocarburi, pentru reacțiile petrochimice și urmărirea proceselor în industria chimică /29/;
- determinarea abundențelor izotopice naturale, cu aplicații în studiul și depistarea materialelor nucleare /24/;
- în hidrologie, geologie, meteorologie pentru studiul vîrstei sau genezei probelor și a mișcării materiei în natură;
- studiul proceselor de ionizare a atomilor și moleculelor;
- determinarea potențialelor de ionizare simple și multiple;
- studiul stărilor de excitație în special al celor metastabile, a atomilor și moleculelor, determinarea energiilor și modurilor de fragmentare a moleculelor, vîetiile medii ale stărilor metastabile ale acestora;
- realizarea unor reacții chimice individuale, așa numitele reacții ion-moleculă și studiul lor din punct de vedere energetic;
- detectarea produselor reacțiilor nucleare, permitînd elaborarea și înțelegerea mecanismului acestor reacții.

Obținerea unor astfel de informații presupune de multe ori calcule laborioase, după algoritmi specifici, fiind inevitabilă utilizarea calculatoarelor.

In unele din domeniile enumerate mai sus se depun eforturi susținute în vederea găsirii unor algoritmi de calcul adecvați, care să permită prelucrarea automată a datelor spectrometrice de masă cu calculatorul /32,33,34/.

#### 1.1.3. Parametrii principali care descriu și influențează performanțele spectrometrelor de masă

Prin realizarea cuplajului spectrometru de masă - calculator, parametrii de funcționare ai spectrometrelor de masă pot fi îmbunătătiți, fapt demonstrat în cadrul prezentei lucrări (Capitolul 3). De aceea vom defini în continuare principaliii parametri care descriu și influențează performanțele spectrometrelor de masă.

Acești parametri sunt /26,35/:

1. Domeniul de masă care indică masa specifică minimă și maximă care mai poate fi măsurată cu spectrometrul de masă.
2. Puterea de rezoluție a unui spectrometru de masă este capacitatea acestuia de a separa ionii de mase specifice apropiate.

Dacă se consideră două picuri adiacente, de intensități egale, corespunzătoare ionilor cu masele specifice  $m_1$  și  $m_2$  (fig.3), puterea de rezoluție pentru a separa cei doi ioni este dată de raportul  $m_1/\Delta m$  unde  $\Delta m = m_2 - m_1$ .

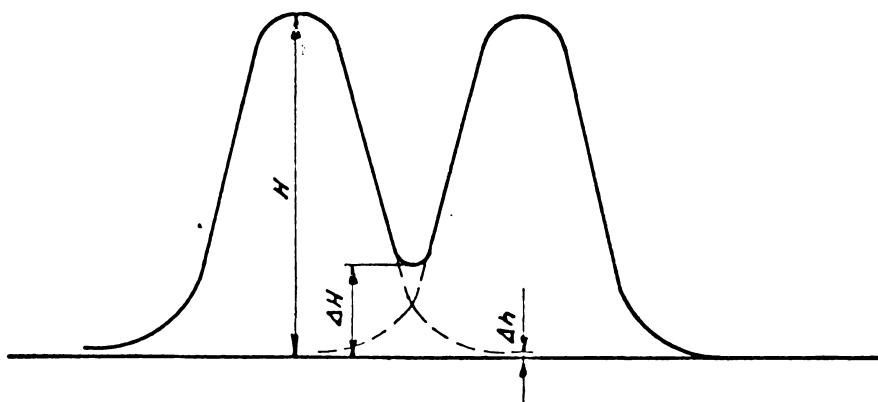


Fig.3. Două picuri adiacente și parametrii care definesc rezoluția.

Aprecierea faptului dacă două specii de ioni sunt separate sau nu, este convențională. Astfel cînd se indică puterea de rezoluție  $m/\Delta m$  a unui aparat se dă și valoarea  $\Delta H/H$ , adică înălțimea relativă a "văii", dintre cele două picuri rezolvate (1%, 5%, 10% sau 50%).

Pentru măsurători cantitative, e foarte important să se poată aprecia contribuția fiecărei specii de ioni la înălțimea picului vecin, adică gradul de "interferență" a celor două picuri /35 pag.27/. În acest sens, două picuri se consideră rezolvate dacă raportul  $\Delta h/H$  are valoarea mai mică de 1% sau 1 la mie. Pentru creșterea acestui raport, echivalentă cu creșterea puterii de rezoluție a spectrometrului

de masă, vom prezenta o metodă de calcul propriu în subcapitolul 3.3.

3. Pragul de sensibilitate este definit ca fiind concentrația minimă a unei componente dintr-o substanță pentru care spectrometrul de masă dă un semnal ce depășește de două ori nivelul de zgomot al aparatului /26/. Pragul de sensibilitate, depinde de sensibilitatea sistemului de detectie, de transmisia analizorului de mase și de eficiența sursei de ioni. În capitolul 3 vom arăta modalități de îmbunătățire a pragului de sensibilitate prin cuplajul spectrometrului cu un calculator.

4. Viteza de baleaj este caracterizată prin timpul necesar pentru înregistrarea unui pic și depinde de tipul analizorului și de timpul de răspuns al sistemului de măsură și detectie al curentilor ionici. În cadrul lucrării sunt prezentate metode de calcul a timpului de răspuns a sistemului de detectie și a frecvenței optime de eșantionare a unui spectru de masă în funcție de viteza de baleaj (2.2.1 și 2.2.2).

5. Eroarea de măsură a aparatului se caracterizează prin diferența între media aritmetică a rezultatelor a cinci măsurători /26 pag.15/ și măsurătoarea singulară a înălțimii unui pic.

6. Reproductibilitatea măsurătorilor se caracterizează prin abaterea în procente a mediei pătratice a măsurătorilor față de media aritmetică a rezultatelor mai multor măsurători.

7. Sensibilitatea statică este caracterizată prin variația semnalului de ieșire al spectrometrului în funcție de schimbarea presiunii probei (amperi/torr).

Datorită caracteristicilor constructive ale spectrometrelor de masă, acești parametri se află într-o strânsă interdependentă. Astfel, modificând caracteristicile constructive pentru a îmbunătăți anumiti parametri, se obține o înrăutățire a altora (de exemplu creșterea puterii de rezoluție duce la scăderea sensibilității). Prin utilizarea calculatorului în cuplaj cu spectrometrul și prin metode de calcul dezvoltate de autor se pot îmbunătăți unii dintre pa-

rametri fără a-i afecta pe ceilalți.

### 1.2. Stadiul actual al prelucrării datelor furnizate de spectrometrele de masă cu destinație terestru

Am arătat că prin prelucrarea spectrelor de masă se pot obține informații cu aplicabilitate în multe domenii. Ne vom referi în cele ce urmează numai la stadiul actual al prelucrării datelor spectrometrice de masă în vederea determinării compoziției chimice calitative, cantitative și structurale a substanelor, domeniu de interes pentru această lucrare.

In acest caz prelucrarea datelor conținute în spectrele de masă se poate împărți în două etape:

- O etapă de prelucrare primară, care constă în achiziția și îmbunătățirea calitativă a informației, printr-o serie de algoritmi simpli de calcul obținându-se astfel o determinare cît mai exactă a parametrilor picurilor (masă, finalitate și aria) /31,36/. Determinarea parametrilor picurilor presupune uneori efectuarea unei scăderi a spectrului de fond, datorat gazului rezidual din spectrometru, precum și o normare șiordonare a picurilor după anumite criterii /29,30/.
- A 2-a etapă de prelucrare constă în determinarea formulei chimice brute și a structurii probei (ordonarea spațială și legăturile chimice a atomilor componentelor).

In legătură cu problemele de prelucrare din prima etapă, nu am întîlnit în literatura de specialitate o tratare sistematică a posibilităților de îmbunătățire a calității informației spectrometrice de masă, prin achiziția spectrelor de masă în cazul utilizării cuplajului on-line spectrometru de masă - calculator. Există astfel de tratări pentru cazuri particulare în spectrometria de masă /36/ sau pentru cuplajul on-line a altor tipuri de apărate de cercetare (spectrometru cu rezonanță magnetică)/37/.

Problemele de prelucrare din etapa a 2-a permit interpretarea datelor. Problema determinării formulei chimice

ce brute /38,39/ și algoritmii propuși de autor pentru rezolvare vor fi prezentați în capitolul 4 ca o aplicație posibilă a sistemului de calcul realizat la spectrometrele de masă cu destinație terestră.

Pentru determinarea structurii substanțelor cu ajutorul calculatoarelor, utilizând informația conținută în spectrele de masă, există 3 categorii de metode /33/:

1. metode care utilizează teoria quasi-echilibrului,
2. metode matematice bazate pe algoritmi de căutare,
3. metode de comparare cu o bibliotecă de spectre.

Teoria quasi-echilibrului a fost propusă în 1952 de Rosenstock, Wallenstein, Whrhafting și Eyring /40/ pentru a explica modul de formare a spectrelor de masă. Exemple de aplicare a acestei teorii la identificarea spectrelor de masă sînt arătate în lucrările /41,42/.

In a 2-a categorie de metode intră cele care folosesc algoritmi de căutare care se pot implementa pe calculator. Aceste metode includ proceduri interative; o parte din ele fiind bazate pe regulile de realizare a legăturilor chimice /43,44/, reguli care limitează lista de necunoscute, sau pe baza altor relații deduse experimental.

Metodele de comparare sînt cele mai des utilizate în interpretarea spectrelor de masă cu calculatorul. Pentru a face o comparație a spectrului necunoscut cu spectrele cunoscute din biblioteca de spectre, acestea trebuie caracterizate și grupate după anumite criterii.

Un efort considerabil s-a depus și se depune pentru a crea scheme de memorare și metode de căutare cît mai eficiente /45,46/. Cercetările s-au orientat în acest domeniu spre stabilirea cantității minime de informație care determină univoc un spectru de masă /47/. Spectrul de masă al unei substanțe diferă de la un spectrometru la altul, în funcție de condițiile în care s-a obținut (energia de ionizare, presiunea, temperatura, caracteristicile spectrostrului). Din aceste cauze, trebuie să se stabilească criterii care să facă posibilă compararea, cu erori minime.

La ora actuală există pe plan mondial mai multe

494. 1977  
- 11. 7

sisteme pentru prelucrarea automată a spectrelor de masă cu calculatorul, care utilizează metode de comparare, dar nu s-a ajuns la o părere unanimă în ce privește modul de organizare a informației în acest domeniu /46,47/.

In cadrul Institutului de Tehnologie Izotopică și Moleculară Cluj-Napoca s-a realizat o bibliotecă de spectre (fișier) care ocupă o capacitate de memorie de cca 5 Mbytes, prin introducerea în memoria unui calculator NOVA-3 a cca 30.000 de spectre din catalog /48/. Calculatorul este cuplat cu un spectrometru de masă cu dublă focalizare Varian Matt 311 și se încearcă punerea la punct a unor algoritmi de căutare adecvați /49/.

1.3. Cerințe și limitări impuse spectrometrelor de masă destinate cercetărilor spațiului cosmic și stadiul actual de rezolvare a lor

Informațiile multiple care se pot obține de la spectrometrele de masă fac aceste aparate aproape nelipsite în misiunile de cercetări spațiale, atât în studiul atmosferei păturilor superioare ale atmosferei cît și a atmosferei altor planete /6/.

Spectrometrele de masă se pretează la măsurători în atmosferă înaltă, deoarece la aceste înălțimi este vid și se poate deschide direct sursa de ioni a spectrometrului spre spațiul în care se măsoară. Mai mult chiar, se pot efectua măsurători și în regim ionic cind nu mai este necesară, o ionizare a gazului deoarece o parte a componentelor acestuia este gata ionizat (ionosfera).

In cazul în care spectrometrele se utilizează pentru măsurători pe alte planete, este necesar un sistem de introducere și de vidare, care să permită reducerea presiunii de la valoarea exterioară pînă la valoarea la care lucrează spectrometrele /50/.

Spectrometrele de masă care se lansează pe sateliți, pe rachete, pe stații orbitale sau pe nave cosmice care

survolează alte planete, trebuie să prezinte o serie de performanțe /8/:

- să aibă o sensibilitate ridicată (peste 1A/torr),
- să aibă o rezoluție cît mai mare (20 la 50% înălțime),
- să treacă automat de la un regim de măsurare la altul,
- să aibă un domeniu dinamic mare, pentru a putea măsura atât componentele cu concentrație mică, cît și componentele cu concentrație mare,
- să permită efectuarea unui baleaj rapid, cerință impusă și de viteza mare de deplasare a stației purtătoare,
- să transmită într-un timp scurt o cantitate mare de informație, calitativ superioară.

Toate aceste performanțe trebuie îndeplinite în condițiile în care /7/:

- puterea electrică este limitată,
- greutatea trebuie să fie mică,
- volumul ocupat să fie cît mai mic,
- să reziste la vibrațiile și la șocurile din momentul lansării,
- să lucreze la parametrii normali într-un domeniu larg de temperatură.

Analizând posibilitățile de satisfacere a tuturor acestor cerințe, în condițiile limitărilor impuse, am ajuns la concluzia că spectrometrele de masă de tip cuadrupolar sunt printre cele mai adecvate, deși din punct de vedere tehnic și tehnologic realizarea lor este mai dificilă. Alegerea s-a dovedit corectă, deoarece în ultima perioadă majoritatea spectrometrelor lansate au fost de tip cuadrupolar /6/.

In tabelul de mai jos (Tabelul 2<sup>a</sup>) sunt arătate comparativ, caracteristicile constructive și parametrii de funcționare ale unui spectrometru de masă cuadrupolar terestru de tip Varian AMP-04 și ale spectrometrului de masă cuadrupolar realizat de noi și lansat pe racheta Vertical 7 /15/,/51/.

Pentru transmiterea și înregistrarea datelor de la spectrometrul de masă cuadrupolar lansat de noi, pe rachetele Vertical 7 și Vertical 9, au fost stabilite de comun acord cu specialistii sovietici, 7 canale de telemetrie având frecvențele de eșantionare distribuite astfel: 3 canale de

Tabelul 2a

Parametrul	S M. Q AMP-04	S M. Q. spațial
Domeniul de mase	1 - 100	1 - 32
Rezoluția	100	30(10% din înălțime)
Sensibilitatea	10 A/torr	1A/torr
Domeniul dinamic	$10^6$	
Viteza de baleaj	10 mase/0,1 s	10 mase/0,3 s.
Greutatea	cca 500 kg	6,3 kg
Puterea	1,5 kW	18 W

cîte 400 Hz, 2 canale de cîte 200 de Hz și unul de 100 Hz. Durata de efectuare a măsurătorilor cu spectrometrul de masă a fost de cca 27 de minute, timp în care s-au transmis și înregistrat pe Pămînt de la aparatul românesc  $2,73 \cdot 10^6$  date, reprezentînd fiecare 3 cifre zecimale. Înseamnă că memoria necesară pentru stocarea datelor a avut capacitatea de cca 2,73 Mbytes.

Avînd în vedere faptul că numărul total de canale de telemetrie utilizate într-un astfel de experiment, pentru toate apărătele, a fost de 256, ne putem da seama de cantitatea mare de informații care trebuie transmisă, stocată și prelucrată. Faptul că sistemul de telemetrie trebuie să transmită o cantitate mare de informații duce la dezvoltarea acestuia astfel că numai 10% din greutatea unei capsule care se lansează poate fi utilizată pentru apăratura științifică propriu-zisă (capsulă de tip Intercosmos), restul fiind rezervat pentru apăratura de serviciu (telemetrie, telecomandă, surse de alimentare, sistem de stabilizare).

In cadrul lucrării se arată (cap.3) că prin utilizarea cuplajului "in-line" spectrometru de masă calculator este posibilă reducerea numărului de date care trebuie transmise spre Pămînt de cca 20 de ori, fără a pierde din informația utilă.

1.4• Stadiul actual al utilizării calculatoarelor la spectrometrele de masă destinate cercetărilor spa-  
tiului cosmic

In literatura de specialitate sunt descrise diverse sisteme numerice pentru comanda, controlul și selectarea datelor de la spectrometrele de masă destinate cercetărilor spațiale. Puterea și viteza de calcul a sistemelor utilizate și prezentate pînă la ora actuală, fiind redusă, nu permite o prelucrare primară în timp real a spectrelor de masă ci numai o selectare a datelor înaintea transmiterii lor spre Pămînt.

Astfel J.H.Hoffman și colaboratorii prezintă un spectrometru de masă cu cîmp magnetic /52/ lansat pe satelitul american Isis 2, la care semnalul rezultat de la amplificatorul electrometric este convertit din formă analogică în formă numerică și apoi este detectată amplitudinea printr-un sistem logic. Amplitudinea detectată este depusă într-un registru buffer și se transmite spre Pămînt prin sistemul de telemetrie. Poziția amplitudinii în formatul cuvîntului dat la sistemul de telemetrie, constituie informația din care se deduce masa ionilor care au generat amplitudinea respectivă. Aparatul transmite în cursul unui baleaj cca 15-20 de date, baleajul fiind de 1 secundă. Față de 1900 de date căre s-au transmis de la aparatul lansat de noi /15/, se observă că sistemul numeric introduce o reducere substanțială a datelor.

N.W.Spencer și colaboratorii /13/ utilizează un procesor simplu, realizat cu circuite integrate pe scară medie, cuplat la un spectrometru de masă cuadripolar pentru comanda numărătoarelor care înregistrează numărul de ioni. Procesorul are posibilitatea de a efectua o alegere a speciei de ioni (a masei specifice) și a curentului ionic corespunzător, pentru a fi transmise spre Pămînt.

Spectrometrul de masă cu radiofrecvență (colaborare URSS-RS Cehoslovacă), lansat pe satelitul Intercosmos 18 avea un sistem numeric de comandă și control realizat cu circuite integrate pe scară medie. Acest sistem permitea efectuarea a 40 de programe de lucru diferite, care se selectau prin transmiterea unor comenzi de la sol și înscrîerea lor într-un

registru buffer de adresare a memoriei sistemului numeric. Partea de comandă numerică a fost realizată la Institutul de cercetări geofizice din Praga /53/. Noi am participat la acest experiment cu un sistem de calibrare /22,54/, care a fost cuplat cu spectrometrul. Programul de comandă a calibrării a fost înscris deasemenea în memoria procesorului.

J.H.Hoffman, pentru măsurători efectuate pe satelitul Explorer XXXI, utilizează un baleaj în trepte al tensiunii de comandă a spectrometrului dar curenții ionici sunt înregistrati analogic /55/.

D.Krankowsky și colaboratorii /11/, au realizat un programator pentru spectrometrul de masă cuadrupolar, programator care comandă și controlează schimbarea curentului de emisie al filamentului. Pentru curentul de ioni se face o detectare analogică a picurilor după care datele care se obțin sunt transmise spre sistemul de telemetrie. Pentru reducerea datelor se iau numai cîte 8 puncte de fiecare pic, efectuindu-se un baleaj corespunzător.

U.Von Zahn /8/ de la Universitatea din Bonn realizează la un spectrometru de masă de tip monopol, o comutare automată a domeniului de masă, prin programarea electronică a baleajului, alegînd pentru măsurare numai curenții ionici de la 7 mase specifice preselectate.

N.W.Spencer într-un raport privind progresele în acest domeniu în cadrul NASA /10/, arată că tendința actuală este de a trece de la informația analogică la cea numerică, tendință rezultată din necesitatea efectuării unor determinări mai precise. De asemenea se arată că pentru spectrometrele de masă utilizate în experimente efectuate pe alte planete este necesară transmiterea amplitudinilor și maselor picurilor folosind un minim de date (cca 15-20 biți pentru a stabili amplitudinea unui pic). La spectrometrele de masă quadrupolare avînd transmisia de 100% ar fi suficientă transmiterea unui singur cuvînd de 6-8 biți pentru a determina amplitudinea unui pic.

Prezenta lucrare se înscrive pe linia acestor cercetări. Astfel sunt examinate posibilitățile de îmbunătățire a calității și de reducere a cantității informației rezultate de la un spectrometru de masă destinat cercetărilor spațiului cosmic, prin cuplarea acestuia cu un sistem de calcul bazat

pe microprocesor.

Pe sistemul de calcul realizat sînt implementați algoritmi originali pentru rezolvarea problemei determinării formulei chimice brute (cap.4), fapt care constituie o aplicație posibilă pentru prelucrarea datelor de la spectrometrele de masă terestre.

Utilizarea unui microprocesor la realizarea cuplajului cu spectrometrul de masă cuadrupolar destinat cercetărilor spațiului cosmic, oferă mai multe posibilități decît sistemele de comandă și control descrise pînă la ora actuală în literatura de specialitate, fără să ducă la o creștere importantă a puterii consumate și a greutății aparaturii.

## Capitolul 2

### CUPLAJ ON-LINE SPECTROMETRU DE MASA CUADRUPOLAR-CALCULATOR

#### 2.1. Spectrometrul de masă cuadrupolar

##### 2.1.1. Descrierea aparatului

In acest capitol vom descrie în prima parte, spectrometrul de masă cuadrupolar destinat cercetărilor spațiului cosmic /15,56/, insistînd asupra detaliilor de interes din punct de vedere al cuplajului cu calculatorul.

In sursa de ioni a spectrometrului moleculele neutre ale gazului de analizat sunt ionizate prin bombardarea cu un fascicul de electroni emis de filamentul f. Modul de realizare a stabilizării curentului de electroni emis de filament este descris în lucrarea /25/.

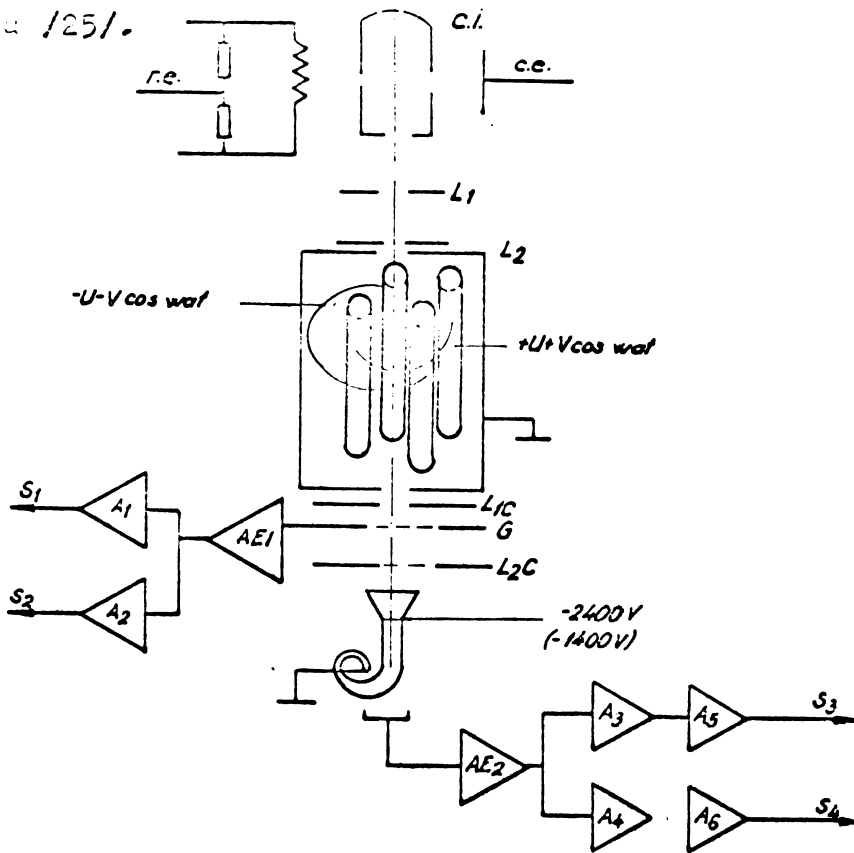


Fig.4a Schema spectrometrului de masă cuadrupolar.

Electronii fasciculului bombardant sunt captați de camera de ionizare (c.i.) și de colectorul de electroni (c.e.) (fig. 4).

Ionii rezultați în camera de ionizare sunt focalizați printr-un sistem de lentile electrostatiche ( $L_1$  și  $L_2$ ) și apoi intră în analizorul de mase cuadrupolar. La ieșirea din analizor o parte a ionilor rezultați (60%), sunt colectați pe grila G (colector Faraday) și amplificați de amplificatorul  $AE_1$ .

Semnalele  $S_1$  și  $S_2$  rezultate la ieșirea celor două canale ale amplificatorului  $AE_1$  sunt transmise spre Pămînt prin sistemul de telemetrie. Raportul între cele două semnale este:

$$\frac{S_1}{S_2} = 100 \quad (8)$$

Ionii care străbat grila G (40%) cad pe pîlnia multiplicatorului de electroni și sunt multiplicati cu un factor de  $10^5$ . Semnalul rezultat la ieșirea din multiplicator este amplificat de amplificatorul electrometric  $AE_2$ , iar semnalele rezultate  $S_3$  și  $S_4$  sunt transmise spre Pămînt. Raportul între semnale este:

$$\frac{S_3}{S_4} = 100 \quad (9)$$

Din relațiile (8) și (9) și ținînd cont de factorul de multiplicare al multiplicatorului electronic rezultă că raportul între cel mai mare semnal și cel mai mic semnal, rezultate de la electrometru, este 1000.

Pentru a putea detecta atîț currentii ionici de la presiuni relativ mari (spectrometrul a început să măsoare la înălțimea de 200 km unde presiunea atmosferei este  $10^{-4}$  -  $10^{-5}$  torri) și valori relativ mari ( $10^{-12}$  A), cît și currentii ionici foarte mici ( $10^{-17}$  A) care se obțin la înălțimi mari față de suprafață terestră (1500 km unde presiunea este oca  $10^{-11}$  torri) este necesară creșterea raportului  $S_1/S_4$ .

In acest scop tensiunea înaltă care alimentează

multiplicatorul de electroni este comutat de la valoarea ~2400 V la -1400 V astfel că factorul de multiplicare scade de la valoarea de  $10^5$  la valoarea  $10^2$ . Comutarea sursei este comandată prin sistemul de telecomandă, pe traiectoria de cădere, la înălțimea de 350 km cînd fluxul de gaz care intră în spectrometru crește datorită creșterii vitezei de cădere a containерului și datorită creșterii presiunii atmosferei prin apropierea de Pămînt.

In felul acesta s-a realizat domeniul dinamic de măsură a curentilor ionici de  $10^6$  permitînd detectarea curentilor ionici cuprinși în domeniul  $10^{-12} - 10^{-17} A$ . Schema electronică a electrometrului este prezentată în lucrarea /15/.

### 2.1.2. Analizorul de mase cuadrupolar

Analizorul de mase cuadrupolar se compune din 4 bare paralele, de secțiune hiperbolică așezate cu axele în colțurile unui patrat (fig.4).

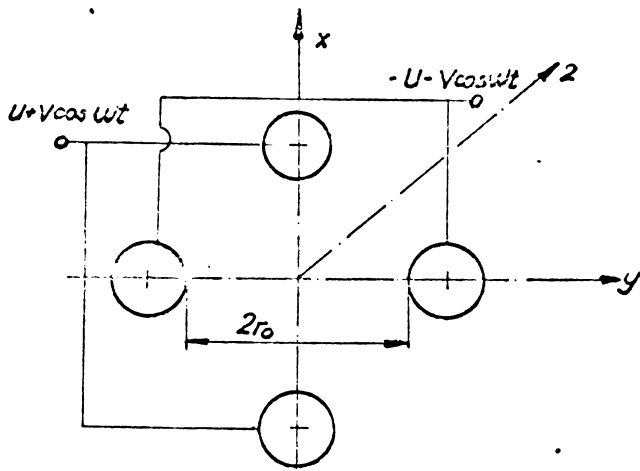


Fig.4. Schema de principiu a analizorului de mase cuadrupolar.

Barele sunt alimentate, cîte două, de la o tensiune alternativă cu frecvență de ordinul 2MHz peste care se suprapune o componentă continuă proporțională cu amplitudinea tensiunii alternative. In practică, datorită dificultăților de realizare a unei secțiuni hiperbolice a barelor, acestea

sint realizate sub formă cilindrică.

Dacă între raza barelor de formă cilindrică  $r$  și raza cîmpului cuadrupolar  $r_0$  (fig.4) există relația:

$$r = 1,468 r_0 \quad (10)$$

atunci cîmpul creat între cele patru bare aproximează cel mai bine cîmpul cuadrupolar hiperbolic /57/.

Cîmpul electric între cele patru bare care formează analizorul cuadrupolar este dat de o relație de forma:

$$E = E_0 (\lambda x + \gamma y + \beta z) \quad (11)$$

unde  $\lambda$ ,  $\gamma$ ,  $\beta$  sunt constante iar  $E_0$  este independent de poziție dar poate depinde de timp /57/.

Cîmpul între bare, prin alimentarea lor conform figurii 4, are divergență zero și aplicînd ecuația lui Laplace rezultă:

$$\nabla E = 0 \quad (12)$$

adică

$$\lambda + \gamma + \beta = 0 \quad (13)$$

Cea mai simplă cale de a satisface ecuația (13) este de a realiza următoarele condiții:

$$\lambda = -\gamma \quad ; \quad \beta = 0 \quad (14)$$

$$\lambda = \gamma \quad ; \quad \beta = -2\gamma \quad (15)$$

Deoarece cîmpul are forma dată de relația (11), rezultă prin integrare potentialul:

$$\phi = -\frac{1}{2} E_0 (\lambda x^2 + \gamma y^2 + \beta z^2) \quad (16)$$

Considerînd condițiile (14) ca adevărate rezultă:

$$\phi = -\frac{1}{2} E_0 \lambda (x^2 - y^2) \quad (17)$$

Dacă distanța între 2 bare opuse este  $2r_0$  și potentialul între aceste bare se notează  $\phi_0$  (la mijlocul distanței) se poate scrie relația:

$$\phi = \phi_0 \frac{(x^2 - r_0^2)}{2r_0} \quad \text{și} \quad \lambda = -\frac{1}{2r_0} \quad (18)$$

O particulă încărcată electric având sarcina elementară  $e$ , se mișcă în cîmpul cuadrupolar pe axa  $x$  după o trajectorie a cărei ecuație este de forma:

$$m \frac{\ddot{x}}{\partial t^2} = e E_x \quad (19)$$

Tinînd cont de relația (18) pentru cele trei direcții de mișcare rezultă sistemul de ecuații diferențiale:

$$\begin{aligned} \frac{\ddot{x}}{\partial t^2} + (e/mr_0^2)\phi_0 x &= 0 \\ \frac{\ddot{y}}{\partial t^2} - (e/mr_0^2)\phi_0 y &= 0 \\ m \frac{\ddot{z}}{\partial t^2} &= 0 \end{aligned} \quad (20)$$

Considerînd tensiunile aplicate pe cele 2 perchi de bare (fig.4) de forma  $\pm(U + V \cos \omega t)$  rezultă:

$$\begin{aligned} \frac{\ddot{x}}{\partial t^2} + (e/mr_0^2)(U + V \cos \omega t)x &= 0 \\ \frac{\ddot{y}}{\partial t^2} - (e/mr_0^2)(U - V \cos \omega t)y &= 0 \\ \frac{\ddot{z}}{\partial t^2} &= 0 \end{aligned} \quad (21)$$

Efectuînd notațiile:

$$a_u = a_x = -a_y = \frac{4eU}{m\omega^2 r_0^2} \quad (22)$$

$$q_u = q_x = -q_y = \frac{2eV}{m\omega^2 r_0^2} \quad (23)$$

și introducind parametrul de timp sub forma:

$$\xi = \frac{\omega t}{2} \quad (24)$$

se poate scrie:

$$\frac{d^2 u}{d\xi^2} + (\alpha_0 - 2\beta_0 \cos 2\xi) u = 0 \quad (25)$$

relație în care  $u$  reprezintă pe  $x$  sau pe  $y$ . În relațiile anterioare am notat cu  $V$  ~ amplitudinea tensiunii de radiofreqvență,  $U$  ~ componenta continuă a tensiunii,  $\omega$  pulsăția.

Ecuația diferențială (25) este un caz particular al ecuațiilor de tip Hill, fiind cunoscută sub denumirea de ecuație de tip Mathieu /58/.

Soluția ecuației diferențiale (25) poate fi exprimată printr-o relație de forma:

$$u = \alpha_1 e^{i\mu\xi} \sum_{n=-\infty}^{\infty} C_{2n} e^{2in\xi} + \alpha_2 e^{-i\mu\xi} \sum_{n=-\infty}^{\infty} C_{2n} e^{-2in\xi} \quad (26)$$

în care  $\alpha_1$  și  $\alpha_2$  sunt constante de integrare depinzând de condițiile initiale  $u_0, \dot{u}_0, \partial u / \partial \xi$  /57/.

Constantele  $C_{2n}$  și  $\mu$  depind de valorile lui  $a$  și  $q$  fiind independente de condițiile initiale /57/.

Rezultă în primul rînd că mișcarea ionilor în cîmpul cuadrupolar depinde de parametrii  $a$  și  $q$  și nu de condițiile initiale. Cu alte cuvinte toți ionii avînd aceeași periodicitate a mișcării vor avea același  $a$  și  $q$ . Se observă de asemenea din relația (26) că există două tipuri de soluții depinzând de natura parametrului  $\mu$ . Astfel pot exista soluții stabile cînd  $\mu$  rămîne finit pentru  $\xi \rightarrow \infty$ , soluții care sănt utile pentru cazul instrumentului creiat de noi cu condiția ca valoarea  $u_{\max}$  să nu depășească  $r_0$ , limita fizică a cîmpului electric. Al 2-lea grup de soluții pentru care  $\mu$  crește nelimitat cînd  $\xi \rightarrow \infty$  reprezintă domeniul neutilizat în cazul spectrometrului de masă cuadru-

polar.

Dacă parametrul  $\gamma_U$  depinde numai de parametrii  $a$  și  $q$  condițiile de stabilitate ale soluțiilor pot fi reprezentate printr-o diagramă de stabilitate în planul  $a$ ,  $q$  (fig.5).

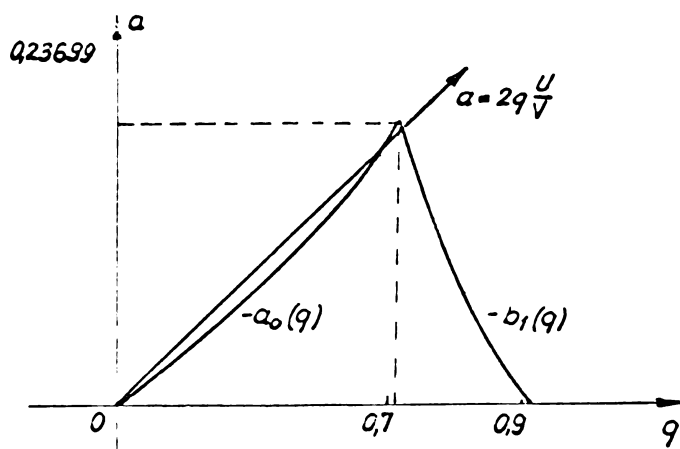


Fig.5. Domeniul de stabilitate în planul  $a$ ,  $q$ .

Din domeniul de stabilitate al soluțiilor sistemului (25) portiunea cuprinsă între curbele:

$$a_0(q) = \frac{1}{2} q^2 - \frac{7}{128} q^4 + \frac{29}{2304} q^6 - \frac{68687}{18874368} q^8 + \dots \quad (27)$$

$$b_1(q) = 1 - q - \frac{1}{8} q^2 + \frac{1}{64} q^3 - \frac{1}{1536} q^4 \dots$$

este cea în care funcționează analizorul de mase cuadrupolar /57/.

Practic alegerea portiunii din domeniul de stabilitate în care să lucreze analizorul de mase cuadrupolar se face schimbând raportul  $U/V$  (fig.5).

Din relațiile (22) și (23) rezultă:

$$a = 2 q \frac{U}{V} \quad (28)$$

Relația (28) reprezintă o dreaptă care limitează domeniul de stabilitate la o suprafață mică din vîrful "triunghiului" (fig.5). Schimbând panta dreptei de baleaj masic (relația 23) se schimbă domeniul de stabilitate și ca urmare numai ionii de o anumită masă vor putea străbate analizorul de mase. Se observă că mărind raportul U/V, rezoluția crește și transmisia scade (rezoluția este precizia cu care se poate determina masa iar transmisia reprezintă raportul dintre curentul de ieșire și curentul de intrare), deoarece domeniul de stabilitate în care lucrează analizorul se micșorează.

Obținerea diferitelor mase la ieșirea din analizor se face schimbând amplitudinea tensiunii de radiofrecvență și a componentei continue astfel încât raportul U/V să rămână constant, frecvența fiind constantă.

Există și o legătură explicită între masa specifică a ionilor care se obțin la ieșirea din analizor /57/ și amplitudinea tensiunii de radiofrecvență, legătură dată de relația:

$$M = \frac{7 \times 10^6 V}{f^2 r_0^2} \quad (29)$$

Din relația (29) se observă că efectuând un baleaj liniar al amplitudinii tensiunii de radiofrecvență V, masele M vor apărea liniar distribuite în timp în spectrul de masă, lucru arătat și prin relația (2).

### 2.1.3. Condițiile de stabilitate necesare pentru realizarea unui analizor de mase cuadrupolar

Pornind de la relațiile (22) și (23) și derivând în raport cu masa rezultă:

$$\frac{d s_u}{d m} = - \frac{a}{m} \quad (30)$$

și

$$\frac{dq_u}{d m} = - \frac{q}{m} \quad (31)$$

sau

$$\frac{a}{\Delta a} = - \frac{m}{\Delta m} \quad (32)$$

respectiv

$$\frac{q}{\Delta q} = - \frac{m}{\Delta m} \quad (33)$$

Tinind cont că rezoluția unui spectrometru de masă se definește prin relația:

$$R = \frac{m}{\Delta m} \quad (34)$$

și de faptul că avem două perechi de bare rezultă că parametrii  $a$  și  $q$  trebuie să îndeplinească condițiile:

$$\frac{\Delta a}{a} = \frac{1}{2R} \quad (35)$$

și

$$\frac{\Delta q}{q} = \frac{1}{2R} \quad (36)$$

Derivînd relațiile (22) și (23) în report cu  $U$ ,  $V$ ,  $f$  și  $r_0$  și tinind cont de (35) și (36) se obtine:

$$\frac{\Delta U}{U} = \frac{1}{2R} \quad (37)$$

$$\frac{\Delta V}{V} = \frac{1}{2R} \quad (38)$$

$$\frac{\Delta f}{f} = \frac{1}{2R} \quad (39)$$

$$\frac{\Delta r_0}{r_0} = \frac{1}{4R} \quad (40)$$

Pe lîngă condițiile 37,38,39,40 deduse de noi /23/, se demonstrează /57/ că o bună funcționare a unui analizor de mase cuadrupolar este conditionată și de relația:

$$k_f \leq \frac{1}{4R} \quad (41)$$

în care  $k_f$  este coeficientul de distorsiuni al undelor sinusoidale care se aplică pe bare.

Pentru rezoluția de 100 (la jumătatea înălțimii picului) pe care am realizat-o la spectrometrul de masă cuadrupolar lansat pe racheta geofizică Vertical 7 /15/,/23/, condițiile simultane de funcționare corectă au fost:

$$\frac{\Delta U}{U} \leq \frac{1}{200}; \quad \frac{\Delta V}{V} \leq \frac{1}{200}; \quad \frac{\Delta f}{f} \leq \frac{1}{400} \quad (42)$$

$$k_f \leq \frac{1}{400} \quad (43)$$

$$\frac{\Delta r_0}{r_0} \leq \frac{1}{400} \quad (44)$$

Tinind cont de faptul că tensiunile de alimentare a celor două perechi de bare, de polaritate plus și minus, se obțin din infășurări diferite ale transformatorului de ieșire /51/, condițiile de stabilitate cresc la număr, fiind necesară îndeplinirea a 9 condiții simultane pentru o bună funcționare a analizorului de mase cuadrupolar.

Pentru raza cîmpului cuadrupolar  $r_0 = 0,485$  cm din condiția 40 rezultă neparalelismul la prelucrarea și montarea barelor

$$\Delta r_0 \leq 1,21 \times 10^{-2} \text{ mm} \quad (45)$$

Relația (45) arată că pe toată lungimea barelor analizorului de mase cuadrupolar, deci pe distanța de 19 cm cît au fost barele în cazul nostru, eroarea admisă pentru distanța dintre bare trebuie să fie mai mică de 1,21 sutimi de milimetru.

Cu o altă variantă a spectrometrului de masă am obținut rezoluția de 240 cu un generator de radiofreqvență realizat pentru frecvență de 2 Mhz /51/. Spectrometrul de masă lansat a avut rezoluția mai bună decât 100 fiind din acest punct de vedere la nivelul aparatelor bune realizate.

pentru astfel de scopuri de către țări avansate din punct de vedere tehnic (SUA, RFG, Japonia, URSS /6/).

#### 2.1.4. Blocul electronic al spectrometrului

Dificultățile în realizarea blocului electronic au constat în condițiile de stabilitate multiple impuse diferitelor tensiuni, într-un domeniu de temperatură de  $0^{\circ}\text{C}$  la  $40^{\circ}\text{C}$  precum și datorită limitării stricte a puterii consumate. De asemenea la realizarea montajelor electronice s-au impus dimensiuni de gabarit reduse și o fiabilitate ridicată atât la vibrații, cât și la variația temperaturii de depozitare ( $-50^{\circ}\text{C} - +50^{\circ}\text{C}$ ) (s-au efectuat încercări la vibrații pînă la accelerată de 30 g baleind frecvența de vibrație de la zero la 25 kHz).

In figura 6 este prezentată schema bloc a părții de electronică a spectrometrului.

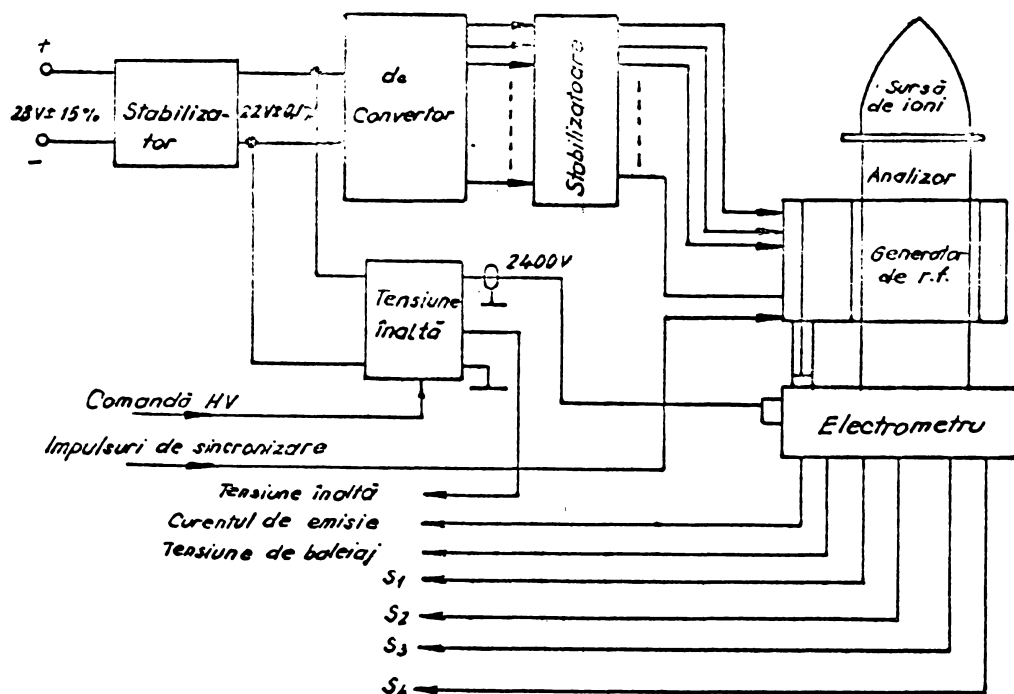


Fig.6. Schema blocului electronic.

Tensiunea de alimentare (poate fi baterie solară sau accumulator) este stabilizată și stabilizatorul alimentează convertorul de tensiune la ieșirea căruia se obțin tensiuniile necesare spectrometrului de masă și unităților electronice auxiliare (amplificatorul electrometric, generatorul de radiofrecvență, stabilizatorul curentului de emisie)/15/.

Sursa de tensiune finală pentru alimentarea multiplicatorului de electroni este realizată cu un convertor independent, la care tensiunea de ieșire este multiplicată de șase ori.

Puterea totală consumată de întregul bloc de electronică (sursele, oscilatorul și electrometrul) este de maximum 19,6 Wați, iar puterea medie de 16,1 Wați.

Principalii parametri de funcționare ai blocului electronic precum și spectrele de masă au fost transmise spre Pămînt prin intermediul sistemului de telemetrie, fiind măsurate prin eșantionare (conform Tabelului 2b).

Tabelul 2b

Parametrul	Frecvența de eșantionare Hz
Tensiunea finală	100
Tensiunea de baleaj	200
Curent de emisie	100
Spectrul $S_1$	200
Spectrul $S_2$	400
Spectrul $S_3$	400
Spectrul $S_4$	400

Datele obținute astfel la stațiile de urmărire terestre au fost înregistrate în timp real în formă numerică pe bandă magnetică. Cele patru fisiere conținute pe banda magnetică primită de la stația de urmărire au fost citite și prelucrate în țară la Centrul teritorial de calcul din Cluj-

Napoca. Pentru citirea benzii s-au utilizat programe în limbajul Cobol iar pentru prelucrare, programele au fost scrise în Fortran. Nu redăm aceste programe deoarece nu sunt de interes deosebit și pentru că nu extinde lucrarea.

La stabilirea frecvențelor de eșantionare a spectrelor de masă și la alegerea benzii de frecvență a amplificatorului electrometric am utilizat metode de calcul proprii, metode care vor fi descrise în capitolele următoare.

Schema generatorului de radiofrecvență pentru alimentarea barelor analizorului de mase cuadrupolar este prezentată în figura 7. Cu acest generator am obținut o amplitudine a tensiunii de radiofrecvență  $V = 250$  V la putere consumată de 5,8 wăți. Stabilitatea tensiunilor generatorului a fost în limitele impuse de relațiile 42. Pentru a obține o amplitudine mare a tensiunilor de radiofrecvență, un coeficient de dis-torsiuni scăzut pentru tensiunile de ieșire la un consum de putere redus, etajul de ieșire al generatorului s-a realizat cu un circuit rezonant paralel /23/. În acest circuit acordat intră și capacitatea barelor, capacitate care constituie sarcina propriu-zisă.

Factorul de calitate în gol al circuitului acordat a fost de 100 și s-a măsurat ridicind caracteristica impedanță în funcție de frecvență. Cuarțul utilizat în oscilator a putut fi măsurat din punct de vedere al factorului de calitate cu un q-metru numeric realizat de autor în colaborare /59/.

Din schema generatorului de radiofrecvență se observă că tensiunea de referință pentru amplificatorul de eroare se obține de la un circuit integrator ( $A_3$ ) care generează o tensiune liniar variabilă în timp. Reluarea baleajului este comandată prin intermediul unui releu polarizat, de către impulsurile de sincronizare de la bordul rachetei.

Pentru realizarea cuplajului on-line, spectrometru de masă cuadrupolar-calculator, tensiunea de referință dată de integrator a fost înlocuită cu o tensiune generată la ieșirea numeric-analogică a calculatorului.

2.2. Caracteristicile convertoarelor analog-numerice  
utilizate la cuplajul on-line spectrometru de masă-  
calculator

2.2.1. Limitări în viteza de baleiaj a spectrelor de masă

Pentru realizarea unui sistem de achiziție a spectrelor de masă bazat pe calculator este necesară determinarea vitezei maxime de baleiaj deoarece aceasta va dicta nevoie sitățile referitoare la viteza de lucru a sistemului de achiziție.

Trebuie să precizăm că determinarea vitezei de baleiaj în cazul spectrometrului de masă cuadrupolar se reduce la determinarea benzii de frecvență a amplificatorului electrometric. Tendința este de a realiza viteze de baleiaj cît mai mari, pentru a obține cît mai multe date, dar la viteză mare amplificatoarele electrometrice care amplifică curenti de ordinul  $10^{-11}$ - $10^{-15}$  A (convertesc curent în tensiune) nu au bandă de frecvență suficient de mare și ca urmare picurile din spectrul de masă sănătate deformează /60/. Înseamnă că viteza de baleiaj este limitată de banda de frecvență a amplificatorului electrometric, respectiv de constanta de timp a acestui amplificator.

Pe de altă parte semnalul generat de curentii ionici foarte mici ( $10^{-12}$ - $10^{-15}$  A) cuprinde foarte mult zgomot alb /27/ și pentru efectuarea unei "netezirii" a semnalului este necesară o constantă de timp cît mai mare.

Notând cu  $T$  durata unui pic se poate determina o frecvență echivalentă pentru amplificatorul electrometric, astfel ca acesta să permită trecerea aceluiasi nivel de zgomot ca și în cazul utilizării unui integrator care să integreze zgomotul pe durata unei perioade egale cu durata picului și valoarea obținută se consideră uniform distribuită pe timpul unui pic.

Bazat pe acest criteriu putem deduce o relație care să permită o legătură între viteza de baleiaj (durata picurilor) și banda de frecvență a amplificatorului electrometric /61/.

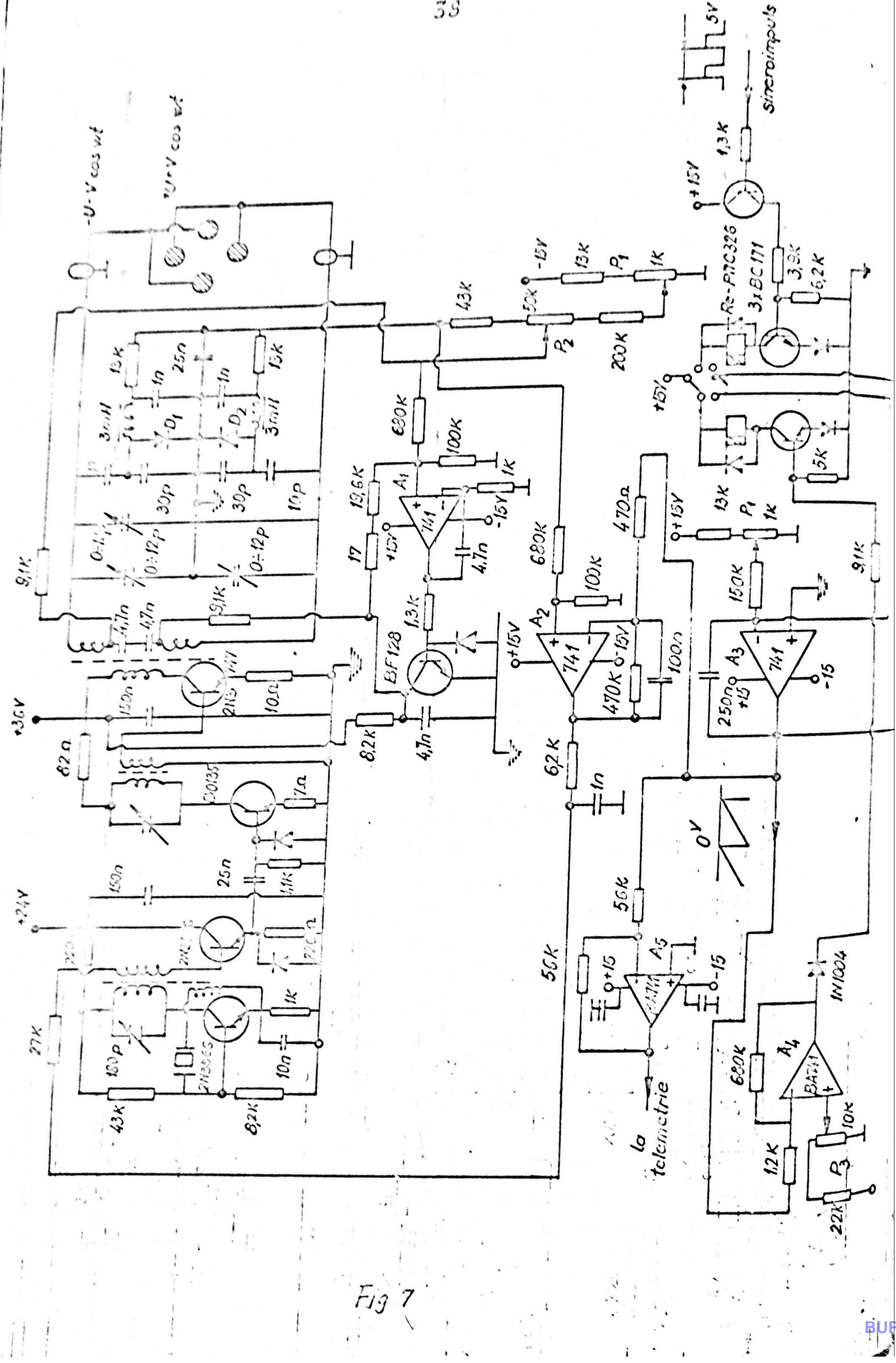


Fig 7

BUPT

Este cunoscut că nivelul mediu al zgomotului reținut de un integrator în intervalul de timp  $T$  va fi dat de relația:

$$I_1 = \int_0^{\infty} \left| \frac{1}{T} \int_0^T e^{j\omega t} dt \right|^2 d\omega \quad (46)$$

în care:  $\omega$  - pulsația zgomotului (spectrul)

$T$  - timpul de integrare

$I_1$  - valoarea medie a zgomotului alb integrat în perioada  $T$ .

Nivelul zgomotului alb rezultat la ieșirea unui amplificator electrometric având constanta de timp este dat de relația

$$I_2 = \int_0^{\infty} \left| e^{j\omega t} \frac{1}{1+j\omega\tau} \right|^2 d\omega \quad (47)$$

Egalind expresiile (46) și (47) rezultă o ecuație din care se poate determina constanta de timp a amplificatorului electrometric în funcție de durata unui pic.

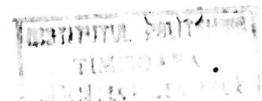
Efectuind calculele rezultă:

$$\begin{aligned} A = \int_0^T e^{j\omega t} dt &= \frac{e^{j\omega T} - 1}{j\omega} = \frac{j(1 - e^{j\omega T})}{\omega} = \frac{j}{\omega}(1 - \cos\omega T - j\sin\omega T) = \\ &= \frac{1}{\tau} \left( \frac{\sin\omega T}{\omega} + j \frac{1 - \cos\omega T}{\omega} \right) \end{aligned} \quad (48)$$

$$|A|^2 = \frac{1}{\tau^2} \left[ \frac{\sin^2\omega T}{\omega^2} + \frac{(1 - \cos\omega T)^2}{\omega^2} \right] = \frac{2(1 - \cos\omega T)}{\tau^2 \omega^2} \quad (49)$$

$$\begin{aligned} \int_0^{\infty} \frac{1 - \cos\omega T}{\tau^2 \omega^2} d\omega &= \frac{2}{\tau^2} \int_0^{\infty} (1 - \cos\omega T) d\left(-\frac{1}{\omega}\right) = \frac{2}{\tau^2} \left[ \frac{\cos\omega T - 1}{\omega} \right]_0^{\infty} + \\ &+ \int_0^{\infty} \frac{d(1 - \cos\omega T)}{\omega} = \frac{2}{\tau} \int_0^{\infty} \frac{\sin\omega T}{\omega} d\omega = \frac{\pi}{\tau} \end{aligned} \quad (50)$$

Decoarece



$$\int_0^{\infty} \frac{\sin \omega t}{\omega} d\omega = \frac{\pi}{2} \quad \text{sinus integrat 1941} \quad (51)$$

Pentru termenul  $I_2$  rezultă:

$$\begin{aligned} \beta &= \left| \frac{e^{j\omega t}}{1+j\omega\epsilon} \right|^2 = \left| \frac{\cos \omega t + j \sin \omega t}{1+j\omega\epsilon} \right|^2 = \\ &= \frac{1}{[1+(\omega\epsilon)^2]^2} [(cos \omega t + \omega\epsilon \sin \omega t)^2 + (\sin \omega t - \omega\epsilon \cos \omega t)^2] = \\ &= \frac{1}{1+(\omega\epsilon)^2} \end{aligned} \quad (52)$$

Efectuind integrala rezultă:

$$\int_0^{\infty} \frac{d\omega}{1+(\omega\epsilon)^2} = \frac{1}{\epsilon} \int_0^{\infty} \frac{d(\omega\epsilon)}{1+(\omega\epsilon)^2} = \frac{1}{\epsilon} \arctg \omega\epsilon \Big|_0^{\infty} = \frac{\pi}{2\epsilon} \quad (53)$$

Din relațiile (50) și (53) rezultă:

$$\gamma = 0,5T \quad (54)$$

Relația (54) stabilește o legătură între timpul de baleaj al unui pic (timpul  $T$ ) și constanta de timp a amplificatorului electrometric care detectează curentii ion. Timpul cît durează un pic depinde nu numai de viteza de baleaj ci și de rezoluția spectrometrului. De acest lucru trebuie să se ia în considerare că este deosebit de dificil să se determine exact durata  $T$  a unui pic. Se poate face această determinare înregistrând un pic cu viteză mică de baleaj și comprimând scara timpului; rezultă din calcul rata picului la viteză de baleaj mai mare și se poate deduce banda de frecvență a amplificatorului electrometric.

Rezultatele prezentate de noi pentru determinarea benzii de frecvență a amplificatoarelor electrometrice utilizate în spectrometria de masă sunt asemănătoare cu cele raportate de A.E.Banner în lucrarea /60/ printr-o altă metodă de calcul.

Pe lîngă limitările de viteză datorate electrometrului în cazul cuplajului on-line a spectrometrului de masă cu un sistem de calcul sau în cazul utilizării spectrometrului în cercetarea spațiului cosmic, spectrul de masă trebuie eșantionat.

Pentru spectrometrul de masă lansat de noi a fost necesară determinarea frecvenței de eșantionare a sistemului de telemetrie de la bordul rachetei în funcție de parametrii spectrometrului și de viteza de baleiaj /17/.

### 2.2.2. Metodă de calcul a frecvenței de eșantionare a unui spectru de masă

Dacă baleiajul maselor se face după o funcție liniară de timp, semnalul gaussian /62/, care reprezintă distribuția în timp a ionilor de o anumită masă specifică la sistemul de detectie, este dată de relația:

$$y = A_0 e^{-\beta t^2} \quad (55)$$

în care:  $y$  – este valoarea momentană a semnalului (reprzentînd curentul ionic parțial)

$t$  – timpul în secunde

$\beta$  – factor de formă

Considerăm semnalul gaussian singular, caz care poate apărea în cadrul unui spectru de masă, dacă distanța între două picuri este foarte mare în raport cu lățimea picurilor.

Calculind funcția spectrală corespunzătoare /63/ semnalului singular, descris de relația 55, rezultă:

$$S(\omega) = \frac{A_0 \sqrt{\pi}}{\beta} e^{-\frac{\omega^2}{4\beta^2}} \quad (56)$$

în care  $S(\omega)$  este funcția spectrală iar  $\omega$  este frecvența unghiulară.

Se observă că un semnal singular de durată finită are componente pe întreaga axă a frecvențelor. Se poate defini însă o lărgime de bandă  $B$  ca fiind domeniul de frec-

vom ju în care este cuprinsă p% din energia semnalului /64/.

Înînd cont cu energia semnalului este:

$$e(\omega) = |s(\omega)|^2 \quad (57)$$

rezultă:

$$\int_{-\frac{\beta}{2}}^{+\frac{\beta}{2}} \left| \frac{A\sqrt{\pi}}{\rho} e^{-\frac{\omega^2}{4\rho^2}} \right|^2 d\omega = \frac{A^2 \pi}{4\rho^2} \int_{-\infty}^{\infty} e^{-\frac{\omega^2}{4\rho^2}} d\omega \quad (58)$$

Utilizând notăriile:

$$\frac{\omega}{\sqrt{2}\beta} = \xi \quad ; \quad \frac{\rho}{100} = \delta \quad (59)$$

relația (22) devine:

$$\int_0^{\frac{\beta}{2\sqrt{2}\beta}} e^{-\xi^2} d\xi = \delta \int_0^{\infty} e^{-\xi^2} d\xi \quad (60)$$

Decarece:

$$\int_0^{\infty} e^{-\xi^2} d\xi = \frac{\sqrt{\pi}}{2} \quad (61)$$

relația (60) se poate scrie:

$$\frac{2}{\sqrt{\pi}} \int_0^{\frac{\beta}{2\sqrt{2}\beta}} e^{-\xi^2} d\xi = \delta \quad (62)$$

Dacă notăm:

$$\frac{\beta}{2\sqrt{2}\beta} = x \quad (63)$$

rezultă

$$\frac{2}{\sqrt{\pi}} \int_0^x e^{-\xi^2} d\xi = \delta \quad (64)$$

Recunoaștem în membrul stîng al acestei ecuații, funcția erorilor. Integrînd în mod succesiv prin părți se obține:

$$\hat{d} = 1 - \frac{e^{-x^2}}{x} \left( \frac{1}{x} - \frac{1}{2x^3} + \frac{1 \cdot 3}{2^2 x^5} - \frac{1 \cdot 3 \cdot 5}{2^3 \cdot x^7} + \dots \right) \quad (65)$$

In această relație membrul drept este convergent pentru  $x > 1$ . Expresia (65) reprezintă o ecuație transcendentă în raport cu  $x$ , care se poate rezolva prin metode numerice. Termenii de ordin superior se neglijeză în funcție de precizia cerută /65/. In Tabelul 3 se dau valorile argumentului  $x$  funcție de valoarea lui  $\sigma$ .

Tabelul 3

$x$	0,95	1,2	2,4	2,8	3
$\sigma$	0,820890	0,910314	0,999311	0,999925	0,999978

Din relația (63) se poate calcula banda de frecvență  $B$  a semnalului gaussian 55, dacă se cunoaște factorul de formă  $\beta$ .

Pentru determinarea lui  $\beta$  s-a înregistrat un pic (prezentat în figura 8) de la spectrometrul de masă quadrupolar Varian AMP-04 cu sistemul de achiziție care va fi prezentat în capitolele următoare.

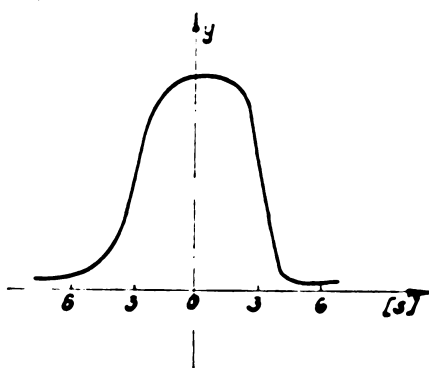


Fig.8. Forma picului înregistrat.

S-au obținut valorile cuprinse în Tabelul 4.

Viteza maximă de baleaj a spectrometrului amintit este 0,32 secunde pentru 100 u.a.m. (unități atomice de masă),

Tabloul 4

y(t)	t <sub>max</sub> /sec./	t <sub>min</sub> /msec/
6	+3,5	+2,8
12	-3,5	-2,08
17,3	+3	+1,78
20,2	-3	-1,78
29,2	+2,5	+1,49
26,5	-2,5	-1,49
35	+2	+1,185
31,5	-2	-1,185

iar viteza minimă este 5,0 secunde pentru 100 u.a.m.

Cu punctele astfel obținute se pot calcula două curbe de regresie de formă gaussiană prin utilizarea metodei de aproximare a celor mai mici pătrate. Au rezultat mărurile caracteristice acestor curbe:  $A_0 = 72$  mm și  $\beta = 0,4$  pentru viteza cea mai mică de baleaj și  $A_0 = 72$  mm și  $\beta = 687,169$  pentru viteza cea mai mare de baleaj. Calculele s-au efectuat pe un calculator Hewlett Packard 9100 B (și pe un calculator Nova 3-programul în anexa 8).

Utilizând valorile astfel calculate, din relația (63) se poate determina banda de frecvență corespunzătoare celor două vitezelor de baleaj. Pentru  $\delta = 0,999978$  și viteza minimă de baleaj, rezultă:

$$B_{\min} = 2\sqrt{2} \cdot x = 2\sqrt{2} \cdot 0,4 \cdot 3 = 3,4 \text{ Hz} \quad (66)$$

$$B_{\max} = 2\sqrt{2} \cdot 687,169 \cdot 3 = 1860 \text{ Hz} \quad (67)$$

Conform teoremei eșantionării /63/ rezultă că frecvența de eșantionare în cele două cazuri trebuie să fie:

$$f_{\min} = 2 B_{\min} = 6,8 \text{ Hz} \quad (68)$$

$$f_{\max} = 2 B_{\max} = 11370 \text{ Hz} \quad (69)$$

S-au calculat frecvențele de eșantionare conform relației (63) și schimbând valorile lui  $x$  conform tabelului 3. Rezultatele obținute sunt cuprinse în tabelul 5.

Tabelul 5

$x$	$f_{\min}$	$f_{\max}$	Nr. puncte/pic	
0,820890	0,95	2,16	3680	11,6
0,910314	1,2	2,72	4640	14,65
0,999311	2,4	5,43	9280	29,3
0,999925	2,8	6,33	10810	34,6
0,999978	3	6,8	11670	36,7

Aceste rezultate sunt asemănătoare cu cele raportate în literatură /66/ care însă s-au obținut luând în considerare parametri spectrometrului ( $t_{10}$  – timpul de baleaj al unei decade și  $R$  rezoluția), sau cu rezultatele obținute experimental fără o justificare prin calcul /67,68/. Avantajul metodei prezentate constă în faptul că se poate calcula exact frecvența de eșantionare în funcție de precizia dorită, sau se poate determina timpul de baleaj al unui pic astfel încât la o frecvență de eșantionare dată să se poată stabili cu ce precizie se cunosc parametrii picului.

In cazul spectrometrului de masă lansat pe racheta Vertical 7 am ales viteza de baleaj de 2 secunde pentru 32 u.a.m. asigurînd la frecvență de eșantionare de 400 Hz circa 24 de puncte pentru un pic.

Metoda de calcul se poate aplica și pentru cazul cînd picul este aproximat printr-un trapez /28/ sau printr-o altă formă de undă.

### 2.2.3. Timpul de conversie analog – numerică

Luarea fiecărui eșantion din semnalul analogic care reprezintă spectrul de masă, durează un timp finit  $\Delta t > 0$ .

În acest interval de timp la intrarea convertorului analog-numeric, semnalul variat și acesta variază pe care constituie o creștere în anumite situații (schimbarea frecvenței de operațional). Din acestuia cauză se va determina timpul de conversie astfel încât variația semnalului să fie mai mică decât o limită impusă. Considerind spectrul de masă ca o funcție de timp și aplicând formula creșterilor finite rezultă:

$$y(t + \Delta t) - y(t) = \Delta t y'(t + \theta t) \quad (70)$$

unde  $y$  este derivata întâia iar  $\theta$  este o valoare numerică cuprinsă în intervalul  $[0 \dots 1]$ .

Se observă că variația semnalului este maximă când derivata funcției  $y$  este maximă. Notând cu  $y_{max}$  maximul derivatăi, condiția care trebuie îndeplinită se poate scrie sub forma:

$$\Delta t |y'_{max}| \leq \varepsilon \quad (71)$$

unde  $\varepsilon$  este variația de semnal admisă la intrarea în convertor în interval  $\Delta t$ .

Calculând maximul derivatăi pentru funcția dată de relația (55) și înținând cont de condiția (71) se obține:

$$\Delta t \leq \frac{\varepsilon}{A_0 \beta \sqrt{\varepsilon}} \quad (72)$$

Relația (72) stabilește timpul de conversie în funcție de variația admisă pentru semnalul de intrare în convertor.

## 2.3. Calculatorul realizat pe baza microprocesorului 8080

### 2.3.1. Structura sistemului de calcul

În schema bloc din figura 9 se observă că structura calculatorului realizat cuprinde pe lîngă unitatea centrală și o serie de periferice necesare pentru achiziția da-

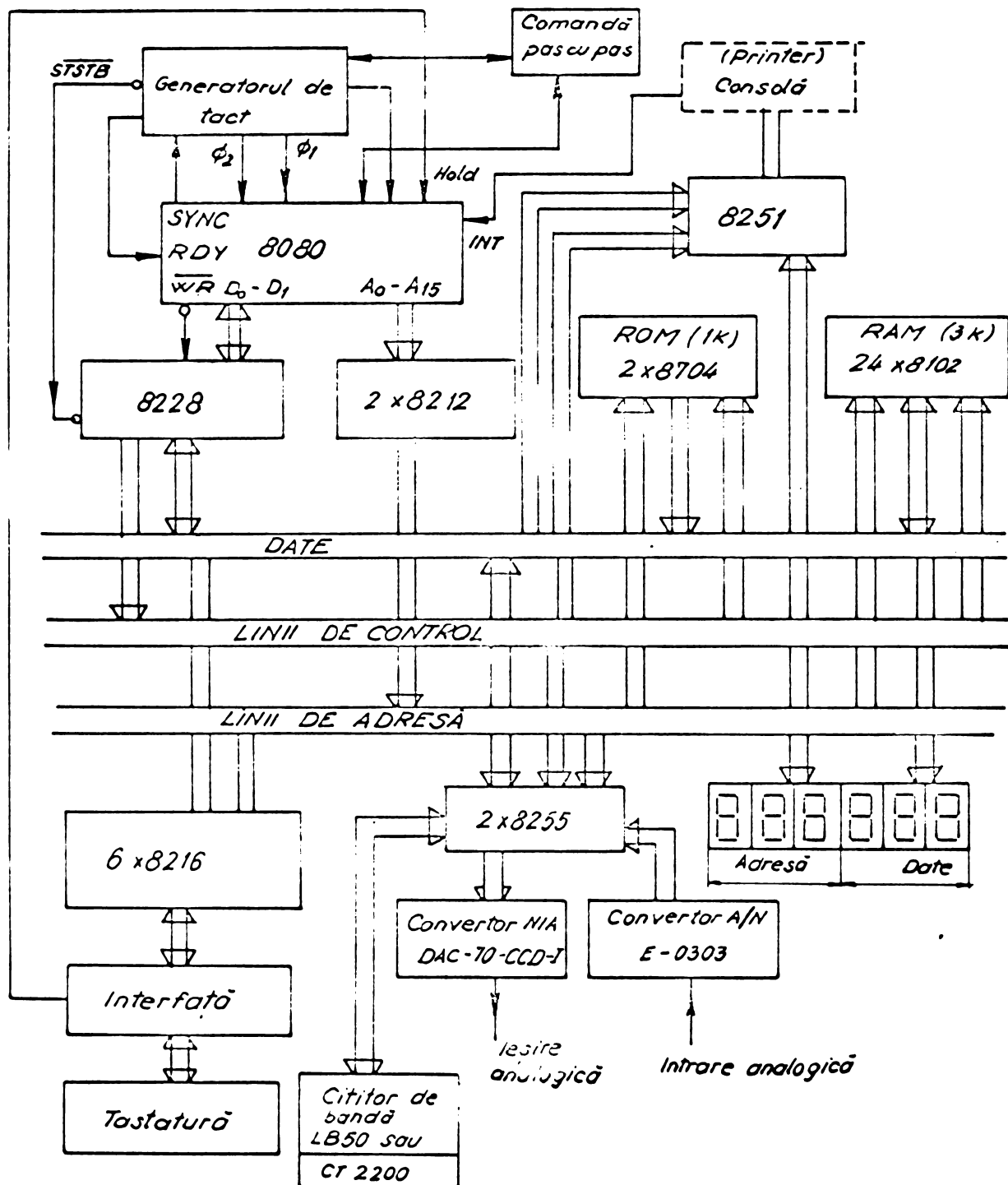


Fig. 9

Structura calculatorului

telor de la spectrometrul de masă. Astfel există o ieșire analogică programabilă și o intrare de la un convertor analog-numeric. De asemenea pentru a cunoaște starea în care se găsește sistemul de calcul, liniile de date și de adrese sunt cuplate prin intermediul unor decodificatoare la sistemul de afișaj. Pentru depanarea programelor sistemul are posibilitatea realizării comenzi pas cu pas sau instrucție cu instrucție.

Introducerea programelor se poate efectua prin intermediul unui cititor de bandă perforată sau direct de la testatură.

Vom descrie sumar părțile componente ale sistemului de calcul arătând modul de funcționare al circuitelor standard produse de firma Intel precum și al circuitelor auxiliare realizate de autor.

#### 2.3.1.1. Generatorul de tact

Generatorul de tact a fost realizat cu circuite integrate pe scară medie. Astfel pentru a obține semnalele de tact (fig.10), frecvența de 10 MHz rezultată de la un oscillator pilotat cu quart, a fost divizată cu 9 utilizând un număratör SN74490 (fig.10). Perioada impulsurilor de tact este:

$$t = \frac{g}{10 \cdot 10^6} = 900 \text{ nsec.} \quad (73)$$

Din tabelul de adevăr care descrie funcționarea circuitului SN74490 /78/, rezultă pentru impulsurile de tact următoarele funcții logice sintetizate cu circuite SI-NU:

$$\emptyset_2 = \overline{Q_C} \quad (74)$$

$$\emptyset_1 = \overline{\overline{Q_B} \cdot Q_C} \quad (75)$$

$$R_{O1} = \overline{Q_D \cdot Q_A \cdot \text{tact}} \quad (76)$$

$$R_{g1} = 0 \quad (77)$$

$$R_{o2} = 1 \quad (78)$$

Transformarea nivelului de tensiune rezultat de

la circuitele TTL, în nivelul de 12 V cerut de microprocesor, s-a realizat cu un circuit inversor (fig.10) care asigură tempi de comutare scăzuți (cca 20 nsec).

Pe lîngă impulsurile de tact, de la generatorul de tact se obține și semnalul RESET care șterge numărătorul de adrese trecind astfel microprocesorul în starea zero. Durata semnalului RESET trebuie să fie de trei ori mai mare decât durata unui ciclu de lucru al microprocesorului. Pentru a genera acest impuls s-a utilizat circuitul monostabil 74121-intrarea pe triggerul Schmitt. Comanda RESET este condiționată de impulsul de tact.

Comanda HOLD trece liniile de date și de adrese în stare de impedanță ridicată, permitînd lucrul direct cu memoria (DMA).

REDDY este o comandă care se dă microprocesorului de la perifericele lente indicînd faptul că perifericul respectiv este gata să primească o nouă comandă de la unitatea centrală. Semnalul REDDY este sincronizat cu impulsul de tact.

Semnalul STSB este generat la începutul fiecărui ciclu mașină și comandă memorarea stărilor de pe liniile de date în registrele "controlerului" – circuitul 8228.

#### 2.3.1.2. Controlul stărilor transmise pe liniile de date

Pentru obținerea semnalelor de comandă corespunzătoare stărilor prin care trece unitatea centrală este utilizat circuitul Intel 8228.

Acest circuit are un registru în care sunt memorate stările de pe liniile de adrese în momentul cînd se dă comanda STSB. Stările de pe liniile de adrese odată memorate sunt decodificate și se obțin semnalele de comandă pentru înscrîerea și citirea memoriei și pentru înscrîerea și citirea perifericelor.

Semnalul BUSEN condiționează funcționarea circuitului 8228. Astfel dacă BUSEN = 0 circuitul rămîne blocat și nu acceptă alte comenzi iar pentru BUSEN = 1, circuitul lucrează normal.

Semnalul INTA generat de către circuitul 8228 rezultă ca răspuns la o cerere de întrerupere /69,70/. Odată

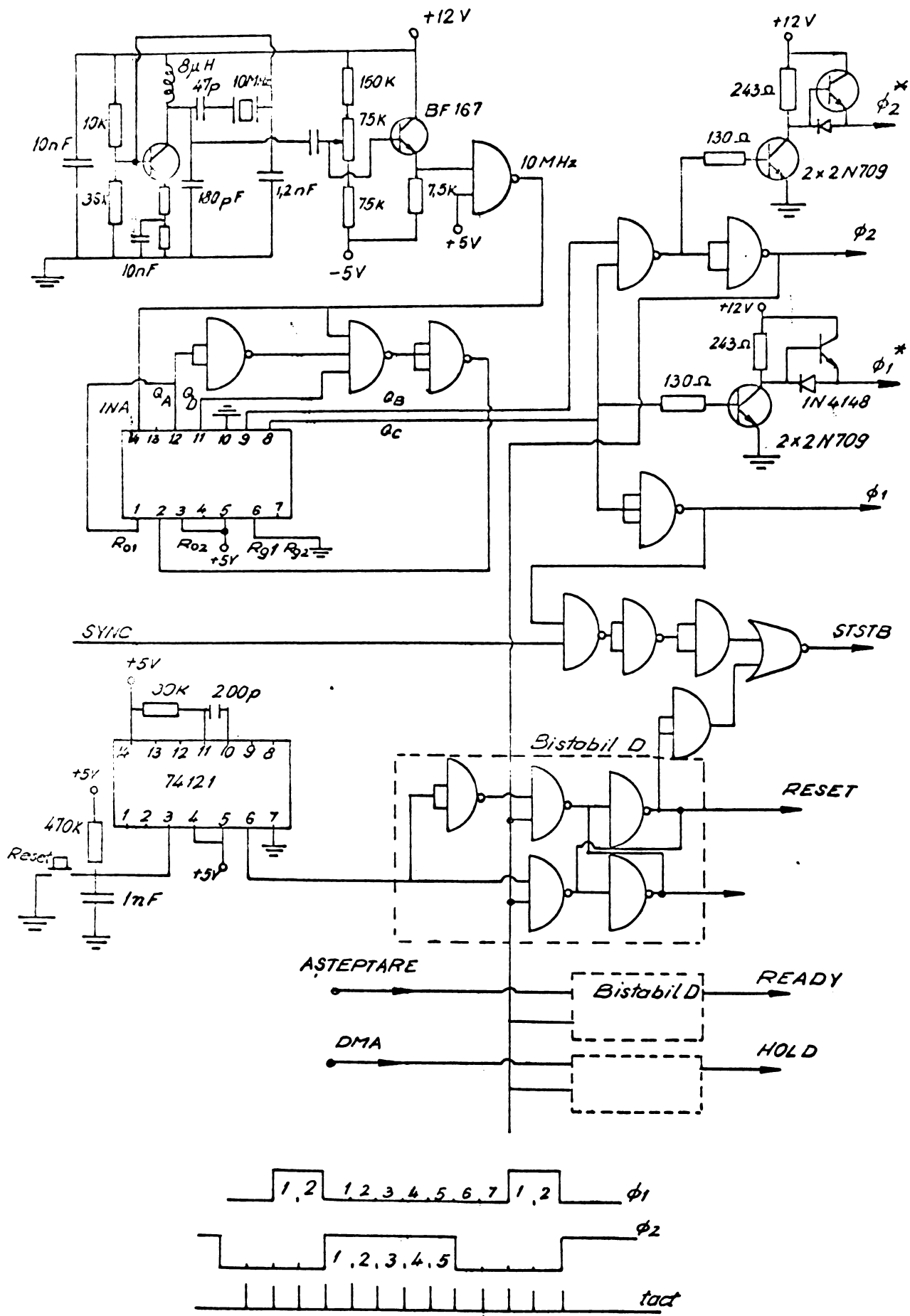


Fig. 10 Generatorul de tact

cu generarea semnalului INTA, microprocesorul nu mai emite altă comandă și trece în starea de aşteptare a unci noi instrucții. Cînd pe liniile de date apare noua instrucție, aceasta este transmisă în registrul de instrucții, este decodificată și săt emise de către unitatea de comandă și control semnalele semnificative.

Salvarea vechiului conținut al numărătorului de adrese, în cazul unei întreruperi, rămîne în sarcina programatorului.

După acceptarea întreruperii, instrucțiunea necesară în program este de tipul RST-N, instrucțiune care este trecută de pe liniile de date direct în registrul de instrucții. Odată cu decodificarea instrucției RST-N conținutul numărătorului de adrese este salvat în memoria stivă, după care programul este cuplat la una din cele 8 subrute, specificate prin numărul N .

Prin utilizarea instrucției de tip RST-N între două adrese succesive specificate prin numărul N, există un domeniu de memorie limitat la 8 octeți. Dacă subrutea de întrerupere necesită mai multă capacitate de memorie, atunci este necesară efectuarea unui salt la o porțiune din memorie unde este tratată întreruperea. Ultima instrucție din această subrutină va fi o instrucție de reinicioare de tip RET.

Posibilitatea microprocesorului 8080 de a accepta o cerere de întrerupere prin instrucția INT, oferă posibilitatea de a creă, fie prin program fie prin hard, modalități multiple de a realiza întreruperile și de stabilire a priorităților /71,72,73/.

Circuitul 8228 are și rolul de adaptare între liniile de date care ieș direct din unitatea centrală și celelalte circuite cuplate la aceste lini, interfețe, memorie, etc. Astfel curentul care poate fi generat de unitatea centrală este de maxim 1,9 mA pe linie iar după circuitul 8228 se obține un curent pînă la valoarea de 10 mA /77/.

### 2.3.1.3. Unitatea centrală

Unitatea centrală cuprinde: dispozitivul aritmetic și logic (ALU), registrul de instrucții și decodificatorul,

numărătorul de program, șase registre care pot fi utilizate și în prelungire (3 perechi), numărătorul de stivă (fig.11). Unitatea centrală primește și generează o serie de semnale de la către circuitele cu care se realizează sistemul de calcul. Astfel:

- 16 semnale sînt generate pe liniile de adresă, prin care unitatea centrală poate adresa direct  $2^{16} = 65536$  adrese de memorie sau 256 unități periferice pentru intrarea datelor și 256 pentru ieșirea datelor (grupate pe primele 8 sau pe ultimele 8 liniî).

- 8 semnale se transmit pe liniile de date prin care are loc comunicarea centrală pe unul din terminale și indică începutul fiecărui ciclu mașină,

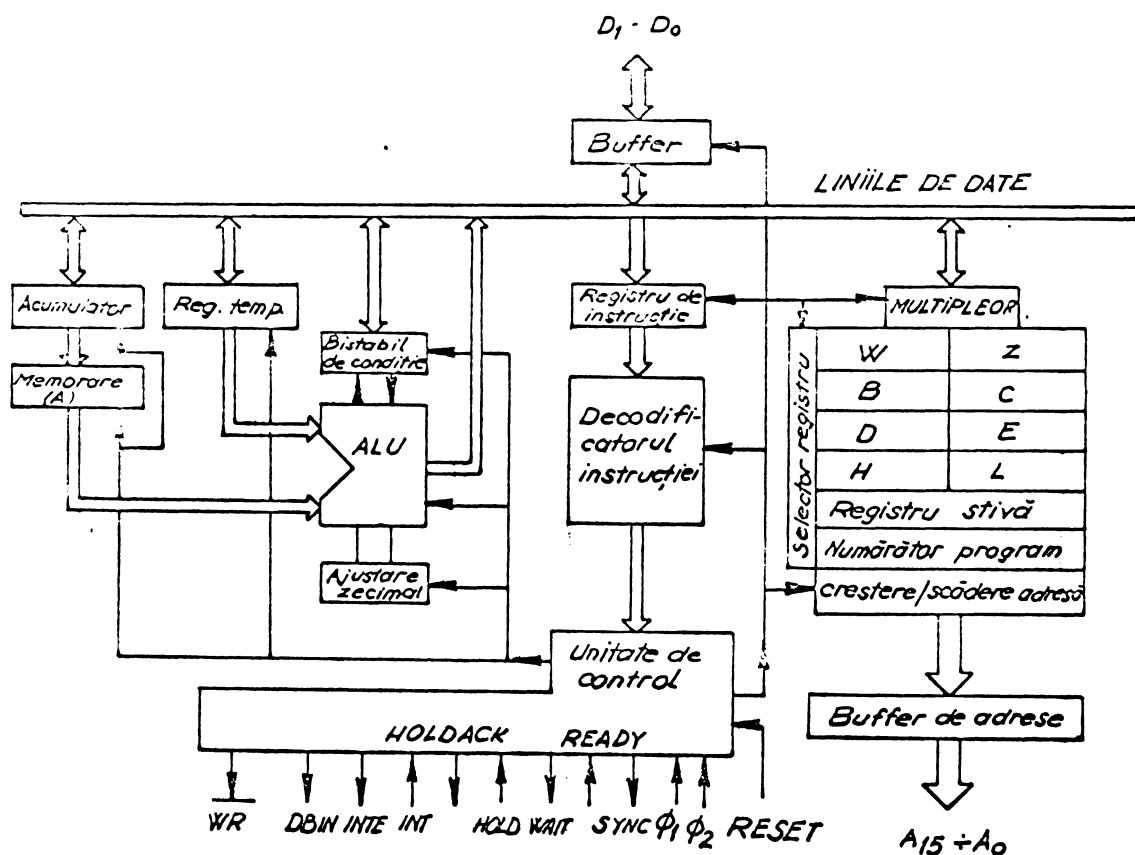


Fig.11. Unitatea centrală a micropresorului 8080.

- Semnalul DEBIN indică circuitelor exterioare că liniile de date sunt în starea în care acceptă date pentru intrare. Acest semnal se poate utiliza pentru a condiționa intrarea datelor de la memorie sau de la dispozitivele periferice spre unitatea centrală.

- Semnalul READY este un semnal de intrare și indică unității centrale faptul că datele de la memorie sau de la dispozitivele periferice sunt disponibile pe liniile de date. Dacă după trimiterea unei adrese pe liniile de adrese nu se primește un semnal READY, microprocesorul va intra în stare de aşteptare semnalizată prin generarea unui nivel de tensiune ridicat la ieșire WAIT .

- Semnalul de ieșire WR este utilizat pentru a înscrie memoria. Datele sunt stabile la ieșirea pe liniile de date cînd semnalul WR este în nivel logic zero.

- Semnalul HOLD primit de unitatea centrală provoacă intrarea liniilor de adresă și de date în starea de impedanță ridicată. Trecerea în această stare este semnalizată prin semnalul HLDA generat de unitatea centrală. Prin intrarea liniilor de adrese și de date ale unității centrale într-o stare de impedanță ridicată, este posibilă trecerea controlului acestora către o altă unitate.

- Semnalul INT după cum s-a specificat deja este o cerere de întrerupere adresată unității centrale. Răspunsul, în cazul acceptării întreruperii, este semnalizat prin generarea semnalului INTE.

- Intrarea RESET produce ștergerea numărătorului de program iar stările INTE și HLDA sunt stări care se anulează în acest caz. Totuși bistabilii de condiție, scumulatorul și numărătorul des stivă nu sunt șterse.

Legăturile între semnalele de la generatorul de tact, unitatea centrală și controlerul sistemului se pot urmări în figura 12.

#### 2.3.1.4. Memoria sistemului

La realizarea memoriei am utilizat circuitul produs de firma Intel, 8102 pentru memoria de înscriere-citire

și 8704 pentru memoria de citire (ROM).

Circuitul 8102 are capacitatea de  $1024 \times 1$  biți și necesită următoarele semnale de comandă:

$A_0 - A_9$  liniile de adresa,  
 $D_{in}$  - intrarea pentru date,  
 $D_{out}$  - ieșirea de date  
CE activarea circuitului  
R/W - scriere sau citire.

Acstea circuite au fost grupate cîte 8 pentru a forma un kocet și fiecare kocet este selectat prin decodificarea stărilor de pe liniile de adresă cu ponderea mai mare ( $A_{15}, A_{14}$  etc), iar în cadrul kocetului, adresa este selectată prin decodificarea stărilor de pe primele liniile de adresă ( $A_0 - A_9$ ). S-a realizat această selecție (liniară) a unei adrese de memorie deoarece capacitatea totală a memoriei este mică și nu sunt necesare alte tipuri de selecție /71,75/. Pentru adaptare între unitatea centrală și circuitele de memorie și între ieșirile de la memorie și liniile de date s-au utilizat circuite de adaptare 8212.

#### 2.3.1.5. Comanda pas cu pas sau instrucție cu instrucție

Pentru testarea programelor este important ca acestea să poată fi executate pas cu pas sau instrucție cu instrucție. Există posibilitatea de a efectua o întrerupere în execuția unui program prin intermediul sistemului de operare /76/, dar o astfel de întrerupere are dezavantajul că nu se poate efectua după fiecare pas al programului ci numai după terminarea unei instrucții.

O comandă pas cu pas sau instrucție cu instrucție este posibilă la sistemul 8080 prin anexarea circuitului exterior prezentat în figura 14.

Se observă din schemă (fig.14) faptul că oprirea sau pornirea sistemului poate fi comandată prin intermediul semnalului RDIN. Astfel dacă semnalele A și B sunt în stările logice  $A = 0$ ,  $B = 1$ , semnalul STOP=1 și bascularea bistabilului 7474/2 este condiționată de semnalele WAIT și CK. Semnalul

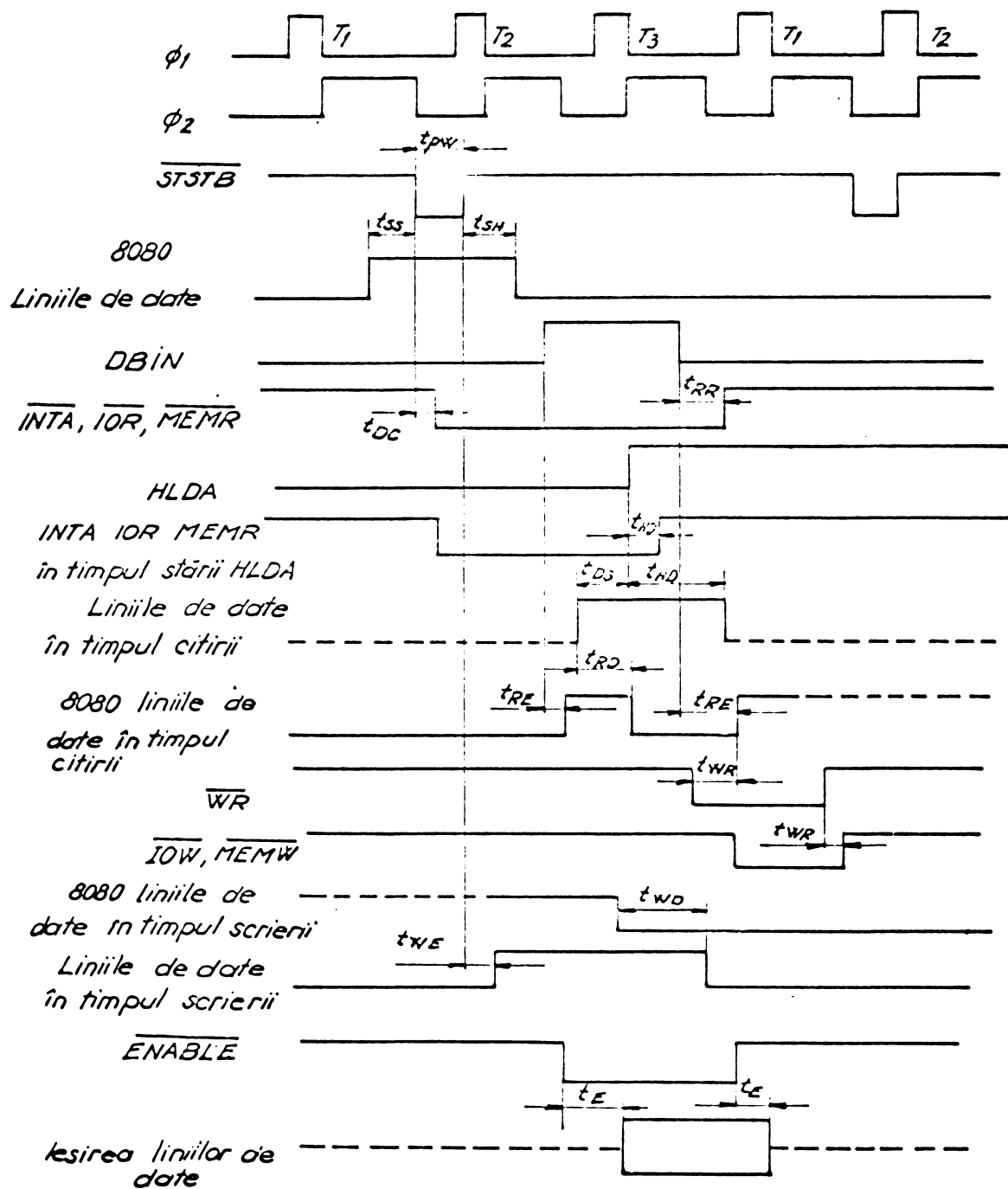


Fig.12. Semnalele generate de unitatea centrală.

Valorile limite pentru acești tempi sunt date în catalogul firmei producătoare /74/, iar semnificația lor este următoarea:

- $t_{pw}$  - lățimea impulsului "strob",  
 $t_{ss}$  - timpul de stabilizare a stării pe liniile de date ale unității centrale 8080,  
 $t_{sh}$  - timpul de stare stabilă pe liniile de date ale 8080,  
 $t_{dc}$  - întârzierea între "strob" și semnalele de control a dispozitivelor periferice,  
 $t_{rr}$  - întârzierea între DBIN și controlul perifericelor,  
 $t_{re}$  - întârzierea între DBIN și activarea sau blocarea liniilor de date ale unității centrale 8080,  
 $t_{rd}$  - întârzierea la citire între semnalul de pe liniile de date și apariția lui pe liniile de date ale unității centrale,  
 $t_{wr}$  - întârzierea între comanda de scriere WR și apariția semnalelor de comandă pentru înscriverea perifericelor,  
 $t_{we}$  - întârzierea între semnalul "strob" și activarea liniilor de date,  
 $t_{wd}$  - întârzierea la scriere între semnalul generat de unitatea centrală pe liniile de date și apariția efectivă a acestui semnal pe liniile de date ale sistemului,  
 $t_e$  - întârzierea între comanda de activare a liniilor de date și realizarea acestei comenzi,  
 $t_{hd}$  - întârzierea între comanda HOLD și terminarea citirii perifericelor,  
 $t_{ds}$  - timpul de trecere în starea HOLD a intrărilor liniilor de date,  
 $t_{dh}$  - timpul de menținere a stării HOLD pentru intrările liniilor de date.

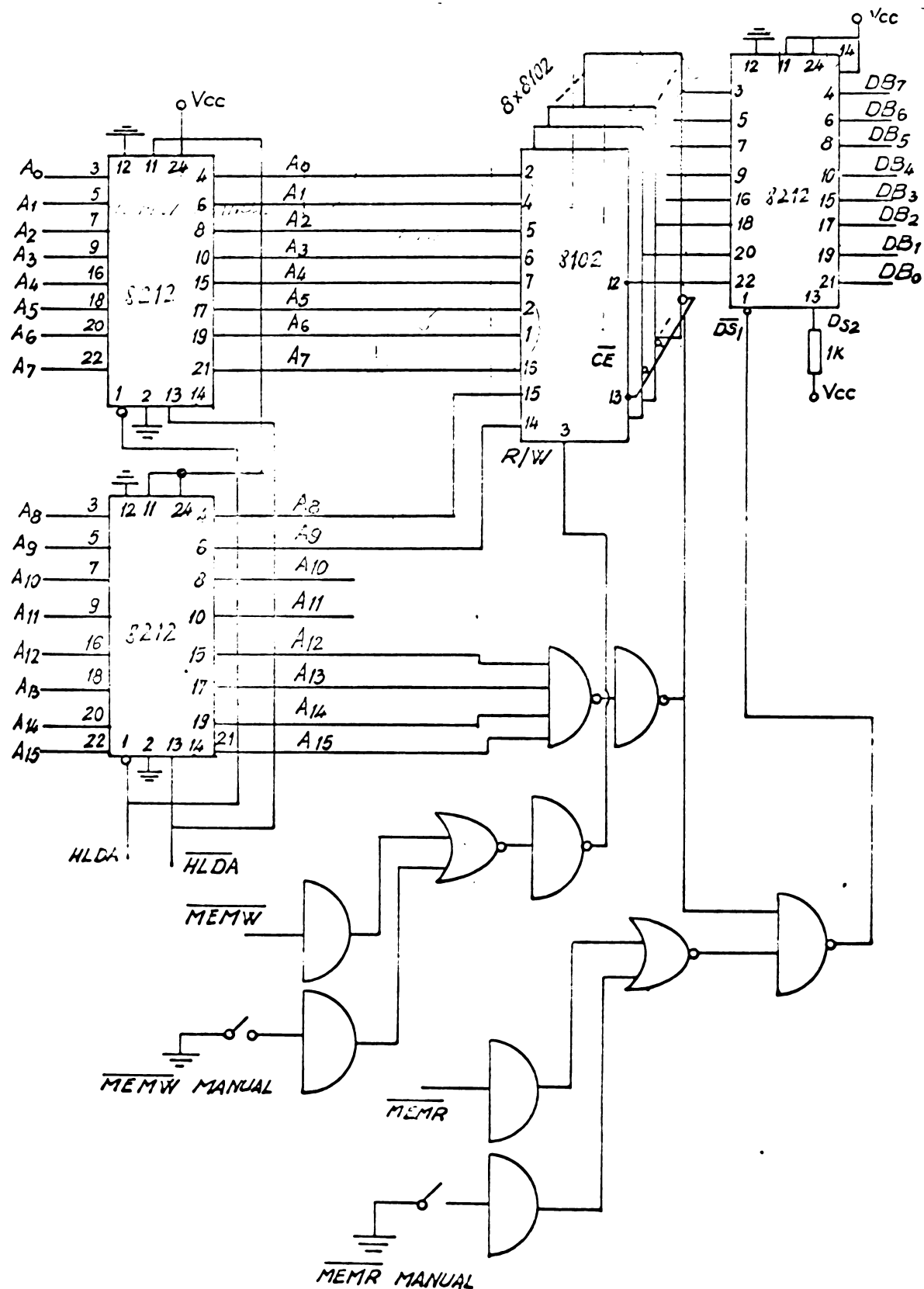
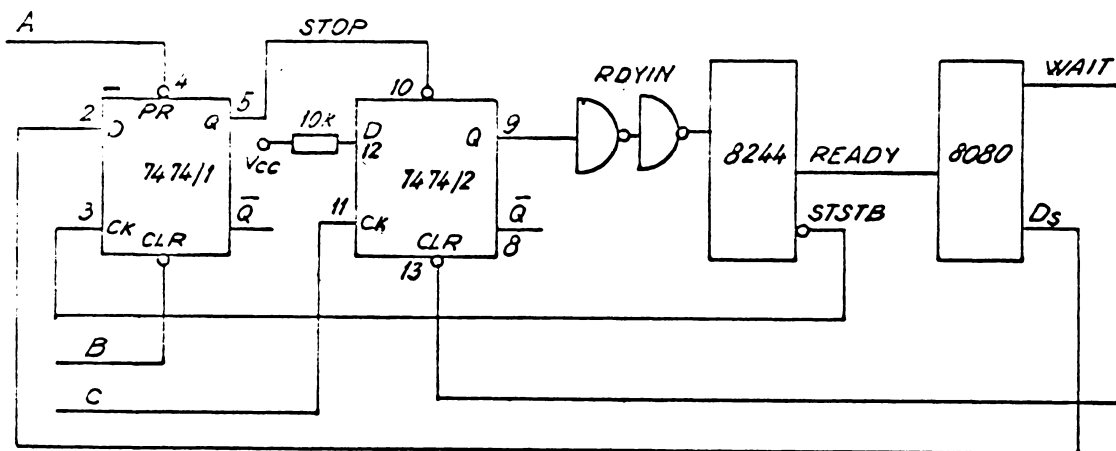


Fig. 14 Memoria RAM

WAIT și CK. Semnalul WAIT devine însă zero după trimiterea



1.3.14. Schema de comandă pas cu pas sau instrucție cu instrucție.

căresc pe liniile de adrese și ca urmare bistabilul 7474/2 este basculat, RDIN trece în zero iar WAIT devine egal cu unu logic. O nouă pornire se poate genera rebasculind bistabilul 7474/2 cu ajutorul semnalului CK .

Dacă se dorește oprire la fiecare ciclu mașină, atunci se utilizează bistabilul 7474/1 care este comandat la fiecare impuls generat pe linia D<sub>5</sub> și sincronizat cu semnalul SI/STB, cu condiția A=1 și B=1 .

Pentru lucrul automat se poziționează A=1 și B=0, fapt care produce STOP=0 și ca urmare RDIN=1 .

Sintetizarea funcționării sistemului de comandă pas cu pas sau instrucție cu instrucție este arătată în tabelul 6.

Tabelul 6

A	B	Modul de lucru
0	1	ciclu instrucție
1	1	ciclu mașină
1	0	automat

### 2.3.2. Dispozitivele periferice

#### 2.3.2.1. Tastatura

Pentru a înscrie în memoria RAM programe sau secvențe de program scurte și pentru a corecta anumite secvențe de program s-a utilizat o tastatură care permite generarea codului hexagesimal.

La apăsarea fiecărei din cele 15 taste la ieșirea din deodificatorul tastaturii /77/, se obține o trecere din 1 logic în zero logic pentru ieșirea corespunzătoare tastei respective. Bazați pe această observație, rezultă că cele patru liniile corespunzătoare ponderilor  $2^0, 2^1, 2^2, 2^3$  pe care se generează codul hexagesimal vor corespunde următoarelor ecuații logice:

$$2^3 = L_3 = \overline{8} \cdot 9 \cdot A \cdot B \cdot C \cdot F \cdot E \cdot D \quad (79)$$

$$2^2 = L_2 = \overline{7} \cdot 4 \cdot 5 \cdot 6 \cdot C \cdot F \cdot E \cdot D \quad (80)$$

$$2^1 = L_1 = \overline{7} \cdot A \cdot 6 \cdot B \cdot 2 \cdot 3 \cdot F \cdot E \quad (81)$$

$$2^0 = L_0 = \overline{7} \cdot 9 \cdot 5 \cdot B \cdot 1 \cdot 3 \cdot F \cdot D \quad (82)$$

în care 1,2,3,4,5,6,7,8,9, A,B,C,D,E,F, reprezintă semnalele generate de tastele respective.

Pentru buna funcționare a tastaturii la apăsarea fiecărei taste este necesară producerea unui impuls pentru înscrierea informației generată de tasta respectivă într-un registru tampon. Acest semnal se obține prin declanșarea unui circuit monostabil de către semnalul generat de funcția logi-

că dată de relația (83).

$$F = \overline{L_0 L_1 L_2 L_3} Z \quad (83)$$

În relația (83),  $Z$  reprezintă semnalul generat de tasta de zero.

Schema logică a interfeței este prezentată în figura 15. Tastatura poate lucra în două regimuri: un regim pas cu pas în care se mărește cu 1 conținutul adresei și un regim de introducere a adresei în cod hexagesimal prin apăsarea succesivă a 4 taste. Regimul de lucru al tastaturii este ales de poziția comutatorului  $N$ . Astfel pentru  $N=1$  logic avem avans pas cu pas iar pentru  $N=0$  logic se face o înscriere succesivă pe grupe de patru biți începînd de la cifra cea mai semnificativă. Modurile de lucru ale interfeței sunt descrise concis în tabelul 7.

Tabelul 7

$N$	PAS	F	HOLD	Modul de lucru
x	x	x	0	lucru fără tastatură
0	x	x	1	avans pas cu pas a adresei
1	x	x	1	înscriere caracter de 4 biți
1		x	1	crește adresa cu 1 și pregătirea pentru înscriere date.

Dacă se lucrează în poziția  $N=1$ , după patru înscrieri de caractere în registrul de adresă, se trece automat pe înscrierea de date iar după alte două apăsări de clape se revine în poziția inițială.

La apăsarea oricărei taste, monostabilul 74121 (fig.15) este declanșat de semnalul  $F$  și în timpul scurt dat de acest monostabil (cca 2  $\mu$ sec), se înscrive informația în registrul de adrese sau de date. La impulsul generat de monostabil se produce și o deplasare a conținutului registru-

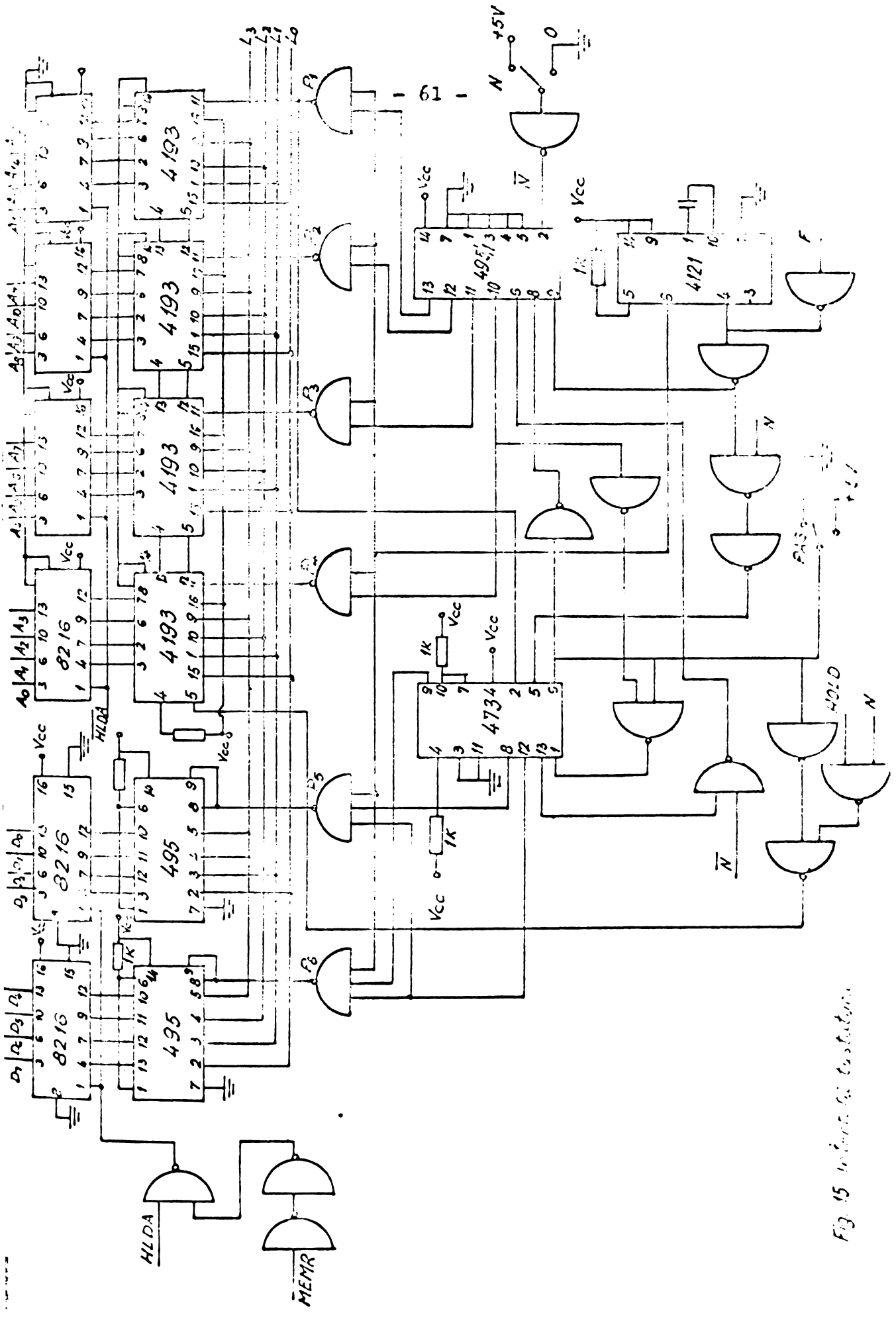


Fig. 15 Microprocessor system

În fig.1 și cu unuia dintre portii  $P_2$  va fi deschisă pentru a permite o nouă adiere de informație.

Pentru a porțile  $P_1-P_4$  sănt blocate iar paralele  $P_5$  și  $P_6$  să fie deschise. De asemenea în acest caz după o scurtă a clapții RAM se măregită conținutul adresei cu 1 și se pot scrie sau citi datele în funcție de starea semnalului  $R_{17}$ .

Registrul tampon pentru inscrierea adresei este format din patru circuite 4193, care permit atât un transfer de date cît și o numărare în cod hexagesimal. Registrul pentru date este format din 2 circuite CDB 495 care permit numai transferul paralel de date.

Pentru separarea liniilor de date și de adrese de ieșirile registrilor respectivi, s-au utilizat circuitele Intel 8216 care pe lîngă faptul că asigură o adaptare de impedanță pot fi comandate și în stare de impedanță ridicată.

Vizualizarea stărilor de pe liniile de adrese și de date se face cu segmente de diode luminiscente (TIL-302) comandate de la decodificatorile 7474 /78/.

### 2.3.2.2. Ieșirea analogică programabilă

Tensiunea de baleaj cu care se face controlul domeniului de mase pe care lucrează spectrometrul, se obține la ieșirea unui convertor numeric-analogic DAC-70-CCD-I /79/. Acest tip de convertor acceptă datele de intrare în codul BCD-complementat, are o precizie de 4 cifre zecimale iar eroarea de neliniaritate a tensiunii de ieșire pe întreg domeniul (0-10 V) este mai mică de  $\pm 0,005\%$ .

Pentru transferul datelor din unitatea centrală în convertorul analog-numeric am utilizat o interfață programabilă de tip 8255 - Intel /74/.

Dacă procesorul 8080 operează cu date formate din 8 biți, pentru a genera 16 biți la intrarea convertorului numeric-analogic s-a realizat un registru tampon format din 4 circuite CDB 495 (fig.16).

Prin intermediul interfeței (8255) sunt inscriși în primul pas 8 biți, cei mai puțin semnificativi (poarta  $P_A$

a interfeței) după care în al doilea pas se înscriu următorii 8 biți (poarta  $P_B$ ) iar la al 3-lea pas se efectuează încărcarea cuvântului de la biți din interfață în registrul tampon.

Funcțiile logice pentru adresarea circuitului de interfață (CS) și pentru transferul datelor în registrul tampon (validare convertor) au fost sintetizate cu circuite NU-SI conform relațiilor:

$$CS = (\overline{I/OR} + \overline{I/OW}) A_6 \overline{A}_5 \overline{A}_4 \quad (84)$$

$$\text{Validare convertor} = \overline{I/OW} \overline{A} \overline{A}_1 \overline{A}_2 \quad (85)$$

Transmițînd pe liniile de adresă codurile:

- X7 se efectuează transferul de date din interfață în registrul buffer al convertorului,
- 71 (sau F1) se deschide comunicarea cu poarta  $P_B$  a interfeței,
- 70 (sau F0) se deschide comunicarea cu poarta  $P_A$  din interfață. Aceste coduri sunt importantă la scrierea programelor care comandă transferul datelor spre convertorul analog-numeric.

Programele pentru generarea funcției de balaj și pentru achiziția datelor de la un spectrometru de masă cuadrupolar vor fi descrise în capitolul următor.

#### 2.3.2.3. Intrarea de la convertorul analog-numeric.

Pentru conversia analog-numerică a datelor rezultate de la spectrometrul de masă cuadrupolar, s-a utilizat voltmetrul digital E-0303 /80/. Acest voltmetru măsoară tensiunea continuă în domeniul 0-1000 V cu rezoluția de  $10 \mu\text{V}$ . Mărimea tensiunii măsurate este afișată prin 4 1/2 (19999) cifre cu indicarea automată a polarității și a virgulei și cu semnalizarea depășirii domeniului de măsură. Rezultatul conversiei poate fi preluat de către interfață paralelă a sistemului de calcul (8255/1) de la ieșirea în cod BCD a voltmet-

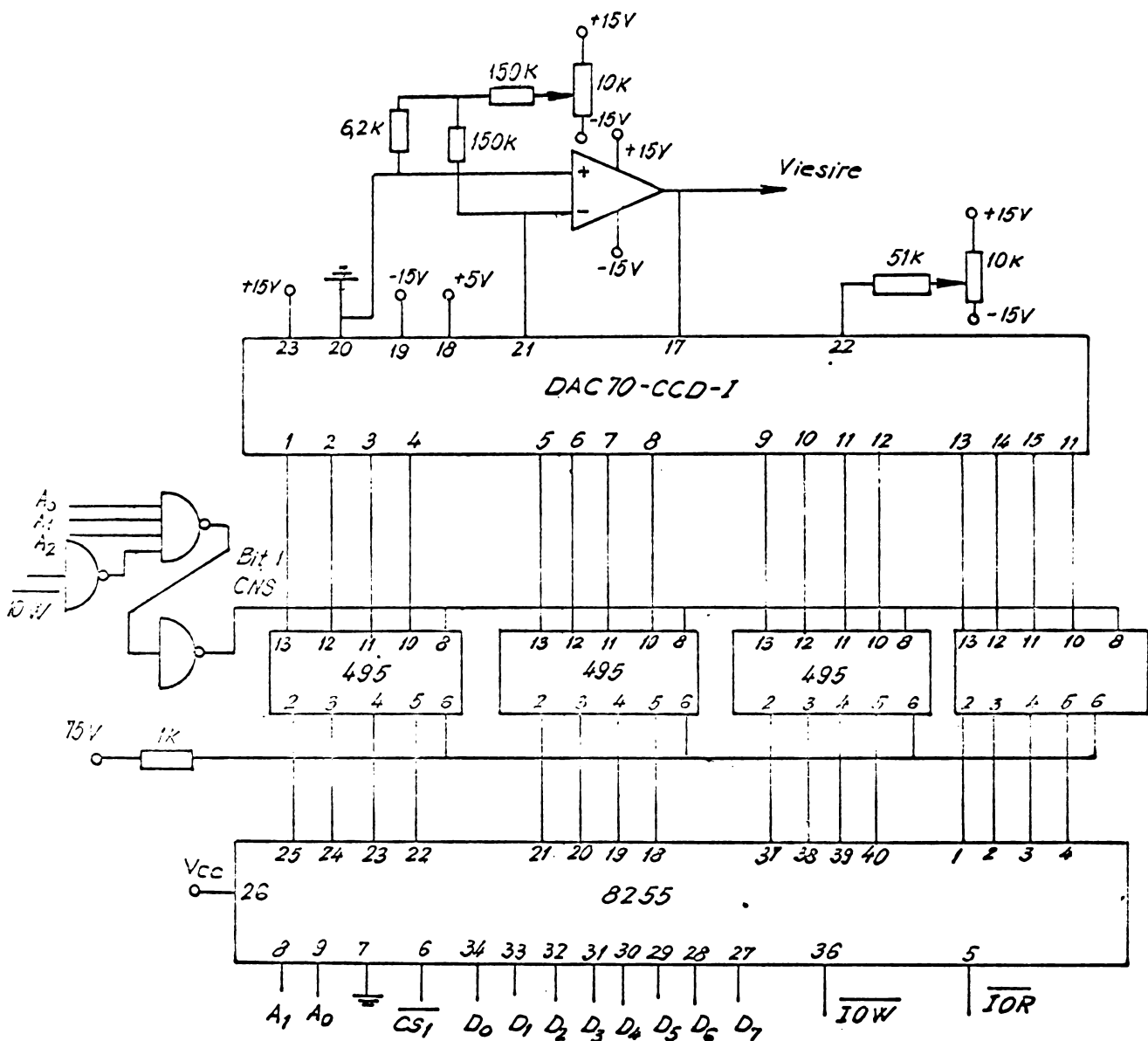


Fig.16. Interfață pentru ieșirea analogică programabilă.

trului.

Declanșarea unei conversii se efectuează la o comandă primită de la sistemul de calcul și după terminarea

conversiei datele obținute sănt trecute în memoria sistemului de calcul. Detalii în legătură cu aceste operații vor fi prezentate odată cu descrierea programelor de achiziție a datelor.

Funcția logică care selectează interfața paralelă 8255 corespunzătoare voltmetrului digital este dată de rea latia:

$$\overline{CS/I} = \overline{\overline{I/OR}} + \overline{\overline{I/OW}} A_6 A_5 \overline{A}_4 \quad (85)$$

Pe lîngă voltmetrul amintit, a mai fost încercat la conversia analog numerică a spetrelor de masă și un voltmetru Hewlett Packard 34 80C rapid, dar limitările în viteză de achiziție datorate sistemului de calcul nu au justificat utilizarea acestui tip de voltmetru pentru scopul propus.

#### 2.3.2.4. Convertorul analog-numeric cu detectie de maxim

Am arătat că în cazul unui baleaj rapid numărul de date care trebuie citite în unitatea de timp crește deoarece frecvența de eşantionare trebuie să crească pentru a menține același număr de puncte citite pe durata unui pic. Se ajunge astfel la frecvențe de eşantionare de zeci de KHz și capacitate de memorie mari (Mbytes) pentru achiziția datelor.

Există situații în care este suficientă reținerea maximelor din spectrul de masă și ca urmare numărul datelor care se achiziționează poate fi redus iar frecvența de eşantionare poate fi scăzută. Pe baza acestei observații am realizat în colaborare /21/ un convertor analog numeric cu detector de maxim, care permite reducerea datelor și a frecvenței de eşantionare de cca 25 de ori (dacă presupunem picul format din 25 de puncte).

In figura 17 este prezentată schema detectorului de maxim. La intrarea S (amplificatorul  $A_1$ ) este cuplat spectrul de masă iar la ieșirea amplificatorului  $A_2$  rezultă maximul tensiunii de intrare  $U_p$ . Comparatorul  $C_1$  are rolul de a șterge maximul picului anterior (comandă descărcarea condensatorului C) în momentul trecerii tensiunii de intrare

sub nivelul tensiunii de prag stabilit prin potențiometrul  $P_1$  (fig.18).

Pentru a detecta momentul trecerii prin maxim, a semnalului  $S$ , semnalele  $U_p$  și  $S$  sunt comparate iar în momentul cînd  $S$  este mai mic decît  $U_p$ , înseamnă că s-a trecut prin maxim și se comandă începerea conversiei, prin generarea impulsurilor  $U_D$  de către un circuit monostabil.

Sistemul de detectie al maximului picurilor realizat astfel, are dezavantajul că spectrele trebuie să fie cu zgomot mic pentru a nu se produce impulsuri  $U_D$  false.

Convertorul analog numeric este de tipul cu integrare cu dublă pantă. Schema integratorului este arătată în figura 19. În starea de aşteptare, semnalele de comandă  $Z$  și  $G$  (fig.19) sunt de nivel 1 logic și ca urmare condensatorul integratorului  $C_1$  este scurtcircuitat iar intrarea în amplificatorul AD 40k este pusă la masă (fig.19). Semnalul  $T$  este în starea zero logic și tranzistorul  $T_2$  este blocat. La inițializarea procesului de conversie, semnalul de comandă  $G$  trece în starea zero logic, semnalul  $T$  trece în 1 logic,  $Z$  trece în zero logic iar semnalul  $R$  în zero logic (logică pozitivă). Ca urmare a acestor stări tensiunea  $U_p$  este integrată un timp fix pînă cînd numărătorul convertorului este umplut (prin numărarea impulsurilor de la oscilator). În momentul în care se umple numărătorul se dă un impuls la blocul de comandă, care comută semnalul  $R$  din zero logic în unu logic, semnalul  $T$  din unu logic înz zero logic și semnalul  $G$  din unu logic în zero logic. Ca urmare tranzistorul  $T_2$  se blochează,  $T_3$  și  $T_4$  intră în conductie astfel încît tensiunea negativă dată de dioda Zener 1N939 generează un curent prin rezistența  $R_3$ , curent care este integrat pe condensatorul  $C_1$ .

Tensiunea rezultată la ieșirea integratorului începe să scadă și în momentul trecerii prin zero, numărătorul convertorului va fi blocat. Se poate demonstra simplu că timpul cît este integrată tensiunea negativă /81/ și care este măsurat prin numărul conținut în numărător, este proporțional cu tensiunea de intrare  $U_p$ .

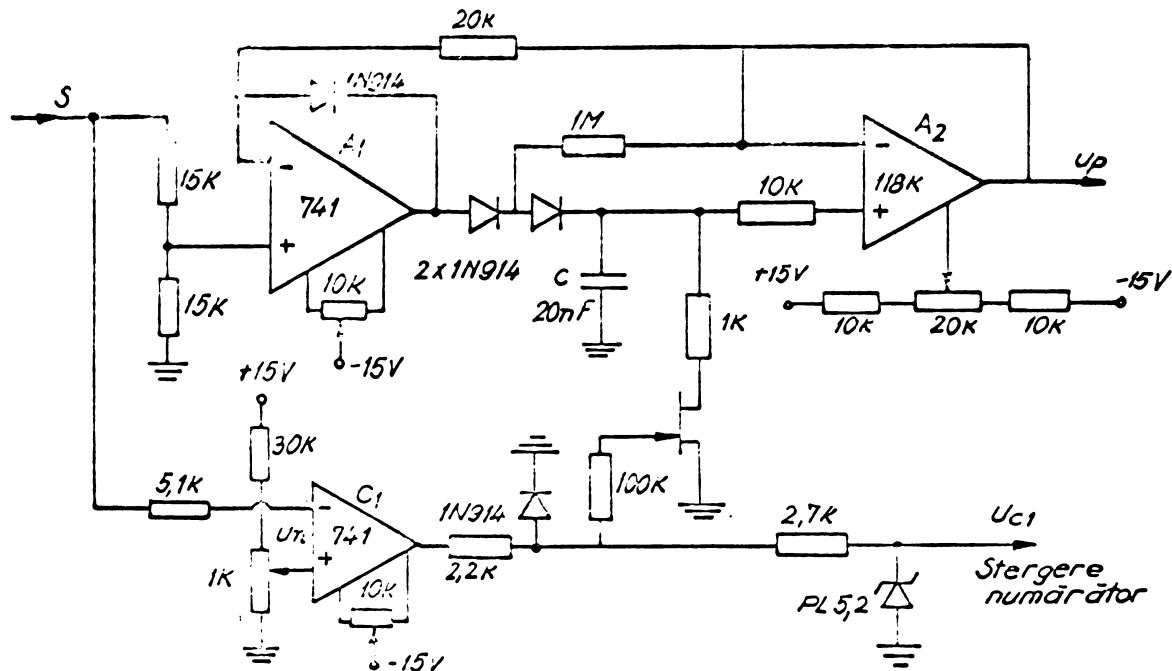


Fig 17 Detectorul de maxim

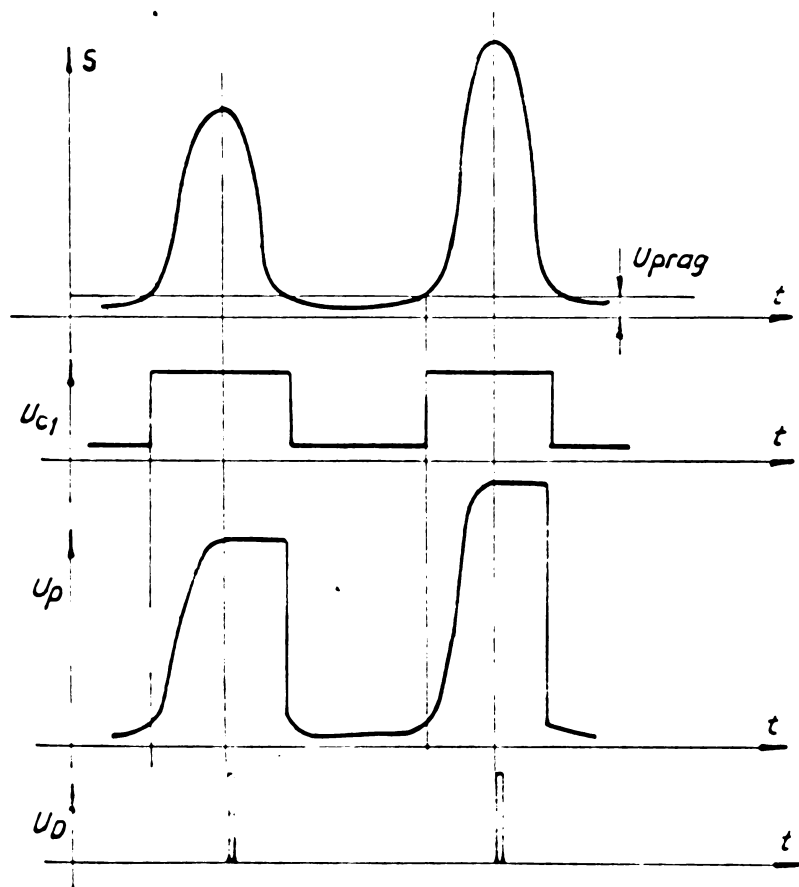


Fig.18 - mai semnalelor.

$$t_x = \frac{k_1 U_p t_1}{k_2 U_R} = K U_p t_1 \quad (87)$$

În care  $K$  este constantă care depinde de tensiunea de referință  $U_R$  și de constanta integratorului  $R_3 C_1$ .

Stările prin care trece integratorul în funcție de semnalele de comandă sunt redate în tabelul 8.

Eroarea de determinare a amplitudinii picurilor cu sistemul realizat este de cca 1%. Cu toate acestea sistemul este avantajos față de o prelucrare manuală în care picurile sunt înregistrate și apoi se măsoară amplitudinile cu rigla, erorile de determinare fiind de cca 5%.

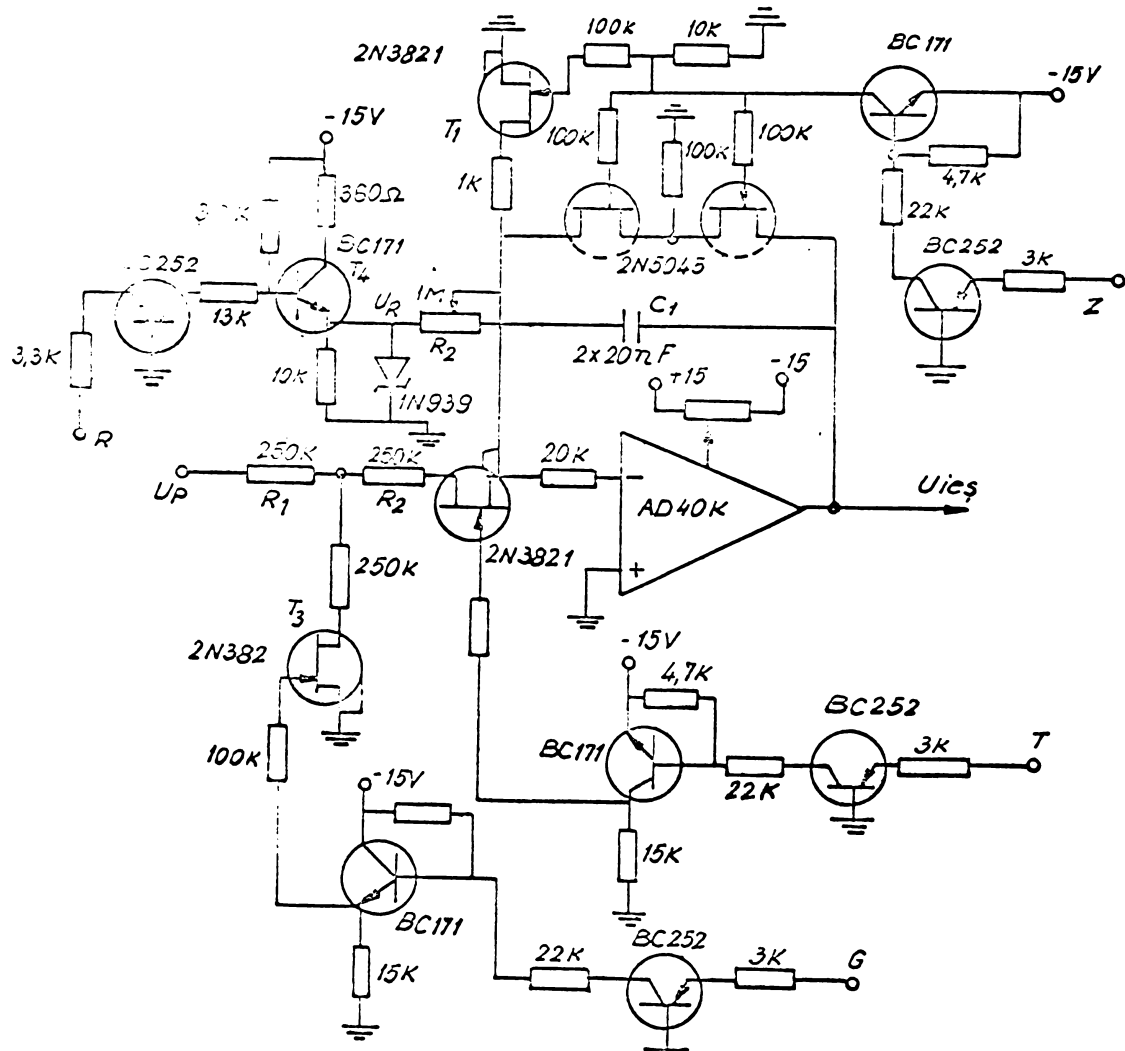


Fig.19. Schema integratorului.

Tabelul 3

Z	R	T	G	Starea integratorului	Comanda de trecere
1	0	0	1	așteptare	$U_D$
0	0	1	0	integrează $U_p$	umplerea numărător
0	1	0	1	integrează $U_R$	un nou $U_D$

Convertorul a fost testat independent și poate funcționa cuplat cu un perforator de bandă, în cazul că se efectuează o prelucrare off-line a datelor.

In cazul cuplajului on-line, convertorul prezentat poate constitui un periferic al sistemului de calcul fiind avantajos dăoarece efectuează o reducere a datelor care urmează să fie prelucrate.

#### 2.3.2.5. Cititorul de bandă perforată

Pentru introducerea programelor și a datelor în memoria sistemului de calcul, s-a utilizat un cititor de bandă perforată LB-50.

Comanda cititorului de bandă precum și citirea datelor de pe banda perforată se efectuează prin intermediul unei interfețe paralele. Forma semnalelor pentru comanda cititorului este prezentată în figura 20 iar semnalele au următoarele semnificații:

- Semnalul NVAL (în momentul trecerii din 1 logic în zero logic), indică faptul că banda perforată a efectuat pasul și datele sunt disponibile pentru a fi citite. Acest semnal este condiționat de apariția semnalelor NSTP și SYNCRO.

- Semnalul NSTSP comandă efectuarea unui pas al benzii perforate la fiecare front de coborâre.

- Semnalul SYNCRO permite citirea numai după ce s-a efectuat un pas al benzii perforate (în zona hăsurată fig. 20).

Cuplarea semnalelor de la cititorul de bandă la interfață cu j利ile 8255 s-a efectuat cum se vede în tabelul 9.

Tabloul 9

Semnal perforator	Semnal interfață
1 - 8 informația	P <sub>A</sub>
9 NSTP	PC <sub>0</sub>
10 NVAL	PC <sub>7</sub>

Schema logică după care se face citirea benzii perforate este prezentată în figura 21 iar programul corespunzător scris în cod mașină după această schemă logică este redat în anexa 1.

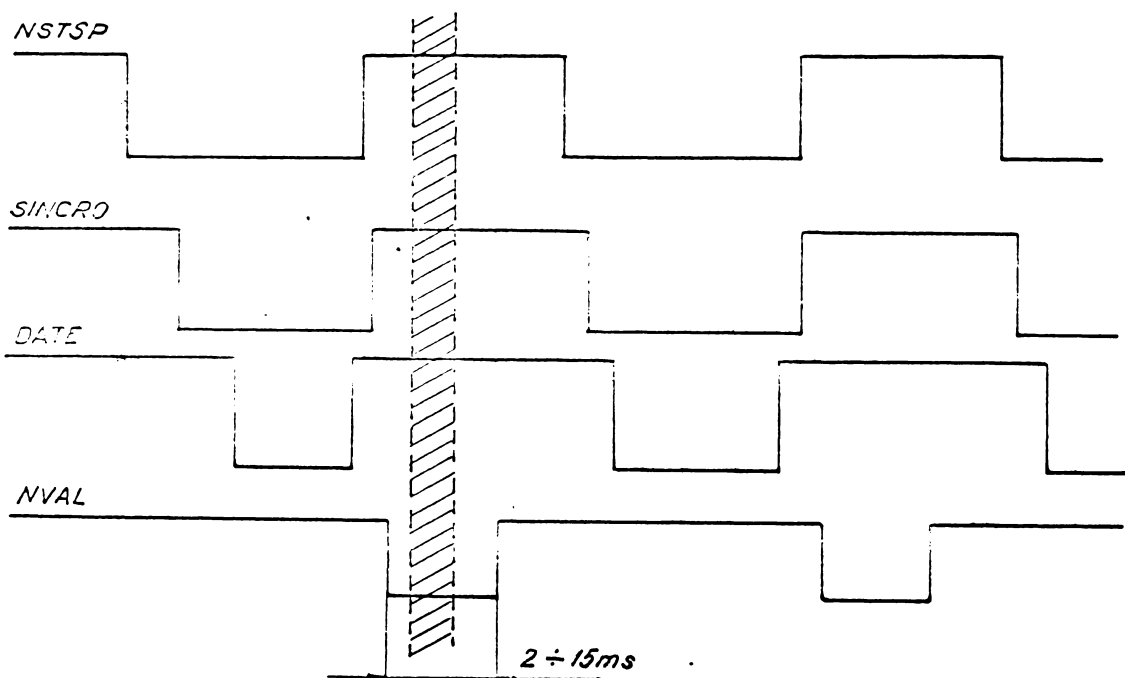


Fig.20. Semnalele de comandă la cititorului de bandă perforată.

Banda de hîrtie a fost perforată utilizînd codul ASCII și pentru a obține informația sub formă de octeți dintr-un rînd al benzii perforate s-au utilizat numai patru biți fiind necesară o grupare de cîte două rînduri pentru a realiza un cuvînt.

Avantajul împachetării informației în forma arătată constă în faptul că perforarea se poate face normal, adică perforând de exemplu litera A în cod ASCII la citire se va citi tot litera A în cod hexagesimal (după o corecție).

Programul de citire a benzii perforate inversează informația citită deoarece cititorul LB-50 o dă inversată (prezența perforației înseamnă nivel scăzut de tensiune), apoi se elimină bitul de paritate prin înmulțirea logică cu 7F (fig.21). După aceste operații se face o comparare cu 30 și cu 47 numerele a căror cod reprezentat în octal delimită zonă de interes în care trebuie să fie cuprinse cifrele sau literele codului hexagesimal. Astfel în cazul cînd informația citită nu se găsește în acest domeniu, este ignorată și se dă comanda pentru efectuarea unui nou pas a benzii perforate (fig.21).

Dacă s-a citit un semnal util se testează dacă este literă sau cifră și se efectuează o corelație prin adunarea cu 09 în cazul literelor. După aceasta se testează dacă suntem la prima sau la a doua citire (în funcție de conținutul registrului B) și în cazul că suntem la a 2-a citire se efectuează o grupare a informației alături de citirea anterioră (prin înmulțirea logică a conținutului registrului A cu registrul C) și se depune în memorie.

După efectuarea unui test de oprire în cazul că nu este oprire (nu s-a ajuns la adresa fixată) se reia ciclul.

Deoarece la citirea benzii perforate nu se face un control de paritate, pentru a verifica dacă citirea s-a efectuat corect se testează ultimele adrese înscrise deoarece în cazul unei împachetări incorrecte la ultimele adrese apare eroarea.

#### 2.4. Programele sistemului de calcul

##### 2.4.1 Biblioteca aritmetică în sistemul cu virgulă mobilă

###### 2.4.1.1. Considerații generale

Pentru efectuarea operațiilor aritmetice necesare prelucrării datelor s-au realizat o serie de programe care

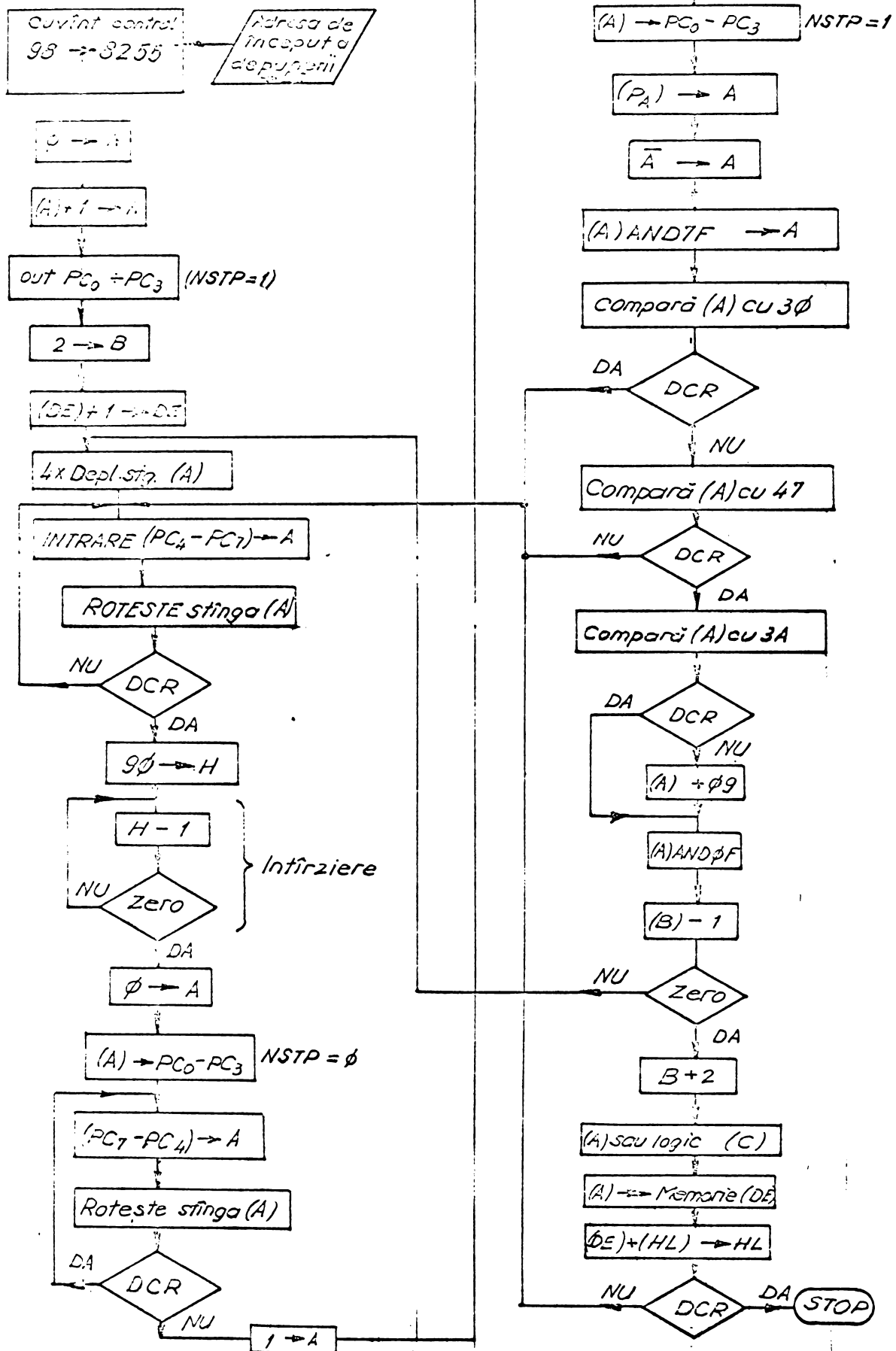


Fig. 21 Citirea informației

pot fi apelate ca subroutine, constituind biblioteca aritmetică /18/ a sistemului de calcul.

În efectuarea operațiilor aritmetice, numerele au fost reprezentate în virgulă mobilă având lungimea de 3 octeți. Pentru introducerea și extragerea la reprezentarea numerelor este utilizat codul BCD.

Algoritmii realizati pentru diverse operații aritmetice au particularitatea că utilizează registrele din unitatea aritmetică a microprocesorului 8080, în prelungire (HL, DE, BC). Realizarea operațiilor elementare între registre în prelungire ne-a permis reducerea capacitatii de memorie necesară pentru biblioteca aritmetică. Astfel pentru efectuarea operațiilor de adunare, scădere, înmulțire, împărțire, conversie din cod BCD în cod binar virgulă mobilă, conversie din cod binar virgulă mobilă în cod BCD, inversare, conversie din cod binar în cod binar virgulă mobilă, a fost necesară o capacitate de memorie mai mică de un kicet.

La efectuarea operațiilor aritmetice și de conversie, serie de părți din programe se repetă și pentru a evita scrierea lor de mai multe ori s-au grupat aceste părți în 13 subprograme care sunt apelate cînd este necesar.

Nu se vor prezenta în detaliu algoritmii de lucru pentru toate operațiile cuprinse în biblioteca aritmetică. Dacă este necesar detaliiile pot fi urmărite în programele din anexa 2, programe care constituie biblioteca aritmetică.

#### 2.4.1.2. Reprezentarea numerelor în calculator

În codul BCD numerele ocupă 3 octeți în calculator și reprezentarea lor în memorie se face conform schemei din figura 22.

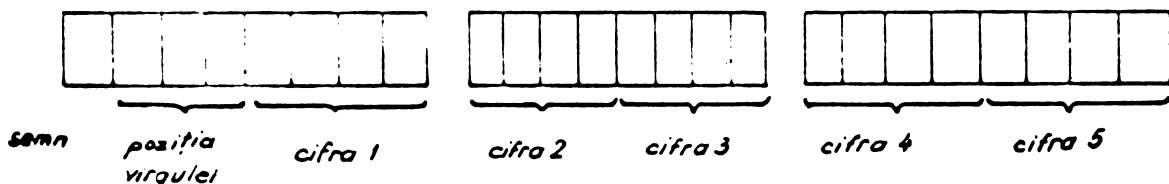


Fig. 22 Reprezentarea numerelor în cod BCD

Din figură se observă că primul bit al primului octet reprezintă semnul numărului, adică zero pentru semnul plus și unu pentru semnul minus. Următorii patru biți înscriși în cod BCD reprezintă poziția virgulei, deci zero înscris în această poziție indică un număr cu cinci cifre întregi. Ultimii patru biți din primul octet, înscriși în cod BCD, reprezintă cifra având rangul cel mai semnificativ din număr, iar în al doilea și al treilea octet urmează cifrele de rang mai puțin semnificativ înschise fiecare în cod BCD.

De exemplu numărul +12,303 se reprezintă sub forma

001000010010001100000011  
+ 2 1 2 3 0 3

iar numărul - 12303 se reprezintă astfel

110100010010001100000011  
- 5 1 2 3 0 3

.

In sistemul cu virgulă mobilă înscrierea numerelor în cei trei octeți se efectuează în felul următor:

- primul octet cuprinde semnul exponentului și exponentul,
- al 2-lea octet cuprinde partea cea mai puțin semnificativă a mantisei,
- al 3-lea octet cuprinde semnul mantisei și partea cea mai semnificativă a mantisei

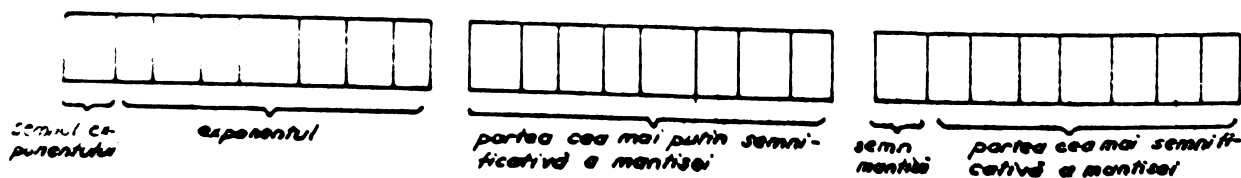


Fig. 23

Reprezentarea numerelor în sistemul cu virgulă mobilă

In structura arătată numerele sănt reprezentate prin complementul față de doi /82/.

De exemplu numărul:

00000101000000001000110

reprezintă în codul zecimal:

$$N = 2^5 + 0 \cdot 2^4 + 0 \cdot 2^3 + 0 \cdot 2^2 + 1 \cdot 2^1 + 1 \cdot 2^0 + \dots + 0 \cdot 2^{-9} = 35$$

In mod analog se poate calcula că numărul

111110110000000001000110

reprezintă în cod zecimal:

$$N = 2^{-5} + 0 \cdot 2^{-4} + \dots + 1 \cdot 2^{-9} + 1 \cdot 2^{-10} + \dots + 0 \cdot 2^{-19} = 0,03417968$$

Din modul de reprezentare se observă că cel mai mare exponent care poate fi înscris în calculator este:

•  $e_{\max} = 107$

iar cel mai mic exponent este:

$e_{\min} = -107$

Inseamnă că numerele care pot fi înscrise în calculator sănt cuprinse între  $2^{-108}$  și  $2^{+108}$ . Limitările care apar la reprezentarea numerelor în calculator se datorează modului de reprezentare în codul BCD, cod în care conform convenției (fig.22) pot fi cuprinse numai numere cu maximum 5 cifre zecimale. Ne-am limitat la această valoare deoarece precizia care se obține este suficient de mare pentru problemele de prelucrare abordate în cadrul spectrometriei de masă (capitolul 4).

#### 2.4.1.3. Adunarea și scăderea a două numere reprezentate în sistem cu virgulă mobilă.

In cazul acestei reprezentări numerele se pot exprima prin relații de forma:

$$\begin{aligned}x &= X_m 2^{x_e} \\y &= Y_m 2^{y_e}\end{aligned}\tag{88}$$

relații în care  $X_m$  și  $Y_m$  reprezintă mantisele normalizate ale numerelor  $x$  și  $y$  iar  $x_e$  și  $y_e$  reprezintă exponentii.

Algoritmul care realizează operația de adunare și scădere este prezentat într-o formă simplificată în figura 24. Acest algoritm realizează operația de adunare și scădere conform relației:

$$x \pm y = (X_m \pm Y_m) 2^{-(x_e - y_e)} 2^{x_e} \tag{89}$$

In programul cuprins în anexa 2 se poate urmări în detaliu modul de efectuare a operațiilor de adunare și scădere începînd de la adresa hexagesimală 16E .

Programul efectuează o comparare a exponentilor și în funcție de rezultatul comparării se normalizează numerele /83/, adică se face o deplasare relativă a unuia din numere pentru a permite efectuarea adunării și scăderii biților de aceiași pondere.

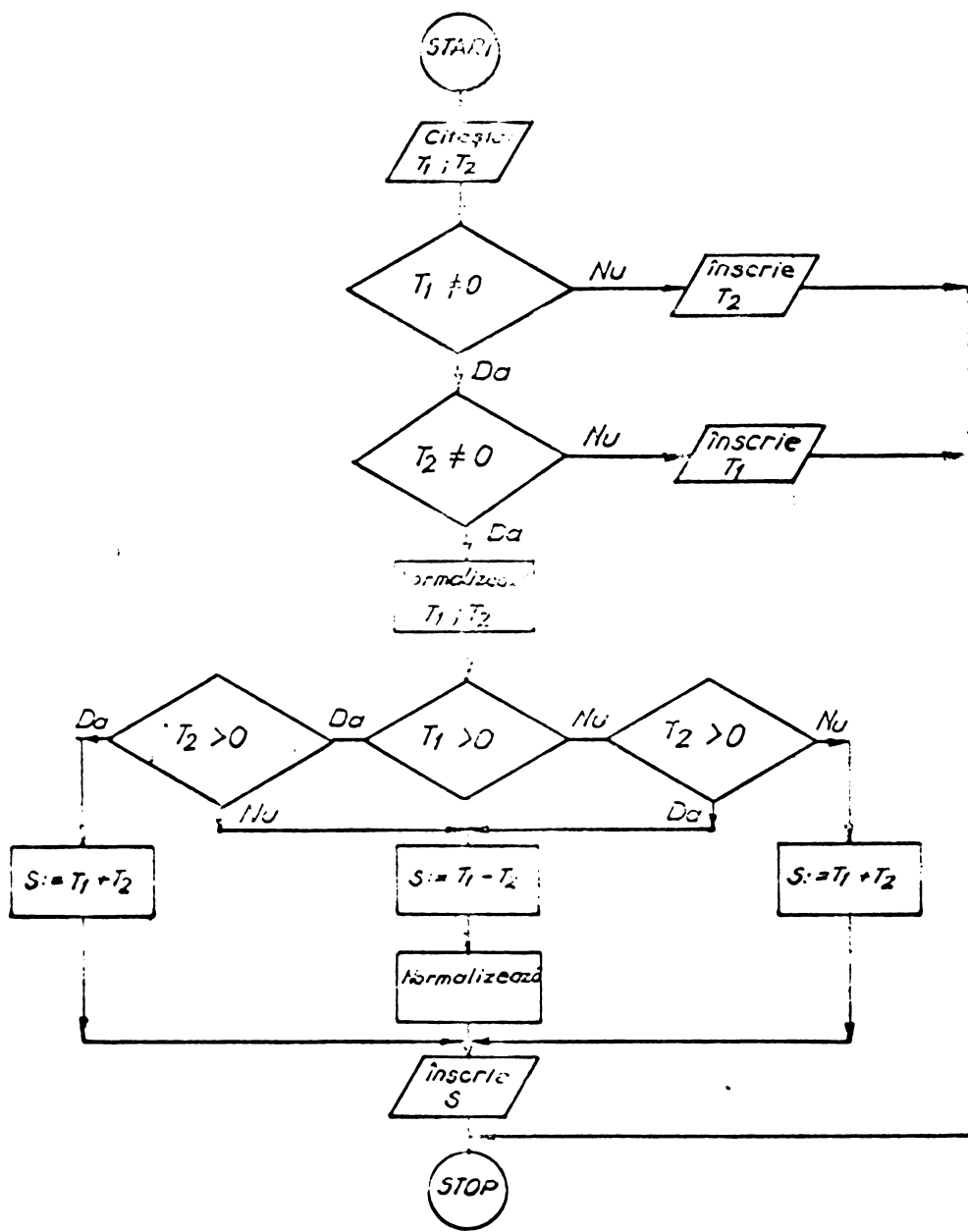
Deoarece în final programul a fost înscris în memoria ROM a sistemului, cei doi operanzi și rezultatul operației sunt localizați prin adrese fixe care se găsesc în memoria RAM.

In cazul programului din anexa 2, adresa operandului  $T_1$  este în codul hexagesimal 0008 și reprezintă adresa octetului de început al operandului  $T_1$ , adică a octetului în care este memorat exponentul. Această adresă este fixă și este conținută în memorie la adresele succesive 0013 și 0014.

Asemănător adresa operandului  $T_2$  este în codul hexagesimal 000E iar această adresă este înscrisă în memorie la adresele hexagesimale 0016 și 0015. Rezultatul operației care se efectuează va fi depus în memorie la adresa hexagesimală 000B, adresă conținută în memorie în octetii 0019 și 0018. S-au dat aceste detalii pentru a se putea urmări și u-

A

Adunare a 2 numere pe 16 biti



NOTĂ :

 $T_1$  = Termenul 1 $T_2$  = Termenul 2 $S$  = Sumă

Prin normalizare se înțelege deplasarea relativă a numerelor care să permită adunarea cifrelor de același pondere.

tiliza mai ușor programul.

Pentru a realiza scăderea numerelor reprezentate în sistemul cu virgulă mobilă, se efectuează o negativare a operandului care constituie scăzătorul după care se apelează la adunare. Programul de efectuare a negativării este înscris în anexă începînd de la adresa hexagesimală 02A3.

#### 2.4.1.4. Înmulțirea a două numere reprezentate în sistemul cu virgulă mobilă

In figura 25 este prezentat algoritmul după care s-a realizat programul pentru înmulțirea a două numere reprezentate în sistemul cu virgulă flotantă. Se observă că la început se efectuează înmulțiri între părțile mantiselor numerelor iar prin adunarea produselor parțiale se obține mantaisa produsului, exponentul produsului fiind suma algebraică a exponentilor numerelor.

Dacă considerăm mantisele numerelor de forma:

$$m_x = a_1 + b_1 \quad (90)$$

$$m_y = a_2 + b_2$$

programul de calcul realizează succesiv operațiile:

$$S_0 = b_1 b_2 \quad (91)$$

$$S_1 = b_1 b_2 + b_1 a_2 \quad (92)$$

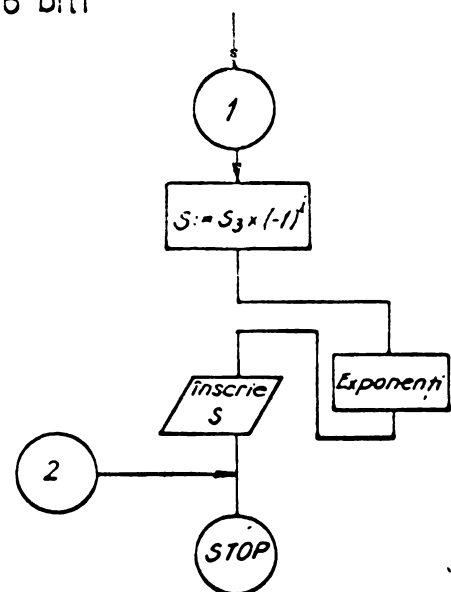
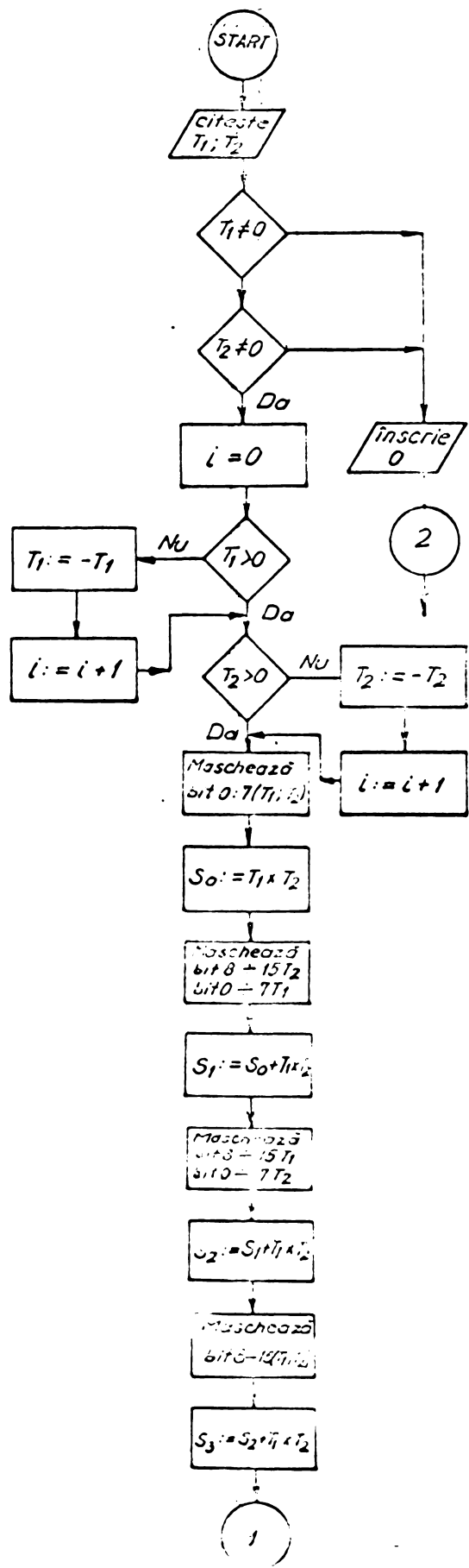
$$S_2 = b_1 b_2 + b_1 a_2 + a_1 b_2 \quad (93)$$

$$S_3 = b_1 b_2 + b_1 a_2 + a_1 b_2 + a_1 a_2 \quad (94)$$

relații în care  $S_3$  reprezintă produsul celor două mantise și  $S_0, S_1, S_2$  sunt termeni intermediari.

Programul care efectuează înmulțirea este redat în anexa 2 începînd de la adresa hexagesimală 1F8. Adresele pentru cei doi operanzi și pentru rezultat sunt aceleasi ca și în cazul operațiilor de adunare și scădere.

- 79 -  
**M Inmultirea a 2 numere pe 16 biti**



NOTĂ:

**T<sub>1</sub>** = Factorul 1

**T<sub>2</sub>** = Factorul 2

**S** = Produsul

#### 2.4.1.5. Împărțirea a două numere în sistemul cu virgulă mobilă

Algoritmul simplificat al operației de împărțire este prezentat în figura 26. Se observă că se efectuează inițial o împărțire a mantiselor celor două numere și rezultă mantisa cîrului iar prin scăderea exponentilor rezultă exponentii cîrului.

Algoritmul poate fi urmărit în detaliu în programul din anexa 2 începînd de la adresa hexagesimală 24A. Adresele operanzilor și a rezultatului sunt aceleasi ca și la operațiile de înmulțire și adunare.

#### 2.4.1.6. Negativarea unui număr

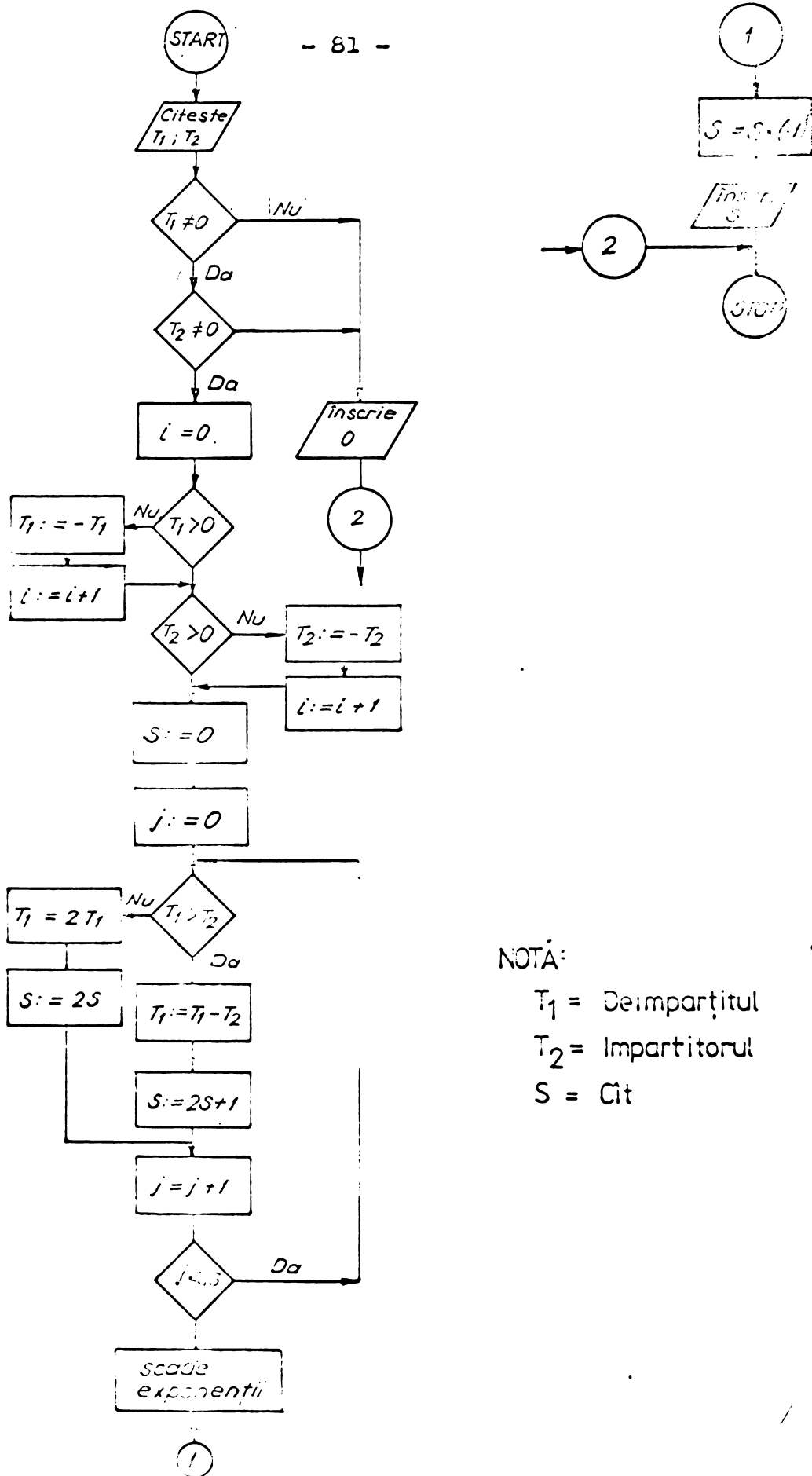
Algoritmul care efectuează schimbarea semnului poate fi urmărit în programul din anexa 2 începînd de la adresa 2A1. Termenul care trebuie negativat este plasat la adresa hexagesimală 0008 (adresa termenului  $T_1$ ) iar rezultatul este depus la adresa hexagesimală 000B.

#### 2.4.1.7. Transformarea unui număr din sistemul binar în sistemul cu virgulă mobilă

Pentru a efectua această transformare, numărul binar este depus în registrii DE iar în registrul B se înscrie cifra 15. Se efectuează apoi deplasări stînga a registrelor DE în prelungire și la fiecare deplasare se scade cifra 1 din registrul B. La apariția primei depășiri = 1) se face o revenire prin deplasare dreapta și numărul rezultat în registrul B reprezintă exponentul numărului iar în registrul DE rezultă mantisa numărului.

Programul care realizează această transformare este cuprins în anexa 2 începînd de la adresa hexagesimală 2B0. Numărul care trebuie transformat se depune în memorie la adresa hexagesimală 0008 iar rezultatul este depus în trei octeți începînd de la adresa hexagesimală 000B .

D Impărtirea a 2 numere pe 16 biți



NOTĂ:

$T_1$  = Deîmpărțitul

$T_2$  = Impărțitorul

S = Cît

Fig .

#### 2.4.1.8. Transformarea unui număr din sistemul cu virgulă mobilă în cod BCD .

In cazul acestei transformări se efectuează în început o comparare a numărului cu puterile succesiv crescătoare ale lui zece (puteri înscrise în memorie la adrese fixe și reprezentate în sistemul cu virgulă mobilă), pentru a stabili poziția virgulei. După aceasta, se calculează cifrele numărului în cod BCD efectuând scăderi succesive din numere care reprezintă puterile lui zece (fig.27), începînd de la cea mai mare putere cuprinsă în număr.

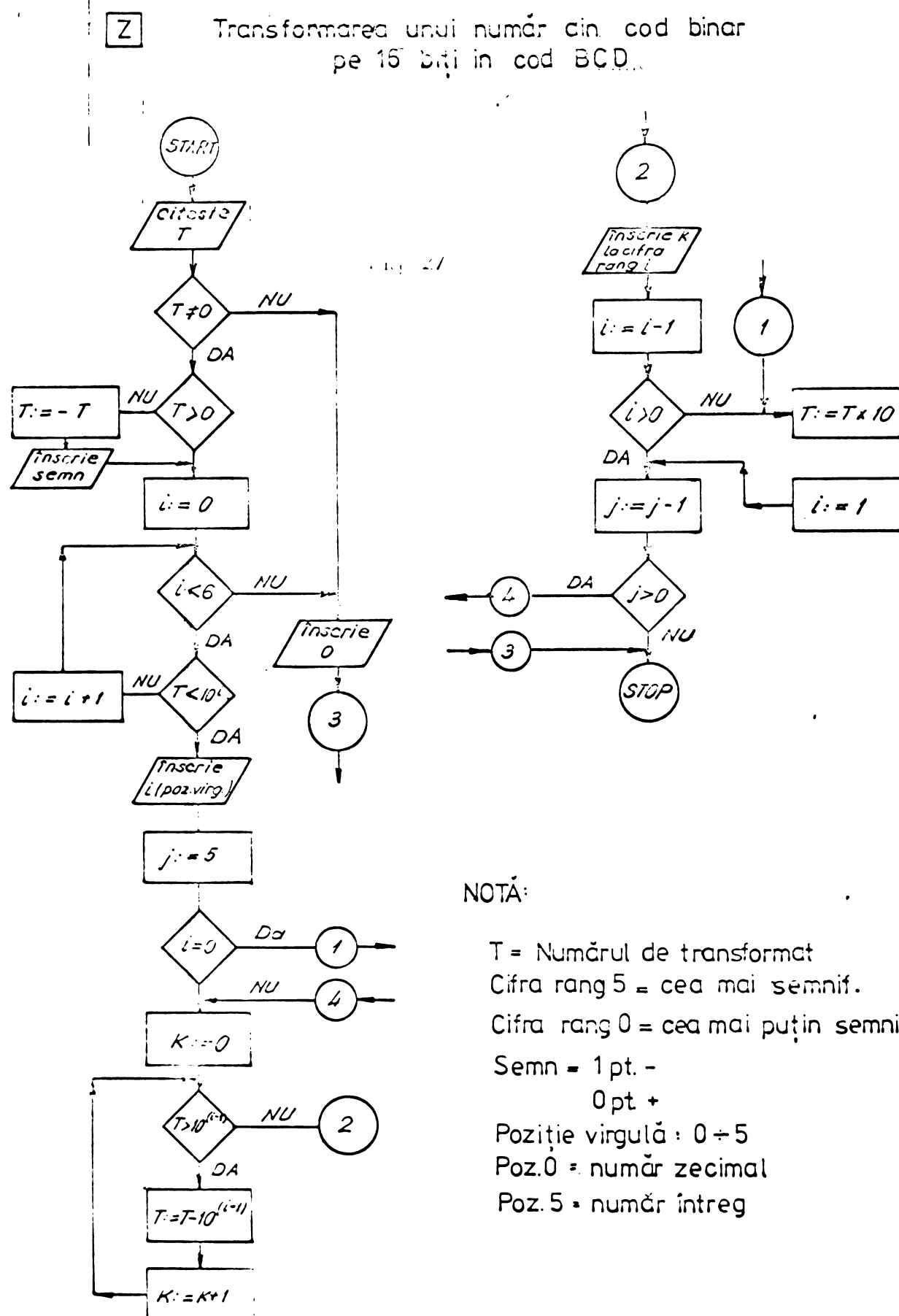
De exemplu dacă s-a constatat (în urma comparării) că numărul conține o cifră în rangul sutelor, atunci din numărul 1000 se fac scăderi successive pînă cînd apare primul rest negativ. După aceasta se corectează restul prin adunarea numărului și se trece la primul rest pozitiv. Numărul de scăderi efectuate micșorat cu unu reprezintă cifra care se înscrise în rangul sutelor. Restul pozitiv cel mai mic se scade apoi din numărul 100 pentru a stabili cifra care se va înscrise în rangul zecilor. Procedeul se continuă pînă la epuizarea numărului.

Mai specificăm că odată stabilită poziția virgulei, numărul în cod BCD este tratat de program ca fiind întreg. Din această cauză puterile lui zece sunt numere cuprinse între 1 ( $10^0$ ) și 100000 ( $10^5$ ) și sunt memorate în calculator începînd de la adresa hexagesimală 0022 și pînă la adresa 0031.

Programul de conversie poate fi urmărit în detaliu începînd de la adresa hexagesimală 2C9, numărul care trebuie convertit fiind înscris la adresa hexagesimală 000B iar rezultatul conversiei este depus la aceeași adresă.

#### 2.4.1.9. Transformarea unui număr din cod BCD în sistemul cu virgulă mobilă.

La această transformare se efectuează operațiile inverse față de transformarea din sistemul cu virgulă mobilă în cod BCD.



NOTĂ:

T = Numărul de transformat  
 Cifra rang 5 = cea mai semnificativă.  
 Cifra rang 0 = cea mai puțin semnificativă.  
 Semn = 1 pt. -  
 0 pt. +  
 Poziție virgulă : 0 ÷ 5  
 Poz. 0 = număr zecimal  
 Poz. 5 = număr întreg

Fig. 27

Se înmulțesc succesiv cifrele numărului cu puterile corespunzătoare ale lui 10 exprimate în sistemul cu virgulă mobilă și se adună toate produsele.

La efectuarea acestor operații se consideră numărul întreg iar pentru stabilirea numărului corect, se împarte suma obținută cu 10 la puterea corespunzătoare poziției virgulei (fig.28). Partea de program care realizează această conversie începe în programul din anexa 2 de la adresa hexadecimale 0366 iar operandul se găsește tot la adresa 000B. Rezultatul conversiei este depus în aceiași adresă.

#### 2.4.2. Programe pentru achiziția datelor în cadrul cuplajului on-line spectrometru de masă - calculator

Efectuarea achiziției datelor rezultate de la un spectrometru de masă, presupune trecerea în memoria calculatorului a funcției descrisă de relația (1). Acest lucru necesită în cazul cuplajului on-line, generarea la o ieșire numeric-analogică a funcției de baleaj  $x(t)$  (ca funcție de timp), apoi conversia analog-numerică a valorii  $y$  și memorarea perechilor de valori  $x-y$ , sau numai a valorii  $y$ , cunoșcind că valorile  $x$  pe abscisă se pot obține la intervale echidistante.

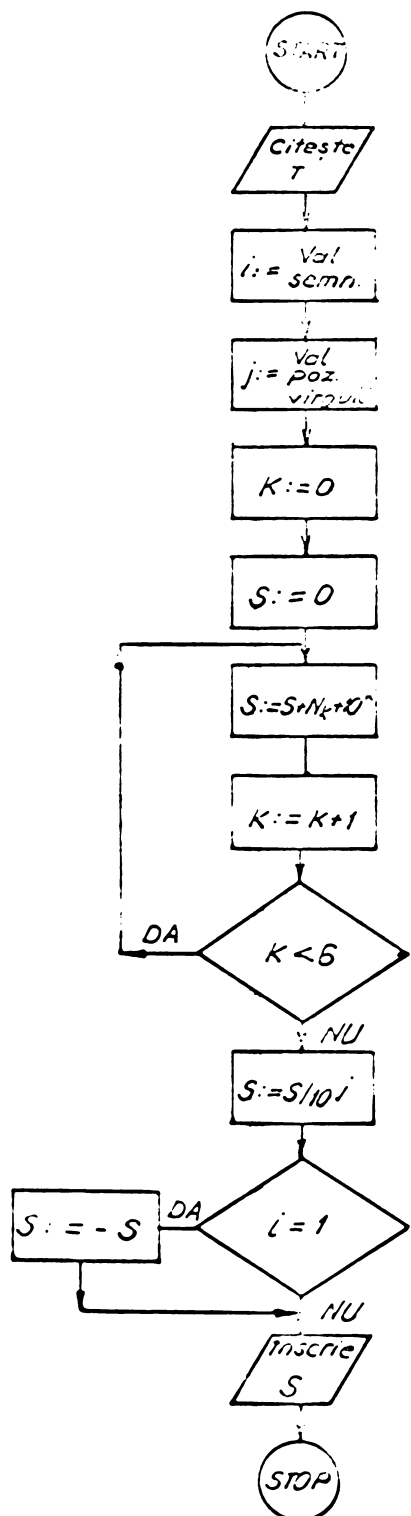
In cazul spectrometrului de masă cuadrupolar este necesară generarea unei tensiuni de baleaj liniar variabilă și distribuția maselor rezultă liniară în timp (relația (2)).

In schema generatorului de radiofrecvență care alimentează barele analizorului de mase cuadrupolar (fig.7) se observă că tensiunea de referință care se aplică la amplificatorul de eroare, poate fi o tensiune generată la ieșirea numeric analogică a calculatorului. In felul acesta amplitudinea tensiunii de radio-frecvență dată de generator și ca urmare masa specifică a ionilor care se obțin la sistemul de colectare (relația 29) poate fi controlată prin program.

Dacă se generează o tensiune de referință variabilă liniar în trepte și pe fiecare treaptă se efectuează o citire a datelor rezultate de la convertorul analog-numeric

B

Transformarea unui numar din cod BCD in cod binar pe 16 biti



NOTĂ:

T = Numarul de transformat

S = Numarul transformat

Val.semnn = 0 pt. +

1 pt.-

Poz virgula = 0÷5; 0 pt.zecimal

5 pt. intreg

NR = Cifra în cod BCD

N<sub>0</sub> = Cifra în cod BCD cea mai puțin semnificativă

N<sub>5</sub> = Cifra în cod BCD cea mai semnificativă

Fig 28

care măsoară tensiunea produsă de curenții ionici la ieșirea amplificatorului electrometric, se obține în memorie un spectru de masă.

Pentru îmbunătățirea raportului semnal/zgomot se pot efectua mai multe citiri de la convertorul analog-numeric pe aceiași treaptă a tensiunii de baleaj, iar aceste citiri se cumulează în aceiași adresă din memoria calculatorului.

O altă posibilitate este de a efectua baleajul de mai multe ori cu suprapunerea în memorie a valorilor curenților ionici obținuți la ieșirea convertorului analog-numeric.

Ordinogramele de operare pentru cele două situații sănt prezentate în figurile 29 și 30. Programele corespunzătoare pentru cele două situații sănt redate în anexa 3. În aceste programe se dau inițial: tensiunea de la care trebuie să înceapă baleajul, pasul de creștere a tensiunii, numărul de puncte care trebuie să achiziționeze, adresa de început a depunerii în memorie a spectrului de masă. Pentru schimbarea vitezei de baleaj a spectrului de masă, s-au introdus întîrzieri programabile. Aceste întîrzieri se pot utiliza și pentru a fixa timpul între două comenzi pe care trebuie să le dea sistemul de calcul. De exemplu în cazul etalonării spectrometrelor în timpul zborului la măsurători care se efectuează pe satelit /22,83/, comanda pornirii și opririi etalonării spectrometrului de masă se poate face prin program iar timpul de lucru al etalonului este de asemenea stabilit prin program.

Se pot efectua și programe cu salt pentru a baleia numai anumite picuri care se găsesc la "distanță" de mai multe mase. Acest mod de a efectua baleajul este util pentru cazul cînd spectrometrul este cuplat într-un proces /84/ și se cere urmărirea evoluției curenților ionici de la anumite mase, evoluție în funcție de care se iau decizii pentru reglarea anumitor parametri.

Pe lîngă programele amintite sistemul de calcul permite realizarea unor programe care să selecteze informația din spectrele de masă aducînd-o la un nivel calitativ superior. Astfel se poate realiza un program simplu care să selecțeze amplitudinile picurilor, considerînd aceste valori ca informație semnificativă conținută în spectrul de masă /28/.

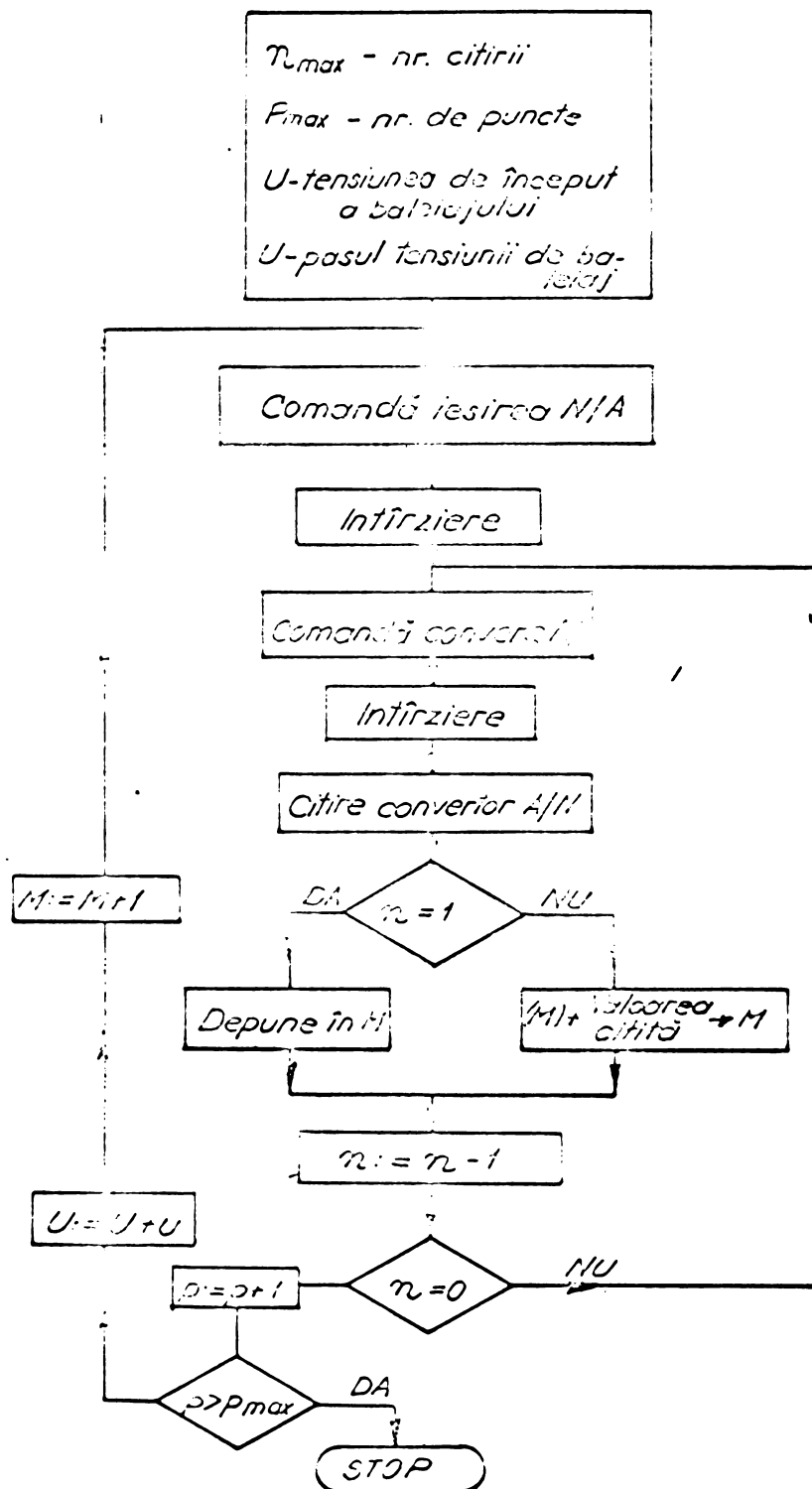


Fig. 29  
Achiziția datelor răză reținute balanțului

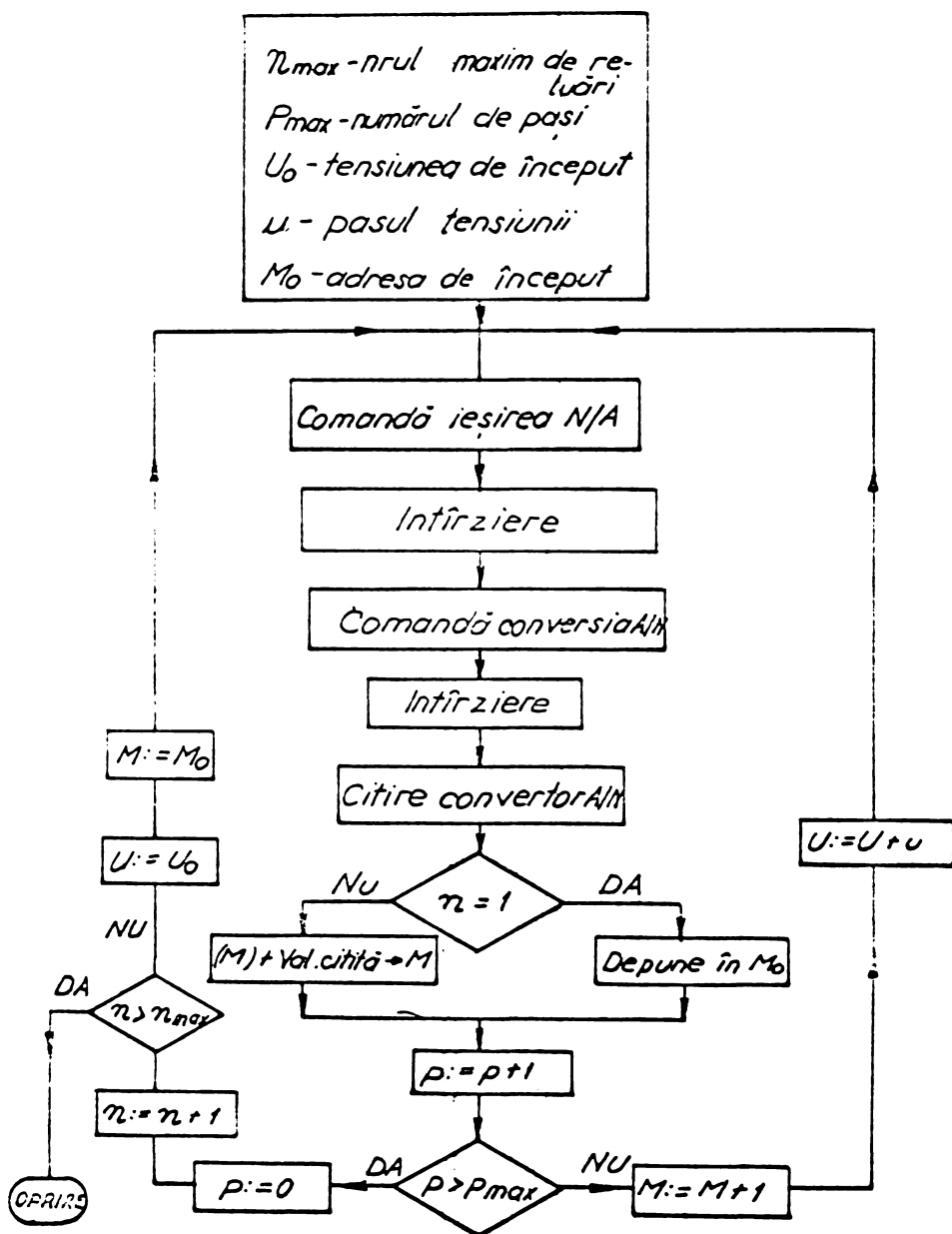
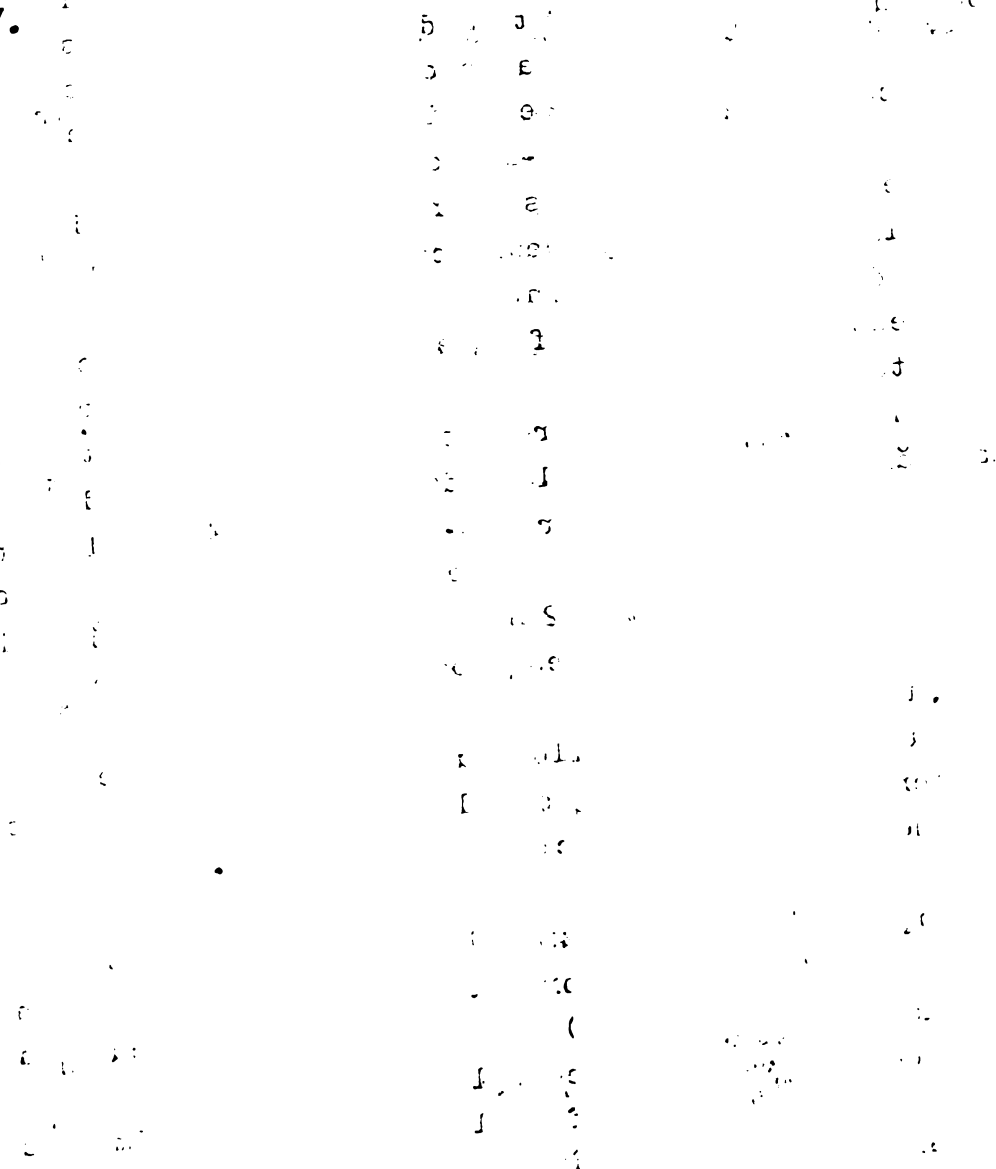


Fig 30

Achiziția datelor cu reluarea baleajului

Acest fapt este util pentru cazul spectrometrelor utilizate în cercetarea spațiului cosmic, deoarece datele care trebuie transmise prin sistemul de telemetrie spre Pămînt, se reduc considerabil.

Dacă se cere o precizie mai ridicată la determinarea parametrilor picului, se pot realiza programe simple pentru determinarea ariei de sub pic, a amplitudinii și a poziției picurilor /28/. De asemenea determinarea precisă a masei se poate efectua printr-un sistem controlat de calculator /31/.



## Capitolul 3

### IMBUNATATIREA PARAMETRILOR DE FUNCTIONARE A UNUI SPECTROMETRU DE MASA PRIN CUPLAJUL ON-LINE CU CALCULATORUL

#### 3.1. Cresterea sensibilității spectrometrului

Deoarece zgomotele sănt mărimi aleatoare centrate, adică au valoarea medie nulă /85/, influența lor asupra spectrului de masă se poate reduce prin cumulări succesive.

După cumularea spectrelor în memoria calculatorului sub forma unor succesiuni de puncte, acestea au fost redate la ieșirea numeric-analogică și au fost înregistrate în vederea comparării cu spectrele obișnuite. Ordinograma operațiilor care le efectuează calculatorul pentru redarea spectrelor din memorie prin intermediul convertorului numeric analog este prezentată în figura 31 iar programul corespunzător este cuprins în anexa 4. Din ordinogramă se observă că este introdusă o întârziere programată care permite modificarea scării de pe abscisă la redarea unui spectru de masă.

Cu acest program s-au obținut spectrele din figura 3 b, după 6 reluări succesive ale baleajului. Comparativ este arătat (în fig.32 a) același spectru după o singură baleiere. În figura 33 b este prezentată aceiași porțiune din spectrul de masă obținută după un singur baleaj dar cu 8 citiri succesive ale valorilor curentilor pentru fiecare treaptă a tensiunii de baleaj și adunarea acestor citiri pentru a obține un punct din spectrul de masă.

Din cele două figuri se observă că spectrul de masă obținut în urma achiziției datelor are zgomotul mult redus și parametrii picurilor pot fi mai precis determinați (înălțimea, lățimea, aria). De asemenea unele picuri care nu pot fi determinate din spectrul baleiat o singură dată (exemplu masa 12-carbonul din fig.31 a), din cauza zgomotului, apar clar după o cumulare în memorie.

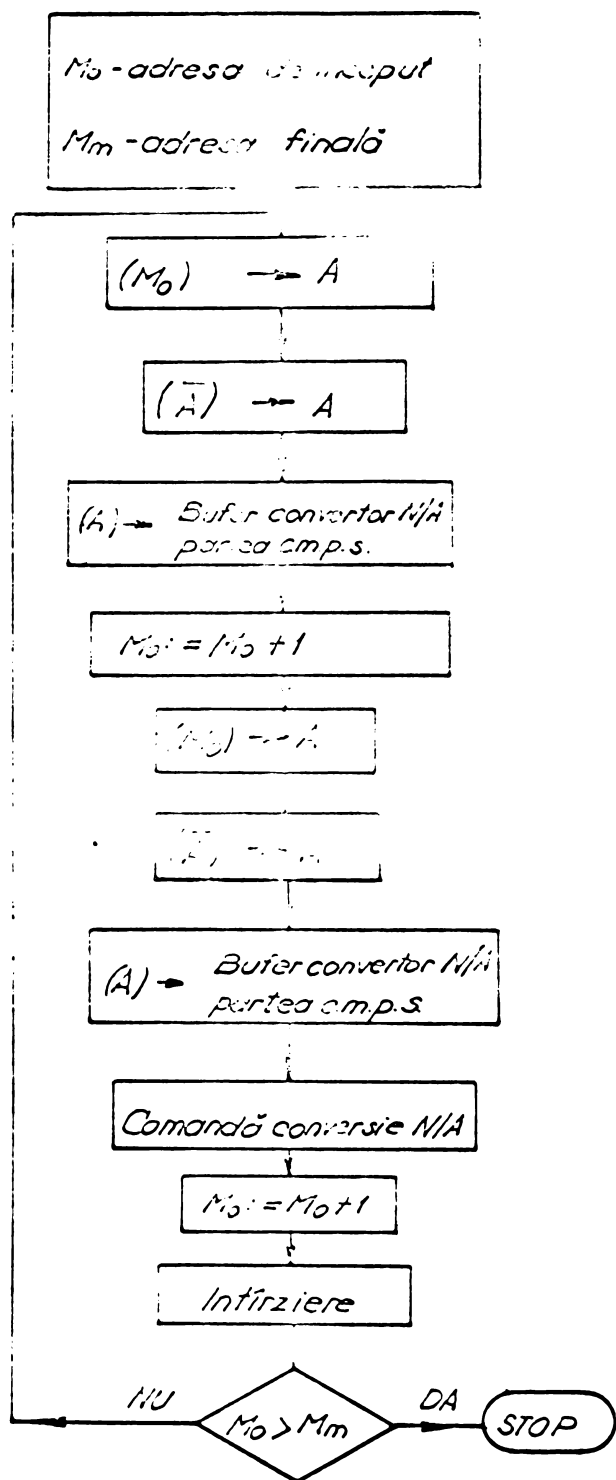


Fig. 31

Reciclarea spectrelor memorante

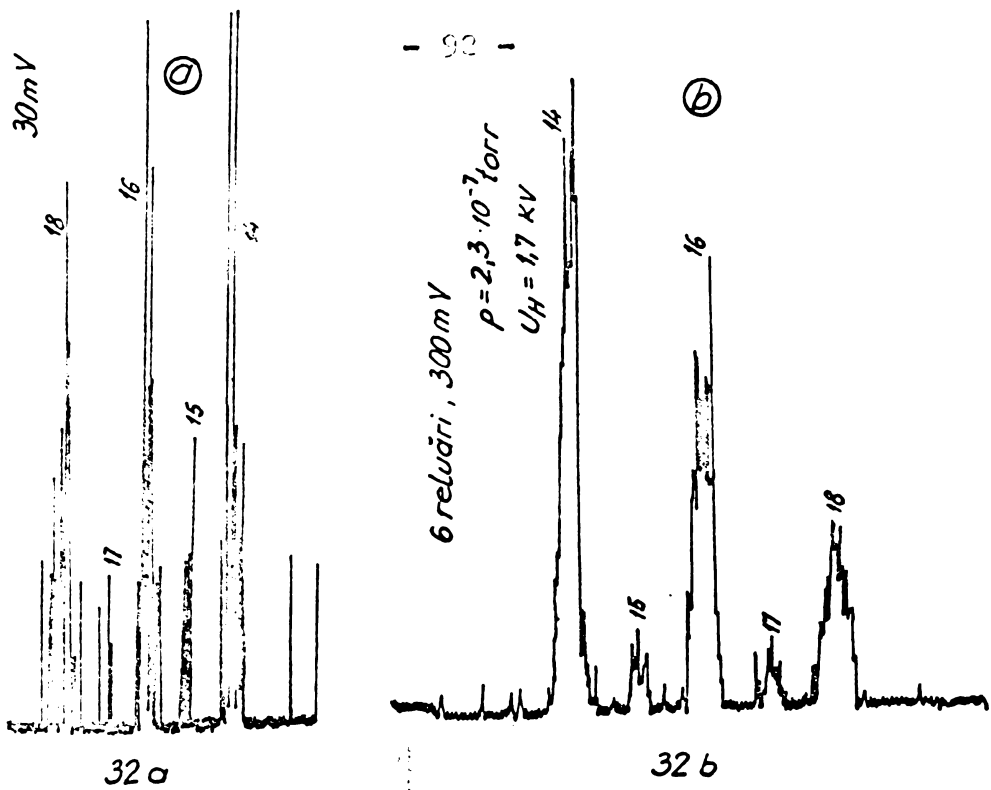


Fig. 32

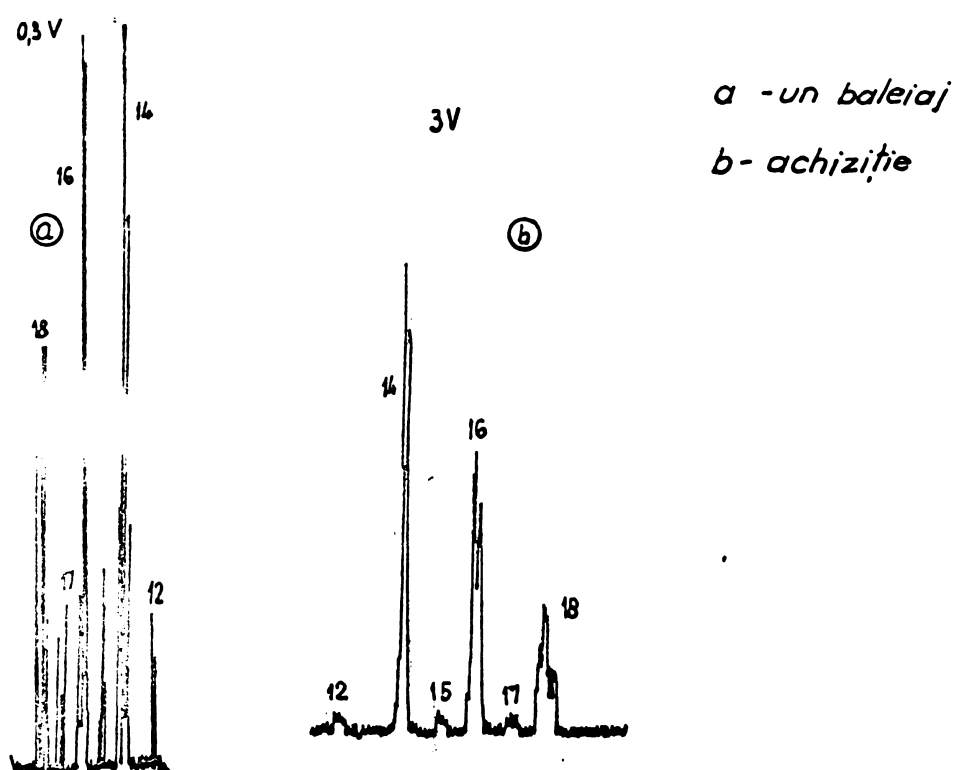


Fig. 33

Această ultimă observație este importantă pentru cazul cînd spectrometrul de masă este utilizat la măsurarea concentrațiilor izotopilor din atmosfera superioară a Pămîntului. De exemplu dacă considerăm două picuri alăturate la masa 14 ( $N^{14+}$ ) și la masa 15( $N^{15+}$ ) a căror intensitate se află în raportul 1/300 /24/, picul de la masa 15 este greu de pus în evidență datorită zgomotului și datorită picului alăturat care este de 300 de ori mai mare. Prin cumularea spectrului în memoria calculatorului, picul mic va crește în intensitate și spectrul astfel obținut va fi transmis spre Pămînt prin sistemul de telemetrie.

Este cunoscut faptul că prin medierea rezultatelor măsurate raportul semnal/zgomot se reduce cantitativ de  $N$  ori /86/, unde  $N$  este numărul de reluări ale baleiajului.

Pe lîngă efectul de reducere a zgomotului, medierea rezultatelor obținute prin măsurarea eșantioanelor prelevate la intervale care să asigure necorelarea lor, duce la micșorarea importantă a erorii de cuantizare a convertorului analog-numeric /87/.

### 3.2. Creșterea precizia de determinare a parametrilor spectrelor de masă prin utilizarea sistemului de achiziție

Prin cuantizarea semnalului rezultat de la un spectrometru de masă și prin efectuarea unei medii aritmetice a măsurătorilor precizia de determinare a parametrilor spectrului crește. Vom demonstra în continuare acest fapt prin evaluarea pe cale matematică a erorii în funcție de numărul de măsurători  $N$ .

Convertorul A/N care eșantionează și convertește spectrul de masă este un dispozitiv de cuantizare și dacă la intrarea lui se aplică semnalul  $x$ , acesta va fi împărțit în intervale de clasă adiacente /85/ de aceiași lățime  $\Delta x$  (fig.34).

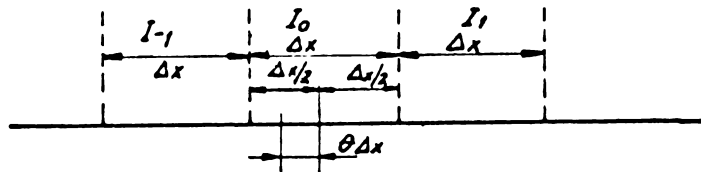


Fig.34. Intervalele de cuantizare.

Cuantizarea înseamnă înlocuirea lui  $x$  prin  $x_k$  dată de relația:

$$x_k = k \Delta x + \theta \Delta x \quad (95)$$

pentru

$$(k-\frac{1}{2}) \Delta x + \theta \Delta x < x \leq (k+\frac{1}{2}) \Delta x + \theta \Delta x$$

Se pot întâlni 2 situații particulare:

- 1)  $\theta = 0$  cind  $x_k = k \Delta x$  pentru  $(k-\frac{1}{2}) \Delta x < x \leq (k+\frac{1}{2}) \Delta x$
- 2)  $\theta = \pm \frac{1}{2}$ ;  $x_k = (k \pm \frac{1}{2}) \Delta x$   $k \Delta x < x \leq (k+1) \Delta x$

Presupunând că eșantioanele de la intrarea cuantizorului sunt independente, probabilitatea ca  $x$  să aparțină intervalului  $I_k$  este dată de relația:

$$\int_{k-\frac{1}{2}+\theta}^{k+\frac{1}{2}+\theta} p(x) dx = P(x_k) \quad (97)$$

în care  $p(x)$  este densitatea de probabilitate /88/ iar  $P(x_k)$  este probabilitatea de apariție a lui  $x_k$ .

Introducind o funcție dreptunghiulară definită astfel:

$$\text{rectang } \frac{\lambda}{\Delta x} = \begin{cases} 1 & \text{pentru } |\lambda| \leq \frac{\Delta x}{2} \\ 0 & \text{pentru } |\lambda| > \frac{\Delta x}{2} \end{cases} \quad (98)$$

și schimbarea de variabilă

$$\lambda = x - (k + \theta) \Delta x \quad (99)$$

relația (97) devine:

$$(x_k) = \int_{-\infty}^{+\infty} p[\lambda + (k + \theta) \Delta x] \text{rectang } \frac{\lambda}{\Delta x} d\lambda \quad (100)$$

Prin definiție /83/ funcția caracteristică a mărimii de ieșire este dată de relația:

$$\varphi(i) = \sum_{k=-\infty}^{+\infty} P(x_k) e^{j i x_k} = \sum_{k=-\infty}^{+\infty} e^{j i (k + \theta) \Delta x} p[\lambda + (k + \theta) \Delta x] \text{rectang } \frac{\lambda}{\Delta x} \quad (101)$$

Dacă se notează cu  $\varphi(u)$  funcția caracteristică a mărimii de intrare din modul de definire a acestei funcții rezultă:

$$P(x) = \frac{1}{2\pi} \int_{-\infty}^{+\infty} \varphi(u) e^{-jux} du = \frac{1}{2\pi} \tilde{\mathcal{F}}\{\varphi(u)\} \quad (102)$$

înseamnă că:

$$P[\lambda + (k + \theta) \Delta x] = \frac{1}{2\pi} \int_{-\infty}^{+\infty} \varphi(u) e^{-ju(\lambda + (k + \theta) \Delta x)} du = \frac{1}{2\pi} \tilde{\mathcal{F}}\{\varphi(u)\} e^{-ju(\lambda + (k + \theta) \Delta x)} \quad (103)$$

unde prin  $\tilde{\mathcal{F}}$  s-a notat transformata Fourier a funcțiilor.

Relația (97) se mai poate scrie:

$$\text{rectang } \frac{\lambda}{\Delta x} = \begin{cases} 1, & \frac{\lambda}{\Delta x} \leq \frac{1}{2} \\ 0, & \frac{\lambda}{\Delta x} > \frac{1}{2} \end{cases} \quad (104)$$

sau ținând cont că  $\text{rectang } \frac{\lambda}{\Delta x}$  este o funcție reală

$$\mathcal{F}^{-1}[\text{rectang } \frac{\lambda}{\Delta x}] = \frac{1}{2\pi} \int_{-\frac{\Delta x}{2}}^{\frac{\Delta x}{2}} e^{i\lambda u} du = \frac{1}{2\pi n} e^{i\lambda u} \Big|_{-\frac{\Delta x}{2}}^{\frac{\Delta x}{2}} = \frac{1}{\pi n} \sin\left(\frac{\lambda \Delta x}{2}\right) = \\ = \frac{\Delta x}{2\pi} \frac{\sin n \frac{\Delta x}{2}}{n \frac{\Delta x}{2}} \quad (105)$$

$$\text{rectang } \frac{\lambda}{\Delta x} = \mathcal{F} \left\{ \frac{\Delta x}{2\pi} \frac{\sin u \frac{\Delta x}{2}}{u \frac{\Delta x}{2}} \right\} \quad (106)$$

Tinând cont de relațiile (105) și (106) relația

(101) devine

$$\begin{aligned} \varphi(v) &= \sum_{k=-\infty}^{+\infty} e^{iv(v+k\frac{\Delta x}{2\pi})} \frac{1}{2\pi} \int_{-\infty}^{+\infty} \mathcal{F} \left\{ e^{-iu(v+k\frac{\Delta x}{2\pi})} \varphi(u) \right\} \mathcal{F}^{-1} \left\{ \frac{\Delta x}{2\pi} \frac{\sin u \frac{\Delta x}{2}}{u \frac{\Delta x}{2}} \right\} du = \\ &= \sum_{k=-\infty}^{+\infty} e^{iv(v+k\frac{\Delta x}{2\pi})} \int_{-\infty}^{+\infty} e^{-iu(v+k\frac{\Delta x}{2\pi})} \varphi(u) \frac{\Delta x}{2\pi} \frac{\sin u \frac{\Delta x}{2}}{u \frac{\Delta x}{2}} du = \\ &= \int_{-\infty}^{+\infty} \sum_{k=-\infty}^{+\infty} \delta(u-v-k\frac{\Delta x}{2\pi}) e^{-iv\Delta x(u-v)} \varphi(u) \frac{\sin u \frac{\Delta x}{2}}{u \frac{\Delta x}{2}} du = \\ &= \sum_{k=-\infty}^{+\infty} e^{-iv\Delta x k} \varphi(v + k\frac{\Delta x}{2\pi}) \frac{\sin(v + k\frac{\Delta x}{2\pi}) \frac{\Delta x}{2}}{(v + k\frac{\Delta x}{2\pi}) \frac{\Delta x}{2}} \end{aligned} \quad (107)$$

unde  $\delta$  este abaterea medie /88/.

Cunoscând funcția caracteristică, valoarea medie (speranță matematică) a mărimii de ieșire /88/ rezultă prin definiție:

$$M(x_k) = -j \frac{\partial \varphi}{\partial v} \Big|_{v=0} = M(x) + \sum_{k=1}^{\infty} \frac{\Delta x}{\pi k} I_m \left\{ e^{j2\pi k(1/2-\theta)} \varphi\left(\frac{2\pi k}{\Delta x}\right) \right\} \quad (108)$$

Pentru cazul spectrelor de masă presupunând semnalul de intrare gaussian /62/ densitatea de probabilitate este dată de relația:

$$p(x) = \frac{1}{\sqrt{2\pi}\sigma} e^{-\frac{(x-M(x))^2}{2\sigma^2}} \quad (109)$$

în care  $M(x)$  este media semnalului de intrare,  $\tilde{\gamma}$  este eroarea medie pătratică iar funcția caracteristică corespunzătoare este:

$$\varphi_s(u) = e^{juM(x) - \frac{u^2\tilde{\gamma}^2}{2}} \quad (110)$$

Cu aceste relații media semnalului cuantizat este

$$M(x_k) = M(x) + \frac{\Delta x}{\pi} \sum_{k=1}^{\infty} \frac{1}{k} \operatorname{Im} \left\{ e^{j[2\pi k(1/2-\theta) + \frac{2\pi i}{\Delta x} M(x)]} \right\} e^{-\left(\frac{2\pi k}{\Delta x}\right)^2 \frac{\tilde{\gamma}^2}{2}} \quad (111)$$

Dacă peste semnal se suprapune un zgomot de distribuție gaussiană normală; funcția caracteristică a zgomotului este:

$$\varphi_z(k \frac{2\pi i}{\Delta x}) = \exp \left[ -\left( k \frac{2\pi i}{\Delta x} \right)^2 \frac{\tilde{\gamma}^2}{2} \right] \quad (112)$$

Prin suprapunerea peste semnal a zgomotului:

$$\varphi_x = \varphi_s \cdot \varphi_z \quad (113)$$

Dacă se presupune semnalul de intrare constant =  $s_0$

$$M(x) = s_0$$

sau

$$\varphi_s(k \frac{2\pi i}{\Delta x}) = \exp jk \frac{2\pi i}{\Delta x} s_0 \quad (114)$$

Notând

$$\gamma' = \frac{\tilde{\gamma}}{\Delta x} \quad (115)$$

rezultă

$$M(x_k) = M(x) + \frac{\Delta x}{\pi} \sum_{k=1}^{\infty} \frac{1}{k} \exp(-2\pi^2 k^2 \gamma'^2) \sin 2\pi i \left[ (1/2 - \theta) + \frac{M(x)}{\Delta x} \right] \quad (116)$$

Dacă se notează

$$M(x) = (k + \theta)\Delta x + \beta \Delta x \quad -\frac{1}{2} < \beta \leq \frac{1}{2} \quad (117)$$

$$\begin{aligned} M(x_k) - M(x) &= \frac{\Delta x}{\pi} \sum_{k=1}^{\infty} \frac{1}{k} \exp(-2k^2\pi^2\gamma^2) \sin(\pi k + 2\pi k \beta) = \\ &= \frac{\Delta x}{\pi} \sum_{k=1}^{\infty} \frac{(-1)^k}{k} e^{-(\frac{2\pi k}{\Delta x})^2 \frac{\gamma^2}{2}} \sin 2\pi k \beta \end{aligned} \quad (118)$$

Din relația (118) rezultă scăderea erorii sistematice ( $\varepsilon_s$ ) odată cu creșterea zgomotului deoarece valoarea lui  $\gamma$  crește prin creșterea abaterii medii pătratice  $\bar{\sigma}^2$ . Pentru 0,2 din dezvoltarea relației (118) în serie se poate păstra doar primul termen și rezultă:

$$\varepsilon_s = -\frac{\Delta x}{\pi} \exp(-2\pi^2\gamma^2) \sin 2\pi \bar{\gamma} \quad (119)$$

Admitând o anumită probabilitate de încredere  $(1-\alpha)$  pentru intervalul în care se găsește  $M(x_k)$  rezultă:

$$M(x) = x_k - \varepsilon_s \pm z_{\alpha/2} \sqrt{\text{disp}(\bar{x}_k)} \quad (120)$$

relație în care  $z$  este valoarea variabilei gaussiene normate pentru care

$$P(z > z_{\alpha/2}) = \frac{\alpha}{2} \quad \text{sau} \quad P(-z_{\alpha/2} < z < z_{\alpha/2}) = 1 - \alpha \quad (121)$$

iar dispersia mediei de selecție  $\bar{x}_k$  dintr-un volum de selecție  $N$  se calculează cu relația:

$$\text{disp}\{\bar{x}_k\} = \frac{1}{N} \text{disp}\{x_k\} \quad (122)$$

Inseamnă că eroarea de quantizare este dată de relația

$$\mathcal{E}_c = \bar{x}_k - M(x) = \mathcal{E}_s + 2\alpha_{1/2} \sqrt{\text{disp} x_k} \quad (123)$$

Din relația (123) se observă prin creșterea valo-  
rii efective a zgâgomotului scade eroarea de cuantizare și creș-  
te dispersia.

Din această cauză, rezultă posibilitatea deter-  
minării unei valori optime pentru  $\beta$ , valoare pentru care e-  
roarea de cuantizare este minimă. Având în vedere modul de  
calcul a dispersiei /90/ pentru cazul considerat de noi se  
obține:

$$\begin{aligned} \text{disp}\{x_k\} &= \sigma^2 + \frac{(\bar{x}_k)^2}{12} + \left(\frac{\Delta x}{\pi}\right)^2 \sum_{k=1}^{\infty} \frac{(-1)^k}{k^2} \exp(-2\pi^2 k^2 \psi^2) \cos 2\pi k \beta - \\ &- \left(\frac{\Delta x}{\pi}\right)^2 \left[ \sum_{k=1}^{\infty} \frac{(-1)^k}{k} \exp(-\pi^2 k^2 \psi^2) \sin 2\pi k \beta \right]^2 + \\ &+ 4\pi^2 \sum_{k=1}^{\infty} (-1)^k \exp(-\pi^2 k^2 \psi^2) \cos 2\pi k \beta. \end{aligned} \quad (124)$$

Pentru  $\lambda > 0,3$  se pot neglija unii termeni și  
rezultă

$$\mathcal{E}_c = -\frac{\Delta x}{\pi} \exp(-2\pi^2 \psi^2) \sin 2\pi \beta - 2\alpha_{1/2} \frac{\Delta x}{\sqrt{N}} \sqrt{\frac{1}{12} + \psi^2} \quad (125)$$

Anulând derivata erorii de cuantizare în raport cu  $\beta$  se ob-  
ține

$$\exp(2\pi^2 \psi_{opt}^2) \frac{1}{\sqrt{\frac{1}{12} + \psi_{opt}^2}} = 4\pi^2 \frac{N}{2\alpha_{1/2}} \cdot \frac{1}{\sin 2\pi \beta} \quad (126)$$

Din relația (126) se observă că  $\psi_{opt}$  depinde de  
 $\beta$ ,  $N$ ,  $2\alpha_{1/2}$ . Deoarece  $\psi_{opt}$  nu se poate modifica în funcție  
de mărimea semnalului de măsurat (poziția semnalului într-un  
interval  $I_k$  depinde de  $\beta$ ), se poate alege acea valoare a  
lui  $\psi$  care face minimă valoarea maximă de cuantizare (pen-  
tru  $\beta = \frac{1}{4}$ ). Eroarea minimă de cuantizare se poate exprima  
înținind cont de relațiile (126) și (125) astfel:

$$\mathcal{E}_{c\min} = -\frac{\Delta x}{\pi} \exp[-2\pi^2 \psi_{opt}^2] [1 + 4\pi^2 (\frac{1}{12} + \psi_{opt}^2)] \quad (127)$$

Dacă se reprezintă grafic  $e_{c\min}/\Delta x$  în funcție de  $N$  (numărul de măsurători)  $N$  și probabilitatea de încrătere  $\gamma_{\alpha/2}$  (fig.35) se observă că la creșterea raportului  $N/(z_{\alpha/2})^2$  eroarea scade iar  $\gamma_{\alpha/2}$  crește.

Pentru a urmări influența lui  $\gamma$  asupra erorii de cuantizare în figura 36 s-a reprezentat raportul  $e_c/e_{c\min}$  în funcție de  $\gamma$  pentru  $N$  și  $\Delta x/2$  corespunzătoare lui  $\gamma$  optim. Se observă din figură că modificarea lui  $\gamma$  în jurul valorii optime nu produce creșteri apreciabile ale erorii.

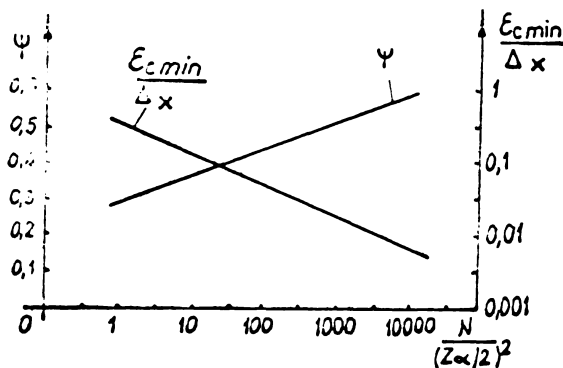


Fig.35. Dependența erorii de cuantizare de numărul de esantioane  $N$ .

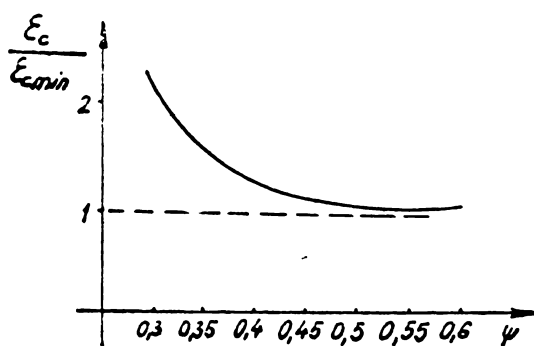


Fig.36. Eroarea de cuantizare raportată în funcție de puterea zgomotului.

De asemenea din figura 35 se observă că este necesar un număr mare de reluați ale baloajului ( $N$ ) la spectrometrul de masă pentru a obține o scădere substanțială a erorii de cuantizare în cazul utilizării unui sistem de adunare a datelor. Totuși față de cazul măsurătorii singulare, medierea rezultatelor obținute prin măsurarea eșantioanelor duce la micșorarea importantă a erorii de cuantizare chiar în cazul suprapunerii unui zgomot aleator peste semnalul util.

### 3.3. Metodă de calcul pentru creșterea rezoluției în cazul eșantionării spectrului de masă

#### 3.3.1. Considerații generale

In cazul unei rezoluții scăzute a spectrometrului de masă picurile se pot suprapune (fig.37) (cap. 1.3) și se pune problema găsirii picurilor componente prin suprapunerea cărora se obține spectrul de masă dat.

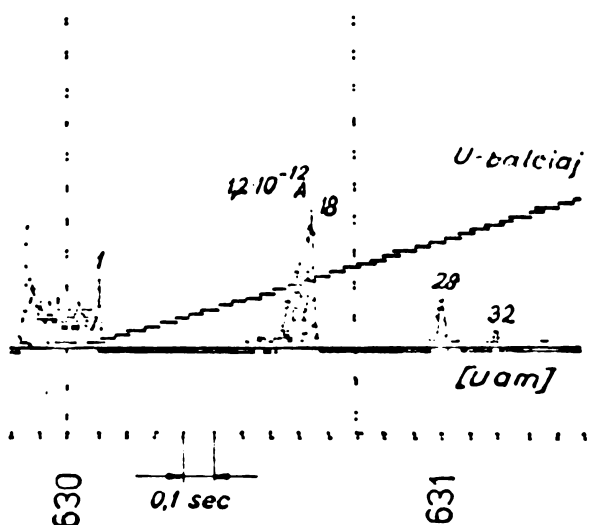


Fig.37. Spectrul de masă de joasă rezoluție (de pe racheta Vertical-7 1978).

Această problemă este întâlnită și în cromatografia de gaze, în spectroscopie optică, la spectrele de energie și cu atunci

în literatură se găsesc metode de calcul /89/, /90/, dar au dezavantajul că necesită date suplimentare care de cele mai multe ori nu sunt disponibile.

Bazați pe ideia cuprinsă în lucrarea /91/ am realizat un algoritm și un program de calcul care separă picurile suprapuse în cazul unui spectru de masă dat sub formă tabelată (eșantionat), formă în care se obține spectrul de masă în cazul utilizării unui sistem de achiziție a datelor sau în cazul transmiterii spectrului de pe o navă spațială prin sistemul de telemetrie (fig.3.7).

Presupunând funcția care dă spectrul de masă, o funcție de timp  $F(t)$  iar forma unui pic o funcție gaussiană /62/ este de interes pentru măsurători poziția unde apare maximul unui pic și valoarea acestui maxim. Pentru a determina aceste valori se introduc doi coeficienți: un coeficient de poziție și un coeficient pentru amplitudine. Aplicând metoda celor mai mici pătrate rezultă o eroare de forma:

$$E(\alpha, \zeta) = \int_{-\infty}^{+\infty} \{F(t) - \alpha \phi'(t + \zeta)\}^2 dt \quad (128)$$

Condiția de minim se poate scrie astfel:

$$\frac{\partial E}{\partial \alpha} = 2 \int_{-\infty}^{+\infty} [F(t) - \alpha \phi'(t + \zeta)] [-\phi'(t)] dt = 0 \quad (129)$$

$$\frac{\partial E}{\partial \zeta} = 2 \int_{-\infty}^{+\infty} [F(t) - \alpha \phi'(t + \zeta)] [-\alpha \phi''(t + \zeta)] dt = 0 \quad (130)$$

Din relația (129) rezultă

$$\alpha = \frac{\int_{-\infty}^{+\infty} F(t) \phi'(t + \zeta) dt}{\int_{-\infty}^{+\infty} [\phi'(t + \zeta)]^2 dt} \quad (131)$$

Integrind prin părți numărătorul relației 131 rezultă

$$\int_{-\infty}^{+\infty} F(t) \phi'(t + \zeta) dt = F(t) \phi'(t + \zeta) \Big|_{-\infty}^{+\infty} - \int_{-\infty}^{+\infty} F(t) \phi''(t + \zeta) dt = - \int_{-\infty}^{+\infty} F(t) \phi'(t + \zeta) dt \quad (132)$$

deoarece  $\phi(t)$  este de formă gaussiană

$$F(t)\phi'(t+\tau) \Big|_{-\infty}^{+\infty} = 0 \quad (133)$$

și prin urmare relația (131) devine

$$\alpha = \frac{-\int_{-\infty}^{\infty} F(t)\phi''(t+\tau)dt}{\int_{-\infty}^{\infty} [\phi'(t+\tau)]^2 dt} \quad (134)$$

Din relația (130) rezultă:

$$\int_{-\infty}^{+\infty} F(t)\phi''(t+\tau) = \alpha \int_{-\infty}^{+\infty} f'(t+\tau)\phi''(t+\tau)dt. \quad (135)$$

Dar

$$\int_{-\infty}^{+\infty} \phi'(t)f'(t)dt = \frac{1}{2} \int_{-\infty}^{+\infty} d[\phi'(t)]dt = \frac{1}{2} \phi'(t) \Big|_{-\infty}^{+\infty} = 0 \quad (136)$$

și ca atare după integrare prin părți se obține

$$\beta(\tau) = - \int_{-\infty}^{+\infty} F'(t)\phi'''(t+\tau)dt \quad (137)$$

Însemnă că cea mai exactă aproximare a curbei  $F(t)$  prin descompunerea în gaussiene este condiționată de îndeplinirea simultană a relațiilor (134) și (137). Poziția maximului unui pic rezultă în cazul cînd valoarea lui  $\beta$  își schimbă semnul trecînd din minus în plus.

Dacă la funcția  $F(t)$  se adaugă o derivă de formă  $f(t) = c_1 + c_2 t$  în care  $c_1$  și  $c_2$  sunt constante, se poate ușor demonstra că funcția rezultată  $F(t) + f(t)$  dă aceleasi relații pentru coeficienții  $C_1$  și  $C_2$  ca și funcția  $F(t)$ . Cu alte cuvinte deriva nu influențează asupra metodei de calcul.

### 3.3.2. Particularitățile cazului real cînd funcția este dată sub formă tabelată

In cazul real cînd funcția este dată sub formă

tabelată intervalul de integrare este limitat la un domeniu finit cuprins între o valoare minimă a timpului  $t_m$  și o valoare maximă  $t_M$  care trebuie să satisfacă condiția:

$$0 \leq t_m \leq t_M < \infty \quad (138)$$

Pentru a determina limitele de integrare alegem parametrii care satisfac condițiile:

$$\delta > 0 ; \varepsilon > 0 ; \varepsilon \ll 1 \quad (139)$$

ca atare

$$\gamma \in [t_m + \delta, t_M - \delta] \quad (140)$$

Punând condiția

$$\phi(t-\gamma) \leq \varepsilon \text{ pentru } t=t_m \text{ sau } t=t_M \quad (141)$$

la un  $\varepsilon > 0$  fixat, se poate determina  $\delta > 0$  astfel ca

$$\phi(\pm \delta) \leq \varepsilon \quad (142)$$

Tinând cont de limitele finite de integrare condiția (128) devine:

$$E(\alpha, \varepsilon) = \int_{t_m}^{t_M} [F'(t) - \alpha \phi'(t-\gamma)]^2 dt \quad (143)$$

In mod analog se obține:

$$\begin{aligned} \beta(\varepsilon) &= - \int_{t_m}^{t_M} F(t) \phi'''(t-\gamma) dt = 0 \\ \alpha(\varepsilon) &= - \int_{t_m}^{t_M} F(t) \phi''(t-\gamma) dt / \int_{t_m}^{t_M} [\phi'(t)]^2 dt \end{aligned} \quad (144)$$

Dacă se ține cont de relația care dă funcția gaussiană condiția (142) se scrie:

$$\frac{1}{\sqrt{2\pi}} e^{-\frac{\delta^2}{2\alpha^2}} \leq \varepsilon \quad (145)$$

sau

$$\delta \geq d_c = \alpha \sqrt{\varepsilon} \ln^{1/2} [1/\varepsilon \sqrt{2\pi}] \quad (146)$$

în care a este parametrul gaussianei (amplitudinea se consideră egală cu 1).

Un punct curent pe axa timpului se fixează prin relația

$$t_i = t_m + (i-1)h; \quad i=1, \dots, n \quad (147)$$

$h$  - pasul pe abscisă.

Din condiția  $t_i = t_m$  rezultă

$$n = \left\lceil 1 + \frac{t_m - t_m}{h} \right\rceil \quad (148)$$

relație cu care se calculează numărul de puncte cînd se cunoaște intervalul de lucru și pasul.

Presupunem un  $n_s$  astfel încît:

$$t_{ns} \leq \hat{c}_c \leq t_{ns+1} \quad (149)$$

condiție din care rezultă:

$$\begin{aligned} (n_s - 1)h &\leq \hat{c}_c - t_m \\ n_s h &> \hat{c}_c - t_m \end{aligned} \quad (150)$$

Din aceste condiții se deduce:

$$n_s = \left\lceil 1 + \frac{\hat{c}_c - t_m}{h} \right\rceil \quad (151)$$

în care prin paranteze drepte am notat partea întreagă.

De asemenea

$$T_{n_s+1} = t_{ns} \quad (152)$$

In mod asemănător

$$\begin{aligned} \hat{c}_c &\geq t_m - t_{nd} \\ \hat{c}_c &< t_m - t_{nd-1} \end{aligned} \quad (153)$$

sau

$$\begin{aligned} t_m - [t_m + (n_{nd} - 1)h] &\leq \hat{c}_c \\ t_m - [t_m + (n_{nd} - 2)h] &> \hat{c}_c \end{aligned} \quad (154)$$

rezultă:

$$\begin{aligned} (n_d - 1)h &\geq t_M - t_m - d_c \\ (n_d - 2)h &\leq t_M - t_m - d_c \end{aligned} \quad (155)$$

dе unde

$$1 + \frac{t_M - t_m - d_c}{h} \leq n_d < 2 + \frac{t_M - t_m - d_c}{h} \quad (156)$$

$$n_d = \left[ 1 + \frac{t_M - t_m - d_c}{h} \right] \Rightarrow \bar{\tau}_{\max} = t_{nd} \quad (157)$$

Picurile sănt situate astfel încât

$$\bar{\tau}_{\min} \leq \bar{\tau} \leq \bar{\tau}_{\max} \quad (158)$$

Vom încerca o evaluare a parametrilor  $\alpha$  și  $\beta$  în funcție de valorile  $F_i$  ale funcției tabelate.

Considerînd un interval

$$J_i = [t_i, t_{i+1}] ; \quad i = \overline{1, n-1} \quad (159)$$

se va aproxima funcția pe intervalul  $J_i$  cu un polinom de gradul trei,  $p_{4,i}$  (funcția spline cubică) /92/.

$$\tilde{f}_{J_i} \approx p_{4,i} \quad (160)$$

unde

$$p_{4,i} = C_{1,i} + C_{2,i}(t-t_i) + \frac{1}{2!} C_{3,i}(t-t_i)^2 + \frac{1}{3!} C_{4,i}(t-t_i)^3 \quad (161)$$

$c_{1,i}, c_{2,i}, c_{3,i}, c_{4,i}$  sănt coeficienți care se determină pe fiecare interval.

Cu aceasta numărătorul relației care determină coeficientul devine (relația 144):

$$\begin{aligned} \int_{J_i} f(t) \phi''(a, t-\epsilon) dt &= \frac{1}{12h} \left\{ C_{1,i} \int_{J_i} \tilde{f}(a, t-\epsilon) dt + C_{2,i} \int_{J_i} (t-t_i) \tilde{f}'(a, t-\epsilon) dt + \right. \\ &+ \left. \frac{1}{2} C_{3,i} \int_{J_i} (t-t_i)^2 \tilde{f}''(a, t-\epsilon) dt + \frac{1}{6} C_{4,i} \int_{J_i} (t-t_i)^3 \tilde{f}'''(a, t-\epsilon) dt \right\} \quad (162) \end{aligned}$$

în care  $\tilde{f} = e^{-\frac{(t-\tau)^2}{T}}$

Să analizăm pe rând fiecare termen din membrul drept al relației (162).

$$\int_{J_t} \tilde{\phi}'(a, t-\tau) d\tau = \tilde{\phi}'(a, t-\tau) \Big|_{J_t} = \tilde{\phi}'(a, t_{i+1}-\tau) - \tilde{\phi}'(a, t_i-\tau) \quad (163)$$

$$\begin{aligned} \int_{J_t} (t-t_i) \tilde{\phi}''(a, t-\tau) d\tau &= (t-t_i) \tilde{\phi}'(a, t-\tau) \Big|_{J_t} - \int_{J_t} \tilde{\phi}'(a, t-\tau) d\tau = \\ &= (t_{i+1}-t_i) \tilde{\phi}'(a, t_{i+1}-\tau) - \tilde{\phi}'(a, t_{i+1}-\tau) + \tilde{\phi}'(a, t_i-\tau) \end{aligned} \quad (164)$$

$$\begin{aligned} \int_{J_t} (t-t_i)^2 \tilde{\phi}'''(a, t-\tau) d\tau &= (t-t_i)^2 \tilde{\phi}'(a, t-\tau) \Big|_{J_t} - 2 \int_{J_t} (t-t_i) \tilde{\phi}'(a, t-\tau) d\tau = \\ &= (t_{i+1}-t_i)^2 \tilde{\phi}'(a, t_{i+1}-\tau) - 2(t_{i+1}-t_i) \tilde{\phi}'(a, t_{i+1}-\tau) + 2 \int_{J_t} \tilde{\phi}'(a, t-\tau) d\tau \end{aligned} \quad (165)$$

$$\begin{aligned} \int_{J_t} (t-t_i)^3 \tilde{\phi}''''(a, t-\tau) d\tau &= (t-t_i)^3 \tilde{\phi}'(a, t-\tau) - 3 \int_{J_t} (t-t_i)^2 \tilde{\phi}'(a, t-\tau) d\tau = \\ &= (t_{i+1}-t_i)^3 \tilde{\phi}'(a, t_{i+1}-\tau) - 3[(t-t_i)^2 \tilde{\phi}'(a, t-\tau) \Big|_{J_t} - 2 \int_{J_t} (t-t_i) \tilde{\phi}'(a, t-\tau) d\tau] = \\ &= (t_{i+1}-t_i)^3 \tilde{\phi}'(a, t_{i+1}-\tau) - 3(t_{i+1}-t_i)^2 \tilde{\phi}'(a, t_{i+1}-\tau) + 6 \int_{J_t} (t-t_i) \tilde{\phi}'(a, t-\tau) d\tau \end{aligned} \quad (166)$$

Cu aceasta relație 162 devine:

$$\begin{aligned} \int_{J_t} F(t) \tilde{\phi}''(a, t-\tau) d\tau &= \frac{1}{\sqrt{2\pi}} \left\{ C_{1,i} [\tilde{\phi}'(a, t_{i+1}-\tau) - \tilde{\phi}'(a, t_i-\tau)] + \right. \\ &\quad + C_{2,i} [\tilde{\phi}'(a, t_{i+1}-\tau) - \tilde{\phi}'(a, t_{i+1}-\tau) + \tilde{\phi}'(a, t_i-\tau)] + \\ &\quad + \frac{1}{2} C_{3,i} [\tilde{\phi}'(a, t_{i+1}-\tau) - 2\tilde{\phi}'(a, t_{i+1}-\tau)] + 2 \int_{J_t} \tilde{\phi}'(a, t-\tau) dt + \\ &\quad \left. + \frac{1}{6} C_{4,i} [\tilde{\phi}'(a, t_{i+1}-\tau) - 3\tilde{\phi}'(a, t_{i+1}-\tau) + 6 \int_{J_t} (t-t_i) \tilde{\phi}'(a, t-\tau) dt] \right\} \end{aligned} \quad (167)$$

In mod similar

$$\begin{aligned} \int_{J_t} F(t) \tilde{\phi}'''(a, t-\tau) dt &= \frac{1}{\sqrt{2\pi}} \left\{ C_{1,i} \int_{J_t} \tilde{\phi}'''(a, t-\tau) dt + C_{2,i} \int_{J_t} (t-t_i) \tilde{\phi}'''(a, t-\tau) dt + \right. \\ &\quad + \frac{1}{2} C_{3,i} \int_{J_t} (t-t_i)^2 \tilde{\phi}'''(a, t-\tau) dt + \frac{1}{6} C_{4,i} \int_{J_t} (t-t_i)^3 \tilde{\phi}'''(a, t-\tau) dt \} \end{aligned} \quad (168)$$

Efectuind calculele rezulta

$$\int_{t_i}^{\tilde{t}} \tilde{\phi}''(a, t-\tau) dt = \tilde{\phi}'(a, t_{i+1} - \tau) - \tilde{\phi}'(a, t_i - \tau)$$

$$\int_{t_i}^{t-t_i} (t-t_i) \tilde{\phi}''(a, t-\tau) dt = \Delta t_i \tilde{\phi}'(a, t_{i+1} - \tau) - [\tilde{\phi}'(a, t_{i+1} - \tau) - \tilde{\phi}'(a, t_i - \tau)] \quad (169)$$

$$\int_{t_i}^{t-t_i} (t-t_i)^2 \tilde{\phi}'''(a, t-\tau) dt = \Delta t_i^2 \tilde{\phi}'(a, t_{i+1} - \tau) - 2\Delta t_i \tilde{\phi}'(a, t_{i+1} - \tau) +$$

$$+ 2\tilde{\phi}'(a, t_{i+1} - \tau) - 2\tilde{\phi}'(a, t_i - \tau) \quad (170)$$

$$\int_{t_i}^{t-t_i} (t-t_i)^3 \tilde{\phi}'''(a, t-\tau) dt = \Delta t_i^3 \tilde{\phi}'(a, t_{i+1} - \tau) - 3 \int_{t_i}^{t-t_i} (t-t_i)^2 \tilde{\phi}''(a, t-\tau) dt =$$

$$= \Delta t_i^3 \tilde{\phi}'(a, t_{i+1} - \tau) - 3[\Delta t_i^2 \tilde{\phi}'(a, t_{i+1} - \tau) - 2\Delta t_i \tilde{\phi}'(a, t_{i+1} - \tau) +$$

$$+ 2 \int_{t_i}^{t-t_i} \tilde{\phi}'(a, t-\tau) dt] \quad (171)$$

Cu aceste calcule relația (168) devine

$$\int_{t_i}^{\tilde{t}} F(t) \tilde{\phi}''(a, t-\tau) dt = \frac{1}{\sqrt{2\pi}} \left\{ C_{1,i} [\tilde{\phi}'(a, t_{i+1} - \tau) - \tilde{\phi}'(a, t_i - \tau)] + \right.$$

$$+ C_{2,i} [\Delta t_i \tilde{\phi}'(a, t_{i+1} - \tau) - \tilde{\phi}'(a, t_{i+1} - \tau) + \tilde{\phi}'(a, t_i - \tau) +$$

$$+ \frac{1}{3} C_{3,i} [\Delta t_i^2 \tilde{\phi}'(a, t_{i+1} - \tau) - 2\Delta t_i \tilde{\phi}'(a, t_{i+1} - \tau) + 2\tilde{\phi}'(a, t_{i+1} - \tau) - 2\tilde{\phi}'(a, t_i - \tau)] +$$

$$+ \frac{1}{6} C_{4,i} [\Delta t_i^3 \tilde{\phi}'(a, t_{i+1} - \tau) - 3\Delta t_i \tilde{\phi}'(a, t_{i+1} - \tau) + 6\Delta t_i \tilde{\phi}'(a, t_i - \tau) -$$

$$\left. - 6 \int_{t_i}^{t-t_i} \tilde{\phi}'(a, t-\tau) dt] \right\} \quad (172)$$

Deoarece

$$(t-t_i) \tilde{\phi} = (t-\tau) \tilde{\phi} + (t-t_i) \tilde{\phi} \quad (173)$$

rezulta

$$\int_{t_i}^{t-t_i} (t-t_i) \tilde{\phi}(a, t-\tau) dt = (\tau-t_i) \int_{t_i}^{\tilde{t}} \tilde{\phi}(a, t-\tau) dt - \alpha^2 \int_{t_i}^{\tilde{t}} \frac{2(t-\tau)}{2\alpha^2} e^{-\frac{(t-\tau)^2}{2\alpha^2}} dt =$$

$$= \alpha^2 [\tilde{\phi}(a, t_{i+1} - \tau) - \tilde{\phi}(a, t_i - \tau)] + (\tau-t_i) \int_{t_i}^{\tilde{t}} \tilde{\phi}(a, t-\tau) dt \quad (174)$$

Din calculele efectuate rezultă că integralele

$$\int_{f(t)} F(t) \phi''(a, t-\tau) dt \rightarrow \int_{f(t)} F(t) \phi''(a, t-\tau) dt$$

comportă evoluții de funcții și executarea cadraturii

$$J = \int_{f(t)} \tilde{F}(a, t-\tau) dt \quad (175)$$

Să observă că pe această cale se ajunge la utilizarea unei formule de cadratură pentru calculul integralelor. Pe lîngă faptul că se utilizează o formulă de cadratură, relațiile (167) și (174) la care s-a ajuns, sănt relativ dificile de programat deoarece conțin mulți termeni. De aceea am utilizat o cale care folosește numai relații de cadratură.

Pentru aproximarea integralelor am utilizat formula lui Gauss /93/ pag.608, care dă integrala sub următoarea formă:

$$\int_a^b f(x) dx = \frac{b-a}{2} \sum_{i=1}^n c_i f(x_i) \quad (176)$$

$$\text{unde } x_i := \frac{b+a}{2} + \frac{b-a}{2} t_i; \quad i=1, \dots, n$$

$t_i$  - rădăcinile polinoamelor lui Legendre de grad  $n$  pe intervalul  $-1, 1$ . Pentru gradul 4 al polinomului, rădăcinile  $t_i$  și coeficienții  $c_i$  sănt prezentați în tabelul de mai jos (Tabelul 10)

Tabelul 10

i	$t_i$	$c_i$
1; 4	$\pm 0,86113631$	0,34785484
2; 3	$\pm 0,33998104$	0,65214516

iar restul aproximării prin relația 176 este dat de relația

$$Z = \frac{1}{347.1775} \left( \frac{b-a}{2} \right)^9 f^{(9)}(\xi), \quad \xi \in (a, b) \quad (177)$$

Pe baza relației (176) s-a realizat un program cuprins în anexa 7 pentru calculul coeficientilor  $\alpha$  și  $\beta$ . Limitele de integrare se aleg în cadrul programului conform

criteriilor stabilite prin relațiile (151) pentru limita la stînga și (157) pentru limita la dreapta. Prima parte a programului generează un spectru prin suprapunerea unor gaussiene avînd centrul și amplitudinea stabilite prin datele de intrare. Datele produse prin acest program (tabelul 2 din anexă) servesc la verificarea algoritmului de calcul care trebuie să regăsească pozițiile și amplitudinile picurilor primare din care s-a generat spectrul cu programul anterior. În programul realizat s-au introdus limitări la calculul integralelor pentru a evita depășirea capacitatei registrelor.

Condiția care se impune este de forma:

$$e^{\frac{t^2}{2a^2}} < \frac{0,4 A_j}{\varepsilon} \quad (178)$$

în care  $A_j$  = amplitudinea unei gaussiene  $\varepsilon$  este o valoare mică iar  $a$  este parametrul gaussienei.

Condiția (178) se poate scrie sub forma:

$$|t_i - t_0| < \sqrt{2} a \left[ \ln \left( \frac{0,4 A_j}{\varepsilon} \right) \right]^{1/2}$$

$$\varepsilon = 10^{-8} \quad (179)$$

ca urmare la evaluarea integralelor care determină parametrii  $\alpha$  și  $\beta$  se iau numai valorile pînă la rangul  $j$  pentru care sunt îndeplinite condițiile (179).

Programul reține din totalitatea coeficientilor calculați, numai cei de interes, adică aceia în care trece din minus în plus, semnalînd prezența unui pic. Rezultatele obținute comparativ cu cele reale sunt arătate în tabelul de mai jos pentru două valori ale parametrului  $a$  al curbei gaussiene. (Tabelul 11).

Tabelul 11

real	calculat $a=1,5$	calculat $a=1,7$
10,3	9,81759	9,75
15,4	15,35	15,4
20	20,2	20,1
24,95	25,53	25,5

Odată precizată poziția picurilor în punctele calculate se poate deduce și aria picurilor calculând valoarea coeficientului  $\zeta$ , valoare care în cazul picurilor singulare este corectă. În cazul suprapunerii picurilor alăturate este necesară efectuarea unor corecții pentru determinarea amplitudinilor picurilor.

Pentru evaluarea lui  $\alpha$  deci a amplitudinii unui pic în cazul unor suprapunerri relația (134) se poate dezvolta. Se observă că pentru schimbarea de variabilă:

$$t + \tau = t^*$$

numitorul relației (134) devine

$$\int_{-\infty}^{\infty} [\phi'(t^*)]^2 dt^* = 2 \int_0^{\infty} [\phi'(t^*)]^2 dt^* = \\ = \frac{1}{2\pi\alpha^2} \int_0^{\infty} e^{-\frac{t^*^2}{\alpha^2}} dt^*$$

Dar /93/:

$$\int_0^{\infty} e^{-2x^2} dx = \frac{\sqrt{\pi}}{2} ; 2 > 0 \quad (180)$$

și ca atare

$$\frac{1}{2\pi\alpha^2} \int_0^{\infty} e^{-\frac{t^*^2}{\alpha^2}} dt^* = \frac{1}{4\sqrt{\pi}\alpha} \quad (181)$$

Presupunând funcția  $F(t)$  o gaussiană, numărătorul relației (134) va fi de forma

$$\int_{-\infty}^{\infty} \phi(t) \phi'(t+\tau) dt$$

În cazul a două gaussiene translate din definiția curbei gaussiene se poate arăta că:

$$\phi\left(\frac{t+t_1}{\alpha}\right) \phi\left(\frac{t-t_1}{\beta}\right) = \phi\left(\frac{A}{\alpha}\right) \phi\left(\frac{t+B}{\beta}\right) \quad (182)$$

relație în care s-a notat

$$A = \frac{\alpha^2 + t_1^2}{\alpha^2 + b^2} ; \quad B = \frac{(b^2 - \alpha^2)t_1}{\alpha^2 + b^2} ; \quad \frac{t}{C} = \frac{t}{\sqrt{\alpha^2 + b^2}} \quad (183)$$

Din relația (182) rezultă imediat

$$\int_{-\infty}^{+\infty} \phi\left(\frac{t+t_1}{a}\right) \phi\left(\frac{t-t_1}{b}\right) dt = \phi\left(\frac{A}{C}\right) \int_{-\infty}^{+\infty} \phi\left(\frac{t+B}{C}\right) dt = \phi\left(\frac{A}{C}\right) c \int_{-\infty}^{+\infty} \phi(z) dz = c \phi\left(\frac{A}{C}\right) \quad (184)$$

adică

$$\int_{-\infty}^{+\infty} \phi\left(\frac{t+t_1}{a}\right) \phi\left(\frac{t-t_1}{b}\right) dt = \frac{ab}{\sqrt{a^2+b^2}} \phi\left(\frac{2t_1}{\sqrt{a^2+b^2}}\right) \quad (185)$$

In general avem relația:

$$\int_{-\infty}^{+\infty} \phi^{(m)}\left(\frac{t-t_1}{b}\right) \phi^{(m)}\left(\frac{t+t_1}{a}\right) dt = -\frac{a}{b} \int_{-\infty}^{+\infty} \phi^{(m+1)}\left(\frac{t-t_1}{b}\right) \phi^{(m-1)}\left(\frac{t+t_1}{a}\right) dt \quad (186)$$

deoarece:

$$\lim_{t \rightarrow \pm\infty} \phi^{(m)}\left(\frac{t-t_1}{b}\right) \phi^{(m-1)}\left(\frac{t+t_1}{a}\right) = 0 \quad \text{pentru} \\ f \quad a, b, t_1 \in R \\ n, m \in N \quad (187)$$

Derivînd relația (185) rezultă:

$$\int_{-\infty}^{+\infty} \left[ \frac{1}{a} \phi'\left(\frac{t+t_1}{a}\right) \phi\left(\frac{t-t_1}{b}\right) - \frac{1}{b} \phi\left(\frac{t+t_1}{a}\right) \phi'\left(\frac{t-t_1}{b}\right) \right] dt = \frac{2ab}{a^2+b^2} \phi\left(\frac{2t_1}{\sqrt{a^2+b^2}}\right) \quad (188)$$

iar relația (186) devine pentru  $m=1, n=0$

$$\int_{-\infty}^{+\infty} \phi\left(\frac{t+t_1}{a}\right) \phi'\left(\frac{t-t_1}{b}\right) dt = -\frac{ab^2}{a^2+b^2} \phi'\left(\frac{2t_1}{\sqrt{a^2+b^2}}\right) \quad (189)$$

Derivînd relația (193) în raport cu  $t_1$  rezultă

$$\int_{-\infty}^{+\infty} \left[ \frac{1}{a} \phi'\left(\frac{t+t_1}{a}\right) \phi'\left(\frac{t-t_1}{b}\right) - \frac{1}{b} \phi\left(\frac{t+t_1}{a}\right) \phi''\left(\frac{t-t_1}{b}\right) \right] dt = -\frac{2ab}{(a^2+b^2)^{3/2}} \phi''\left(\frac{2t_1}{\sqrt{a^2+b^2}}\right) \quad (190)$$

dar:

- 113 -

$$\int_{-\infty}^{\infty} \phi\left(\frac{t-t_1}{a}\right) f\left(\frac{t-t_1}{b}\right) dt = \frac{a}{b} \int_{-\infty}^{\infty} \phi\left(\frac{t-t_1}{a}\right) f'\left(\frac{t-t_1}{b}\right) dt \quad (191)$$

și prin urmare rezultă

$$\int_{-\infty}^{\infty} \phi\left(\frac{t-t_1}{a}\right) f'\left(\frac{t-t_1}{b}\right) dt = \frac{a^4}{(a^2 + b^2)^{3/2}} \phi''\left(\frac{2t_1}{\sqrt{a^2 + b^2}}\right) \quad (191')$$

$$\text{și } \alpha = 2\sqrt{\pi} a^2 \phi''\left(\frac{2t_1}{\sqrt{a^2 + b^2}}\right) \quad (192)$$

Funcția  $\phi''(x)$  poate fi tabelată în funcție de argumentul  $x/a$ . Pentru  $a=1$  funcția gaussiană are forma

$$\phi = \frac{1}{\sqrt{2\pi}} e^{-\frac{x^2}{2}}$$

iar valorile derivatei de ordinul doi sunt date în tabelul de mai jos (Tabelul 12).

Tabelul 12

$x$	0	0,2	0,4	0,6	0,8	1	1,2	1,4
$\phi''(x)$	-0,399	-0,375	-0,309	-0,213	-0,104	0	0,085	0,144
$x$	1,6	1,8	2	2,2	2,4	2,6	2,8	3
$\phi''(x)$	0,173	0,177	0,162	0,136	0,107	0,078	0,054	0,035
$x$	3,2	3,4	3,6	3,8	4	4,2	4,4	.
$\phi''(x)$	0,022	0,013	0,007	0,004	0,002	0,00098	0,00046	
$x$	4,6	4,8	5					
$\phi''(x)$	0,0002	0,00009	0,00004					

Tinând cont de valoarea parametrului  $a$  al gaussianei și de faptul că valoarea argumentului funcției conform relației (192) este

$$x = \frac{2t_1}{\sqrt{a^2 + b^2}} \sqrt{2} \quad (193)$$

se pot calcula coeficienții  $\alpha$  cunoscind distanțele dintre picuri  $\Delta t$  (după determinarea în prealabil a coeficientului  $\alpha$ ). Dacă avem două picuri alăturate valoarea funcției  $F(t)$  fiind în punctele unde am determinat existența picurilor  $f_1(t)$  și  $f_2(t)$  iar  $A_1$  și  $A_2$  amplitudinile gaussienelor care reprezintă picul respectiv se pot scrie relațiile

$$\begin{aligned} f_1(t) &= A_1 + \alpha_{21} A_2 \\ f_2(t) &= A_2 + \alpha_{12} A_1 \end{aligned} \quad (194)$$

In aceste relații  $\alpha_{21}, \alpha_{12}$  se calculează cu relație (192). Corecțiile exprimate prin relațiile (194) se pot generaliza pentru 3 sau mai multe picuri alăturate și suprapuse parțial. Prin rezolvarea sistemului (194) rezultă

$$\begin{aligned} A_1 &= \frac{f_1(t) - \alpha_{21} f_2(t)}{1 - \alpha_{12} \alpha_{21}} \\ A_2 &= \frac{f_2(t) - \alpha_{12} f_1(t)}{1 - \alpha_{21} \alpha_{12}} \end{aligned} \quad (195)$$

Efectuând calculele pentru datele cuprinse în anexa se obțin rezultatele din tabelul de mai jos (Tabelul 13)

Tabelul 13

	Amplitudinea reală pt.a = 1,5	Amplitudinea pt.a = 1,7
200	188,3	186,2
400	398,7	399,1
280	278,5	279,3
120	114,2	114,5

Se observă că precizia de determinare a amplitudinii este bună având în vedere că în prelucrarea spectrului de masă are importanță raportul amplitudinilor. În cazul cînd picurile sănt de amplitudini apropiate eroarea scade. De asemenea în cazul cînd avem numai 2 picuri suprapuse precizia de determinare crește.

In cazul unui spectru de masă eșantionat pentru

pentru efectuarea calculelor conform metodei descrise este necesară determinarea parametrilor curbei gaussiane generată de spectrometru. Pentru a efectua această determinare în cazul unui pic (singular) dat sub formă unor valori discrete  $(t_i, F_i), i=1, N$  notăm

$$G_i = \ln F_i \quad (196)$$

Presupunând gaussiana de formă

$$\phi(t) = A e^{-B(t-t_0)^2} \quad (197)$$

Condiția care se impune pentru determinarea parametrilor

A și B este de formă:

$$F = \sum_{i=1}^N [\ln A - B(t_i - t_0)^2 - G_i]^2 = \text{minim} \quad (198)$$

Din această condiție rezultă:

$$\begin{aligned} \frac{1}{2} \frac{\partial F}{\partial A} &= \frac{1}{A} \sum_{i=1}^N [\ln A - B(t_i - t_0)^2] = 0 \\ -\frac{1}{2} \frac{\partial F}{\partial B} &= \sum_{i=1}^N [\ln A - B(t_i - t_0)^2 - G_i] (t_i - t_0)^2 = 0 \end{aligned} \quad (199)$$

sau

$$\begin{aligned} N \ln A - B \sum_{i=1}^N (t_i - t_0)^2 &= \sum_{i=1}^N G_i \\ \sum_{i=1}^N (t_i - t_0)^2 \ln A - \sum_{i=1}^N (t_i - t_0)^4 B &= \sum_{i=1}^N G_i (t_i - t_0)^2 \end{aligned} \quad (200)$$

Notând:

$$\begin{aligned} S_1 &= \sum_{i=1}^N (t_i - t_0)^2; \quad S_2 = \sum_{i=1}^N G_i; \quad S_3 = \sum_{i=1}^N (t_i - t_0)^4 \\ S_4 &= \sum_{i=1}^N G_i \cdot (t_i - t_0)^2 \end{aligned}$$

(201)

rezultă

$$\begin{aligned} N \ln A - S_1 B &= S_2 \\ S_1 \ln A - S_3 B &= S_4 \end{aligned} \quad (202)$$

Prin rezolvarea sistemului (202) se obține

$$\begin{aligned} \ln A &= \frac{S_2 S_3 - S_1 S_4}{N S_3 - S_1^2} \\ B &= \frac{S_1 S_2 - N S_4}{N S_3 - S_1^2} \end{aligned} \quad (203)$$

Odată determinat A și B ținând cont de reprezentarea standard a curbei gaussiene /94/ parametrul a este dat de relația

$$a = (2B)^{\frac{1}{2}} \quad (204)$$

Pe baza acestor relații s-a realizat programul din anexa 8, care determină parametrii gaussienei cînd aceasta este dată sub formă tabelată.

Pentru cazul cînd datele inițiale trebuie netezite și îndesate am realizat programul cuprins în anexa 9, program care se bazează pe utilizarea unor funcții "spline" (spline sub tensiune) /92/.

Algoritmii de calcul prezentați permit creșterea rezoluției unui spectrometru prin separarea picurilor suprapuse. Metoda are importanță deosebită în cazul spectrelor de masă obținute din spațiul cosmic, cînd se cere o sensibilitate mare și ca atare rezoluția este mai mică. și nu există altă posibilitate de creștere a rezoluției.

## Capitolul 4

### METODE HEURISTICE UTILIZATE LA PRELUCRAREA DATELOR DIN SPECTROMETRIA DE MASĂ

#### 4.1. Formularea problemei

Analiza calitativă a probelor, cu ajutorul spectrometrelor de masă, presupune determinarea cât mai precisă a masei constituenților acestor probe și a formulei chimice brute corespunzătoare lor. Spectrometrele de masă pot determina cu o precizie ridicată /24/, masa specifică a ionilor corespunzători constituenților probei, din care se poate deduce ușor masa lor. Pentru determinarea formulei chimice brute, deci a speciilor atomice care intră în compoziția respectivului component al probei, se poate formula următoarea condiție:

$$\left| \sum_{i=1}^n x_i m_i - M \right| < \varepsilon \quad (205)$$

în care  $m_i$  sunt masele atomice care intră în compoziția moleculei respective, iar  $x_i$  este numărul de atomi din specia atomică  $m_i$ ,  $\varepsilon$  este eroarea de determinare a maselor cu ajutorul spectrometrului. De exemplu moleculea  $\text{CH}_2\text{N}$  are masa  $M = 28,018723$  u.a.m. (unități atomice de masă). Această masă se obține din masa unui atom de carbon ( $m_1 = 12$  u.a.m.) de două ori masa atomului de hidrogen ( $m_2 = 1,007852$ ) și o dată masa atomului de azot ( $m_3 = 14,003074$  u.a.m.), deci  $x_1 = 1$ ,  $x_2 = 2$ ,  $x_3 = 1$ . Există însă și alte combinații care dă mase apropiate de 28 u.a.m.;  $\text{C}_2\text{H}_4 = 28,031299$  u.a.m.

Să observă că problema determinării formulei chimice brute constă în a determina combinațiile de elemente care satisfac pentru un  $\varepsilon$  cât mai mic inegalitatea (205).

Deseori există mai multe combinații posibile care satisfac condiția (205) mai ales că  $\varepsilon$  nu poate fi făcut oricăr de mic, fiind condiționat de precizia cu care lucrează spectrometrul (în mod obișnuit  $\varepsilon = 10^{-3}$ ).

Un criteriu de reducere a combinațiilor posibile este dat de utilizarea legilor de valență din chimie, care pot fi formulate astfel:

$$x_i d_{ij} \leq b_j \quad (206)$$

în care  $d_{ij}$  și  $b_j$  sunt coeficienți care depind de elementele chimice luate în discuție.

In cadrul unui congres de aplicații ale calculatoarelor în spectrometria de masă, a fost prezentată o metodă de rezolvare a problemei expuse mai sus /38/. Algoritmul descris în această lucrare are dezavantajul că necesită un volum mare de memorie și se efectuează multe calcule pentru a obține toate soluțiile posibile.

In laboratoarele de cercetare se folosesc tabele cu combinații chimice posibile pentru o masă dată, dar aceste tabele sunt limitate (cuprind cel mult 5 elemente) și sunt greu de utilizat.

Vom prezenta în continuare cîțiva algoritmi noi care au permis rezolvarea mai avantajoasă decît problema expusă. Algoritmi au fost concepuți și testați în cadrul ITIM Cluj-Napoca /19,39/. Treptat am ajuns la simplificarea acestor algoritmi, astfel încât în final am realizat un program care ocupă o capacitate de memorie sub 1 kocet pe sistemul de calcul realizat cu microprocesorul 8080.

Inegalitatea (205) se poate împărti în două relații mai simple. Astfel masa  $M$  se poate descompune conform relației:

$$M = A + \Delta \quad (207)$$

unde  $A \in N$ ;  $N$  - numerele întregi naturale

$\Delta \in R$ ;  $R$  - numerele reale

și prin urmare masa unui element chimic se poate scrie sub forma

$$m_i = a_i + \delta_i \quad (208)$$

unde  $a_i \in \mathbb{N}$  și  $R$

Inseamnă că avem de rezolvat o ecuație de forma

$$\sum_{i=1}^n a_i x_i = R \quad (209)$$

iar soluțiile acestei ecuații trebuie să satisfacă inegalitatea

$$\left| \sum_{i=1}^n x_i a_i - R \right| < \varepsilon \quad (210)$$

#### 4.2. Algoritmi pentru determinarea formulei chimice brute

##### 4.2.1 Algoritm care utilizează parametri auxiliari

Fără de metoda prezentată în lucrarea /38/ acest algoritm necesită un volum de memorie mult mai redus dar are dezavantajul că poate fi utilizat luând în considerare cel mult 10 elemente fără a complica mult programul /39/. De cele mai multe ori sunt suficiente zece elemente deoarece substanțe (molecule) care înglobează mai mult de zece elemente se întâlnesc rar în Elementele luate în considerare ca fiind cel mai frecvent întâlnite sunt: H, C, O, F, S, Cl, Br, I, masele lor atomice fiind date în tabelul din anexă.

Pentru rezolvarea ecuației (209) se ordonează descrescător termenii  $a_i$  și se introduce un parametru auxiliar  $S_i$ . Soluțiile se vor obține din sistemul de ecuații:

$$\begin{aligned}
 x_{10} &= [R/127] - S_{10} \\
 x_9 &= [R/79] - S_9 - x_{10} \\
 x_8 &= [R/35] - S_8 - 3x_{10} - 2x_9 \\
 x_7 &= [R/32] - S_7 - 4x_{10} - 2x_9 - x_8 \\
 x_6 &= [R/19] - S_6 - 6x_{10} - 4x_9 - x_8 - x_7 \\
 x_5 &= [R/16] - S_5 - 7x_{10} - 4x_9 - 2x_8 - 2x_7 - x_6 \\
 x_4 &= [R/14] - S_4 - 9x_{10} - 5x_9 - 2x_8 - 2x_7 - x_6 - x_5 \\
 x_3 &= [R/13] - S_3 - 9x_{10} - 6x_9 - 2x_8 - 2x_7 - 2x_6 - x_5 - x_4 \\
 x_2 &= [R/12] - S_2 - 10x_{10} - 6x_9 - 2x_8 - 2x_7 - x_6 - x_5 - x_4 - x_3 \\
 x_1 &= [R/1] - a_1 x_1 - a_2 x_2 - \dots - a_9 x_9 - a_{10} x_{10}
 \end{aligned} \quad (211)$$

sistem în care prin paranteze drepte s-a notat partea întreagă a numărului. Numerele 127, 79, 35, 32, 19, 16, 14, 13, 12, 1 reprezintă partea întreagă din suma elementelor luate în discuție (anexa 6).

Parametrii auxiliari S îndeplinesc condițiile:

$$\begin{aligned}
 0 \leq s_{10} &\leq [A/127] \\
 0 \leq s_9 &\leq [A/79] \quad -x_{10} \\
 0 \leq s_8 &\leq [A/35] \quad -3x_{10}-2x_9 \\
 0 \leq s_7 &\leq [A/32] \quad -4x_{10}-2x_9-x_8 \\
 0 \leq s_6 &\leq [A/19] \quad -6x_{10}-4x_9-x_8-x_7 \\
 0 \leq s_5 &\leq [A/16] \quad -7x_{10}-4x_9-2x_8-2x_7-x_6 \\
 0 \leq s_4 &\leq [A/14] \quad -9x_{10}-5x_9-2x_8-2x_7-x_6-x_5 \\
 0 \leq s_3 &\leq [A/13] \quad -9x_{10}-6x_9-2x_8-2x_7-x_6-x_5-x_4 \\
 0 \leq s_2 &\leq [A/12] \quad -10x_{10}-6x_9-2x_8-2x_7-x_6-x_5-x_4-x_3
 \end{aligned} \tag{212}$$

Pe baza relațiilor 211 și 212 rezultă schema logică de calcul din fig.38 ..

#### 4.2.2. Algoritm care utilizează un tablou auxiliar

Această metodă se bazează pe observația că valoarea pe care o poate lua  $x_i$  trebuie să îndeplinească condiția:

$$0 \leq x_i \leq [M/m_i] \tag{213}$$

pentru  $i=1, \dots, n$

Inseamnă că sistemul care trebuie să-l rezolvăm poate fi scris sub forma:

$$\left| \sum_{i=1}^n x_i m_i - M \right| < \varepsilon \tag{214}$$

$$0 \leq x_i \leq [M/m_i] = a_i$$

pentru  $i=1, \dots, n$ . Considerînd relațiile (207) și (208) rezultă sistemul

$$\begin{aligned}
 \sum_{i=1}^n x_i a_i &= A \\
 \left| \sum_{i=1}^n x_i d_i - \Delta \right| &< \varepsilon \\
 0 \leq x_i &\leq [M/a_i] = d_i
 \end{aligned} \tag{215}$$

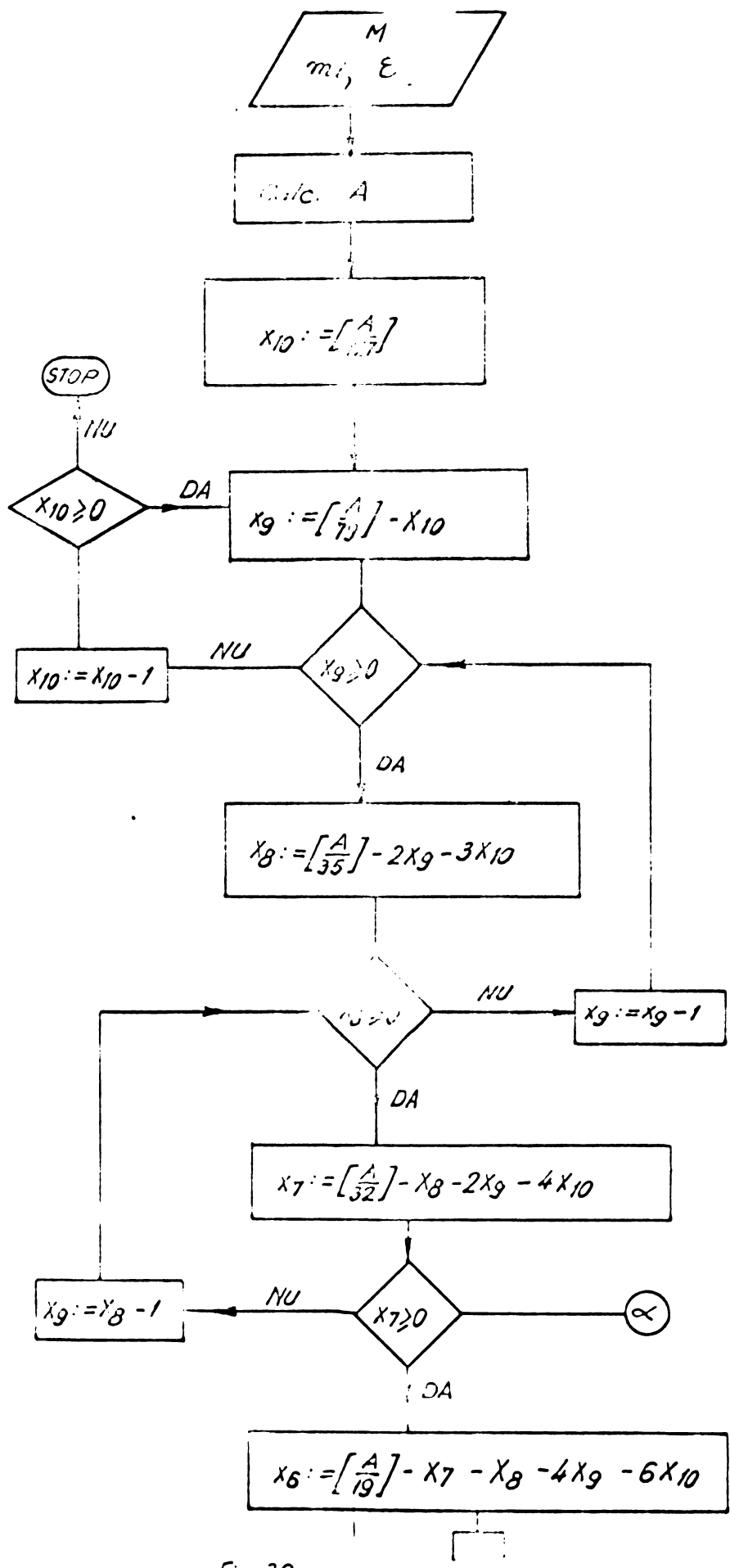
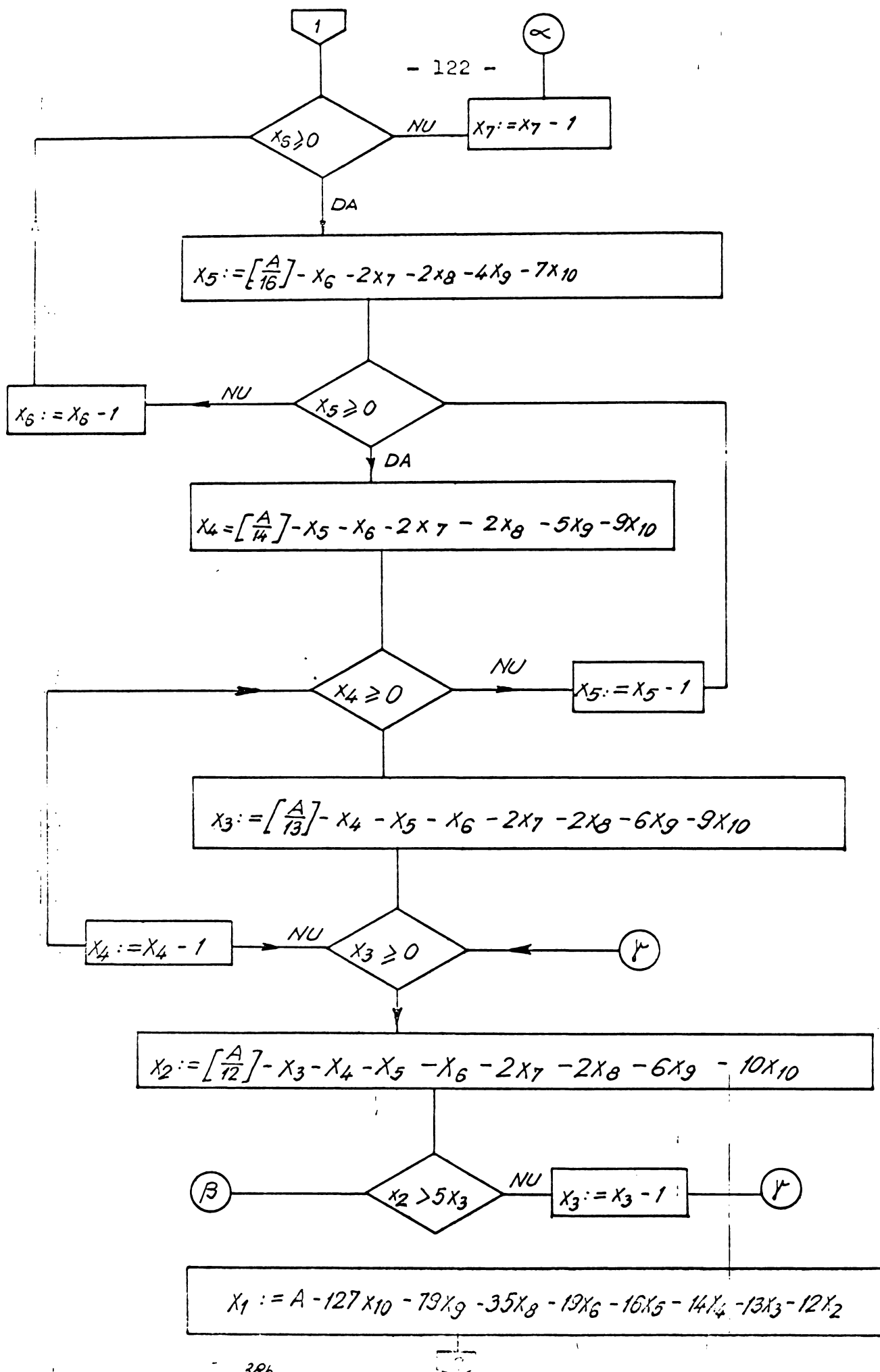


Fig. 38a



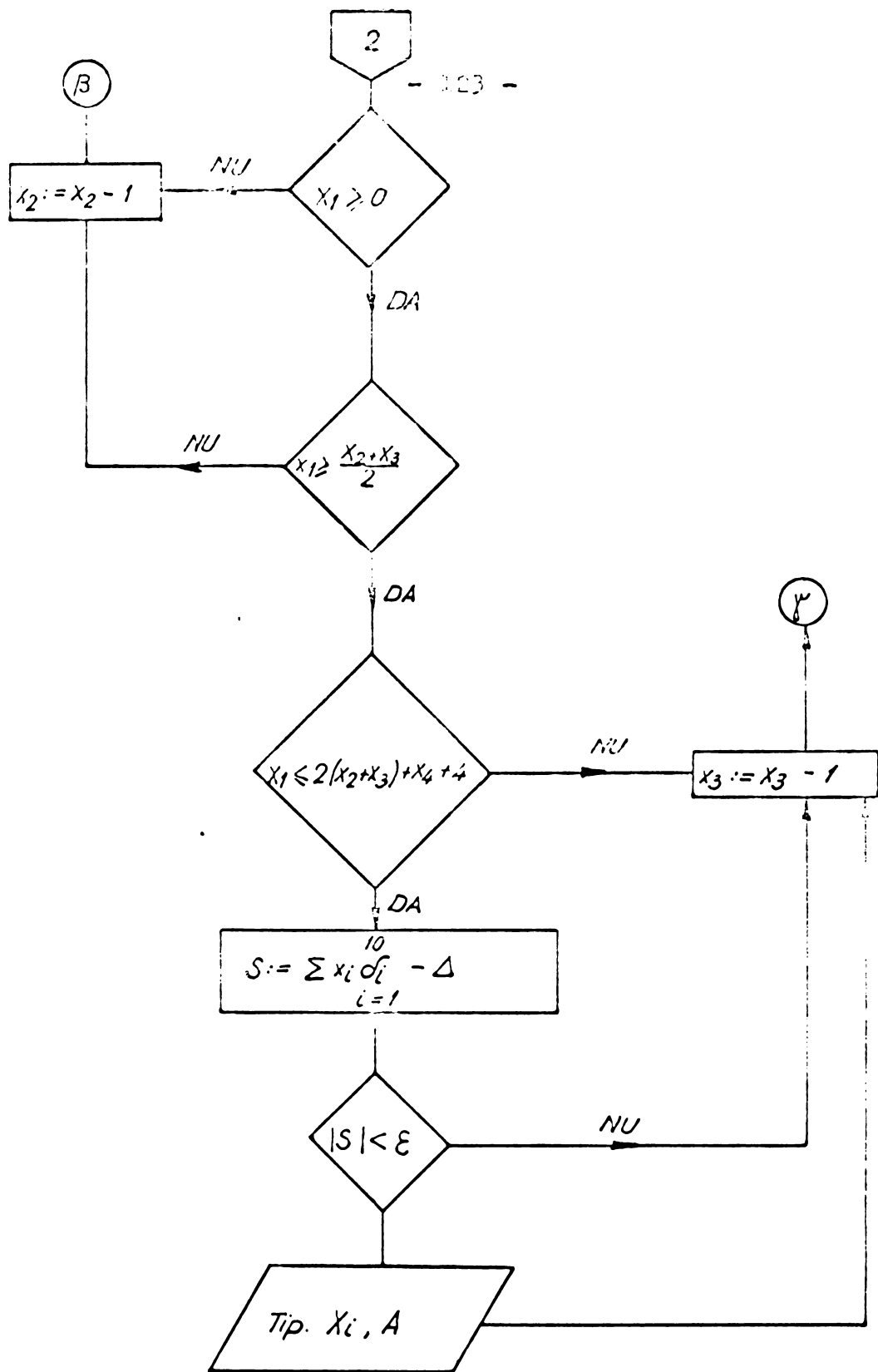


Fig. 38c. Schema logică de calcul pentru metoda parametrilor  $S$ .

Faptul că  $0 \leq x_i \leq d_i$  a sugerat ideea că soluțiile sistemului de mai sus se găsesc printre elementele tabloului  $T(x_1, x_2, x_3, \dots, x_n)$  unde  $0 \leq x_i \leq d_i$  pentru  $i=1, \dots, n$ . Scriind dezvoltat acest tablou rezultă:

$0,0,\dots,0$	$1,0,0,\dots,0$	$2,0,0,\dots,0$	$\dots$	$d_1,0,0,\dots,0$
$0,1,0,\dots,0$	$1,1,0,\dots,0$	$2,1,0,\dots,0$	$\dots$	$d_1,1,0,\dots,0$
$0,2,0,\dots,0$	$1,2,0,\dots,0$	$2,2,0,\dots,0$	$\dots$	$d_1,2,0,\dots,0$
$\dots\dots\dots$	$\dots\dots\dots$	$\dots\dots\dots$	$\dots$	$\dots\dots\dots$
$0,d_2,0,\dots,0$	$1,d_2,0,\dots,0$	$2,d_2,0,\dots,0$	$\dots$	$d_1,d_2,\dots,0$
$0,0,1,\dots,0$	$1,0,1,\dots,0$	$2,0,1,\dots,0$	$\dots$	$d_1,0,1,\dots,0$
$\dots\dots\dots$	$\dots\dots\dots$	$\dots\dots\dots$	$\dots$	$\dots\dots\dots$
$0,d_2,\dots,d_n$	$1,d_2,\dots,d_n$	$2,d_2,\dots,d_n$	$\dots$	$d_1,d_2,\dots,d_n$

Odată construit acest tablou rezultă un algoritm flexibil, adică un algoritm valabil pentru orice elemente dorim cu condiția să nu se depășească capacitatea memoriei.

Pentru a găsi soluțiile problemei din acest tablou, se pornește pe linie și se cercetează care dintre elementele liniei verifică condițiile problemei. Chiar dacă nu s-a ajuns la capătul liniei, atunci cînd este îndeplinită condiția

$$M < \sum_{i=1}^n x_i m_i \quad (216)$$

vom trece pe linia următoare. Pe linia următoare se trece și atunci cînd s-a găsit o soluție a problemei. În fig.39 este prezentată schema logică după care se face căutarea soluțiilor în tabloul odată construit,  $p$  fiind numărul liniei și  $k$  numărul coloanei.

Pentru ca algoritmul să poată fi urmărit vom particulariza pentru următoarea ecuație

$$3x_1 + 4x_2 + 9x_3 = 16 \quad (217)$$

Tabloul va fi

000	100	200	300	400	500
010	110	210	310	410	510
020	120	220	320	420	520
030	130	230	330	430	530
040	140	240	340	440	540
001	101	201	301	401	501
011	111	210	310	411	511
021	121	221	321	421	521
031	131	231	331	431	531

Soluțiile ecuației sunt încadrate în dreptunghiuri.

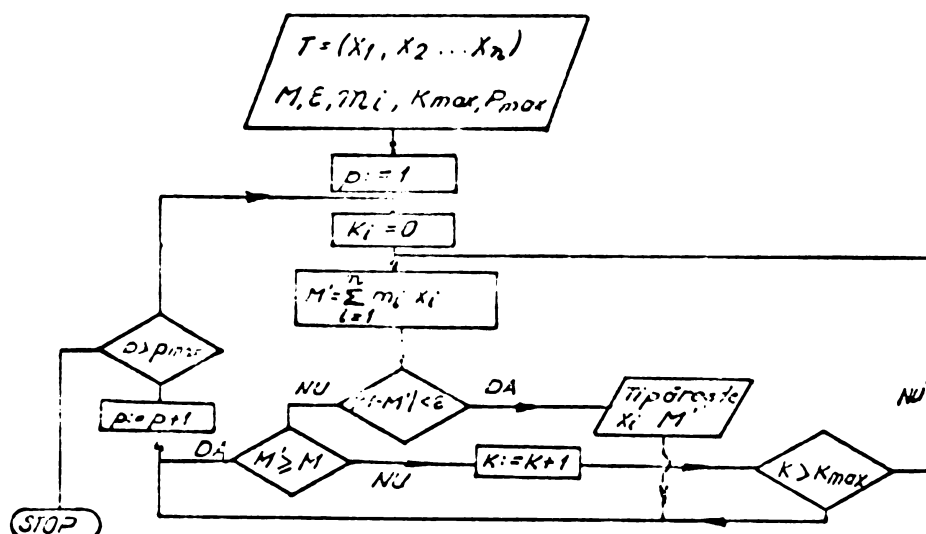


Fig. 59. Schema logică de căutare a soluțiilor din tabelou.

#### 4.2.3. Algoritm care pornește de la o soluție particulară

Dacă se cunoaște o soluție particulară a ecuației atunci este posibilă ca pornind de la această soluție să se determine toate soluțiile întregi nenegative cu algoritmul de calcul prezentat în figura 40.

Pentru găsirea unei soluții de bază există metode matematice /39/ dar în cazul nostru dacă se consideră că hidrogenul participă întotdeauna la formarea moleculei, lucrurile

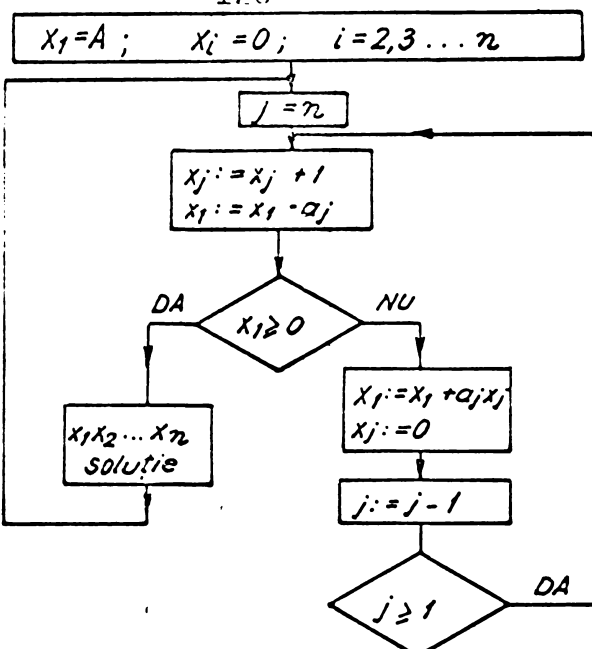


Fig.40 . Algoritm de calcul pornind de la o soluție de bază.

se simplifică deoarece în acest caz o soluție particulară a ecuației (209) este:

$$x_1 = A ; x_i = 0 \text{ pentru } i=2,3,\dots,n \quad (218)$$

Algoritmii de calcul prezențați au fost testați prin realizarea unor programe de calcul pe un minicalculator Hewlett-Packard 9100 B. Pentru a implementa un program de calcul pe calculatorul realizat pe baza microprocesorului 8080 am conceput un algoritm care pornește tot de la o soluție banală și permite rezolvarea ecuației efectuând un număr minim de operații.

Pentru a ilustra ideile care stau la baza acestui algoritm vom da un exemplu.

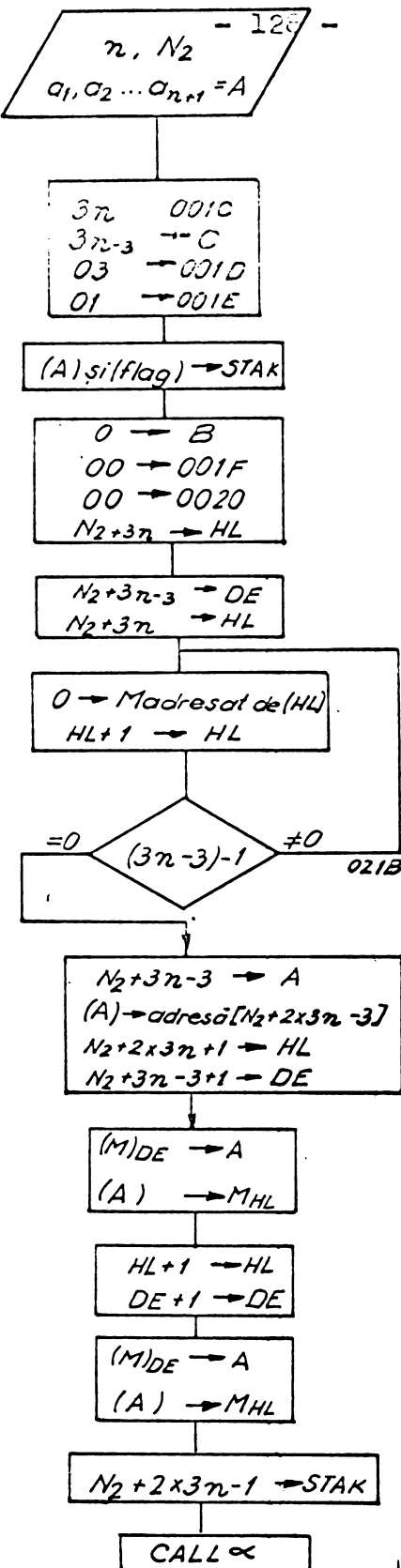
Presupunem că la formarea moleculei contribuie 5 elemente având partea întreagă a maselor atomice  $a_1=1$ ;  $a_2=12$ ;  $a_3=13$ ;  $a_4=20$ ;  $a_5=35$ , iar partea întreagă a masei moleculare este  $A=60$ . În acest caz soluția banală a ecuației este  $x_1=60$ ;  $x_2=0$ ;  $x_3=0$ ;  $x_4=0$ ;  $x_5=0$ . Pornind de la această soluție dacă se efectuează operația  $A-a_2=60-12=48$  rezultă soluția  $x_1=48$ ;  $x_2=1$ ;  $x_3=0$ ;  $x_4=0$ ;  $x_5=0$ . În mod asemănător din aproape

în aproape se pot deduce și celelalte soluții conform tabelului 14.

Tabelul 14

$S_x$	$x_5$	$x_4$	$x_3$	$x_2$	$x_1$	$S_x$	$x_5$	$x_4$	$x_3$	$x_2$	$x_1$
$S_0$	0	0	0	0	60	$S_{34}$	0	2	0	1	8
$S_1$	0	0	0	1	48	$S_{35}$	0	1	0	2	16
$S_2$	0	0	0	2	36	$S_{36}$	0	1	0	3	4
$S_3$	0	0	0	3	24	$S_{37}$	0	1	1	0	27
$S_4$	0	0	0	4	12	$S_{38}$	0	2	1	0	7
$S_5$	0	0	0	5	0	$S_{39}$	0	1	2	0	14
$S_{10}$	0	0	1	0	47	$S_{310}$	0	1	3	0	1
$S_{11}$	0	0	2	0	34	$S_{311}$	0	1	1	1	15
$S_{12}$	0	0	3	0	21	$S_{312}$	0	1	2	1	00
$S_{14}$	0	0	4	0	8	$S_{313}$	0	1	1	2	3
$S_{20}$	0	0	1	1	35	$S_{40}$	1	0	0	0	25
$S_{21}$	0	0	2	1	22	$S_{41}$	1	0	0	1	13
$S_{22}$	0	0	3	1	9	$S_{42}$	1	0	0	2	1
$S_{23}$	0	0	1	2	23	$S_{43}$	1	0	0	0	12
$S_{24}$	0	0	2	2	10	$S_{44}$	1	0	1	1	0
$S_{25}$	0	0	1	3	11	$S_{45}$	1	1	0	0	5
$S_{30}$	0	1	0	0	40						
$S_{31}$	0	2	0	0	20						
$S_{32}$	0	3	0	0	0						
$S_{33}$	0	1	0	1	28						

Schema logică de calcul care descrie algoritmul pentru obținerea soluțiilor pe calculatorul realizat cu microprocesorul 8080 este prezentată în fig 41. În această schemă cu  $n$  s-a notat numărul de elemente care se iau în considerare și care se depune la adresă fixă (001B în programul din anexa 6), cu  $N_2$  adresa de început a termenului  $a_2$  (memorat pe 3 octeți), cu  $M$  s-a notat adresa de memorie, cu paranteze rotunde conținutul unui registru sau al memoriei, cu  $A$  s-a notat accumulatorul iar cu BC, DE, HL registrelle din unitatea centrală a microprocesorului. Cu aceste notății în schema logică se poate urmări cum se construiesc succesiv soluțiile.



$M_{HL}$  - memoria adresată prin  $(HL)$

$(M)DE$  - continutul memoriei adresată prin  $(DE)$

Fig. 41 a Schema logică pentru determinarea soluțiilor pornind de la soluția banală.

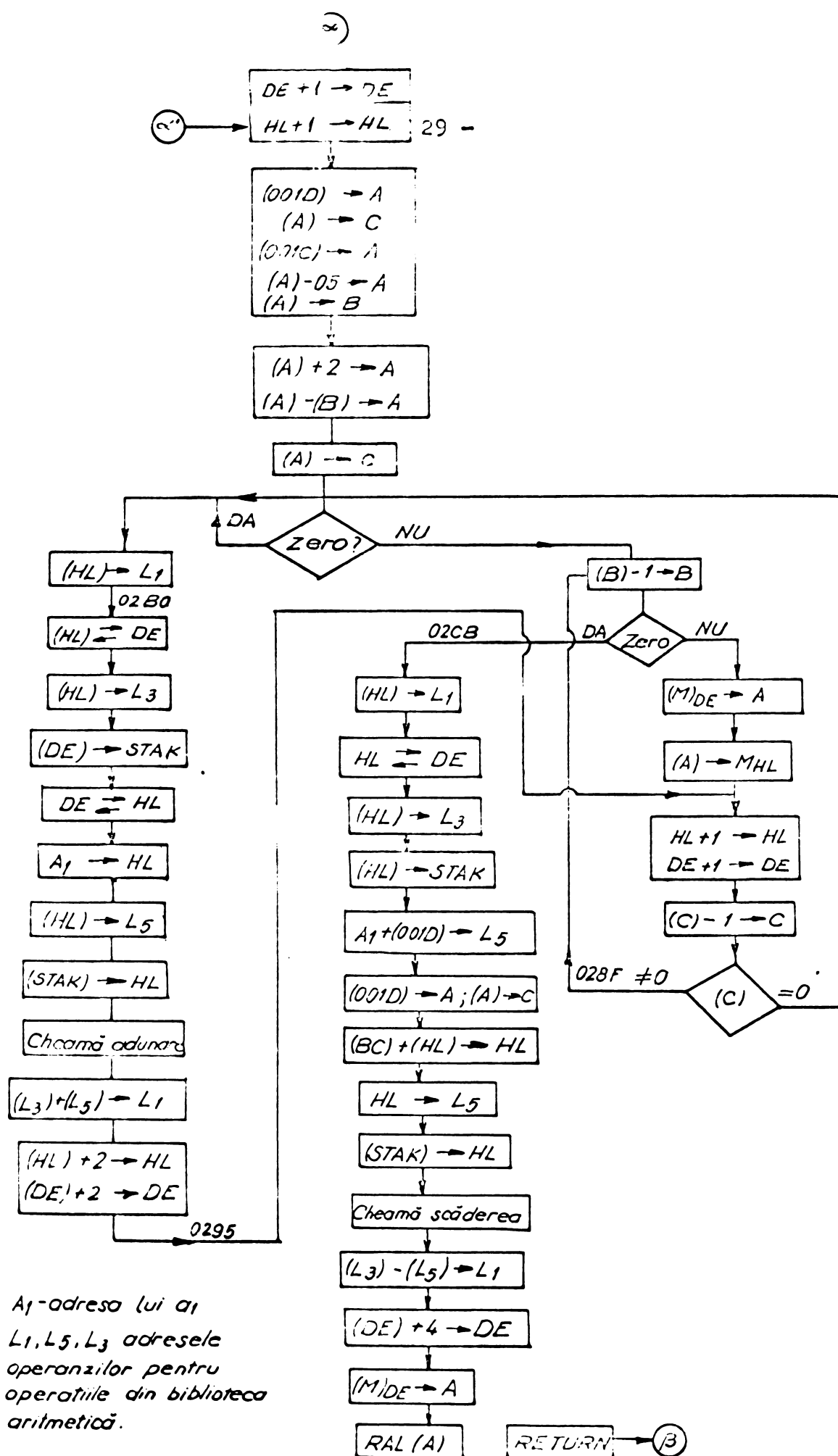


Fig. 41 b

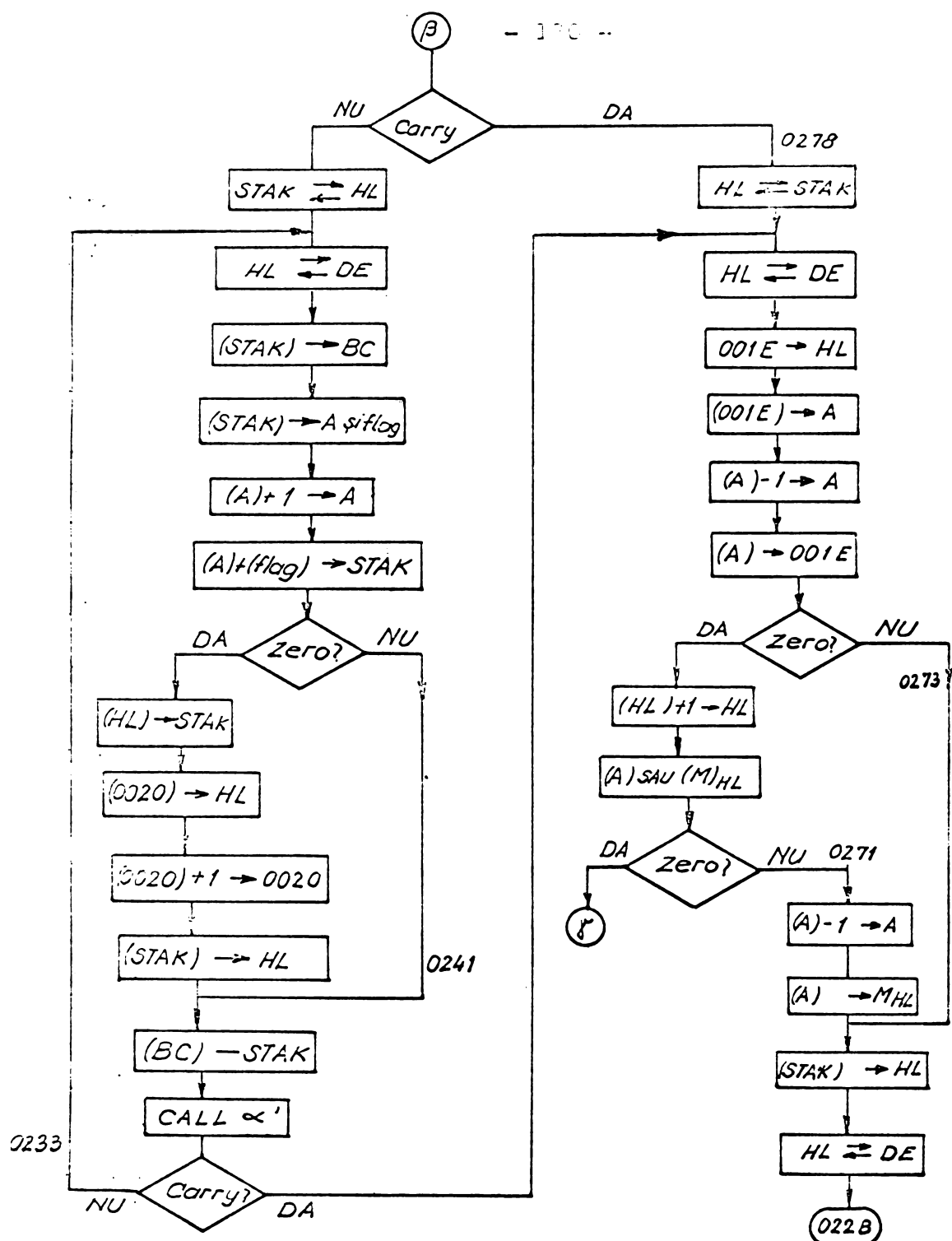


Fig 41c

Astfel partea de schemă logică cuprinsă în fig. 41a descrie modul de formare și înscriere în memorie a soluției banale. Subrutina  $\alpha$  calculează următoarele soluții iar subrutina  $\beta$  reține soluția de la care trebuie să pornească subrutina  $\alpha$  pentru a construi o nouă soluție. Modul de lucru poate fi urmărit în detaliu pe programul din anexă 6.

Programul începe de la adresa hexagesimală 1F8 ocupând 241 de pași (de opteteți). Începând de la adresa hexagesimală 2E9 (ultima adresă a programului) trebuie înscrise în memorie termenii  $a_1, a_2, \dots, a_n, a_n = A$ , în ordine crescătoare cuprinzând fiecare cîte 3 octeți și fiind reprezentăți în sistemul cu virgulă mobilă.

Algoritmul descris permite obținerea soluțiilor ecuației dar aceste soluții mai trebuie să verifice condițiile și condițiile de valență. Considerînd elementele care intră în formula chimică în ordinea creșterii masei atomice H, C, N, F, Si, P, S, Cl, Br, I, condițiile de valență exprimate în cazul general prin relația se pot explicita astfel:

$$\frac{1}{2}(x_2+x_6) < x_1+x_5+x_9+x_{10} < 2(x_2+x_3+x_6+x_7) + 4 \quad (219)$$

$$2(x_2+x_6+1) + x_3+x_7 < x_1+x_5+x_9+x_{10} \quad (220)$$

$$\frac{1}{2} [2(x_2+x_6) + x_3+x_7 - x_1 - x_5 - x_9 - x_{10} + 2] = \text{număr întreg} \quad (221)$$

$$A = \text{număr impar}, \text{atunci și } x_3 = \text{număr impar} \quad (222)$$

Condițiile (221) și (222) sunt valabile numai în cazul cînd M este masa unei molecule și nu a unui fragment de moleculă. Tinînd cont de aceste condiții soluțiile obținute trebuie testate conform ordinogramei de calcul din figura 42. Menționăm că un astfel de program se poate realiza relativ simplu pe baza operațiilor existente în biblioteca aritmetică a calculatorului.

#### 4.3. Compararea algoritmilor de calcul prezentate

Metodele de determinare a formulei chimice brute prezentate au avantaje și dezavantaje în funcție de scopul propus. Astfel dacă dorim să utilizăm cît mai puțină memorie, algoritmul de calcul care pornește de la o soluție de bază este cel mai adecvat, iar dacă se dorește obținerea rezultatului cît mai rapid se poate utiliza metoda parametrilor auxiliari. Programele pentru metoda parametrilor auxiliari sunt însă destul de vaste și rigide și cu cît numărul elementelor chimice crește timpul de rulare al programelor crește exponențial.

Cele mai bune rezultate se obțin folosind metoda care pornește de la o soluție de bază deoarece este suficient de rapidă, este flexibilă și ocupă un volum redus de memorie. Prin introducerea testelor se elimină rapid soluțiile neadevărate.

La valori mari ale masei ( $A$  mare) se iau în discuție mai multe elemente și ca atare există posibilitatea de a rezulta mai multe soluții care satisfac din punct de vedere matematic, relațiile impuse. În acest caz operatorul va alege soluția adecvată. Există și posibilitatea de a identifica soluția reală, calculând distribuția izotopică din formula chimică brătă /68/ pentru masele  $M$ ,  $M+1$ ,  $M+2$  în vecinătatea ionului molecular. Pentru fiecare variantă de formulă chimică rezultă un spectru cu distribuții izotopice și se va alege acea formulă al cărei spectru în portiunea  $M, M+1, M+2$  coincide (în limitele de eroare) cu spectrul măsurat.

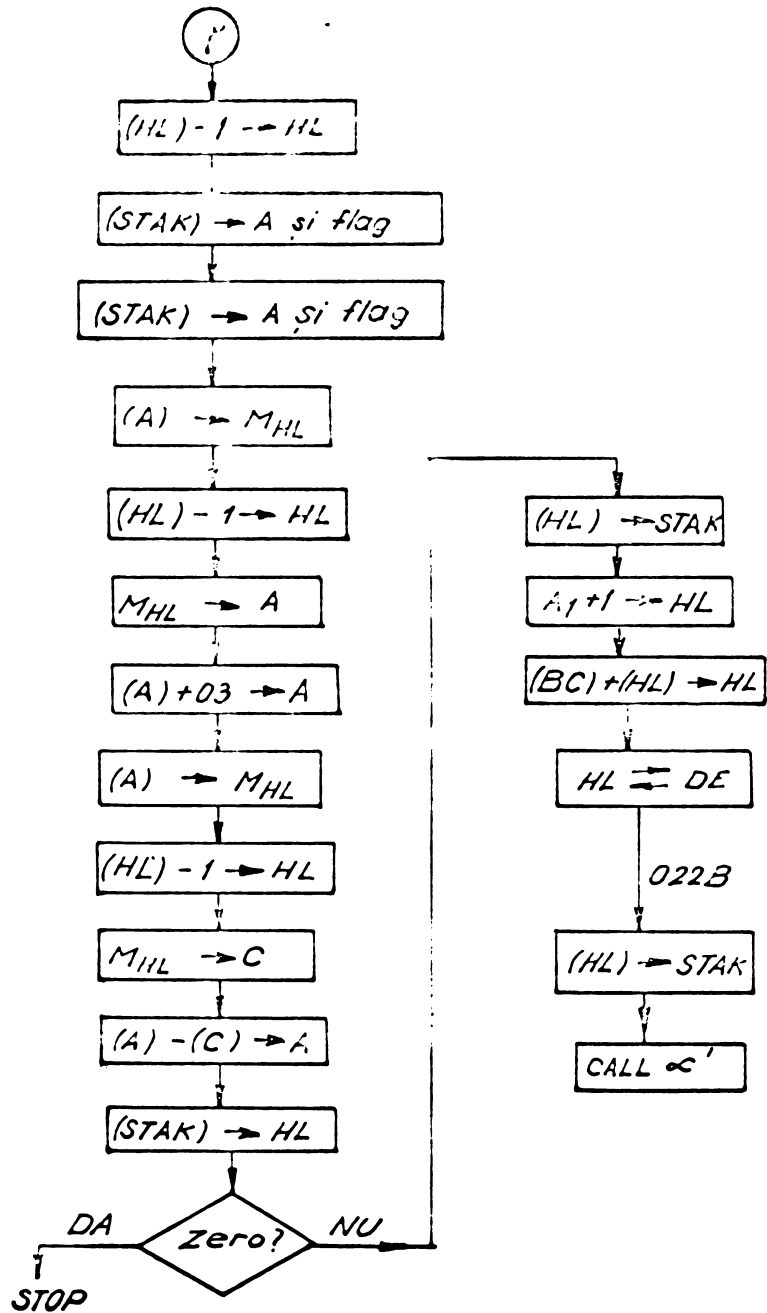
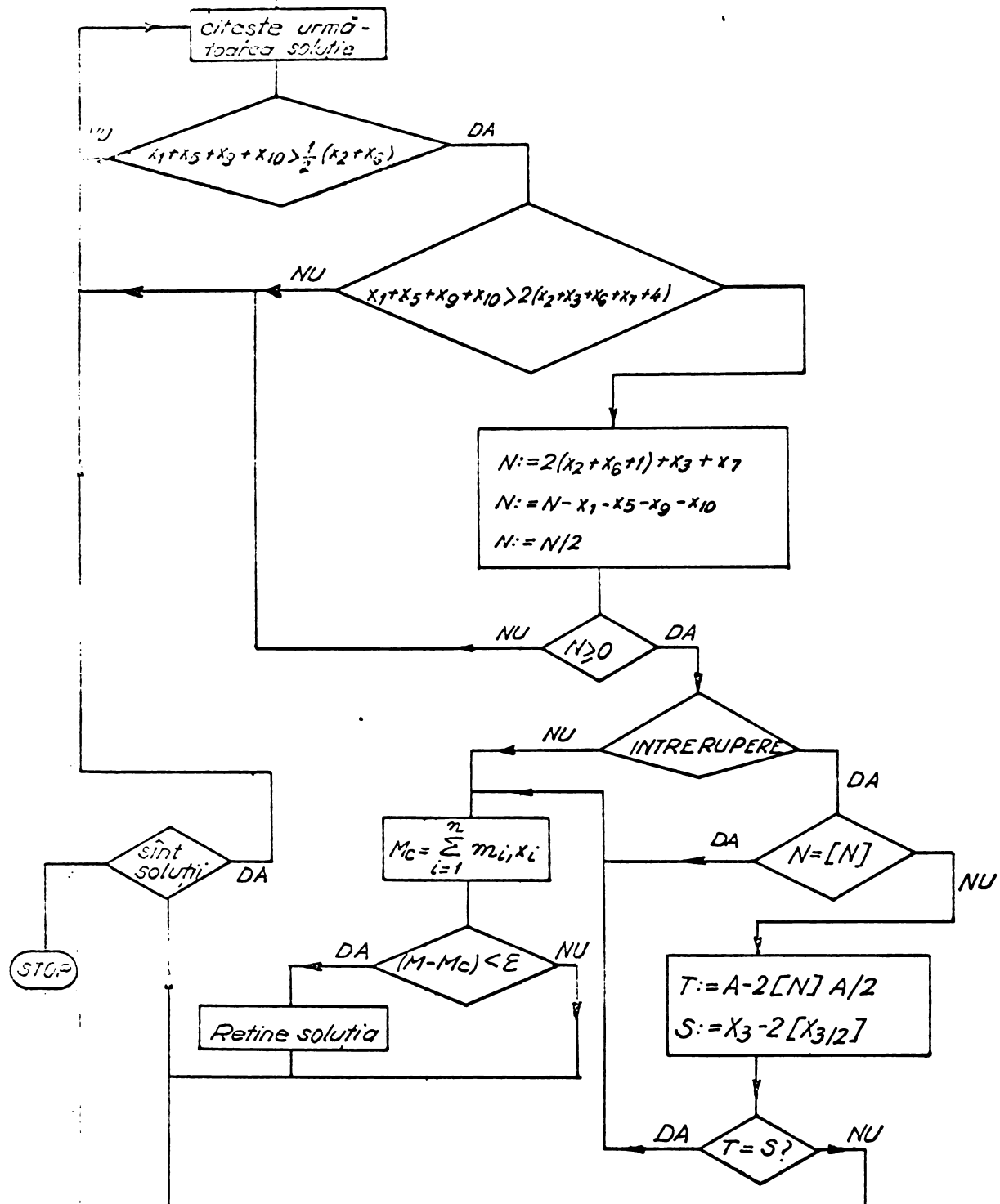


Fig. 41d

$m_i, M, \epsilon$

- 134 -



[ ] - partea întreagă a numărului

Fig. 42

Testarea soluțiilor

## 5. CONCLUZII

Efortul principal al cercetării întreprinse în cadrul acestei lucrări s-a axat pe îmbunătățirea parametrilor unui spectrometru de masă destinat cercetării spațiului cosmic prin utilizarea calculatoarelor electronice. Rezultatele obținute pe parcursul lucrării au permis să se întrevadă și importante aplicații în aparatura de analiză și cercetare științifică terestră, fapt pentru care s-au studiat unele din aceste posibilități.

Pentru atingerea scopului propus autorul a realizat un calculator bazat pe microprocesorul 8080, pe care l-a cuplat cu un spectrometru de masă cuadrupolar destinat cercetărilor spațiului cosmic. Spectrometrul de masă a fost realizat de autor în colaborare și experimentat în cadrul a două lansări pe rachete sovietice în programul INTERCOSMOS. Contribuțiile originale ale autorului, la realizarea spectrometrului de masă au fost: deducerea condițiilor de stabilitate pentru partea de electronică, în cazul unei rezoluții  $R$  impuse aparatului, și realizarea părții de electronică astfel încât să corespundă condițiilor cerute pentru un aparat destinat cercetării spațiului cosmic.

Deoarece informația furnizată de spectrometrul de masă a fost transmisă de pe racheta purtătoare sub formă eșantionată, a fost necesară stabilirea frecvenței optime de eșantionare. Pentru această determinare, autorul propune o metodă de calcul care utilizează datele achiziționate de la spectrometrul de masă cu calculatorul. Metoda este valabilă pentru cazul unui baleaj lent, cînd constantele de timp nu duc la deformarea spectrului de masă. Algoritmul de calcul propus permite evaluarea corectă a frecvenței de eșantionare, fapt verificat de noi, atît experimental, cît și prin comparație cu datele furnizate de literatura de specialitate.

In cazul cuplajului spectrometru de masă - calculator, cu metodele de calcul propuse de autor se pot face cau-

luări ale vitezei cu care trebuie să lucreze sistemul de achiziție în funcție de viteză de baleaj și rezoluția spectrometrului.

Pentru obținerea unei informații calitativ superioare, autorul introduce un criteriu de determinare a constantei de timp amplificatoarelor electrometrice utilizate la spectrometrele de masă. Acest criteriu a permis deducerea unei relații între viteză de baleaj, rezoluția aparatului sub forma lățimii picului și nivelul de zgomot.

Pentru reducerea cantitatii de date fără a diminua calitatea informațiilor obținute de la un spectrometru de masă, autorul prezintă un convertor analog numeric cu un detector analogic al amplitudinii picurilor. Acest sistem se poate utiliza în cazul prelucrării "off line" sau "on-line" a datelor, constituind și o interfață adecvată între spectrometrul de masă și calculator pentru aplicațiile terestre.

Pe calculatorul realizat cu microprocesorul 8080 au fost implementați o serie de algoritmi pentru achiziția și prelucrarea datelor în vederea îmbunătățirii informației furnizate de cuplajul "on line" spectrometru de masă-calculator. Lucrarea prezintă și o analiză teoretică a posibilităților de creștere a preciziei și de îmbunătățire a raportului semnal zgomot în cazul utilizării algoritmilor de achiziție propuși.

În vederea creșterii rezoluției spectrometrului de masă, autorul propune un algoritm de prelucrare pe un calculator de capacitate medie a datelor achiziționate în sistemul de achiziție bazat pe microprocesorul 8080. Algoritmul și programele de calcul au fost testate, evidențiindu-se faptul că ele duc la o îmbunătățire a rezoluției fără a influența alti parametri, cum ar fi sensibilitatea. În tabelul de mai jos sunt prezentate comparativ performanțele unui spectrometru de masă cuplat la un calculator și cele ale unui spectrometru de masă simplu. (Tabelul 15)

Pentru lărgirea domeniului de utilizare a calculatoarelor la spectrometrele de masă terestre, în capitolul 4 sunt prezentate algoritmi noi de prelucrare a informației din acest domeniu. Unul din algoritmii propuși de autor în acest capitol a fost implementat și testat cu rezultate bune pe calcu-

latorul realizat, constituind astfel o aplicație terestră utilă.  
*Tabelul 15*

Parametrul	Spectrometru de masă	Spectrometru-calculator	Observații
Sensibilitatea	S	N S	N-nr.de reluări ale baleiajului.
Rezoluția	R	2 R	R-rezoluția
Nr. de date	Q	Q/20	Q-nr.de puncte
Timp de baleaj	t	t/N	t-durata unui baleaj
Semnal/zgomot	s/z	$\frac{s}{z}$ N	

Biblioteca aritmetică realizată pentru a demonstra corectitudinea algoritmului propus are ca originalitate faptul că utilizează la efectuarea operațiilor registrele microprocesorului 8080 în prelungire. Astfel operațiile se efectuează mai rapid, programele fiind mai scurte decât în cazul efectuării operațiilor prin acumulator.

Prin extinderea utilizării micropresoarelor în aparatura destinată cercetării spațiului cosmic vor crește mult posibilitățile acestei aparaturi, permitând obținerea unor informații noi din acest domeniu.

Lucrarea prezintă constituie un început în această direcție, relevând totodată noi posibilități de utilizare a micropresoarelor în aparatura de analiză și de cercetare științifică terestră.

Pe sistemul de achiziție cu microprocesor realizat au fost testați și algoritmi de prelucrare a datelor furnizate de un spectrometru de masă cu doi colectori, destinat măsurării concentrației de deuteriu din apa grăe. Aparatul este inclus în planul energetic nuclear, înlocuind aparatе similare din import și algoritmi testați constituie o aplicare imediată în apărătura terestră a unora din rezultatele lucrării de față.

Este propusă de asemenea utilizarea unui sistem de achiziție a datelor furnizate de un spectrometru de masă cuadrupolar în cadrul unei instalații de separare a izotopilor cu ajutorul laserului, pentru urmărirea rapidă a evoluției separării prin realizarea baleiajului programat al tipurilor de la masă de interes. Utilizarea micropresoarelor în acest

domeniu, va permite realizarea unor sisteme de comandă și control al instalațiilor de separare, în vederea măririi eficienței procesului de separare.

Rezultatele relevante și aplicațiile amintite, considerăm că justifică efortul depus pentru extinderea utilizării micropresoarelor în aparatura de analiză din fizică și din chimie.

## BIBLIOGRAFIE

1. D.Henneberg, H.Damen and B.Waimann , "Computer aided Automatic Extraction of Relevant Data from Mass Spectra Series", Proceedings of the 7-th Int.Mass Spectrometry Conference - Florence 3 sept.1976.
2. C.Merritt Jr., D.H.Robertson and R.A.Graham, "Elucidation of Functional Groups by Means of Selected Binary Encoded Spectra", Advances in Mass Spectrometry vol.7B - Heyden and son Ltd.London 1978.
3. W.Riepe, H.KÜper and H.Hilling , "Automation of a Mass Spectrometer - Problems and Solutions", Advances in Mass Spectrometry vol.7B- London 1978.
4. V.DaGrangano and J.H.Harris, "Application and Optimization of Hardware/Software considerations for Quantitative Selective Ion Recording", 7-th International Mass Spectrometry Conference - Florence 1976.
5. Isao Nishi, Guchi Tomizawa and Shigeru Sugai, Keny-Sazaki, A Micro-Computer Aided Respiratory Mass Spectrometer with Analogue Computing Circuits", 7-th International Conference - Computer applications in Mass Spectrometry , Florence 1976.
6. James I.Vette, Robert W.Vestreys, Richard Horovitz, "Report on Active and Planned Spacecraft and Experiments" - National Space Science Data Center- SUA aug.1975.
7. "Techniceskie trebovania K naucinoi aparature, ustanavlivaiemoi na vysotnih zondah - VZA". Institutul de Cercetări Cosmice Moscova - 1978.
8. U.Von Zahn, "Space Mass Spectrometry" - Advances in Mass Spectrometry vol.4 1972.
9. Hans Joachim Fischer "Achievements with on-board electronic units for space research and their reliability", Conferință Intercosmos - Secția electronică, construcție de aparatüră - Berlin 1976.
10. N.W.Spencer, "Upper Atmosphere Studies by Mass Spectrom-

- try" NASA/Progress Report - 1978 - Goddard Space Flight Center, Greenbelt, Maryland, USA.
11. D.Krankowsky, P.Lünimerzahl, F.Bonner and H.Wieder "The AEROS Neutral and Ion Mass-Spectrometer" Journal of Geophysics nr.40, vol.611, 1974.
12. H.Trinks and U.Von Zahn, " The ESRO 4 gas analyser " Rev. of scientific instruments" vol.46 nr.2 1975.
13. N.W.Spencer, D.T.Pelz, H.B.Niemann, G.R.Carignan, Jr. Caldwell, "The Neutral Atmosphere Temperature Experiment", J.Geophys.40,613-624, 1974.
14. A.Johannsenn and D.Krankowsky "Pozitive Ion Composition Measurements in the Upper Mesosphere and Lower Thermosphere at High Latitude during Summer", J.of.Geophysical Research, Junie, 1,1972,vol.77,6.
15. G.Toderean, D.Ristoiu, V.Mercea, "Quadrupolar Mass-Spectrometer launched on geophysical rocket Vertical-7" Revue Roumaine de Phys.1979.
16. G.Toderean, "Cuplaj on-line spectrometru de masă-calculator" Simpozionul de informatică Cluj-Napoca, mai 1980.
17. G.Toderean și I.Covaci,"Calculul frecvenței de eșantionare și a vitezei de conversie a unui spectru de masă", Studii și cercetări de fizică tom.29 nr.2 1978.
18. G.Toderean și A.Buza,"Bibliotecă aritmetică în virgulă flotantă pentru sistem de calcul bazat pe microprocesorul 8080" Simpozionul de informatică Cluj-Napoca, 1980.
19. G.Toderean,"Algoritm dlia obrabotka danih polucena ot mass spectrometra", Simpozion prelucrarea datelor în programul Intercosmis - Budapesta 1977.
20. G.Toderean, S.Romanțan și A.Buza,"Prelucrarea datelor de la un spectrometru de masă cu 2 colectori" Conferința anuală de fizică Cluj-Napoca iunie 1980.
21. G.Toderean și Supp O.,"Unitate prelucrare date la spectrometrul de masă cu dublă focalizare.Raport de cercetare științifică la Contractul 776, dec.1979.
22. I.Chereji, G.Toderean, V.Mercea, V.Istomin, " Device for in flight calibration of Mass Spectrometer" - Space Sciente Instrumentation 4 , 1978.

23. G.Todorean, "Condiții de stabilitate la alimentarea unui filtru de masă cuadrupol". Sesiune de comunicări ICCE Timișoara de jos 1975.
24. V.Mercea și colectiv, "Introducere în spectrometria de masă" Ed.Tehnică - București 1978.
25. G.Todorean, "Stabilizarea curentului de emisie la o sursă de ioni cu impact". Studii și cercetări de fizică nr.5, 1980.
26. A.E.Rafelson și A.M.Serelevski "Mass-Spectrometriceskie priborî" - Atomizdat Moscova - 1968.
27. W.E.Reynolds and ol "A computer Opereted Mass Spectrometer System" . Analytical Chemistry vol.42, nr.11.
28. R.Bir "Techniques digitales et traitement de l'information appliques a la spectrometrie de masse" Centre d'Etudes Nucléaires de Saclay - 1970.
29. W.H.Mc Fadden "Techniques of combined gas chromatography/mass spectrometry" p.244 John Wiley and Sons - 1973.
30. G.G.Cameresi et B.Costa "Real Time Control of Industrial Processes by Application of Quadrupole Mass Spectrometer Computer System" Hayden and Son LTD 1978.
31. J.O.Meredith, F.C.Southon, R.C.Barber, P.Williams and H.E.Duckeworth "Precise atomic mass differences using peak-matching by computer". Inst.J.Mass Spectrometry and Ion Physics nr.10, 1972.
32. Massot R. și colectiv "Explorarea automată a spectrelor de masă cu putere mare de rezolvare". Documente selective Tehnica măsurării nr.4, 1970.
33. S.H.Heller, H.M.Fales, G.W.Milne, R.J.Feldman, N.R.Daly, D.C.Maxwell and McCormik "An experimental international conversational mass spectral search system" Advances in Mass Spectrometry vol.6, 1974.
34. H.A.Klooster, J.S.Varkamp Lijuse and G.Dijkstra "Dinamic Man-Computer Interactive Data Processing for High and Low Resolution Mass Spectrometry Applied to Sequence Analysis of Peptide Mixtures. Adv.in Mass Spectrometry, vol.6, 1974.
35. Ioan Oprean "Spectrometria de masă a compusilor organici" Editura Dacia 1974.
36. V.Raznikov, A.P.Dodonov, E.V.Lanin, "Data acquisition and processing in high-resolution mass spectrometry using

- Ion counting" Int.Journal of Mass Spectrometry  
and Ion Physics, nr.25 , 1977.
37. R.R.Ernest "Sensitivity Enhancement in Magnetic Resonance.  
Analysis of the Method of Time Averaging" The  
Review of Sciantific Instruments vol.36,12,1965.
38. Tibbals H.V., "A heuristic determination of best mutch  
empirical formulae for mass spectrometric measure-  
ments". International Conference an Computers in  
Chemical Research and Education, Ljubljana, 1973.
39. I.Silași "Lucrare de diplomă" Universitatea Babes-Bolyai  
Cluj-Napoca, 1977.
40. Henry M.Rosenstock, Austin L.Wahrhafting, Henry Eyring  
Technical report nr.2 - 29 iunie 1952, University  
of Utah Salt Lake City.
41. Vestal M., " Theoretical Studies of the Unimolecular  
Reactions of Polyatomic Ions" J.Chem.Phys.1965,  
43, pag.1356.
42. Kropf A., "Mass Spectrum of Propane: Isotope Effect and  
Metastable Ions" J.Chem.Phys., 1960,32,149.
43. Armand Bucks, A.B.Delfino and al."The Applications of  
Artificial Intelligence in The Interpretation  
of Low-Resolution Mass Spectra", Adv.in Mass Spec-  
trometry vol.5, 1971, p.314.
44. B.R.Kowalski and G.F.Bender,"The Hadarman Transform and  
Spectral Analysis by Pattern Recognition", Analyt-  
chemistry vol.45, nr.13,nov.1973.
45. Talrose V.L, Raznikov V.V. and Tansyrev G.D., Dokladî  
Akademii Nauk SSSR, 1964, 159,182.
46. A.Burlingame, R.W.Olsen and R.Mc Pheron, "A Large scale,  
real-Time Computer System for Multiple instrument  
Mass Spectrometry, Including Low and High Resolu-  
tion G.C.-M.S. and Spectrum Management Application"  
Adv.in M.S. vol.6,1974.
47. R.Venkatarghaven and al "Computer aided Iterative and  
Retrivial Systems for Mass Spectra" 7-th Conference :  
in Computer application in chemistry, Florence 1976.
48. "Eight.peak index of mass Spectra", Mass Spectrometry Data  
Center AVRE Aldermaston, Reading RG7 4PR U.K-1974.
49. C.Jalobeanu,"Sistem de memorare-regăsire a informațiilor  
pentru identificarea spectrelor de masă", Progrese

în fizică - iunie 1980 Cluj-Napoca.

50. V.Istomin, K.Kocinev, V.Grecinev, I.Sulcișin " Spectrometru de masă cu radio-frecvență lansat pe planeta Venus" - Comunicare în cadrul Institutului de Cercetări cosmice din Moscova - martie 1978.
51. G.Todorean, D.Ristoiu, V.Mercea, "Generator de radiofrecvență pentru alimentarea unui filtru de mase cuadrupolar" Studii și cercetări de fizică tom 28, nr.7. 976.
52. J.H.Hoffman, W.H.Dodson, C.R.Lippincottand, H.D.Hammack "Initial Ion Compositions Results From Isis 2 Satellite". J.of Geophysical Research vol.79, 29. 1974.
53. Jan Smelauer."Spectrometru cu radiofrecvență controlat cu procesor" - Comunicare în cadrul întîlnirii pentru lansarea aparaturii științifice pe satelitul Interkosmos 18, martie 1978.
54. V.Mercea, V.Istomin, I.Chereji, G.Todorean and D.Ristoiu "Calibrator for space flight Mass Spectrometer". Rev.Roum.Phys., tom 20, nr.8, 1975.
55. J.H.Hoffman "Ion Mass Spectrometer on Explorer XXXI Satellite" Proceedings, of the IEEE vol.57, nr.6 iunie 1969.
56. D.Ristoiu, V.Mercea, S.Romanțan G.Todorean și M.Trifu "Rezultate preliminare obținute cu spectrometrul de masă cuadrupolar lansat pe racheta Vertical 7" Prograse în fizică - București, iunie 1979.
57. P.H.Dawson "Quadrupole mass spectrometry and its applications" Elsevier Company (1976).
58. N.M.Mc Lachlan "Theory and Application of Mathieu Functions" Oxford Univ.Press 1951.
59. I.Păcuraru și G.Todorean "Q-metru numeric pentru cuarturi" Automatică, Electronică, calculatoare nr.7, oct. 1977.
60. A.E.Banner "Distortion of peak shape in fast scanning of mass spectra". Journal of Scientific Instruments nr.43, 138, 1966.
61. G.Todorean "Limitări în viteza de baleaj a unui spectrometru de masă" Prograse în fizică Cluj-Napoca, 1980.
62. R.Venkataraghavan, Anal.chem., 1967, nr.39, 178.
63. A.Spătaru "Teoria transmisiei informației" Ed.Tehnică București, 1965.

64. E.Beber "Perehodnîe protesi v lineinîh tepiah vol.I.  
Moscova 1958.
65. H.S.Carslaw and J.C.Jaeger "Conduction of heat in solids"  
Oxford University Press - 1959.
66. Habsfast "Data Acquisition-A Review of the Field" Adv.  
in M.S. vol. 4 sept.1967.
67. C.Merritt and al "Desing and Performance of a Direct-Coupled Real Time Spectrum Digitizer and a Rapid Scanning High-Resolution Mass Spectrometer", Conference in Mass spectrometry Berlin sept.1967.
68. H.Kienitz "Massenspektrometrie Verlag Chemie" GmbH  
Weinheim Bergstr.1968.
69. Peter R.Rony, David G.Larsen, Jonathan A.Titus "The 8080 Microcomputer Interfacing and Programming"  
New York, Sons Publication 1976.
70. I.Dancea "Microprocesoare - Arhitectură internă, programare aplicații" - Ed. Dacia Cluj, 1979.
71. Rodnay Zaks "Microprocesors and microcomputers" John Wiley and Son-1976.
72. Branko Soucek "Microprocesors and microcomputers" John Wiley and Son - 1976.
73. Robert Lyon-Caen et Jean Maurice Crozet "Microprocesseurs et microordinateurs" Masson - 1977.
74. 8080 Microcomputer systems Users Manual 1975.
75. John L.Hibburs and Paul Julich "Microcomputers/microprocessors - Hardware, Software and Applications" - Prentice Hall 1976.
76. Electronics, Junie, 24, 1976, p.105.
77. Catalog Micro-Switch - Profesional Keyboard, 1979.
78. The TTL Data Book.- Texas Instruments - 1976.
79. Catalog Burr-Brown 1979.
80. Cartea tehnică voltmetru numeric TIP 0303 IEMI - București.
81. D.Heschelle Jr."Analog to Digital/Digital to Analog Conversion Techniques" John Wiley - 1968.
82. Al.Rogojan "Calculatoare numerice vol.I., I.P.Timișoara 1973.
83. V.Pop "Bazele logice ale calculatoarelor numerice" I.P.Timișoara 1972.
84. J.Yinon, Y.Ashkenzi, Ch.Gilath M.M."Computerized Mass Spectrometer Control of Thermal Diffusion Plant for Isotope Separation Chemical Instrumentation nr. 4.1972.

85. E.Pop și V.Stoica "Principii și metode de măsurare numerică". Ed.Facla 1977.
86. Abraham Savinsky and Marcel J.E.Golay "Smouthing and Differentiation of Data by Simplified Least Squares Procedures" Analytical Chemistry vol.8 nr.8 ,1964.
87. Gerald J.Diebold "Effects of A/D converter resolution in signal averaging", Rev.Sci.Instruments vol.48, nr.12,dec.1977.
88. Andrei Angot "Complemente de matematici pentru inginerii din electrotehnica și telecomunicații" Ed.tehnică 1965.
89. David G.Luenberger and Ulric E.Dennis "Computational Methods for Resolution of Mass Spectra" Analytical chemistry vol.38, nr.6 , mai 1966.
90. M.A.Mariscotti, "A method for automatic identification of peaks in the presence of background and its applications to spectrum analysis". Nucl.Instr.50,1967.
91. Geert Brouwer and J.A.Jansen "Deconvolution Method for Identification of Peaks in Digitized Spectra" Analytical chemistry vol.45 nr.13,1973.
92. Carl de Boor,"A Practical Guide to Splines" Springer-Verlag - 1978.
93. B.Denidovitch și I.Maron "Elements de calcul numeriques" Ed.Moscou - 1973.
94. L.M.Rijik și I.S.Gradstein "Tabele de integrale, sume serii și produse" Ed.tehnică 1955.

## A N E X A 1

Program pentru comanda cititorului de bandă LB-50 și pentru citirea și împachetarea informației de pe banda perforată.

Codurile utilizate pentru adresarea interfeței paralele S255 dintre cititorul de bandă și unitatea centrală a sistemului de calcul sunt următoarele:

- F5 - pentru adresarea registrului de control al interfeței,
- F2 - selectează comunicarea cu liniile PC<sub>0</sub> - PC<sub>3</sub>, (4 biți),
- F1 - selectează comunicarea cu liniile PB ( 8 biți),
- F0 - selectează comunicarea cu liniile PA ( 8 biți).

Nr.	Adresa bita	Memonic	Codul	Comentarii
			Hexadecimal	
1	00	LXI D	11	Incarcă reg. DE cu A <sub>0</sub> -2
2	01	A <sub>0</sub> -2	56	Adresa de început A <sub>0</sub>
3	02		00	
4	03	LVI A	5E	Incarcă acumulatorul
5	04	98	98	
6	05	OUT	D3	Transfer la PA control
7	06	F3	F3	Codul I/O
8	07	SUB A	97	Sterge A
9	08	INR A	3C	(A) + 1
10	09	OUT	D3	Transfer la PA
11	0A	F2	F2	Codul I/O
12	0B	LVI B	06	Incarcă reg. B
13	0C	02	02	
14	0D	INX D	13	(DE) + 1
15	0E	RLC	07	Roteste a stînga
16	0F	RLC	07	"
17	10	RLC	07	"
18	11	RLC	07	"
19	12	MOV C,A	4F	(A) trece în reg C
20	13	IN	DB	Intrare
21	14	F2	F2	Codul I/O
22	15	RAL	17	Roteste A dreapta
23	16	JNC	D2	Salt dacă nu avem DCR
24	17	13	13	Adresa de salt

25	18	00	00	
26	19	MVI H	26	Mută imediat în reg. H
27	1A	EO	EO	
28	1B	DCR H	25	(H) = 1
29	1C	JNZ	C2	Salt dacă ≠ 0
30	1D	1B	1B	Adresa de salt
31	1E	00	00	"
32	1F	SUB A	97	O A
33	20	OUT	D3	Iesire
34	21	F2	F2	Codul I/O
35	22	IN	DB	Intrare
36	23	F2	F2	
37	24	RAL	17	Roteste A stânga
38	25	JC	DA	Salt dacă DCR
39	26	22	22	Adresa
40	27	00	00	"
41	28	SUB A	97	O A
42	29	INR A	3C	(A) + 1
43	2A	OUT	D3	Iesire
44	2B	F2	F2	
45	2C	IN	DB	Intrare
46	2D	FO	FO	
47	2E	CMA	2F	Complementează A
48	2F	ANI	E6	gi logic
49	30	7F	7F	
50	31	CPI	FE	Compară (A)
51	32	30	30	
52	33	JC	DA	Salt dacă DCR
53	34	13	13	Adresa
54	35	00	00	"
55	36	CPI	FE	Compară cu (A)
56	37	47	47	
57	38	JNC	D2	Salt dacă nu avem DCR
58	39	13	13	Adresa
59	3A	00	00	"
60	3B	CPI	FE	Compară (A)
61	3C	3A	3A	
62	3D	JC	DA	Salt dacă DCR
63	3E	42	42	Adresa
64	3F	00	00	"

65	40	ADI	C6	Adună la (A)
66	41	09	09	09
67	42	ANI	E6	SI logic (A) cu
68	43	OF	0F	OF
69	44	DCR B	C5	(B)-1
70	45	JNZ	C2	Salt dacă ≠ 0
71	46	OD	0D	Adresa
72	47	00	00	"
73	48	INR B	04	(B)+1
74	49	INR B	04	(B)+1
75	4A	ORA C	81	SIU logic între (A) și (C)
76	4B	STAX D	12	(A) trasee în M specificat DE
77	4C	LXIH	21	Adresa finală complementată se încarcă în HL
78	4D	XX	XX	
79	4E	XX	XX	
80	4F	DAD D	19	(DE) + (HL)
81	50	JNC	D2	Salt dacă nu avem DCR
82	51	13	13	Adresa
83	52	00	00	"
84	53	HLT	76	Oprire

## A N E X A 2

### BIBLIOTECA ARITMETICA

In cadrul bibliotecii aritmetice sunt cuprinse programe pentru următoarele operații și transformări:

A - adunarea incepind de la adresa hexagesimală	016C
S - scăderea incepind de la adresa hexagesimală	01E0
M - înmulțirea " " " "	01F8
I - împărțirea " " " "	024A
N - negativarea unui număr incepe de la adresa	02A1
E - transformarea unui număr binar în sistemul cu virgulă mobilă	02B0
Z - transformarea din sistemul cu virgulă mobilă în cod BCD	02C9
B - transformarea din cod BCD în sistemul cu vir- gulă mobilă	0366
1 + 13 treisprezece subrutine auxiliare	
C0 + C9 puterile succesive ale lui 10, de la $10^0 + 10^5$ reprezentate în sistemul cu virgulă mobilă inee- pind de la adresa hexagesimală	3EE

Nr.	Adresa	Codul	Comentarii
	hexa	Mnemonic	
1	00	NOP	00
2	01		31 Initializează nr. de stivă
3	02	58	58 Adresa din stivă
4	03	00	00
5	04	CALL	CD Cheamă
6	05	XX	XX Adresa operației dorite
7	06	XX	XX
8	07	HLT	76 Oprire
9	08	T1	T1 Exponentul primului operand
10	09	T1	T1 Mantisa partea c.m.p.s
11	0A	T1	T1 Mantisa partea c.m.s
12	0B		Exponentul rezultatului
13	0C		Mantisa rezultatului c.m.p.s
14	0D		" " " " c.m.s
15	0E	T2	T2 Exponentul operandului doi
16	0F	T2	T2 Mantisa " " " c.m.p.s

17	10	T2	T2	Mantisa operandului doi cms
18	11	L1	0B	L2,L1 Adresa adresei termenului
19	12	L2	00	cursă la transformarea Z
20	13	L3	08	L4,L3 Adresa care conține adresa
21	14	L4	00	termenului T1
22	15	L5	0E	L6,L5 Adresa care conține adresa
23	16	L6	00	termenului T2
24	17	L7		Rezultate parțiale la I
25	18	L8	0B	L9,L8 Adresa adresei de destinație
26	19	L9	00	la o conversie
27	1A	L10	08	L11,L10 Adresa care conține adre- sa termenului de transformat
28	1B	L11	00	L12,L13 Adresa pentru rezultate parțiale la B
29	1C	L12		L14,L15 Rezultate parțiale la
30	1D	L13		operatia Z
31	1E	L14		L17,L16 Rezultate parțiale la
32	1F	L15		transformarea Z
33	20	L16		
34	21	L17		

## SUBRUTINA 1

1	058	DADD	09	
2	059	XCHG	EB	Schimbă (HL) cu (DE)
3	05A	SUB A	97	Sterge A
4	05B	ORA D	B2	SAU logic (A) și (D)
5	05C	JNZ	C2	Salt dacă ≠ 0
6	05D	64	64	
7	05E	00	00	
8	05F	ORA E	B3	SAU logic (A) și (E)
9	060	JZ	CA	Salt dacă = 0
10	061	66	66	
11	062	00	00	
12	063	MOVA,D	7A	(D) - A
13	064	RAL	17	Rotește a stînga prin carry
14	065	RET	C9	Revenire
15	066	POP B	C1	(M) <sub>SP</sub> - BC
16	067	MOV M,A	77	(A) - M
17	068	JMP	C3	Salt
18	069	29	29	
19	06A	01	01	
20	06B	DCR B	05	(B) - 1

## RUTINA 2

21	06C	CALL	CD	Cheamă
22	06D	65	65	0165
23	06E	01	01	
24	06F	JNC	D2	Salt dacă nu avem DCR (carry=0)
25	070	6B	6B	006B
26	071	00	00	
27	072	CALL	CD	Cheamă subprogramul
28	073	7A	7A	007A
29	074	00	00	
30	075	CALL	CD	Cheamă subprogramul
31	076	79	79	0079
32	077	00	00	
33	078	RET	C9	Revenire

## SUBRUTINA 3

34	079	MOVA, D	7A	(D) - A
35	07A	RAR	1F	Roteste (A) dreapta
36	07B	MOVD, A	57	(A) - D
37	07C	MOVA, E	7B	(E) - A
38	07D	RAR	1F	Roteste (A) dreapta
39	07E	MOVE, A	5F	(A) - E
40	07F	RET	C9	Revenire

## SUBRUTINA 4

41	080	MOVA, D	7A	(D) - A
42	081	CMA	2F	Complementează (A)
43	082	KOVD, A	57	(A) - D
44	083	MOVA, E	7B	(E) - A
45	084	CMA	2F	Inversează A
46	085	MOVE, A	5F	(A) - E
47	086	INX D	13	(DE) + 1
48	087	RET	C9	Revenire

## SUBRUTINA 5

49	083	STAX B	02	(A) - M BC
50	089	INXH	23	(HL) + 1
51	08A	MOV C, M	4E	(M) - C
52	08B	INXH	23	(HL) + 1
53	08C	MOVB, M	46	(M) - B
54	08D	XCHG	EB	(HL) - DE (DE) - HL
55	08E	INXH	23	(HL) + 1
56	08F	MOVE, M	5E	(M) - E
57	090	INXH	23	(HL) + 1

53	091	MOV D,M	56	(M) = D
59	092	SUB A	97	sterge A
60	093	MOV H,A	67	(A) = H
61	094	MOV L,A	6F	(A) = L
62	095	ORAB	E0	SAU logic
63	096	XCHG	EB	Schimba (HL) și (DE)
64	097	RZ	C8	Revenire dacă avem zero
65	098	SUB A	97	0 = A
66	099	ORAH	B4	SAU logic între A și H
67	09A	RET	C9	Revenire
				SUBRUTINA 6
68	09B	MOVA,C	79	(C) = A
69	09C	RRC	0F	Roteste A dreapta
70	09D	MOVC,A	4F	(A) = C
71	09E	JNC	D2	Salt dacă carry= 0
72	09F	AD	AD	LOAD
73	0A0	CO	00	
74	0A1	DAD D	19	(DE) + (HL)
75	0A2	JNC	D2	Salt dacă carry= 0
76	0A3	AD	AD	LOAD
77	0A4	00	00	
78	0A5	CMC	3F	Inverzează carry
79	0A6	LDA	3A	(M) <sub>0017</sub> = A
80	0A7	17	17	0017
81	0A8	00	00	
82	0A9	INRA	5C	(A) + 1
83	0AA	STA	32	(A) = M <sub>0017</sub>
84	0AB	17	17	L7
85	0AC	00	00	
86	0AD	CALL	CD	Cheamă subprogramul de la adresa
87	0AE	65	65	0165
88	0AF	01	01	
89	0B0	SUB A	97	0 = A
90	0B1	DCR B	05	(B) - 1
91	0B2	JNZ	C2	Salt dacă ≠ 0
92	0B3	9B	9B	009B
93	0B4	00	00	
94	0B5	RET	C9	revenire
				SUBRUTINA 7
95	0B6	XTHL	E3	(M) <sub>SP</sub> = HL și invers
96	0B7	PUSH B	C5	(S <sub>0</sub> ) = M <sub>SP</sub>

97	0B8	PUSHD	D5	(M) <sub>SP</sub> va conține (DE)
98	0B9	PUHPSW	F5	Salvează (A) și (flags) în stivă
99	0BA	PUSH	E5	(HL) - M <sub>SP</sub>
100	0BB	LHLD	2A	Incarcă HL cu conținutul adresei
101	0EC	LL	11	0011
102	0BD	LL	ED	
103	0BE	MOV B,H	44	(H) - B
104	0BF	MOVC,L	4D	(L) - C
105	0C0	XTHL	E3	(M) <sub>SP</sub> HL și invers
106	0C1	PUSH	E5	(HL) - M <sub>SP</sub>
107	0C2	LHLD	2A	(M) <sub>L3</sub> - HL
108	0C3	L3	13	0013 = L3
109	0C4	L3	00	
110	0C5	XCHG	EB	HL DE
111	0C6	LHLD	2A	(M) <sub>L5</sub> - HL
112	0C7	L5	15	0015
113	0C8	L5	00	
114	0C9	SUB A	97	0 - A
115	0CA	LDAXD	1A	(M) <sub>DE</sub> - A
116	0CB	RET	C9	Revenire

#### SUBRUTINA 8

117	0CC	XCHG	EB	HL DE
118	0CD	RAL	17	Roteste A stînga
119	0CE	JNC	D2	Salt dacă nu avem DCR
120	0CF	D5	D5	00D5
121	0D0	00	00	
122	0D1	INRL	2C	(L) + 1
123	0D2	CALL	CD	Cheamă subprogramul
124	0D3	80	80	0080
125	0D4	00	00	
126	0D5	MOVA,B	78	(B) - A
127	0D6	RAL	17	Roteste a stînga
128	0D7	JNC	D2	Salt carry = 0
129	0D8	E7	E7	00E7
130	0D9	00	00	
131	0DA	INR L	2C	(L) + 1
132	0DB	XTHL	E3	(M) <sub>SP</sub> HL și invers
133	0DC	PUSH	E5	(HL) - M <sub>SP</sub>
134	0DD	XCHG	EB	Schimbă (HL) cu (DE)
135	0DE	MOVD,B	50	(B) - D
136	0DF	MOVE,C	59	(C) - E

137	OE0	CALL	CD	Cheamă subprogramul
138	OE1	80	80	0080
139	OE2	00	00	
140	OE3	XCHG	EB	DE , HL schimbă conținutul
141	OE4	MOV B,H	44	(H) - B
142	OE5	MOV C,L	4D	(L) - C
143	OE6	RET	C9	revenire
144	OE7	XTHL	E3	(M) <sub>SP</sub> HL
145	OE8	PUSH H	E5	(HL) - M <sub>SP</sub>
146	OE9	RET	C9	Revenire
				SUBRUTINA 9
147	OEA	CALL	CD	Cheamă subprogramul
148	OEB	65	65	0165
149	OEC	01	01	
150	OED	JC	DA	Salt la carry = 1
151	OEE	F2	F2	00F2
152	OEF	00	00	
153	OFO	INX D	13	(DE) + 1
154	OF1	RET	C9	revenire
155	OF2	POP B	C1	(M) <sub>SP</sub> - BC
156	OF3	POP B	C1	"
157	OF4	POP H	E1	(M) <sub>SP</sub> - HL
158	OF5	CALL	CD	Cheamă
159	OF6	79	79	0079
160	OF7	00	00	
161	OF8	CALL	CD	Cheamă
162	OF9	79	79	0079
163	OFA	00	00	
164	OFB	JMP	C3	Salt
165	OFC	21	21	0121
166	OFD	01	01	
167	OFE			SUBRUTINA 10
167	OFE	XTHL	E3	M <sub>SP</sub> HL
168	OFF	PUSH B	C5	(BC) - M <sub>SP</sub>
169	100	PUSH D	D5	(DE) - M <sub>SP</sub>
170	101	PUSH PSW	F5	(A) și (flag) - M <sub>SP</sub>
171	102	PUSH H	E5	(HL) - M <sub>SP</sub>
172	103	LHLD	2A	(M) <sub>L8</sub> - HL
173	104	L8	18	0018 - L8
174	105	L8	00	
175	106	XTHL	E3	M <sub>SP</sub> HL

176	107	PUSH H	E5	) - M <sub>SP</sub>
177	108	LHLD	2A	(M) <sub>L10</sub> - HL
178	109	L10	1A	001A = L10
179	10A	L10	00	
180	10B	LXI D	11	(M) <sub>L12</sub> - DE
181	10C	L12	1C	001C = L12
182	10D	L12	00	
183	10E	SUB A	97	0 - A
184	10F	MOVB,A	47	(A) - B
185	110	MOVA,M	7E	(A) - M <sub>HL</sub>
186	111	RET	C9	
187	112	JZ	CA	Salt la = 0
188	113	44	44	0144
189	114	01	01	
190	115	DCXH	2B	(HL) - I
191	116	DCXD	1B	(DE) - I
192	117	LDAFD	1A	M <sub>DE</sub> - A
193	118	CLMPM	BE	Compară (M) cu (A)
194	119	RET	C9	Revenire
195	11A	XCHG	EB	HL DE
196	11B	POP PSW	F1	(A) și(flag) - M <sub>SP</sub>
197	11C	POP H	E1	M <sub>SP</sub> - HL
198	11D	MOV M,A	77	(A) - M
199	11E	JMP	C3	Salt
200	11F	29	29	0129
201	120	01	01	
202	121	MOV A,C	79	(C) - A
203	122	RAR	1F	Roteste (A) dreapta
204	123	JNC	D2	Salt dacă carry = 0
205	124	29	29	0129
206	125	01	01	
207	126	CALL	CD	Cheamă subprogramul
208	127	80	80	0080
209	128	00	00	
210	129	INX H	23	(HL) + 1
211	12A	MOV M,E	73	(E) - M
212	12B	INX H	23	(HL) + 1
213	12C	MOV M,D	72	(D) - M
214	12D	POP PSW	F1	
215	12E	POP D	D1	(M) <sub>SP</sub> - DE

216	12F	POP B	C1	(M) <sub>SP</sub> - BC
217	130	POP H	E1	(M) <sub>SP</sub> - HL
218	131	RET	C9	Revenire
219	132			SUBRUTINA 11
219	132	INX H	23	(HL) + 1
220	133	INX H	23	(HL) + 1
221	134	DCXD	1B	(DE) - 1
222	135	LDAHD	1A	(M) <sub>DE</sub> - A
223	136	CMP M	BE	
224	137	DCX H	2B	(HL) - 1
225	138	DCXD	1B	(DE) - 1
226	139	JM	FA	Salt dacă minus
227	13A	44	44	0144
228	13B	01	01	
229	13C	JNZ	C2	Salt dacă ≠ 0
230	13D	12	12	0112
231	13E	01	01	
232	13F	LDAHD	1A	(M) <sub>DE</sub> - A
233	140	CMPM	BE	Compară
234	141	JNC	D2	Salt la carry = 1
235	142	12	12	0112
236	143	01	01	
237	144	DCAH	2B	(HL) - 1
238	145	DCXD	1B	(DE) - 1
239	146	LDAHD	1A	(M) <sub>DE</sub> - A
240	147	SUB M	96	
241	148	RM	F8	Revenire dacă minus
242	149	RNZ	C0	Revenire dacă ≠ 0
243	14A	DCRA	3D	(A) - 1
244	14B	RET	C9	Revenire
255	14C	DCXH	2B	(HL) - 1
246	14D	DCXD	1B	(DE) - 1
247	14E	LDAHD	1A	(M) <sub>DE</sub> - A
248	14F	CMP M	BE	Compară
249	150	RET	C9	Revenire
				SUBRUTINA 12
250	151	SHLD	22	(HL) - M <sub>L1</sub>
251	152	11	11	0011 = L1
252	153	00	00	
253	154	SHLD	22	(HL) - M <sub>L3</sub>

254	155	13	13	0013 = L3
255	156	00	00	
256	157	XTHL	E3	M <sub>SP</sub> HL
257	158	PUSH H	E5	(HL) - M <sub>SP</sub>
258	159	LXIH	21	L15 - HL
259	15A	L15	1F	001F = L15
260	15B	L15	00	
261	15C	RLC	07	Rotație (A) stînga
262	15D	RLC	07	
263	15E	RLC	07	"
264	15F	RLC	07	"
265	160	ADDM	86	(M) + (A) - A
266	161	MOV M,A	77	(A) - M
267	162	MVIC	0E	Incarează C
268	163	05	05	
269	164	RET	C9	Revenire
				SUBRUTINA 13
270	165	MOV A,E	7B	(E) - A
271	166	RAL	17	(A) stînga
272	167	MOV E,A	5F	(A) - E
273	168	MOV A,D	7A	(D) - A
274	169	RAL	17	(A) stînga
275	16A	MOV D,A	57	(A) - D
276	16B	RET	C9	Revenire
				ADUNARE A
277	16C	CALL	CD	
278	16D	B6	B6	
279	16E	00	00	
280	16F	SUB M	96	(A) - (M)
281	170	JP	F2	Salt dacă pozitiv
282	171	76	76	0176
283	172	01	01	
284	173	CMA	2F	Inversează (A)
285	174	INRA	3C	(A) + 1
286	175	XCHG	EB	HL DE
287	176	PUSH PSW	F5	(A) și(flag) - M <sub>SP</sub>
288	177	ADDM	86	(M) + (A) - A
289	178	CALL	CD	
290	179	80	80	0080
291	17A	00	00	

292	17B	JZ	CA	Salt daeă = 0
293	17C	D4	D4	
294	17D	01	01	
295	17E	POPPSW	F1	(M) <sub>SP</sub> - A si flag
296	17F	JZ	CA	Salt daeă = 0
297	180	8F	8F	
298	181	01	01	
299	182	MOV D,A	57	(D) - A
300	183	MOV A,B	73	(B) - A
301	184	RLC	C7	A rotit stinga
302	185	RAR	17	
303	186	RAR	17	
304	187	MOV B,A	47	(A) - B
305	188	MOV A,C	79	(C) - A
306	189	RAR	1F	
307	18A	MOV C,A	4F	(A) - C
308	18B	DCRD	15	(D) -1
309	18C	JNZ	C2	Salt daeă ≠ 0
310	18D	83	83	0183
311	18E	01	01	
312	18F	POP D	D1	(M) <sub>SP</sub> -DE
313	190	MOV A,B	78	(B) - (A)
314	191	RAL	17	(A) stinga
315	192	JC	DA	Salt carry = 1
316	193	A9	A9	01A9
317	194	01	01	
318	195	MOV A,H	7C	(H) - A
319	196	RAL	17	(A) stinga
320	197	JNC	D2	Salt carry = 0
321	198	BB	BB	01BB
322	199	01	01	
323	19A	CALL	CD	
324	19B	58	58	
325	19C	00	00	
326	19D	MOB B,M	46	(M) - B
327	19E	JG	DA	Salt carry= 1
328	19F	C8	08	01C8
329	1A0	01	01	
330	1A1	CALL	CD	
331	1A2	6C	6C	

332	1A3	00	00	
333	1A4	MOV M,B	70	(B) - M
334	1A5	INR M	34	(M) + 1
335	1A6	JMP	C3	Salt
336	1A7	29	29	0129
337	1A8	01	01	
338	1A9	MOV A,H	7C	(H) - A
339	1AA	RAL	17	Ko te gte (A) stinga
340	1AB	JNC	D2	Salt la carry = 0
341	1AC	9A	9A	019A
342	1AD	01	01	
343	1AE	CALL	CD	
344	1AF	58	58	058
345	1B0	00	00	
346	1B1	JC	DA	Salt la carry = 1
347	1B2	29	29	0129
348	1B3	01	01	
349	1B4	CNC	3F	Inversează carry
350	1B5	CALL	CD	
351	1B6	79	79	0079
352	1B7	00	00	
353	1B8	JMP	C3	
354	1B9	A5	A5	01A5
355	1BA	01	01	
356	1BB	CALL	CD	
357	1BC	58	58	0058
358	1BD	00	00	
359	1BE	JNC	D2	Salt la carry = 0
360	1BF	29	29	0129
361	1C0	01	01	
362	1C1	CNC	3F	Inversează carry
363	1C2	CALL	CD	
364	1C3	79	79	0079
365	1C4	00	00	
366	1C5	JMP	C3	Salt
367	1C6	A5	A5	01A5
368	1C7	01	01	
369	1C8	CALL	CD	
370	1C9	80	80	
371	1CA	00	00	
372	1CB	CALL	CD	

373	1CC	6C	6C	006C
374	1CD	00	00	
375	1CE	CALL	CD	
376	1CF	80	80	0080
377	1D0	00	00	
378	1D1	JMP	C3	Salt
379	1D2	A4	A4	01A4
380	1D3	01	01	
381	1D4	ORA H	B4	Sau logie (A) cu (H)
382	1D5	JNZ	C2	Salt la ≠ 0
383	1D6	1A	1A	011A
384	1D7	01	01	
385	1D8	MOV D,B	50	(B) -D
386	1D9	MOV E,C	59	(C) - E
387	1DA	POP PSW	F1	
388	1DB	CMA	2F	Inversează (A)
389	1DC	INRA	3C	(A) + 1
390	1DD	JMP	C3	Salt
391	1DE	1C	1C	011C
392	1DF	01	01	
				SCADEREA
393	1E0	PUSH H	E5	(HL) - M <sub>SP</sub>
394	1E1	LHLD	2A	(HL) +(M) <sub>L5</sub>
395	1E2	L5	15	0015 = L5
396	1E3	L5	00	
397	1E4	SHLD	22	(HL) - M <sub>L10</sub>
398	1E5	L10	1A	001A = L10
399	1E6	L10	00	
400	1E7	NOP	00	
401	1E8	NOP	00	
402	1E9	NOP	00	
403	1EA	SHLD	22	(HL) - M <sub>L8</sub>
404	1EB	L8	18	0018 = L8
405	1EC	L8	00	
406	1ED	CALL	CD	
407	1EE	A1	A1	02A1 Negativarea
408	1EF	02	02	
409	1FO	CALL	CD	Cheamă
410	1F1	6C	6C	016C Adunarea
411	1F2	01	01	
412	1F3	CALL	CD	Cheamă

413	1F4	A1	A1	02A1 Negativarea
414	1F5	02	02	
415	1F6	POP H	E1	(M) <sub>SP</sub> - HL
416	1F7	RET	C9	Revenire
417	1F8			INMULTIREA
417	1F8	CALL	CD	
418	1F9	B6	B6	00B6
419	1FA	00	00	
420	1FB	ADD M	86	(M) + (A)
421	1FC	CALL	CD	Cheamă
422	1FD	88	88	0088
423	1FE	00	00	
424	1FF	JZ	CA	Salt la = 0
425	200	1C	1C	011C
426	201	01	01	
427	202	CALL	CD	Cheamă
428	203	CC	CC	00CC
429	204	00	00	
430	205	CALL	CD	
431	206	65	65	0165
432	207	01	01	
433	208	PUSH B	C5	(BC) - M <sub>SP</sub>
434	209	PUSH D	D5	(DE) - M <sub>SP</sub>
435	20A	MVIB	06	Incareă B
436	20B	08	08	
437	20C	SUB A	97	0 - A
438	20D	MOV D,A	57	(A) - D
439	20E	MOV H,A	67	(A) - H
440	20F	MOV L,A	6F	(A) - L
441	210	STA	32	(A) - M <sub>L7</sub>
442	211	L7	17	0017 = L7
443	212	L7	00	
444	213	CALL	CD	Cheamă
445	214	9B	9B	009B
446	215	00	00	
447	216	MOVL,H	6C	(H) - L
448	217	POP D	D1	(M) <sub>SP</sub> - DE
449	218	PUSH D	D5	(DE) - M <sub>SP</sub>
450	219	MOVH,A	67	(A) - H
451	21A	MVIB	06	Incareă B
452	21B	08	08	

453	21C	MOV E,D	5A	(D) - E
454	21D	MOV D,A	57	(A) - D
455	21E	CALL	CD	
456	21F	9B	9B	009B
457	220	00	00	
458	221	POP D	D1	(M) <sub>SP</sub> - DE
459	222	POP B	C1	(M) <sub>SP</sub> - BC
460	223	PUSH D	D5	(DE) - M <sub>SP</sub>
461	224	MOV C,B	48	(B) - C
462	225	MVI B	06	Incarca B
463	226	08	08	
464	227	MOV D,A	57	(A) - D
465	228	CALL	CD	
466	229	9B	9B	
467	22A	00	00	
468	22B	POP D	D1	(M) <sub>SP</sub> - DE
469	22C	MOV E,D	5A	(D) - E
470	22D	MOV D,A	57	(A) - D
471	22E	MOV A,L	70	(L) - A
472	22F	RAL	17	Roteste (A) stanga
473	230	PUSH PSW	F5	
474	231	MOV L,H	6C	(H) - L
475	232	LDA	3A	Incarca A
476	233	L7	17	0017
477	234	L7	00	
478	235	MOV H,A	67	(A) - H
479	236	MVI B	06	Incarca B eu
480	237	08	08	
481	238	CALL	CD	Cheamă
482	239	9B	9B	009B
483	23A	00	00	
484	23B	POP PSW	F1	
485	23C	POP B	C1	
486	23D	POP D	D1	
487	23E	XCHG	EB	
488	23F	MVI B	06	Incarca in B
489	240	02	02	
490	241	CALL	CD	Cheamă
491	242	6C	6C	006C
492	243	00	00	

493	244	MOV A,M	7E	(M) - A
494	245	ADD B	80	(B) + (A) - A
495	246	MOV X,A	77	(A) - X
496	247	JMP	C3	Salt
497	248	21	21	
498	249	01	01	
499	24A			IMPARTIREA
499	24A	CALL	CD	
500	24B	B6	B6	
501	24C	00	00	
502	24D	SUB M	96	(A) - (M) - A
503	24E	CALL	CD	
504	24F	88	88	0088
505	250	00	00	
506	251	JZ	CA	Salt la = 0
507	252	1C	1C	011C
508	253	01	01	
509	254	CALL	CD	
510	255	CC	CC	
511	256	00	00	
512	257.	MOV A,D	7A	(D) - A
513	258	CMPB	B8	Compară (B)
514	259	JC	DA	Salt la carry = 1
515	25A	SUB M	96	(A) - (M) - A
516	25B	STAX B	02	(A) - M <sub>BC</sub>
516	25C	JNZ	C2	Salt la ≠ 0
517	25D	65	65	0265
518	25E	02	02	
519	25F	MOV A,E	7B	(E) - A
520	260	CMP C	B9	Compară (C)
521	261	JC	DA	Salt la carry = 1
522	262	96	96	0296
523	263	02	02	
524	264	MOV A,D	7A	(D) - A
525	265	SUB B	90	(A) - (B) - A
526	266	MOV D,A	57	(A) - D
527	267	SUB A	97	0 - A
528	268	MOV H,A	67	(A) - H
529	269	MOV L,A	6F	(A) - L
530	26A	XCHG	EB	HL ↔ DE
531	26B	CALL	CD	

532	26C	EA	EA	00EA
533	26D	00	00	
534	26E	MOV A,L	7D	(L) - A
535	26F	SUB C	91	(A) - (C) - A
536	270	JNC	D2	Salt la carry = 0
537	271	75	75	0275
538	272	02	02	
539	273	DCR H	25	(H) - 1
540	274	UMC	3F	Inversează carry
541	275	RAL	17	Rotește stînga
542	276	MOV L,A	6F	(A) - L
543	277	MOV A,H	7C	(H) - A
544	278	RAL	17	rotește A stînga
545	279	CMPB	B8	Compară (B)
546	27A	JC	DA	Salt la carry = 1
547	27B	8C	8C	028C
548	27C	02	02	
549	27D	JNZ	C2	Salt la ≠ 0
550	27E	87	87	0287
551	27F	02	02	
552	280	MOV H,A	67	(A) - H
553	281	MOV A,L	7D	(L) - A
554	282	CMPC	B9	Compară (C)
555	283	JC	DA	Salt la carry = 1
556	284	8D	8D	028D
557	285	02	02	
558	286	MOV A,H	7C	(H) - A
559	287	SUB A	90	(A) - (B) - A
560	288	MOV H,A	67	(A) - H
561	289	JMP	C3	Salt
562	28A	6B	6B	026B
563	28B	62	02	
564	28C	MOV H,A	67	(A) - H
565	28D	CEC	3F	Inversează carry
566	28E	CALL	CD	
567	28F	EA	EA	00EA
568	290	00	00	
569	291	DCXD	1B	(DE) - 1
570	292	MOV A,L	7D	(L) - A
571	293	JMP	C3	Salt
572	294	75	75	

573	295	02	02		
574	296	POP PSW	F1		
575	297	POP H	E1	(M) <sub>SP</sub> - HL	
576	298	DCR M	35	(M) - 1	
577	299	PUSH HL	E5	(HL) - M <sub>SP</sub>	
578	2A0	PUSH PSW	F5		
579	2A1	CALL	CD		
580	2A2	65	65		
581	2A3	01	01		
582	2A4	JMP	C3	Salt	
583	2A5	65	65	0265	
584	2A6	02	02		
585	2A7			NEGATIVAREA	
586	2A8	CALL	CD		
587	2A9	FE	FE		
588	2AA	00	00		
589	2AB	INXH	23	(HL) + 1	
590	2AC	MOV E,M	5E	(M) - E	
591	2AD	INX H	23	(HL) + 1	
592	2AE	MOV D,M	56	(M) - D	
593	2AF	POP H	E1	(M) <sub>SP</sub> - HL	
594	2B0	MOV M,A	77	(A) - M	
595	2B1	CALL	CD		
596	2B2	80	80		
597	2B3	00	00		
598	2B4	JMP	C3	Salt	
599	2B5	29	29		
600	2B6	01	01		
601		TRANSFORMAREA	DIN BINAR IN VIRGULA MOBILA		
601	2B7	CALL	CD		
602	2B8	FE	FE		
603	2B9	00	00		
604	2BA	MOV E,A	5F	(A) < E	
605	2BB	INX H	23	(HL) + 1	
606	2BC	MOV D,M	56	(M) - D	
607	2BD	SUB A	97	0 - A	
608	2BE	ORA D	B2	Sau logie (D) si (A)	
609	2BF	JNZ	C2	Salt la ≠ 0	
610	2C0	BF	BF	02BF	
611	2C1	02	02		
612	2C2	ORA E	B3	Sau logie (A) si (E)	

103

613	2BC	JZ	CA	Salt dacă = 0
614	2BD	C4	C4	02C4
615	2BE	02	02	
616	2BF	MVI B	06	Încarcă în B
617	2C0	OF	OF	
618	2C1	CALL	CD	
619	2C2	6C	6C	006C
620	2C3	00	00	
621	2C4	POP H	E1	(M) <sub>SP</sub> - HL
622	2C5	MOV M,B	70	(B) - M
623	2C6	JMP	C3	Salt
624	2C7	29	29	0129
625	2C8	01	01	

Pentru a nu extinde materialul lucrării, următoarele programe cuprinse în biblioteca aritmetică vor fi expuse mai sumar. Astfel se va indica numai codul hexagesimal al operațiilor, adresele de depunere succedindu-se conform bazei de numărare hexagesimală începînd de la adresa 02C9 inclusiv

#### TRANSFORMAREA DIN VIRGULA MOBILA IN COD BCD

CD,FE,00,12,EB,22,1A,00,22,18,00,23,13,1A,77,23,13,1A,BO,CA,  
 59,03,77,17, ,23,70,D2,EC,02,36,80,CD,Al,02,2B,11,34,00,06,  
 06,2B,2B,CD,32,01,FA,34,03,05,C2,F2,02,78,CD,51,01,E3,11,25,  
 00,EB,22,15,00,CD,F8,01,04,EB,CD,32,01,FA,3E,03,97,E3,F5,0D,  
 CA,5E,03,79,1F,D2,2D,03,F1,07,07,07,07,77,E3,05,CA,01,03,C3,  
 CD,03,F1,B6,77,23,C3,25,03,78,FE,06,02,58,03,CD,51,01,E3,EB,  
 22,15,00,EB,97,F5,CD,EO,01,F1,3C,F5,13,13,13,CD,32,01,FA,45,  
 03,F1,C3,14,03,97,57,5F,C3,1C,01,F1,B6,77,2B,2B,C3,F8,03,

#### TRANSFORMAREA DIN BCD IN VIRGULA MOBILA

CD,FE,00,E6,F0,17,F5,07,07,E5,E5,21,1F,00,4F,07,81,4F,09,  
 06,06,E6,0F,CA,B2,03,EB,22,13,00,22,11,00,EB,E3,05,CA,CF,03,  
 78,1F,7E,DA,CB,03,1F,1F,1F,E3,E6,0F,CA,A8,03,22,15,00,CD,  
 6C,01,3D,C2,Al,03,79,2B,2B,2B,D6,03,4F,C2,89,03,C5,78,07,80,  
 4F,97,47,09,F1,01,33, ,33,E5,D5,11,1F,00,2B,2B,2B,47,97,C3,  
 81,03,23,C3,98,03,21,1F,00,22,11,00,22,13,00,22,18,00,22,1A,  
 00,D1, ,EB,E1,22,15,00,CD,4A,02,21,1C,00,22,15,00,CD,6C,  
 01,F1,D2,F7,03,CD,Al,02,EB,7E,23,5E,23,56,C3,1C,01

## A N E X A 3

Program pentru achiziția datelor fără reluarea baleiajului.

Codurile utilizate pentru adresarea interfeței paralele 8255 dintre calculator și convertorul numeric analogic sunt:

F3 - pentru registrul de control al interfeței

F0 - comunicarea cu portile PA ,

F1 - comunicarea cu portile PB ,

OF - comandă bufferul convertorului N/A

Codurile pentru comanda convertorului analog numere prin intermediul interfeței paralele sunt :

63 - pentru registrul de control al interfeței,

60 - portile PA,

61 - portile PB,

62 - portile PC.

Nr.	Adresa hexa	Codul Mnemonic	Comentarii
		Hexa	
1	00	LXI SP	31 Incarcă numărătorul stivei
2	01	50	50 0350
3	02	03	03
4	03	JMP	C3 Salt
5	04	1E	1E 001E
6	05	00	00
7	06	NOP	00
	"	"	"
17	10	80	80 Cuvînt de control al interfeței
18	11	NOP	00
	"	"	"
21	14	93	93 Cuvînt de control
22	15	00	00
23	16	01	0100 Adresa de început a depunerii
24	17	50	50 0172 Adresa de sfîrșit a depunerii
25	18	02	02
26	19	NOP	00
	"	"	"
31	1E	LDA	3A Incarcă A cu conținutul
32	1F	10	10 0010 ..!
33	20	00	00
34	21	OUT	D3 Iesire

35	22	F3	F3	Codul perifericului
36	23	LXI D	11	Incarcă DE
57	24	33	33	
33	25	33	33	
39	26	NOP	00	
40	27	MOV A,E	7B	(E) - A
41	28	CMA	2F	Inversează A
42	29	OUT	D3	
43	2A	FO	FO	
44	2B	MOV A,D	7A	(D) - A
45	2C	CMA	2F	Inversează (A)
46	2D	OUT	D3	Ieșire
47	2E	Fl	Fl	
48	2F	OUT	D3	
49	30	OF	OF	
50	31	MOV A,E	7B	(E) - A
51	32	ADI	C6	Adună la (A)
52	33	u	25	Pasul de creștere a tensiunii
53	34	DAA	27	Ajustează zecimal
54	35	MOV A,E	5F	(E) - A
55	36	JNC	D2	Salt dacă carry = 0
56	37	41	41	0041
57	38	00	00	
58	39	SUB A	97	șterge A
59	3A	MOV A,D	7A	(D) - A
60	3B	INR A	3C	(A) + 1
61	3C	DAA	27	Ajustează zecimal
62	3D	JC	DA	Salt dacă DCR
63	3E	98	98	0098
64	3F	00	00	
65	40	MOV D,A	57	(A) - D
66	41	NOP	00	
67	42	CALL	CD	Cheamă întârzierea
68	43	9C	9C	009C
69	44	00	00	
70	45	LDA	3A	Incarcă A
71	46	14	14	0014
72	47	00	00	
73	48	OUT	D3	Ieșire
74	49	63	63	
75	4A	MVI B	06	

76	4B	00	00	
77	4C	LXIX	21	Incarcă HL
78	4D	50	50	0150
79	4E	01	01	
80	4F	LDA	3A	Incarcă a cu conținutul
81	50	10	10	0010
82	51	00	00	
83	52	OUT	D3	Iesire
84	53	62	62	
85	54	CALL	CD	
86	55	9C	9C	009C Intărzierea
87	56	00	00	
88	57	SUB A	97	0 - A
89	58	OUT	D3	
90	59	62	62	
91	5A	CALL	CD	
92	5B	9C	9C	009C
93	5C	00	00	
94	5D	SUB A	97	0 - A
95	5E	ADD B	80	(A) + (B)
96	5F	JNZ	C2	Salt la ≠ 0
97	60	85	85	
98	61	00	00	
99	62	IN	DB	Citire convertor A/N
100	63	61	61	Codul I/O
101	64	MOV M,A	77	(A) - M
102	65	INX H	23	(HL) + 1
103	66	IN	DB	Intrare
104	67	60	60	Codul
105	68	MOV M,A	77	(A) - M
106	69	DCX H	2B	(HL) - 1
107	6A	INR B	04	(B) + 1
108	6B	MVI A	3E	Incarcă A
109	6C	XX	XX	Numărul de citiri pe punct
110	6D	CMP B	B8	Compară (B) cu (A)
111	6E	JNZ	C2	Salt la ≠ 0
112	6F	4F	4F	004F
113	70	00	00	
114	71	INX H	23	(HL) + 1
115	72	INX H	23	(HL) + 1
116	73	SHLD	22	Memorează HL

117	74	4D	4D	004D
118	75	00	00	
119	76	LDA	3A	Incarcă A cu conținutul
120	77	17	17	0017
121	78	00	00	
122	79	SUB L	95	(A) - (L)
123	7A	JNZ	C2	Salt la ≠ 0
124	7B	26	26	0026
125	7C	00	00	
126	7D	LDA	3A	Incarcă A cu conținutul
127	7E	18	18	0018
128	7F	00	00	
129	80	SUB H	94	(A) -(H)
130	81	JNZ	C2	Salt la ≠ 0
131	82	26	26	0026
132	83	00	00	
133	84	HLT	76	Oprire
134	85	IN	DB	
135	86	61	61	
136	87	ADD M	86	(A) + (E)
137	88	DAA	27	Ajustează zecimal
138	89	MOV M,A	77	(A) trece în memorie
139	8A	IN	DB	Întrare
140	8B	60	60	
141	8C	INX H	23	(HL) + 1
142	8D	ADC M	8E	(D) + (A)
143	8E	DAA	27	Ajustează zecimal
144	8F	JNC	D2	Salt la carry = 0
145	90	94	94	0094
146	91	00	00	
147	92	MVI A	3E	Mută în A
148	93	99	99	
149	94	MOV M,A	77	(A) trece în memorie
150	95	JMP	C3	Salt
151	96	69	69	0069
152	97	00	00	
153	98	NOP	000	
154	99	HLT	76	
		PROGRAMUL CARE REALIZEAZA INTIRZIEREA		
1	9C	NOP	00	
2	9D	MVI C	0E	Incarcă registrul C

3	9E	<b>XX</b>	<b>XX</b>	Iumăr în registrul C
4	9F	LXI D	11	Incară DE
5	A0	XX	XX	Iumăr în E
6	A1	AX	XX	Incară D
7	A2	DCR E	1D	(E) = -
8	A3	JNZ	C2	Salt la ≠ 0
9	A4	A2	A2	00A2
10	A5	00	00	
11	A6	DCR D	15	(D) = 1
12	A7	JNZ	C2	Salt la ≠ 0
13	A8	A2	A2	00A2
14	A9	00	00	
15	AA	JNZ	C2	Salt la ≠ 0
16	AB	9F	9F	009F
17	AC	00	00	
18	AD	POP DE	D1	Salvează (M) <sub>SP</sub> în DE
19	AE	RET	C9	Revenire

(C) = 99 întârzierea de 2' 15" dacă (DE) = 99

(C) = 5 " " "

(C) = 1 " " 1" " "

(C) = 0 întârzierea sub o secundă dictată de (DE)

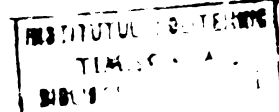
Program pentru achiziția datelor cu reluarea baleajului

Portiunea din program pînă la adresa hexagesimală 1E este același ca și la programul fără reluarea baleajului.

1	1E	MVI B	06	Incară registrul B
2	1F	00	00	
3	20	LDA	3A	(M) = A
4	21	10	10	0010
5	22	00	00	
6	23	OUT	D3	Ieșire
7	24	F3	F3	
8	25	LXID	11	Incară DE
9	26	33	33	Nivelul tensiunii
10	27	33	33	
11	28	MOV A,E	7B	(E) = A
12	29	CMA	2F	Inverzează (A)
13	2A	OUT	D3	Ieșire
14	2B	FO	FO	
15	2C	MOV A,D	7A	(D) = A

16	2D	CMA	2F	Inversează IA)
17	2E	OUT	D5	Ieșire
18	2F	F1	F1	
19	30	OUT	D3	
20	31	OF	OF	
21	32	MOV A,E	7B	(E) - A
22	33	ADI	C6	Adună la A
23	34	AX	XX	Pasul tensiunii de baleiaj
24	35	DAA	27	Ajustează zecimal
25	36	MOV E,A	5F	(A) - E
26	37	JNC	D2	Salt dacă nu DCR
27	38	42	42	0042
28	39	00	00	
29	3A	SUB A	97	0 - A
30	3B	MOV A,D	7A	(D) - A
31	3C	INR A	3C	(A) + 1
32	3D	DCRA	27	(A) - 1
33	3E	JC	DA	Salt dacă DCR
34	3F	A8	A8	00A8
35	40	00	00	
36	41	MOV D,A	57	(A) - D
37	42	CALL	CD	Cheamă întârzierea
38	43	AA	AA	OOAA
39	44	00	00	
40	45	LDA	3A	Incarcă A cu (M)
41	46	14	14	0014
42	47	00	00	
43	48	OUT	D3	Ieșire
44	49	63	63	
45	4A	NOP	00	
46	4B	NOP	00	
47	4C	LXI H	21	Incarcă HL
48	4D	50	50	0150
49	4E	01	01	
50	4F	LDA	3A	Incarcă A cu (M)
51	50	10	10	0010
52	51	00	00	
53	52	OUT	D3	Ieșire
54	53	62	62	
55	54	CALL	CD	
56	55	AA	AA	

57	56	00	00	
58	57	SUB A	97	O - A
59	58	OUT	D3	Ieșire
60	59	62	62	
61	5A	CALL	CD	
62	5B	AA	AA	00AA
63	5C	00	00	
64	5D	SUB A	97	O - A
65	5E	ADD B	80	(A) + (B)
66	5F	JNZ	C2	Salt dacă ≠ 0
67	60	95	95	0095
68	61	00	00	
69	62	IN	DB	Intrare
70	63	61	61	
71	64	MOV M,A	77	(A) - memorie
72	65	INX H	23	(HL) + 1
73	66	OUT	DB	Ieșire
74	67	60	60	
75	68	MOV M,A	77	(A) - M
76	69	NOP	00	
		"	"	
84	71	INX H	23	(HL) +1
85	72	NOP	00	
86	73	SHLD	22	(HL) trece în
87	74	4D	4D	
88	75	00	00	
89	76	LDA	3A	Incarcă A cu conținutul
90	77	17	17	0017
91	78	00	00	
92	79	SUB L	95	(A) -(L)
93	7A	JNZ	C2	Salt dacă nu e zero
94	7B	28	28	0028
95	7C	00	00	
96	7D	LDA	3A	Incarcă A cu conținutul
97	7E	18	18	0018
98	7F	00	00	
99	80	SUB H	94	(A) - (H)
100	81	JNZ	C2	Salt dacă nu e zero
101	82	28	28	0028
102	83	00	00	
103	84	INR B	04	(B) + 1



104	85	LVI A	3E	Incarcă A cu numărul
105	86	XX	XX	XX Numărul de relua-
106	87	CMPB	B8	rea baleiajului) de la adresa hexagesimală 00AA și are
107	88	JZ	CA	aceeași structură ca și în cazul anterior.
108	89	94	94	Salt dacă zero
109	CA	CO	00	0094
110	C3	LXI H	21	Incarcă HL cu
111	8C	50	50	0150 Adresa de început
112	8D	01	01	:
113	8E	SHLD	22	Incarcă (HL) în
114	8F	4D	4D	004D
115	90	00	00	:
116	91	JMP	C3	Salt
117	92	25	25	0025 -
118	93	CO	00	:
119	94	HLT	76	Oprire
120	95	IW	DB	Intrare
121	96	61	61	
122	97	ADD M	86	(A) + (E)
123	98	DAA	27	Ajustează zecimal
124	99	MOV M,A	77	(A) trece în memorie
125	9A	IW	DB	
126	9B	60	60	
127	9C	ENX H	23	(HL) + 1
128	9D	ADC M	8E	(A) + (DCR) + (M) - A
129	9E	DAAA	27	Ajustează zecimal
130	9F	JNC	D2	Salt dacă nu DCR
131	A0	A4	A4	00A4
132	A1	CO	00	
133	A2	LVIA	3E	Incarcă A cu
134	A3	99	99	
135	A4	MOV M,A	77	(A) - memorie
136	A5	JMP	C3	Salt
137	A6	28	28	0028
138	A7	00	00	
139	A8	HLT	76	Oprire

Programul de întîrziere începe în acest caz (cu relua-  
rea baleiajului) de la adresa hexagesimală 00AA și are  
aceeași structură ca și în cazul anterior.

## A N E X A 4

Program pentru redarea spectrelor din memorie.

In acest program adresa de inceput a depunerii spectrelor este considerata in cod hexagesimal 0150 iar adresa de sfirșit este 0250. Deasemenea trebuie specificat faptul că adresa de sfirșit se găsește depusă in memorie la adresa hexagesimală 0017 pentru partea cea mai puțin semnificativă a adresei și la adresa 0018 partea cea mai semnificativă.

Cuvintul de control al interfeței 80 in cod hexagesimal este citit de la adresa hexagesimală 0010. Prin transferul acestui cuvint in registrul de control al interfeței, aceasta va accepta date numai pentru ieșire prin prin 16 linii de comunicare cu exteriorul /74/ (convertorul N/A).

Nr.	Adresa hexa	Codul Mnemonic	codul Hexa	Comentarii
1	B0	LDA	3A	Incarcă A cu (0010)
2	BE	10	10	0010
3	BF	00	00	
4	CO	OUT	D3	Ieșire
5	C1	F3	F3	Codul
6	C2	LXI H	21	Incarcă HL
7	C3	50	50	0150
8	C4	01	01	
9	C5	MOV A, M	7E	(M) - A
10	C6	CMA	2F	Inversează(A)
11	C7	OUT	D3	
12	C8	FO	FO	
13	C9	INX H	23	(HL) + 1
14	CA	MOV A,M	7E	(M) - A
15	CB	CMA	2F	Inversează (A)
16	CC	OUT	D3	Ieșire
17	CD	F1	F1	
18	CE	OUT	D3	
19	CF	OF	0F	
20	DO	INX H	23	(HL) + 1
21	D1	CALL	CD	Cheamă întârzierea
22	D2	9C	9C	009C
23	D3	00	00	
24	D4	LDA	3A	Incarcă A cu (0017)

25	D5	17	17	0017
26	D6	00	00	
27	D7	SUB L	95	(A) - (L)
28	D8	JNZ	C2	Salt dacă nu e zero
29	D9	C5	C5	00C5
30	DA	00	00	
31	DB	LDA	3A	Incarcă A cu (0018)
32	DC	18	18	
33	DD	00	00	
34	DE	SUB H	94	(A) - (H)
35	DF	JNZ	C2	Salt dacă ≠ 0
36	E0	C5	C5	00C5
37	E1	00	00	
38	E2	HLT	76	Oprire

## A N E X A 5

Program pentru determinarea formulei chimice brute pornind de la o soluție particulară.

$n$  - numărul de elemente care se iau în considerare. Valoarea lui  $n$  se depune la adresa hexagesimală 001B,  
 $N_2$  - adresa de început a coeficientului  $a_2$  (02EC),  
 $-a_1, a_2, \dots, a_n = A$  se depun începînd de la adresa 02E9

Nr	Adresa	codul		comentarii
	hexa	Mnemonic	Hexagesimal	
1	1F8	LXIHL	21	Incarcă HL cu
2	1F9	1B	1B	001B
3	1FA	00	00	
4	1FB	MOV A,M	7E	(001B) - A
5	1FC	RAL	07	Roteste (A) stînga
6	1FD	ADD M	86	(001B) + (A) - A
7	1FE	INX H	23	(HL) + 1
8	1FF	MOV M,A	77	(A) - memorie
9	200	SUB	D6	Scade din (A)
10	201	03	03	
11	202	MOV CA	4F	3n - 3 trece în reg C
12	203	MVI A	3E	Incarcă A cu
13	204	03	03	
14	205	INX HL	23	(HL) + 1 - HL
15	206	MOV M,A	77	(A) - memorie
16	207	DCRA	3D	(A) - 1
17	208	DCRA	3D	(A) - 1
18	209	INX HL	23	(HL) + 1
19	20A	MOV M,A	77	(A) - memorie
20	20B	PUSH PSW	F5	Salvează (A) și flagurile
21	20C	XRA	97	0 - A
22	20D	MOV B,A	47	(A) - B
23	20E	INX HL	23	(HL) + 1
24	20F	MOV M,A	77	(A) - memorie
25	210	INX HL	23	(HL) + L
26	211	MOV M,A	77	(A) - memorie
27	212	LXI HL	21	Incarcă HL
28	213	EC	EC	02EC - adresa lui $a_2$
29	214	02	02	

50	215	DAD BC	09	N <sub>2</sub> +2n - 3
51	216	MOV DH	54	(H) - D
52	217	MOVE, L	5D	(L) - E
53	218	INX HL	23	(HL) + 1
54	219	INX HL	23	(HL) + 1
55	21A	"	23	"
56	21B	MOV M,A	77	(A) - M
57	21C	INX HL	23	(HL) + 1
58	21D	DCRC	OD	3n - 3 - 1 - C
59	21E	JNZ	C2	Salt la ≠ 0
40	21F	1B	1B	
41	220	02	02	021B
42	221	LDAX DE	1A	Incarcă A cu (M) <sub>DE</sub>
43	222	MOV M,A	77	(A) - memorie
44	223	INX HL	23	(HL) + 1
45	224	INX DE	13	(DE) + 1
46	225	LDAX DE	1A	Incarcă A cu (M) <sub>DE</sub>
47	226	MOV M,A	77	(A) - memorie
48	227	INX HL	23	(HL) + 1
49	228	INX DE	13	(DE) + 1
50	229	LDAX DE	1A	Incarcă A (M) <sub>DE</sub>
51	22A	MOV M,A	77	(A) - memorie
52	22B	PUSH HL	E5	(HL) - stivă
53	22C	CALL	C0	
54	22D		7C	subrutina
55	22E		02	
56	22F	JC	DA	Salt dacă DCR
57	230	78	78	0278
58	231	02	02	
59	232	XTHL	E3	(M) <sub>SP</sub> (HL)
60	233	XCHG	EB	(HL) - E3 (DE) - HL
61	234	POP BC	C1	(M) <sub>SP</sub> - BC
62	235	POP PSW	F1	(M) <sub>SP</sub> - A și flag
63	236	INRA	3C	(A) + 1
64	237	PUSHPSW	F5	(A) și (flag) - (M) <sub>SP</sub>
65	238	JNZ	C2	Salt la ≠ 0
66	239	41	41	0241
67	23A	02	02	
68	23B	PUSH HL	E5	(HL) - M <sub>SP</sub>
69	23C	LXI HL	21	Incarcă HL

70	23D	20	20	
71	23E	00	00	
72	23F	INR M	34	Mărește (M) cu 1
73	240	POP HL	E1	(M) <sub>SP</sub> → HL
74	241	PUSHBC	C5	(M) <sub>SP</sub> ← BC
75	242	CALL	CD	
76	243		7C	Subrutina
77	244		02	
78	245	JNC	D2	Salt dacă nu DCR
79	246	33	33	0233
80	247	02	02	
81	248	XCHG	EB	HL DE
82	249	LXJHL	21	Incarcă HL
83	24A	1E	1E	001E
84	24B	00	00	
85	24C	MOV A,M	7E	(001E) - A
86	24D	DCRA	3D	(A) - 1
87	24E	MOV M,A	77	(A) - memorie
88	24F	JNZ	C2	Salt dacă ≠ 0
89	250	73	73	0273
90	251	02	02	
91	252	INX HL	23	(HL) + 1
92	253	ORAM	B6	Sau logic (A) și (L)
93	254	JNZ	C2	Salt dacă ≠ 0
94	255	71	71	0271
95	256	02	02	
96	257	NOP	00	
97	258	"	00	
98	259	"	00	
99	25A	DCX H	2B	(HL) - 1
100	25B	POP PSW	F1	(M) <sub>SP</sub> → A și bistabili
101	25C	"	F1	"
102	25D	MOV M,A	77	(A) - M
103	25E	PUSHI PSW	F5	(A) și(bistabili) - M <sub>SP</sub>
104	25F	DCXH	2B	(HL) - 1
105	260	MOV A,M	7E	(A) - M
106	261	ADI	C6	Adună la (A)
107	262	03	03	
108	263	MOV M,A	77	(A) - M
109	264	INX HL	2B	(HL) - 1
110	265	MOV C,M	4E	" - C

111	266	SUB C	91	(A) - (C) - A
112	267	POP HL	E1	(M) <sub>SP</sub> - HL
113	268	RZ	C8	revenire dacă zero
114	269	PUSHL	E5	(HL) - M <sub>SP</sub> (SP)-1
115	26A	LXIH	21	Incarcă în HL
116	26B	EB	EB	02EB
117	26C	02	02	
118	26D	DAD B	09	(BC) + (HL) - HL
119	26E	JMP	C3	Salt
120	26F	74	74	0274
121	270	02	02	
122	271	DCRA	30	(A) - 1
123	272	MOV MA	77	(A) - memorie
124	273	POP HL	E1	(M) <sub>SP</sub> - HL
125	274	XCHG	EB	HL DE
126	275	JMP	C3	Salt
127	276	2B	2B	022B
128	277	02	02	
129	278	XTHL	E3	HL M <sub>SP</sub>
130	279	JMP	C3	Salt
131	27A	48	48	0248
132	27B	02	02	
133	27C	INX D	13	(DE) + 1
134	27D	INX H	23	(HL) + 1 subrutina
135	27E	LDA	3A	(001D) - A
136	27F	1D	1D	001D
137	280	00	00	
138	281	MOV C,A	4F	(A) - C
139	282	LDA	3A	(001C) - A
140	283	1C	1C	001C
141	284	00	00	
142	285	SUI	D6	Scade din A
143	286	05	05	
144	287	MOV B,A	47	(A) - B
145	288	INR A	3C	(A) + 1
146	289	"	3C	"
147	28A	SUB C	91	(A) - (C)
148	28B	MOV C,A	4F	(A) - C
149	28C	JZ	CA	Salt dacă zero
150	28D	9B	9B	
151	28E	02	02	

152	28F	DCR B	05	(B) - 1
153	290	JMPZ	CA	Salt dacă zero
154	291	CB	CB	02CB
155	292	02	02	
156	293	LDAX DE	1A	(M) <sub>DE</sub> - A
157	294	MOV M,A	77	(A) - M
158	295	INX HL	23	(HL) + 1
159	296	INX D	13	(DE) + 1
160	297	DCX B	0D	(C) - 1
161	298	JNZ	C2	Salt dacă ≠ 0
162	299	8F	8F	028F
163	29A	02	02	
164	29B	SHLD	22	(HL) - M și M + 1
165	29C	11	11	0011
166	29D	00	00	
167	29E	JMP	C3	Salt
168	29F	B0	B0	02B0
169	2A0	02	02	

De la adresa 2A1 și pînă la adresa 2AF programul este același cu cel din anexa 2 corespunzător acestei zone de memorie (operatia de adunare).

185	2B0	XCHG	EB	HL DE
186	2B1	SHLD	22	(HL) M și M + 1 unde
187	2B2	13	13	0013 = M
188	2B3	00	00	
189	2B4	PUSH D	D5	(DE) - M <sub>SP</sub>
190	2B5	XCHG	EB	HL DE
191	2B6	LXI HL	21	Incarcă HL cu
192	2B7	E9	E9	02E9
193	2B8	02	02	
194	2B9	SHLD	22	(HL) - M și M + 1
195	2BA	15	15	0015
196	2BB	00	00	
197	2BC	POP HL	E1	(M) <sub>SP</sub> - HL
198	2BD	CALL	CD	
199	2BE	6C	6C	016C Adunarea
200	2BF	01	01	
201	2C0	INXHL	23	(HL) + 1
202	2C1	"	23	"
203	2C2	INX D	13	(DE) + 1
204	2C3	"	13	"

205	2C4	JMP	C3	Salt
206	2C5	95	95	0295
207	2C6	02	02	
208	2C7	DCR B	05	(B) - 1
209	2C8	JMP	C3	Salt
210	2C9	9B	9B	029B
211	2CA	02	02	
212	2CB	SHLD	22	(HL) - M și M + 1
213	2CC	11	11	0011
214	2CD	00	00	
215	2CE	XCHG	EB	HL DE
216	2CF	SHLD	22	(HL) - M și M + L
217	2D0	13	13	0013 = M
218	2D1	00	00	
219	2D2	PUSH HL	E5	(HL) - M <sub>SP</sub>
220	2D3	LXI HL	21	Incarcă HL cu
221	2D4	E9	E9	02E9
222	2D5	02	02	
223	2D6	LDA	3A	Incarcă A cu (001D)
224	2D7	1D	1D	001D
225	2D8	00	00	
226	2D9	MOV C,A	4F	(A) - C
227	2DA	DAD BC	09	(BC) + (HL)-HL
228	2DB	SHLD	22	(HL) - M și M+ 1
229	2DC	15	15	0015
230	2DD	00	00	
231	2DE	POP HL	E1	(M) <sub>SP</sub> - HL
232	2DF	CALL	CD	
233	2E0	E0	E0	01E0 Scădere
234	2E1	01	01	
235	2E2	INX DE	13	(DE) + 1
236	2E3	"	13	"
237	2E4	INX HL	23	(HL) + 1
238	2E5	"	23	"
239	2E6	LDAX DE	1A	(M) <sub>DE</sub> - A
240	2E7	RAL	17	Roteste A
241	2E8	RET	C9	Revenire

## A N E X A 6

Tabel cu masele atomice ale celor zece elemente cu frecvență mai mare de apariție într-o formulă chimică.

1. Midrogenul	H .	1,007852
2. Carbonul 12	C	12,000000 standard
3. Carbonul 13	C	13,003354
4. Azotul	N	14,003074
5.Oxigenul	O	15,994915
6. Florul	F	18,998405
7. Sulful	S	31,972074
8. Clorul	Cl	35,453240
9. Bromul	Br	79,909535
10. Iodul	I	126,904400

Determinarea parametrilor unei curbe gaussiene.

```
B PROGRAMA PENTRU ANALIZA DATELOR  
C DATA: 3 IUL. 1980  
C XXXXXXXXXXXX  
DIMENSION T(100),G(100),S(4)  
ACCEPT "KL=",KL,"KE=",KE,"TZ=",TZ,"ALF=",ALF,"BET=",BET,  
"DELT=",DELT,"PAS=",PAS  
T1=TZ+DELT  
TF=TZ+DELT  
NPOINT=171*(CIF-T1)/PAS+1  
DO 1 I=1,NPOINT  
T(I)=T1+PAS*FLOAT(I-1)  
W=BET*T(I)-TZ)*XX2  
G(I)=ALF*EXP(W)  
1 G(I)=FLDAT(IFIX(G(I)*10.+0.5))/10.  
WRITE(KE,10) TZ,DELT,PAS,ALF,BET  
10 FORMAT(10X,"DATE INTRODUCUTE:"/10X,"TZ=",F15.7/10X,"DELT=",F15.7//  
"10X,"PAS=",F15.7/10X,"ALF=",F15.7/10X,"BET=",F15.7//)  
WRITE(KL,2)  
2 FORMAT(10X,"DATELE GENERATE:"/10X,16("*")//)  
DO 3 I=1,NPOINT  
3 WRITE(KE,4) I,T(I),G(I)  
4 FORMAT(10X,13,2(2X,F15.7))  
DO 5 I=1,NPOINT  
5 G(I)=ALOG(G(I))  
DO 6 I=1,4  
6 S(I)=0.  
DO 7 I=1,NPOINT  
S(1)=S(1)+(T(I)-TZ)**2  
S(2)=S(2)+G(I)  
S(3)=S(3)+(T(I)-TZ)**4  
7 S(4)=S(4)+G(I)*(T(I)-TZ)**2  
Y=S(3)*FLOAT(NPOINT)-S(1)**2  
X=S(2)*S(3)-S(1)*S(4)  
Z=S(2)*S(1)-S(4)*FLOAT(NPOINT)  
W=X/Y  
ALFA=EXP(W)  
BETA=Z/Y  
B=2.*BETA  
A=1./SQR(B)  
D=2.35482*A  
WRITE(KE,15)  
15 FORMAT(10X,"VALORILE CALCULATE DE *ICIA*:"/10X,29(" ")//)  
WRITE(KL,15) ALFA,BETA,A,D  
16 FORMAT("//10X,"ALFA=",F15.7//10X,"BETA=",F15.7//10X,"A=",F15.7//10X;  
"17",F15.7)  
STOP  
END
```

## Determinarea parametrilor Gaustienei:

DATELE INTRARES: 1N1P04456000000  
 P(0)= 0.0000000  
 A - ALF = 1000.0000000  
 B - B1 = 0.0500000

## DATELE GENERATE:

\*\*\*\*\*

1	17.3000100	0.7000000
2	18.3000100	1.3000019
3	18.8000100	2.4000000
4	19.3000100	4.0000000
5	19.8000100	6.7000000
6	20.3000100	11.0000000
7	20.8000100	17.4000000
8	21.3000100	27.0000000
9	21.8000100	40.8000100
10	22.3000100	60.1000100
11	22.8000100	86.3000100
12	23.3000100	120.7000000
13	23.8000100	165.3000000
14	24.3000100	220.4000000
15	24.8000100	286.5000000
16	25.3000100	363.3001000
17	25.8000100	449.3001000
18	26.3000100	542.0000000
19	26.8000100	637.3001000
20	27.3000100	731.4001000
21	27.8000100	818.7000000
22	28.3000100	893.6001000
23	28.8000100	951.2000000
24	29.3000100	987.6001000
25	29.8000100	1000.0000000
26	30.3000100	951.2000000
27	31.3000100	893.6001000
28	31.8000100	818.7000000
29	32.3000100	731.4001000
30	32.8000100	637.3001000
31	33.3000100	542.0000000
32	33.8000100	449.3001000
33	34.3000100	363.3001000
34	34.8000100	286.5000000
35	35.3000100	220.4000000
36	35.8000100	165.3000000
37	36.3000100	120.7000000
38	36.8000100	86.3000100
39	37.3000100	60.1000100
40	37.8000100	40.8000100
41	38.3000100	27.0000000
42	38.8000100	17.4000000
43	39.3000100	11.0000000
44	39.8000100	5.7000000

Y86-  
VARIAVLE CALCULATE DE X107482  
22.222222222222222222222222222222

$A = \text{ALI A} = 1000.7030000$

$B = \text{BLT B} = 0.0501680$

$C = \text{C} = 3.1559800$

$D = \text{D} = 7.4341200$

## Determinarea parametrilor fizice

MINILE PROGRAMULUI : 1078  
 PROGRAMATOR : I. COVACI.  
 BENEFICIAR : G. TUDEREAN  
 DATA : 14 OCT. 1980  
 \*\*\*\*\*

INPUT \*\*\*\*\*

NI.....CANALUL DE INTRARE

NE.....CANALUL DE IEZIRE

NPOINT..NUMARUL FUNCTIEI DATE

I.....AUSCISE DATE

F.....ORTICIADE DATE

EPS ....MASURA PT. EVALUAREA INTERV. DE INTEGRARE

E...CEA MAI MICA VALOARE NUMERICA LUATA IN CONSIDERARE LA GENERAREA SPECTR.  
 OUTPUT \*\*\*\*\*

ALFA ...COEF. DE AMPLITUDINE

BETA ...COEF. DE LOCATIE

ALFA ...VAL. NUMERICA A ARIEI DE SUB GAUSS-JIANA DE PARAM. A,BETA,ALFA

TABLEU AUXILIAR : C(4,300)...CONTINE COEF. FUNCTIEI SPLINE DE

APROXIMARE, UTILIZATA LA EVALUAREA SPECTRULUI IN FUNCTIILE GAUSS-ENE

DATA \*\*\*\*\*

DETERMINAREA CU PRECIZIE A CANTITATII IAU (SI IMPLICIT A

CANTITATII ALFA ) NECESSITA UN PROCEDIU ITERATIV

DIMENSIUNI (500),F(500),X(300),T0(20),C(20),U(20),V(20),

400(10),TU(10),CF(4,300)

COMUNIC /CANAL/ NE

1 INITIA FUNCTIEI GAUSS-JIANE SI A DERIVATELOR SALE DE ORD. DOI SI TREI

PH1(A,X)=0.39894228\*EXP(-0.5\*(X/A)\*\*2)

PH2(A,X)=0.39894228\*EXP(-0.5\*(X/A)\*\*2)\*(X-A)\*(X+A)/(A\*\*4)

PH3(A,X)=0.39894228\*EXP(-0.5\*(X/A)\*\*2)\*XX\*(3.XAXX2-XXX2)/(A\*\*6)

INTRODUCEREA UNOR PARAMETRI NECESSARI

ACCEPT "KI=",KI,"NE=",NE,"NPOINT=",NPOINT,"NP1ES:",NP1ES,"T1=",T1,

"PAS=",PAS,"EP=",EP,"EPS=",EPS,"A=",A

\*\*\*\*\*

GENERAREA SPECTRULUI (1,F) PENTRU TESTAREA PROGRAMULUI

DO 1 J=1,NP1ES

1 READ(KI) T0(J),C(J)

DO 2 I=1,NPOINT

T(I)=1+PAS\*FLOAT(I-1)

F(I)=0.

DO 3 J=1,NP1ES

UA=ALOG(.4\*C(J)/EP)

VA=SNRT(UA)

W=1.414\*A\*VA

IF (ABS(T(I)-T0(J)).GE.W) GO TO 3

F(I)=F(I)+C(J)\*PH1(A,T(I)-T0(J))

3 CONTINUE

2 CONTINUE

WRITE(NE,4)

4 FORMAT(10X,"DATELE INTRODUSE:/10X,17(\*")//)

DO 5 J=1,NP1ES

5 WRITE(NE,6) J,T0(J),J,C(J)

6 FORMAT(10X,"10(",12,")=",F15.7,2X,"C(",12,")=",F15.7)

WRITE(NE,7)

7 FORMAT(/10X,"SPECTRUL INTRODUS:/10X,18(\*")/)

DO 8 I=1,NPOINT

8 WRITE(NE,7) 1,T(I),F(I)

9 FORMAT(10X,13,2(2X,F15.7))

10 GENERAAREA SPECTRULUI

\*\*\*\*\*

11 INTRODUCEREA FORMULA DE CUADRATURA UTILIZATA (GAUSS,4 NOURI)

NP1ES=4

$$TG(1) = -0.8113634$$

$U(1)=0,037798104$   
 $U(2)=1,1612$   
 $U(3)=1,1612$   
 $U(4)=0,034, 05484$   
 $U(5)=0,05314516$   
 $U(6)=0,05314516$   
 $U(7)=0,05314516$

188

BUCURA DE PRINCIPALA

NS=10

NF=NPOINT=10

DO 10 I=NS,1,0

1,0=1,1

EVALUAREA PERIODICĂ ALE INDICII (IS,IU) CARE DEFINESTE INTERVALUL DE INTEGRARE , IN EVALUAREA CANTITATILOR ALFA(TAU),BETA(TAU)

J=1

18 IS=1+J

VSQ=F(18)\*PH12(A,1(18)-TAU)

VSQ=ABS(VSQ)

VSQ=F(18)\*PH13(A,1(18)-TAU)

VSQ=ABS(VSQ)

VS=AMAX1(VSQ,VS3)

IF (VS-EPS) 11,11,12

12,17 (19-1) 11,11,14

14 J=J+1

DO 10 IS

11 J=1

19 ID=1+J

VD2=F(1D)\*PH12(A,T(1D)-TAU)

VD2=ABS(VD2)

VD3=F(1D)\*PH13(A,1(ID)-TAU)

VD3=ABS(VD3)

VD=AMAX1(VD2,VD3)

IF (VD-EPS) 15,15,16

16 IF (NPOINT=10) 15,15,17

17 J=J+1

DO 10 19

EVALUAREA PARAMETRILOR ALFA(TAU) SI BETA(TAU)

18 NPI=1B-18+1

NSD=1B-1S

DO 20 K=1,NPI

X(K)=1,(18+K-1)

20 CF(1,K)=F(18+K-1)

CF(1,K)=CUBSPL(X,CF,NPI,0,0) → { CALL CUBSPL(X,CF,NPI,0,0)

ART2=

ART3=0.

DO 21 J=1,NSD

ART2=0.

ART3=0.

A6=X(J)

DO= X(J+1)

DO 22 IS=1,NGAUS

U(IG)=U.5\*TAU+BG+(BG-AU)\*TG(IG)

VNL=0.

FK=4.

H(IG)=X(J)-X(J)

DO 51 INI=1,4

M=5-IND

U(IG)=VNL+(1/K)\*H(IG)\*M(J)

51 FK=FK-1.

V(IG)=VNL

ALFA=ART2\*(UG(IG)\*V(IG)\*PH12(A,U(IG)-TAU))

22 ART2=ART2\*(UG(IG)\*V(IG)\*PH13(A,U(IG)-TAU))

ALFA=ALFA+(UG(IG)\*V(IG)\*PH12(A,U(IG)-TAU))

21 ALFA=ALFA+(UG(IG)\*V(IG)\*PH13(A,U(IG)-TAU))

ALFA=-7,0898154\*A\*ART2

BETA=-ART3

{  
 ARIA=A\*ALFA  
 NSP=NS+1  
 IF(1-NSP) 40,41,42

```

10 WRITE(KE,25)
25 FORMAT(//10X,"REZULTATE DINTINUTE: ",/10X,19("x"),/10X,51("x"),/
     51"X","IAU",13X,"ALFA",13X,"AIA",/10X,51("x"))
     ALF1=ALFA
     IAU1=IAU
     GO TO 10
41 ALF2=ALF1
     IAU2=IAU1

```

```

     ALF1=ALFA
     BET1=BETA
     IAU1=IAU
     GO TO 10
42 1F(BET1*BET1,61,0,0,UR,BETA,L1,N), GO TO 41
     PC=((ALFA-ALF2)/(IAU-IAU2)-(ALF1-ALF2)/(IAU1-IAU2))/
     (IAU-IAU1)
     PB=(ALFA-ALF2)/(IAU-IAU2)-FLX(IAU-IAU2)
     PA=ALF2
     IAUC=IAU2-.5*PB/PC
     ALFAC=PA+(IAUC-IAU2)*(PB+(IAUC-IAU2)*PC)
     ARIAC=AX*ALFAC
     WRITE(KE,23) IAUC,ALFAC,ARIAC
23 FORMAT(10X,3(2X,E15.7))
     GO TO 10
50 CONTINUE
      STOP
      END

```

.. SUBROUTINE CUSPL(IAU,C,N,1BCBEG,1BCEND)

\*\*\*INPUT\*\*\*

N...NUMARUL FUNCȚELOR DATE (N.GE.2)

(IAU(1),C(1,1),I=1,...,N)...ABSCISELE SI ORIONATELE DATE

1BCBEG,1BCEND...INDICATORI ASUPRA CONDIȚIILOR LA LIMITA:

DACA 1BCBEG=0,...NU SE DAU CONDIȚII LA LIMITA IN IAU(1). IN ACEST CAZ,  
ESTE UTILIZATA CONDIȚIA \*FARA UN NOU\*

DACA 1BCBEG=1,...PANTA IN IAU(1) SEFACE EGALA CU C(2,1), FURNIZATA CA DATA

DACA 1BCBEG=2,...DERIVATA SECUNDA IN IAU(1) SE FACE EGALA CU C(2,1).

FURNIZATA CA DATA

DACA 1BCEND=0,1,2,...SEMNIFICAȚIE SIMILARA PENTRU CONDIȚIA LA LIMITA

DE IAU(N), CU INFORMAȚIA LUATA DIN C(2,N)

\*\*\*OUTPUT\*\*\*

KJ,1),J=1,...,4; L=1,...,L (=N-1)...COEFICIENTII POLINOMIALI AI SPLINE-LV.

DE INTERPOLARE CUHICA, CU NODURILE INTERIOARE IAU(2),...,IAU(N-1)

DE PRECIS, IN INTERVALUL (IAU(I),IAU(I+1)), SPLINE-UL F ESTE DAT DE:

$F(x)=C(1,1)+H*(C(2,1)+H*(C(3,1)+H*C(4,1)/3.))/2.$

DUE H=X-IAU(1)

DATE FI UTILIZATA PROGRAMUL FUNCȚIE APPVALUX PENTRU EVALUAREA LUI F SAV  
DERIVATELOR SALE DIN IAU,C,L=N-1,S1 K=4

· INTEGRIK 1BCBEG,1BCEND,N,1,J,L,M

REAL C(4,N),IAU(N),D1UDF1,D1UDF3,IAU,G

GENEREaza si apoi se rezolva prin eliminare gauss cu S(1) deputat  
· pt. tuti i , un sistem liniar triadiagonal pt. pantele niciun  
· din lui f in IAU(1),l=1,...,N

DO 10 M=2,N  
 C(3,M)=TAU(M)-TAU(M-1) 190  
 .10 C(4,M)=(C(1,M)-C(1,M-1))/C(3,M)  
 C CONSTRUIE PRIMA ECUATIE DIN CONDITIA LA LIMITA, DE FORMA:  
 C C(4,1)\*S(1)+(C(3,1)\*S(2)+C(2,1)  
 IF (1.BUCBEG-1) 11,15,16  
 11 IF (N.GT.2) GO TO 12  
 C CONDITIE NLPRECIZATA LA EXTREMITATEA STINGA , SI N=2  
 C C(4,1)=1.  
 C(3,1)=1.  
 C(2,1)=2.\*KU(4,2)  
 GO TO 25  
 C CONDITIE #FARA UN NUOX LA EXTREMITATEA STINGA, SI N.GT.2  
 12 C(4,1)=C(3,3)  
 C(3,1)=C(3,2)+C(3,3)  
 C(2,1)=((C(3,2)+2.\*KU(3,1))\*KU(4,2)+C(3,2)\*\*2+C(4,3))/C(3,1)  
 GO TO 19  
 C ESTE PRESCRISA PANTA IN EXTREMITATEA STINGA  
 13 U(4,1)=1.  
 C(3,1)=0.  
 GO TO 18  
 C ESTE PRESCRISA DERIVATA SECUNDA LA EXTREMITATEA STINGA  
 14 U(4,1)=2.  
 C(3,1)=1.  
 U(2,1)=3.\*KU(4,2)-C(3,2)/2.\*KU(2,1)  
 18 IF (N.EQ.2) GO TO 25  
 C DACA EXISTE NUOUI INTERIOARE , GENEREAZA ECUATIILE CORESPUNZATOARE SI,  
 C EXECUTA PASUL INAINTE AL ELIMINARII GAUSS, DUPA CARE CITESTE CEA DE A  
 C C(4,M)\*S(M)+C(3,M)\*S(M+1)=C(2,M)  
 19 DO 20 M=2,L  
 G=-L\*(3,M+1)/C(4,M-1)  
 C(2,M)=G\*KU(2,M-1)+3.\*K(C(3,M)\*KU(4,M+1)+C(3,M+1)\*KU(4,M))  
 20 U(4,M)=G\*KU(3,M-1)+2.\*K(C(3,M)+C(3,M+1))  
 C CONSTRUIE ULTIMA ECUATIE DIN CEA DE A DOUA CONDITIE LA LIMITA , DE FA  
 C (-G\*KU(4,N-1))\*S(N-1)+C(4,N)\*S(N)=C(2,N)  
 C DACA ESTE PRESCRISA PANTA IN EXTREMITATEA UREAPTA , SE PUTE TRECE VERS  
 C LA SUBSTITUTIA INAPOI  
 IF (1.BUCEND-1) 21,30,24  
 21 IF (N.EQ.3.AND.1.BUCBEG.EQ.0) GO TO 22  
 C #FARA UN NUOX SI N.GE.3, SI FIE N.GT.3, SAU DEASEMENEA #FARA UN NUOX  
  
 C LA EXTREMITATEA STINGA  
 U=C(3,N-1)+C(3,N)  
 C(2,N)=((C(3,N)+2.\*G)\*KU(4,N)\*KU(3,N-1)+C(3,N)\*\*2\*(C(1,N-1)-C(1,N-2)).  
 G/(C(3,N-1))/G  
 G=-G/C(4,N-1)  
 C(4,N)=C(3,N-1)  
 GO TO 24  
 C FIE CA (N=3 SI #FARA UN NUOX DEASEMENEA LA STG.) SAU (N=2 SI NU  
 C #FARA UN NUOX LA STG.)  
 22 U(2,N)=2.\*KU(4,N)  
 C(4,N)=1.  
 GO TO 28  
 C DERIVATA SECUNDA PRESCRISA LA EXTREMITATEA DR.  
 24 U(2,N)=3.\*KU(4,N)+C(3,N)/2.\*KU(2,N)  
 C(4,N)=2.  
 GO TO 28  
 25 IF (1.BUCEND-1) 26,30,24  
 26 IF (1.BUCBEG.GT.0) GO TO 23  
 C #FARA UN NUOX LA DR. SI LA SIG. SI N=2  
 C(2,N)=U(4,N)  
 GO TO 30  
 28 G=-1./KU(4,N-1)  
 C COMPLECTAZA PASUL INAINTE AL ELIMINARII GAUSS  
 29 C(4,N)=G\*KU(3,N-1)+D(4,N)  
 C(2,N)=(G\*KU(2,N-1)+C(2,N))/C(4,N)  
 C EXECUTA SUBSTITUTIA INAPOI  
 30 DO 40 J=1,L

-191-

```
40 C(2,N-J) = (C(2,N-J)-C(3,N-J)*C(2,N-J+1))/C(4,N-J)
GENERAREA COEFICIENTILOR CUBICE IN FIECARE INTERVAL + ADICA DERIVATELE LA EXTREMITATEA SA STINCA , DIN VALORILE SI PANTELE IN PUNCTELE CALE EXISTE
DO 50 I=2,N
DTAU=C(3,1)
U1VDF1= (C(1,I)-C(1,I-1))/UTAU
U1VDF3= C(2,I-1)+C(2,I)-2.*U1VDF1
C(3,I-1)= 2.* (U1VDF1-C(2,I-1)-U1VDF3)/UTAU
50 U(4,I-1)= (U1VDF3/UTAU)*(6./DTAU)
RETURN
END
```

a=1,5

## Tabelul 1

DATE DE INTRUZIE:  
\*\*\*\*\*XXXXXX\*\*\*\*\*

100 1)=	10.0000100	G( 1)=	500.0001000
100 2)=	15.4000100	G( 2)=	1000.0010000
100 3)=	20.0000100	G( 3)=	700.0001000.
100 4)=	24.9500000	G( 4)=	300.0001000

## Tabelul 2

SPECTRUL INTRODUS:  
\*\*\*\*\*XXXXXX\*\*\*\*\*

1	0.0000000	0.0000000
2	0.2500001	0.0000000
3	0.5000001	0.0000001
4	0.7500001	0.0000003
5	1.0000010	0.0000009
6	1.2500010	0.0000025
7	1.5000010	0.0000067
8	1.7500010	0.0000176
9	2.0000010	0.0000448
10	2.2500010	0.0001111
11	2.5000010	0.0002681
12	2.7500010	0.0006289
13	3.0000010	0.0014351
14	3.2500010	0.0031849
15	3.5000010	0.0068748
16	3.7500010	0.0144333
17	4.0000010	0.0294716
18	4.2500010	0.0585297
19	4.5000010	0.1130545
20	4.7500010	0.2123904
21	5.0000010	0.3880760
22	5.2500010	0.4896625
23	5.5000010	1.1920460
24	5.7500010	2.0039350
25	6.0000010	3.2745180
26	6.2500010	5.2104740
27	6.5000010	8.0689300
28	6.7500010	12.1231400
29	7.0000010	17.7373700
30	7.2500010	25.2405800
31	7.5000010	34.9339200
32	7.7500010	47.0254600
33	8.0000010	61.5683200
34	8.2500010	78.4012700
35	8.5000010	97.1032300
36	8.7500010	116.9756000
37	9.0000010	137.0628000
38	9.2500010	156.2163000
39	9.5000010	173.2013000
40	9.7500010	186.8343000
41	10.0000100	196.1433000
42	10.2500100	200.4600000
43	10.5000100	199.6278000
44	10.7500100	193.9608000
45	11.0000100	184.2929000
46	11.2500100	171.9076000
47	11.5000100	158.4289000
48	11.7500100	145.6781000
49	12.0000100	135.5136000

		-193-	
53	13.0000100	150.4013000	
54	13.2500100	171.6731000	
55	13.5000100	199.3755000	
56	13.7500100	232.0634000	
57	14.0000100	267.6922000	
58	14.2500100	303.7596000	
59	14.5000100	337.5185000	
60	14.7500100	356.2491000	
61	15.0000100	387.5589000	
62	15.2500100	449.6647000	
63	15.5000100	401.6440000	
64	15.7500100	393.5443000	
65	16.0000100	376.3934000	
66	16.2500100	352.1136000	
67	16.5000100	323.2772000	
68	16.7500100	292.8114000	
69	17.0000100	263.6658000	
70	17.2500100	238.4907000	
71	17.5000100	219.3635000	
72	17.7500100	207.5967000	
73	18.0000100	203.6286000	
74	18.2500100	207.0206000	
75	18.5000100	216.5378000	
76	18.7500100	230.3096000	
77	19.0000100	246.0541000	
78	19.2500100	261.3380000	
79	19.5000100	273.8449000	
80	19.7500100	281.6544000	
81	20.0000100	283.3470000	
82	20.2500100	278.4329000	
83	20.5000100	256.8640000	
84	20.7500100	249.5100000	
85	21.0000100	227.7235000	
86	21.2500100	203.2494000	
87	21.5000100	177.9800000	
88	21.7500100	153.7465000	
89	22.0000100	132.1365000	
90	22.2500100	114.3593000	
91	22.5000100	101.1701000	
92	22.7500100	92.8451800	
93	23.0000100	89.2054400	
94	23.2500100	89.3751300	
95	23.5000100	93.3657000	
96	23.7500100	99.1774800	
97	24.0000100	105.9109000	
98	24.2500100	112.3795000	
99	24.5000100	117.5188000	
100	24.7500100	120.4793000	
101	25.0000100	120.6959000	
102	25.2500100	117.9237000	
103	25.5000100	112.2380000	
104	25.7500100	103.9961000	
105	26.0000100	93.7697500	
106	26.2500100	82.2582300	
107	26.5000100	70.1456100	
108	26.7500100	58.2669000	
109	27.0000100	47.0430700	
110	27.2500100	36.9420100	
111	27.5000100	28.2156900	
112	27.7500100	20.9605000	
113	28.0000100	15.1443800	
114	28.2500100	10.6424200	
115	28.5000100	7.2738660	
116	28.7500100	4.8353410	

...	30.0000100	- 194 -	0.8137947
121	30.5000100		0.2378441
122	30.5000100		0.1274334
123	30.7500100		0.0670321
124	31.0000100		0.0351176

126	31.2500100		0.0176828
127	31.5000100		0.0083579
128	31.7500100		0.0041249
129	32.0000100		0.0019109
130	32.2500100		0.0008610
131	32.5000100		0.0003773
132	32.7500100		0.0001608
133	33.0000100		0.0000667
134	33.2500100		0.0000269
135	33.5000100		0.0000105
136	33.7500100		0.0000040
137	34.0000100		0.0000015
138	34.2500100		0.0000005
139	34.5000100		0.0000002
140	34.7500100		0.0000000
141	35.0000100		0.0000000

*Tableau 3.*

RESULTATE DEBUTANTE:

\*\*\*\*\*

\*\*\*\*\*

1AU -  $\beta$

ALPHA -  $\infty$

ANIA

\*\*\*\*\*

0.9017670E 1 0.2760496E 3 0.4140745E 3

0.1555446E 2 0.6203896E 3 0.9310347E 3

0.2027317E 2 -0.2749620E 3 0.4124429E 3

0.2553695E 2 0.1314868E 3 0.1972302E 3

10.5  
16.4  
40.50000  
40.75000  
-12.71611  
-11.98120

Anexa 9

C NUMELE PROGRAMULUI : 1C12  
C NUMELE PROGRAMATORULUI :  
C DATA : 15 AUG. 1980  
C GENEREAZA PARAMETRUL YP AL FUNCTIEI SPLINE SUB TENSIUNE  
C EVALUEAZA APROXIMANTUL IN TREI PUNCTE INTERMEDIARE ALLE FIECARUI SIU  
C APELEAZA SUBROUTINA CURV1 SI FUNCTIA CURV2  
C DATELE INITIALE NU SINT ALTERATE  
DIMENSION X(100),Y(100),YP(100),IN(4)  
ACCEPT "KI=",KI,"KE=",KE,"N=",N,"SIGMAR",SIGMA,"IT=",IT  
DO 1 I=1,N  
1 READ(KI) X(I),Y(I)  
WRITE(KE,3)  
3 FORMAT(5X,"DATELE DE NETEZITE"/5X,18(" ")/)  
DO 4 I=1,N  
4 WRITE(KE,5) X(I),Y(I)  
5 FORMAT(5X,2(2X,F15.5))  
CALL CURV1(N,X,Y,SLP1,SLP2,YP,TEMP,SIGMA)  
WRITE(KE,6)  
6 FORMAT(5X,"DATELE NETEZITE:"/5X,16(" ")/)  
WRITE(KE,10)  
10 FORMAT(/5X,50(" ")/7X,"I",2X,"J",12X,"X",17X,"Y"/5X,50(" ")/)  
NM1=N-1  
DO 7 I=1,NM1  
H=.25\*(X(I+1)-X(I))  
DO 8 J=I+4  
X1=X(I)+H\*FLORI(J-1)  
Y1=CURV2(X1,N,X,Y,YP,SIGMA,IT)  
WRITE(KE,9) I,J,X1,Y1  
9 FORMAT(5X,I3,2X,11,5X,F15.5,2X,F15.5)  
8 CONTINUE  
7 CONTINUE  
STOP  
END

```

FUNCTION CURV2(I,N,X,Y,YP,SIGMA,IT)
DIMENSION X(N),Y(N),YP(N)
S= X(N)-X(1)
C DENORMALIZEAZA SIGMA
SIGMAP= ABS(SIGMA)*FLOAT(N-1)/S
C. IF IT.NE.1 INCEPE CAUTAREA DE UNDE A FOST TERMINAT PROCESUL ANTERIOR
C ALTFEL, START DE LA CAPAT.
IF (IT.EQ.1) 11*2
C CAUTA INTERVALUL
10 DO 20 I=11,N
IF (X(I)-I) 20,20,30
20 CONTINUE
I=N
C CAUTA ASIGURAREA INTERVALULUI CORECT
30 IF (X(I-1).LE.I .OR. I.LE.X(I)) GO TO 40
C REINCEPTE CAUTAREA SI REPUNE I1
C (INPUT "IT" A FOST INCORECT)
11*2
GO TO 10
C FORMULEAZA SI REALIZEAZA INTERPOLAREA
40 DEL1=I-X(I-1)
DEL2=X(I)-I
DELS= X(I)-X(I-1)
EXPS1= EXP(SIGMAP*DEL1)
SINHD1=.5*(EXPS1-1./EXPS1)
EXPS= EXP(SIGMAP*DEL2)
SINHD2=.5*(EXPS-1./EXPS)
EXPS= EXPS1*EXPS
SINHS=.5*(EXPS-1./EXPS)
CURV2:=(YP(I)*SINHD1+YP(I-1)*SINHD2)/SINHS+((Y(I)-YP(I))*DEL1+
*(Y(I-1)-YP(I-1))*DEL2)/DELS
11=1
RETURN
END

```

```

SUBROUTINE CURV1(I,X,Y,SLP1,SLP2,YP,TEMP,SIGMA)
DIMENSION X(N),Y(N),YP(N),TEMP(N)
NM1= N-1
NP1= N+1
DELX1= X(2)-X(1)
DX1= (Y(2)-Y(1))/DELX1
C DETERMINA DERIV. IN EXTREMITATI DACA E NECESSAR
IF(SIGMA.LT.0.) GO TO 50
SLFP1= SLP1
SLFPN= SLPN
C DENORMALIZEaza FACTORUL DE Tensiune
10 SIGMAP= ABS(SIGMA)*FLUAT(N-1)/(X(N)-X(1))
C CONSTRUIESE MEMBRUE DREPT SI SISTEMUL TRIULAGONAL PENTRU YP
C SI EXECUTA ELIMINAREA INAINTE
DELS= SIGMAP*DELX1
EXPS= EXP(DELS)
SINHS=.5*(EXPS-1./EXPS)
SINHIN= 1./ (DELX1*SINHS)
DIAG1= SINHIN*(DELS*.5*(EXPS+1./EXPS)-SINHS)
DIAGIN= 1./DIAG1
YP(1)= DIAGIN*(DX1-SLFP1)
SPD1AG= SINHIN*(SINHS-DELS)
TEMP(1)= DIAGIN*SPD1AG
IF(N.EQ.2) GO TO 30
DO 20 I= 2,NM1
DELX2= X(I+1)-X(I)
DX2= (Y(I+1)-Y(I))/DELX2
DELS= SIGMAP*DELX2
EXPS= EXP(DELS)
SINHS=.5*(EXPS-1./EXPS)
SINHIN= 1./ (DELX2*SINHS)
DIAG2= SINHIN*(DELS*.5*(EXPS+1./EXPS)-SINHS)
DIAGIN= 1./ (DIAG1+DIAG2-SPD1AG*TEMP(I-1))
YP(I)= DIAGIN*(DX2-DX1-SPD1AG*YP(I-1))
SPD1AG= SINHIN*(SINHS-DELS)
TEMP(I)= DIAGIN*SPD1AG
DX1= DX2
DIAG1= DIAG2
20 CONTINUE
30 DIAGIN= 1./ (DIAG1-SPD1AG*TEMP(NM1))
YP(N)= DIAGIN*(SLFPN-DX2-SPD1AG*YP(NM1))
C EXECUTA SUBSTITUTIA INAPOL
DO 40 I= 2,NM1
1BAK= NP1-I
YP(1BAK)= YP(1BAK)-TEMP(1BAK)*YP(1BAK+1)
40 CONTINUE
RETURN
50 IF(N.EQ.2) GO TO 60
C DACA NU SINT DATE DERIVATELE IN FUNCTIELE EXTREME, UTILIZAREA INTERPOL
C POLINOMIALA DE ORDINUL DOI ASUPRA DATELOR, PT. VALORI IN PCT. EXTREME.
DELX2= X(3)-X(2)
DELX12= X(3)-X(1)
C1= -(DELX12+DELX1)/DELX12/DELX1
C2= DELX12/DELX1/DELX2
C3= -DELX1/DELX12/DELX2
SLFP1= C1*Y(1)+C2*Y(2)+C3*Y(3)
DELN= X(N)-X(NM1)
DELNH1= X(NM1)-X(N-2)
DELNH2= X(N)-X(N-2)
C1= (DELNH1+DELN)/DELNH1/DELN
C2= -DELNH1/DELN/DELNH1
C3= DELN/DELNH1/DELNH2
SLFPN= C3*Y(N-2)+C2*Y(NM1)+C1*Y(N)
GO TO 10
C DACA SUNT DATE DOAR DOUA PUNCTE SI STARA DERIVATE UTILIZAREA LINTERPOL

```

C PENTRU CURBA  
 60 YP(1)=0  
 YP(2)=0  
 RETURN  
 END